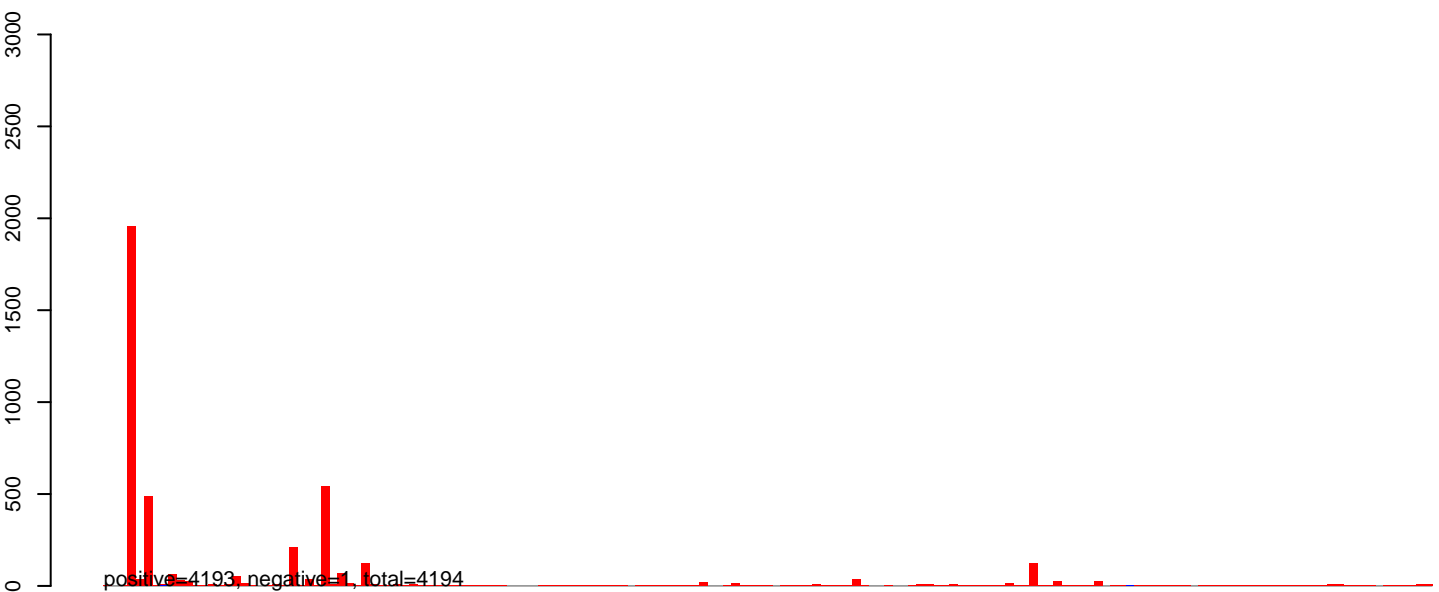


AeAlbo_C636_6dpi_SINV1.18_23.rep



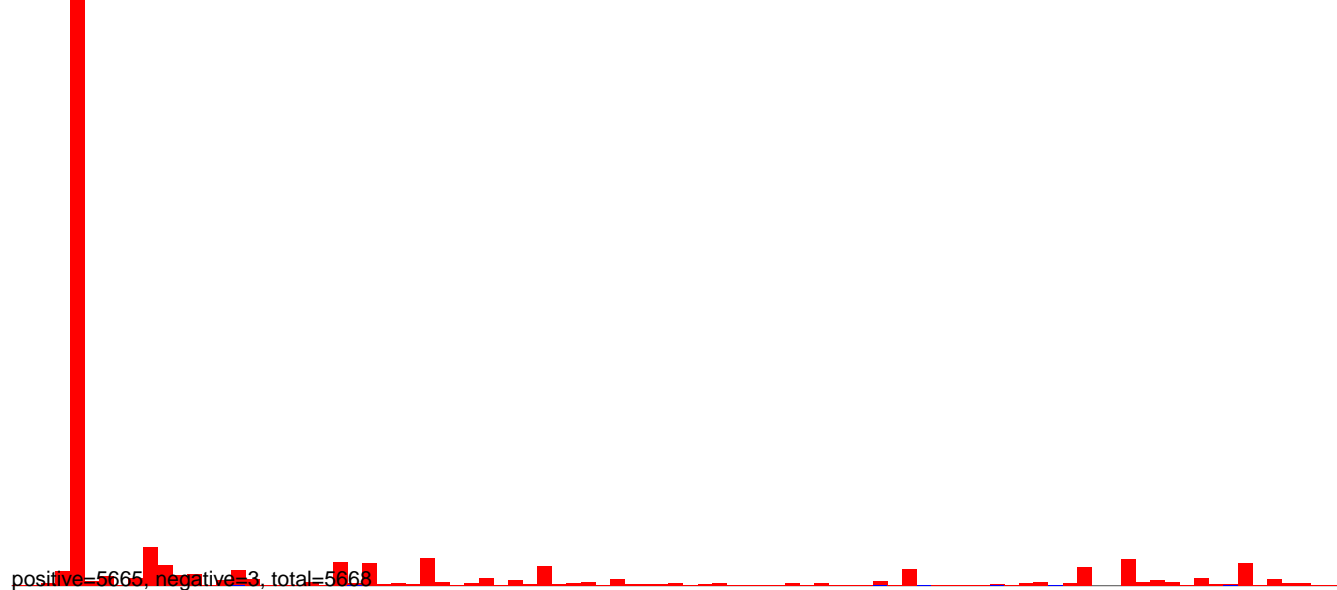
AeAlbo_C636_6dpi_SINV1.24_35.rep



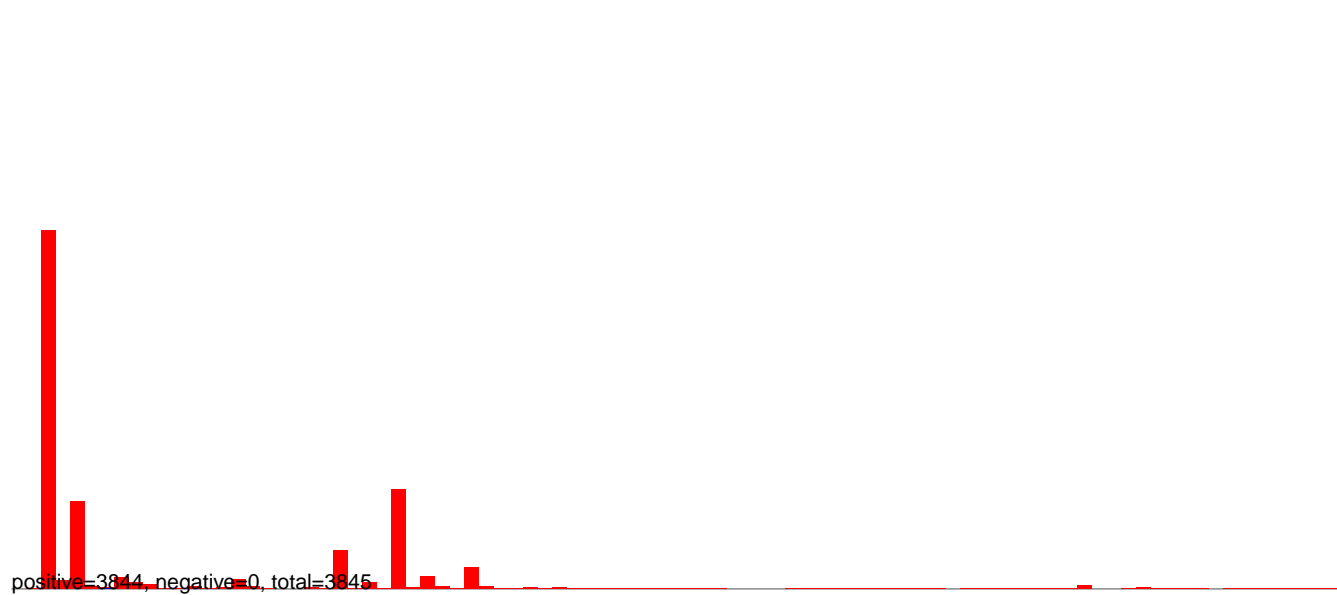
AeAlbo_C636_6dpi_SINV1.rep



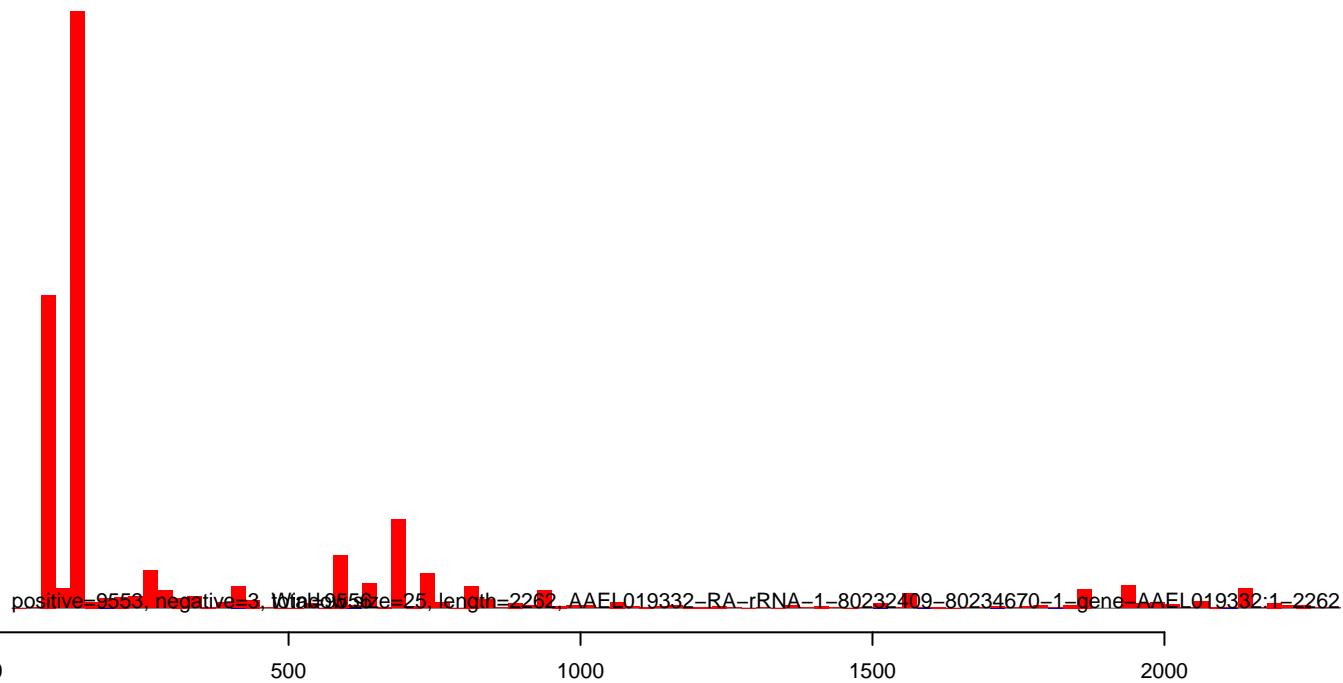
AeAlbo_C636_6dpi_SINV1.18_23.rep



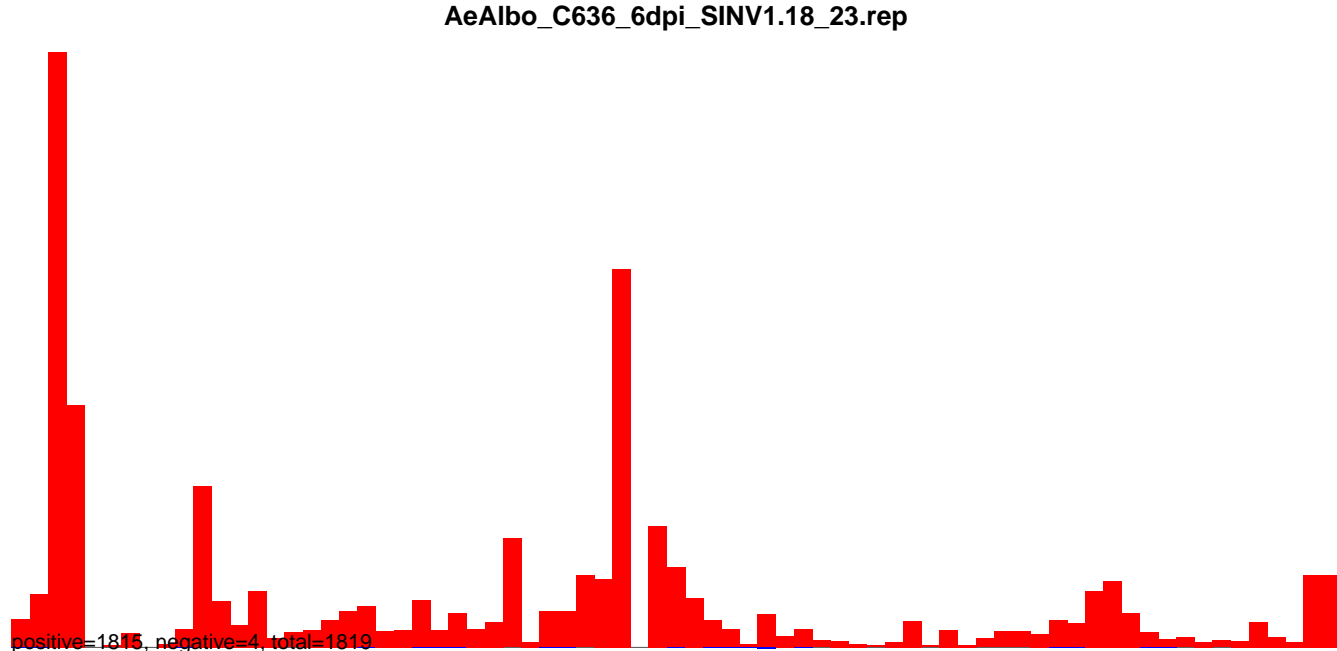
AeAlbo_C636_6dpi_SINV1.24_35.rep



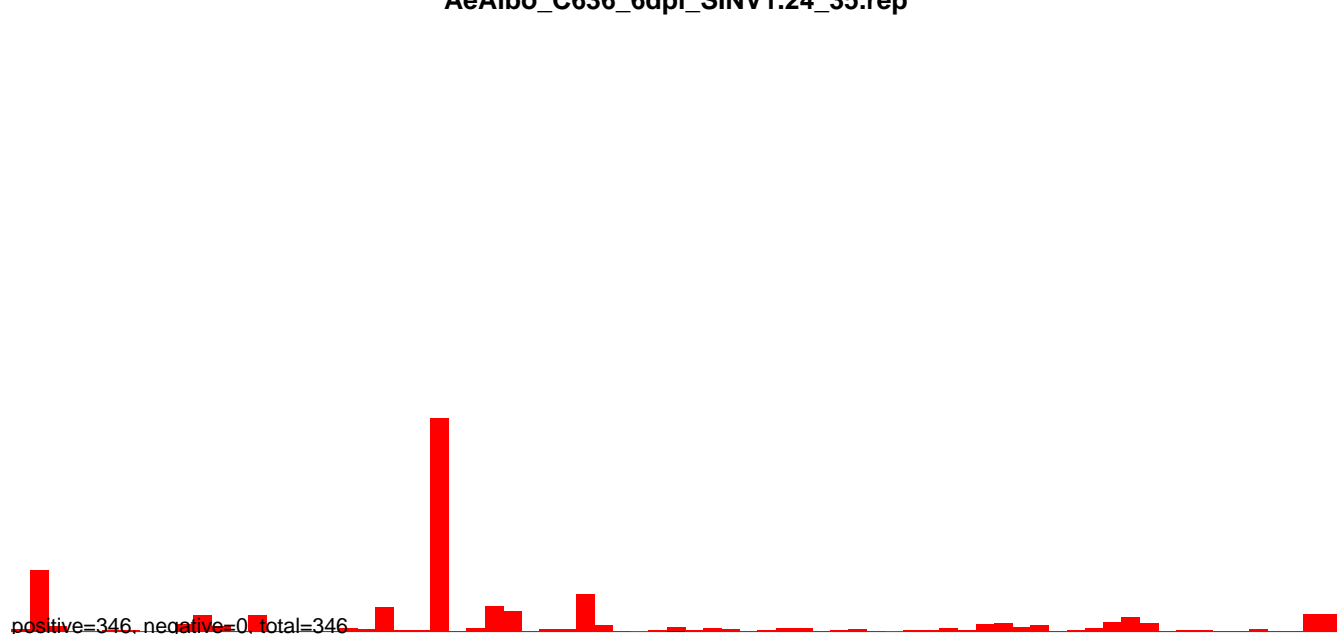
AeAlbo_C636_6dpi_SINV1.rep



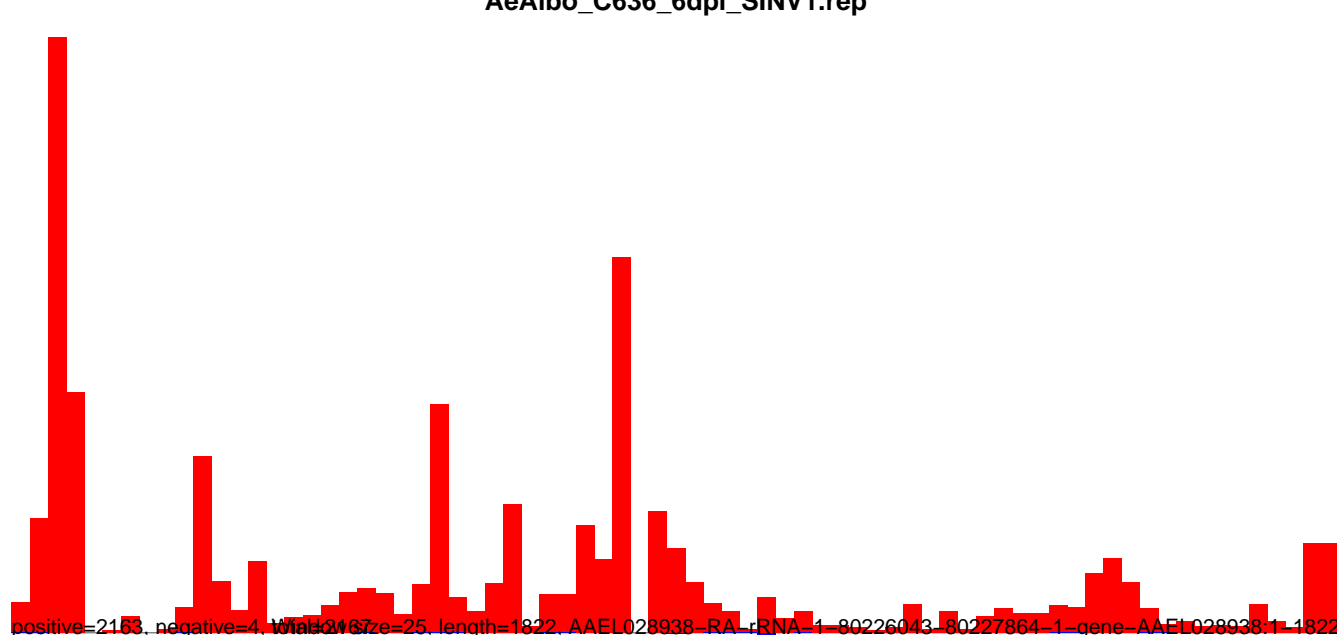
AeAlbo_C636_6dpi_SINV1.18_23.rep



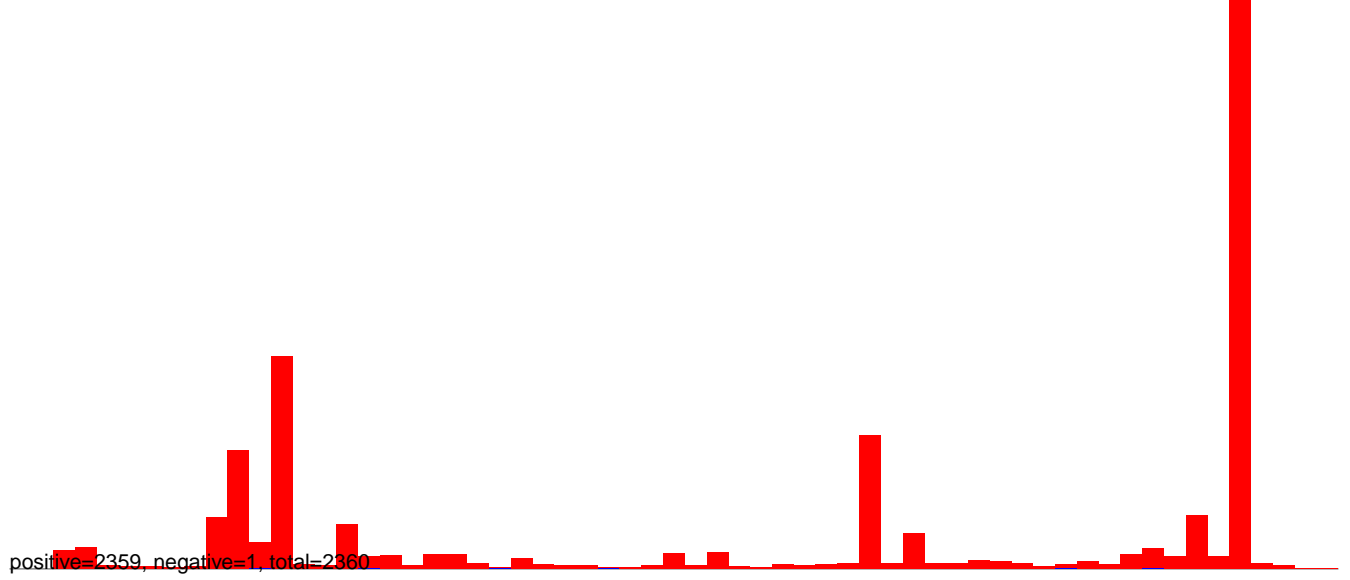
AeAlbo_C636_6dpi_SINV1.24_35.rep



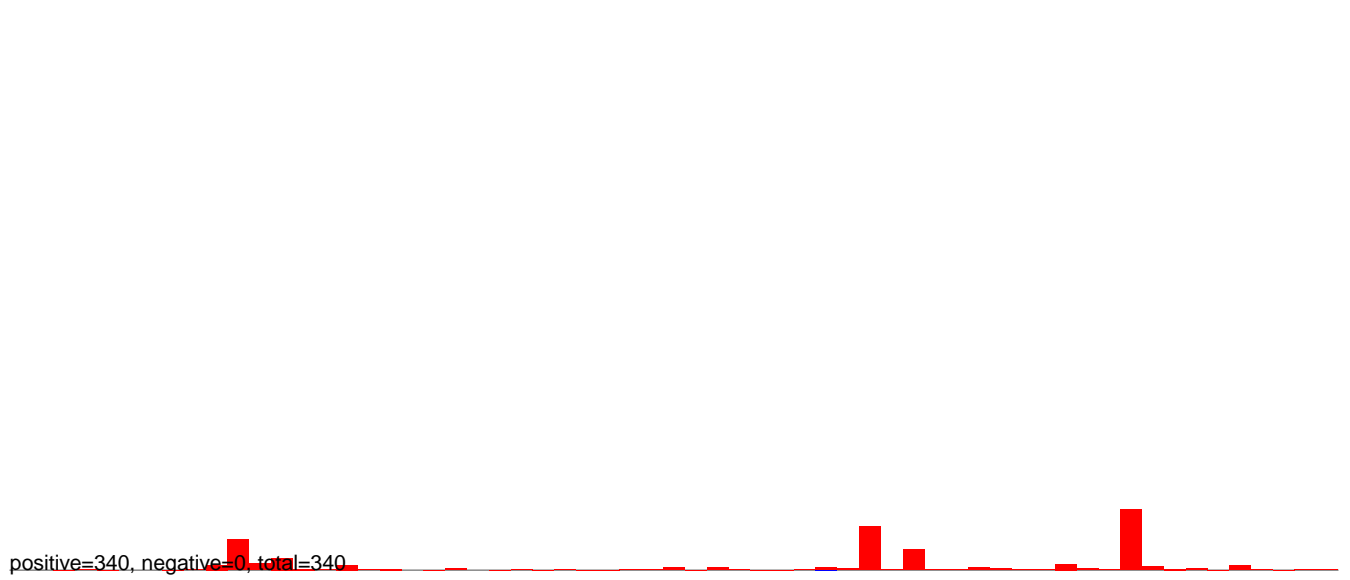
AeAlbo_C636_6dpi_SINV1.rep



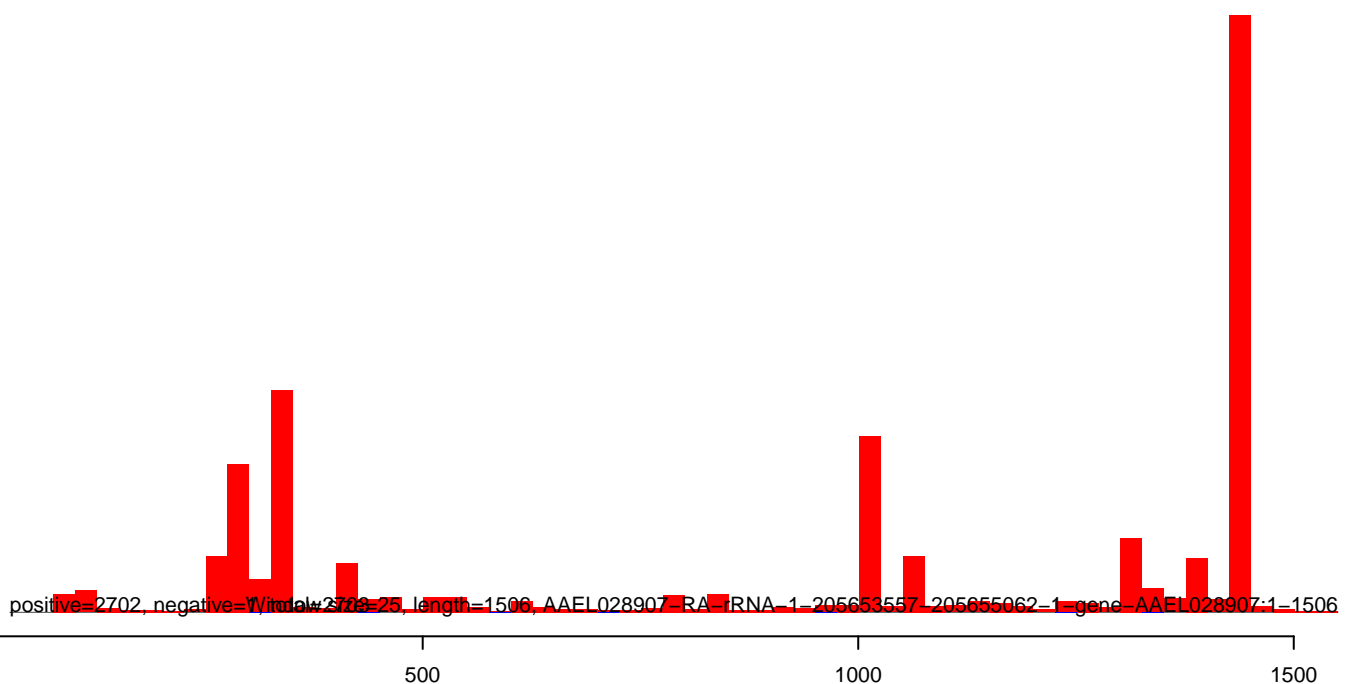
AeAlbo_C636_6dpi_SINV1.18_23.rep



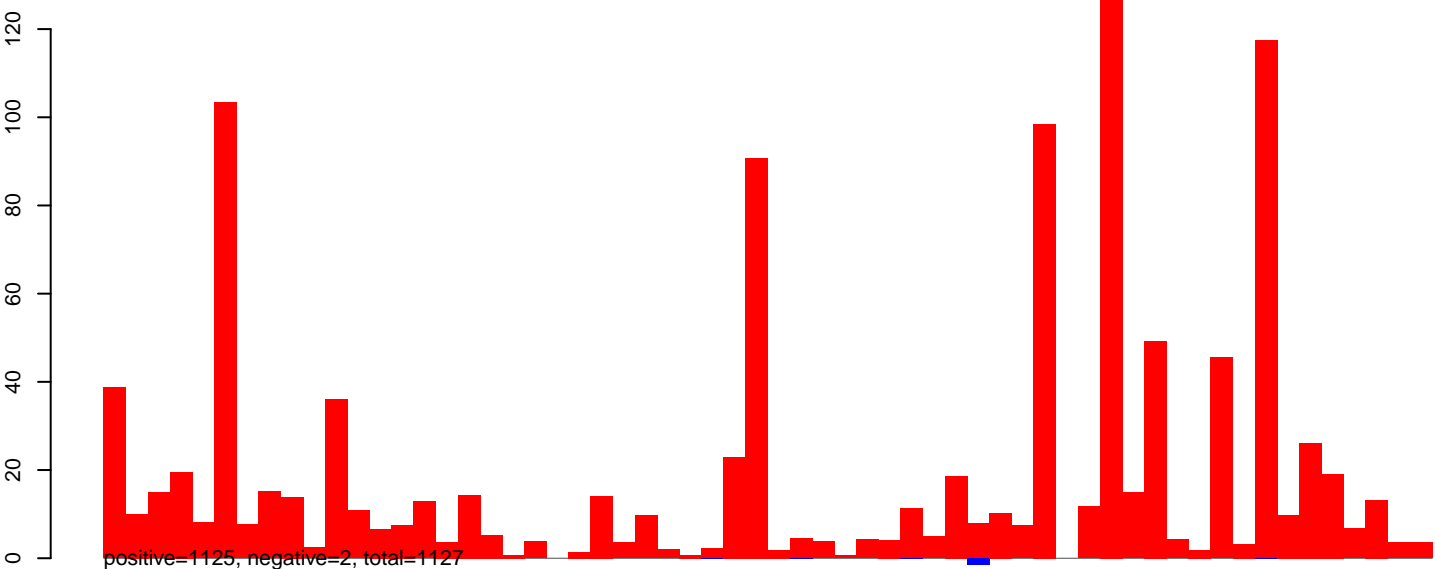
AeAlbo_C636_6dpi_SINV1.24_35.rep



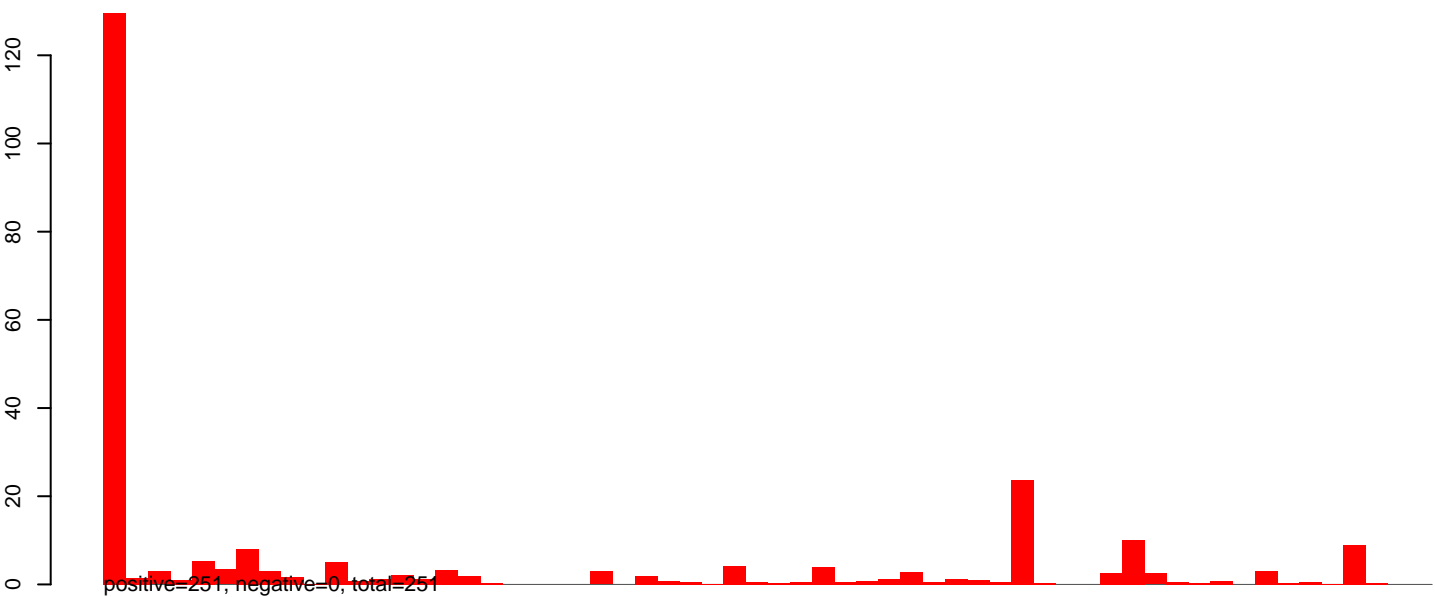
AeAlbo_C636_6dpi_SINV1.rep



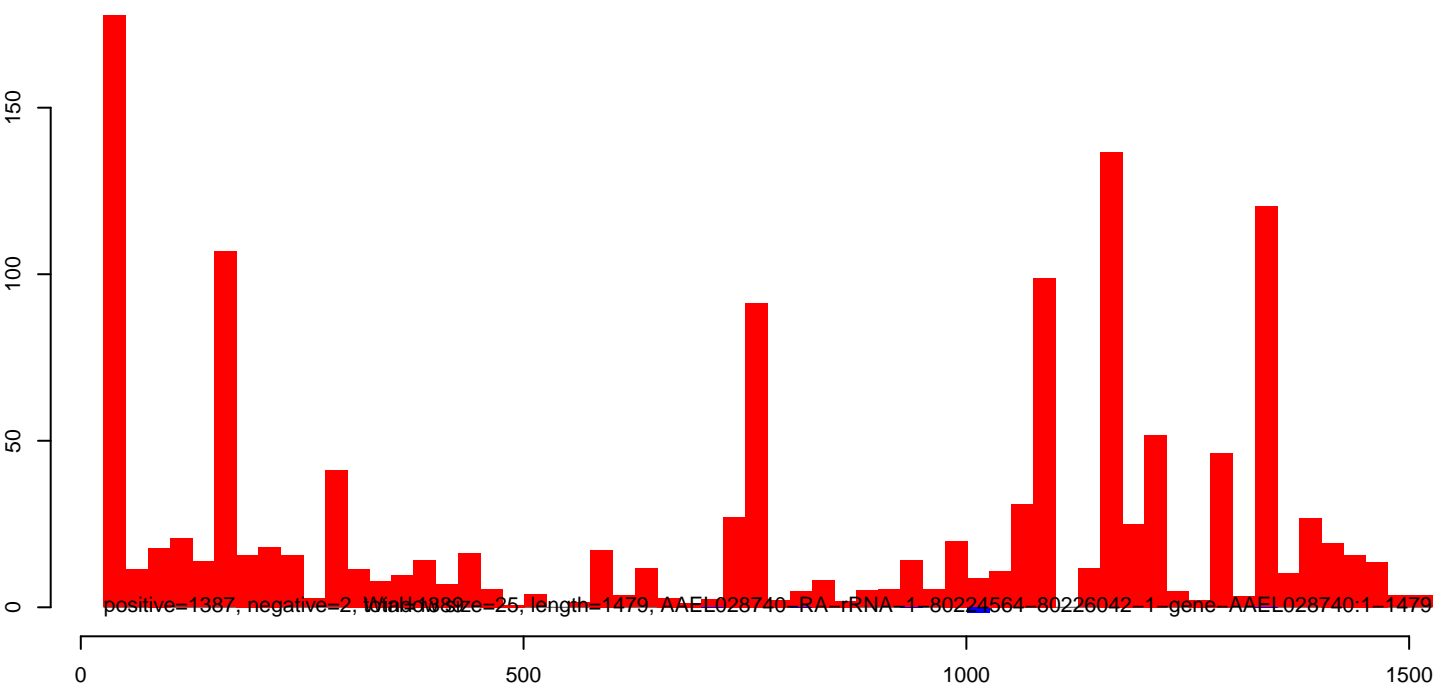
AeAlbo_C636_6dpi_SINV1.18_23.rep



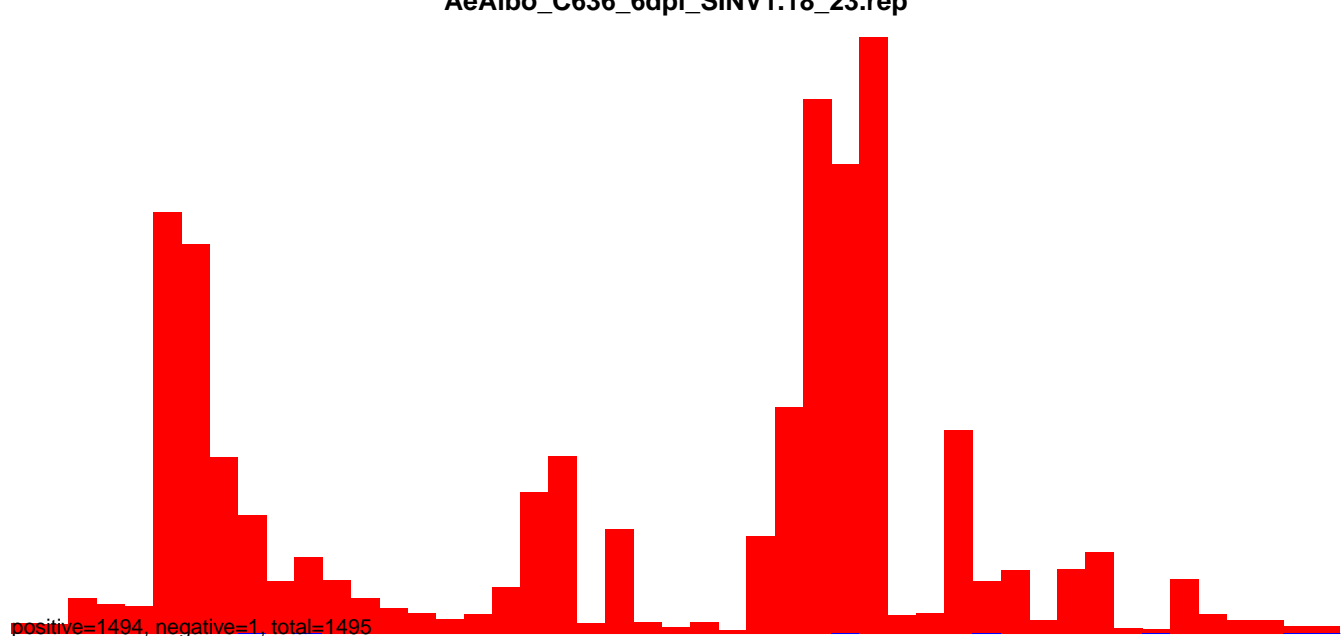
AeAlbo_C636_6dpi_SINV1.24_35.rep



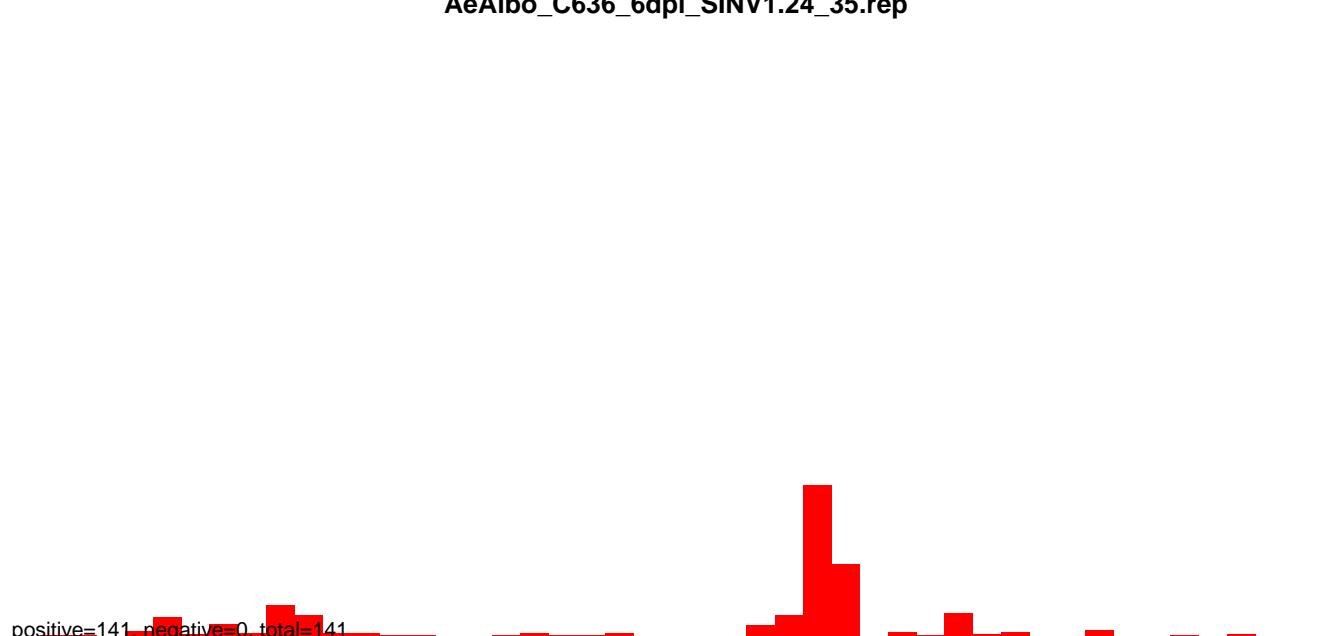
AeAlbo_C636_6dpi_SINV1.rep



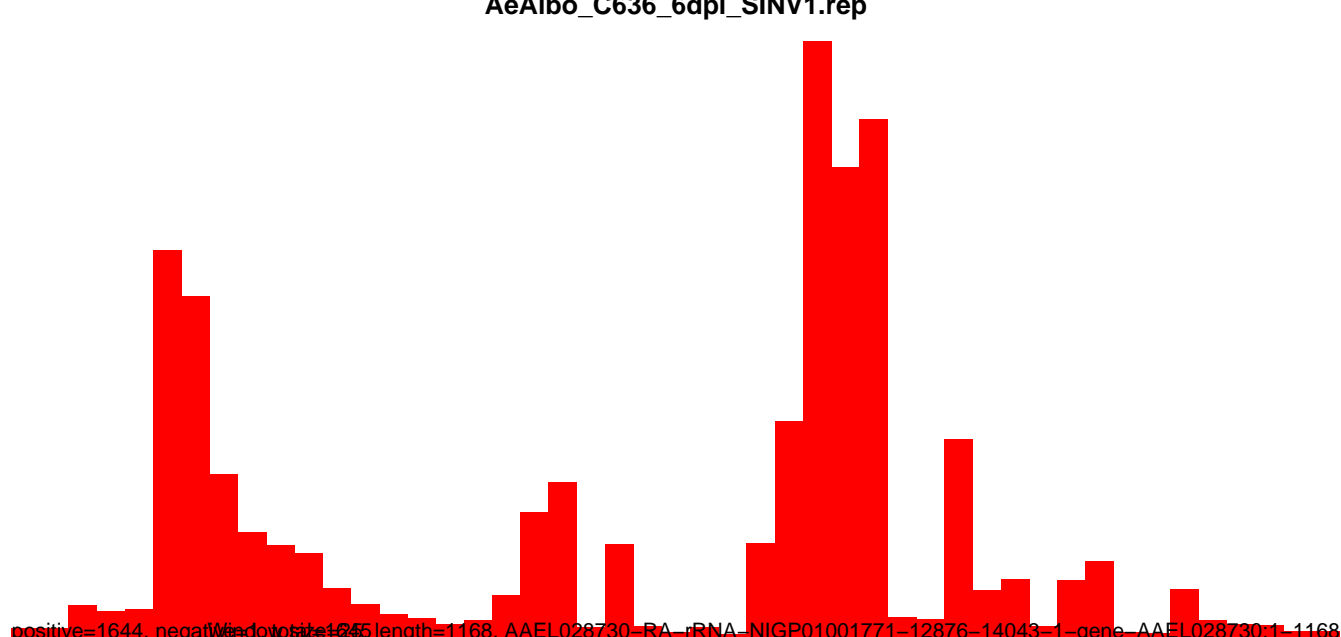
AeAlbo_C636_6dpi_SINV1.18_23.rep



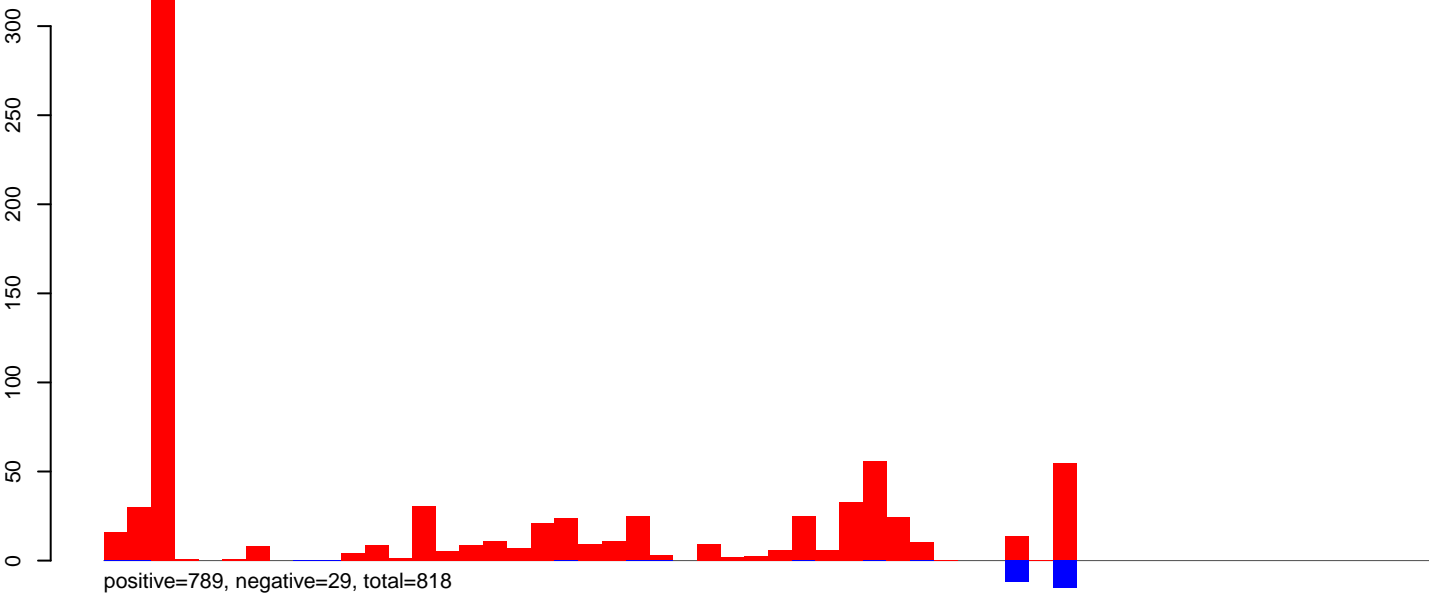
AeAlbo_C636_6dpi_SINV1.24_35.rep



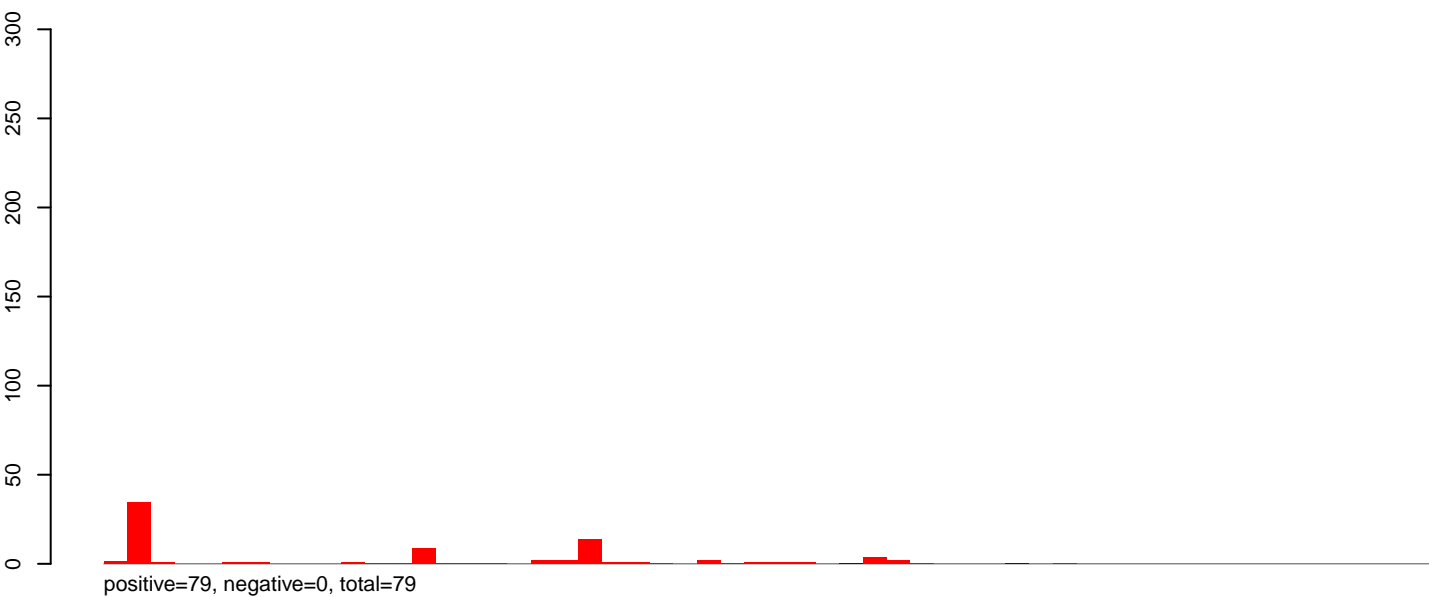
AeAlbo_C636_6dpi_SINV1.rep



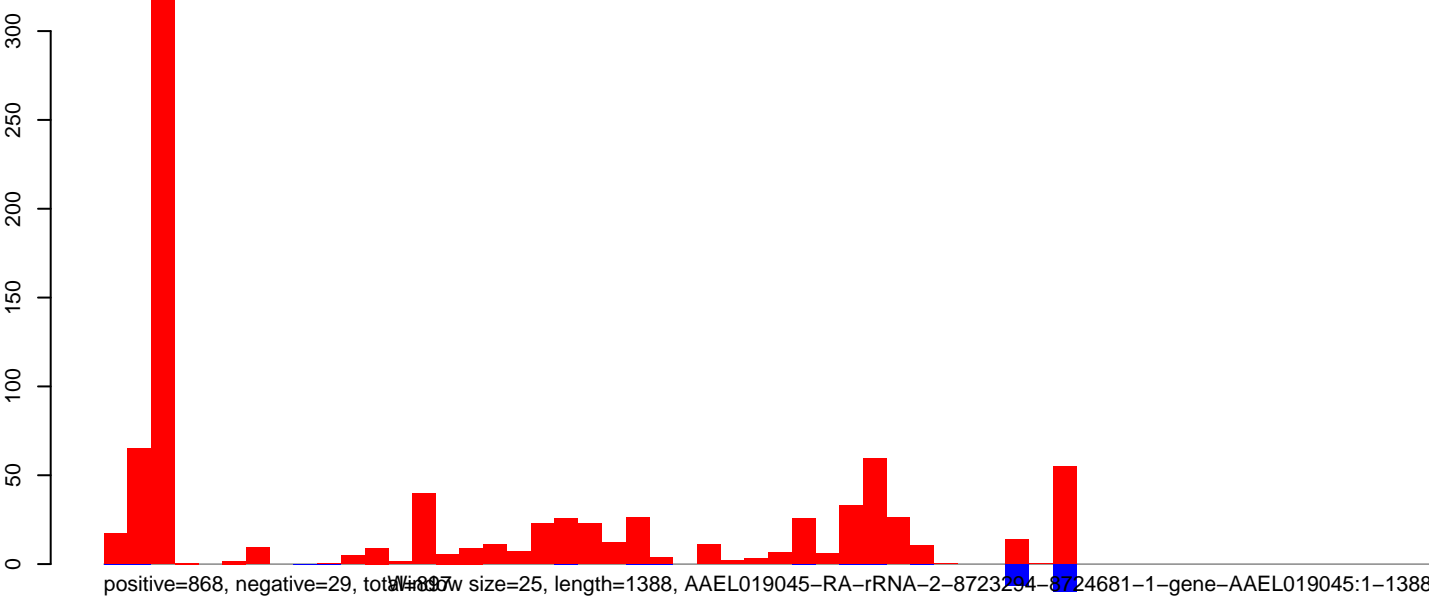
AeAlbo_C636_6dpi_SINV1.18_23.rep



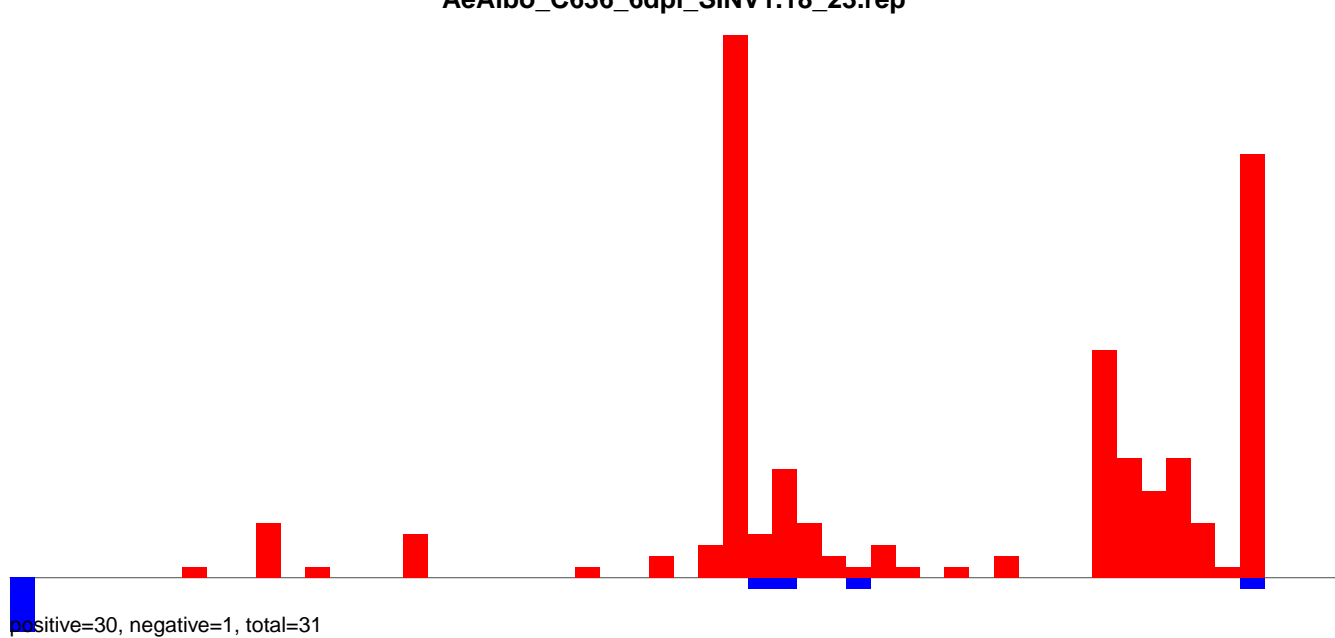
AeAlbo_C636_6dpi_SINV1.24_35.rep



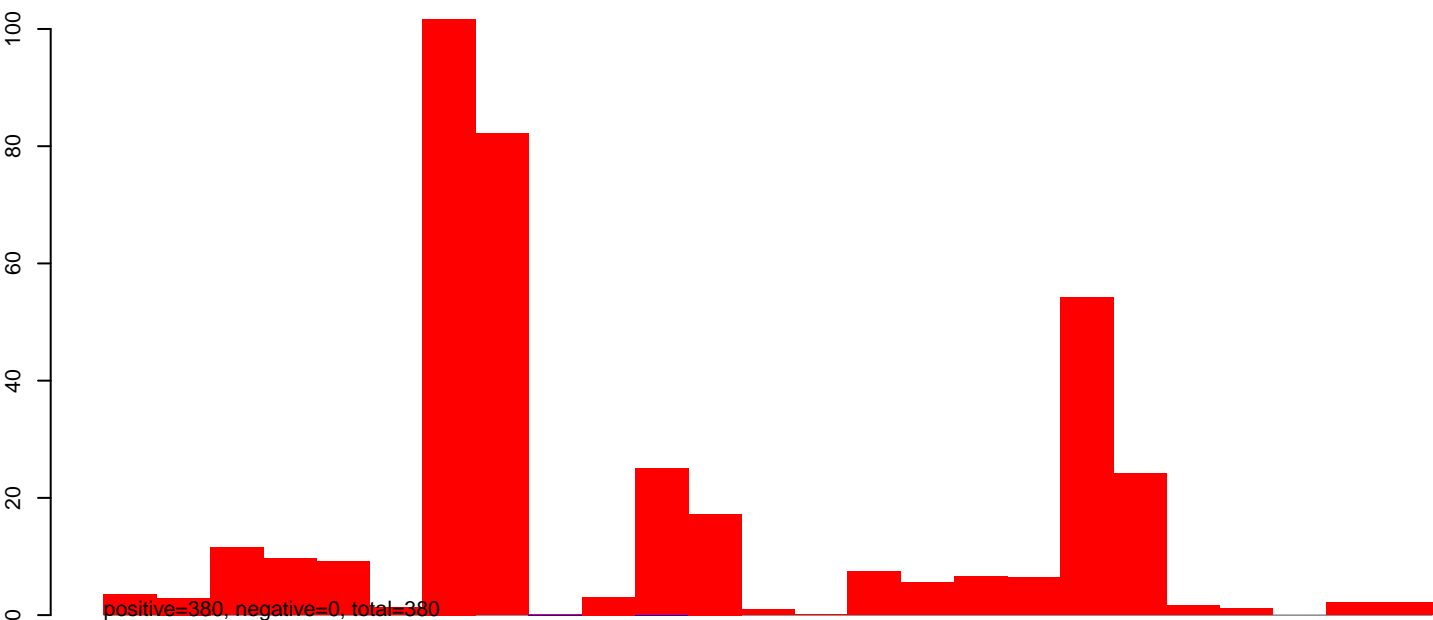
AeAlbo_C636_6dpi_SINV1.rep



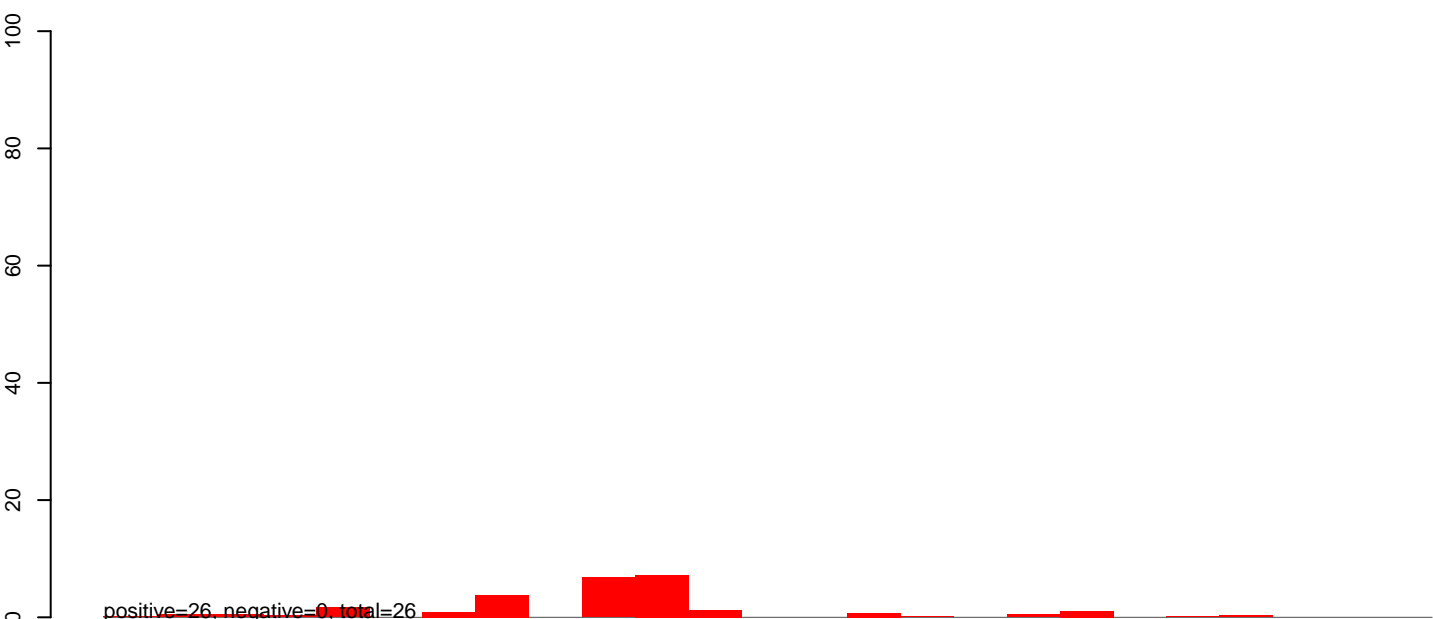
AeAlbo_C636_6dpi_SINV1.18_23.rep



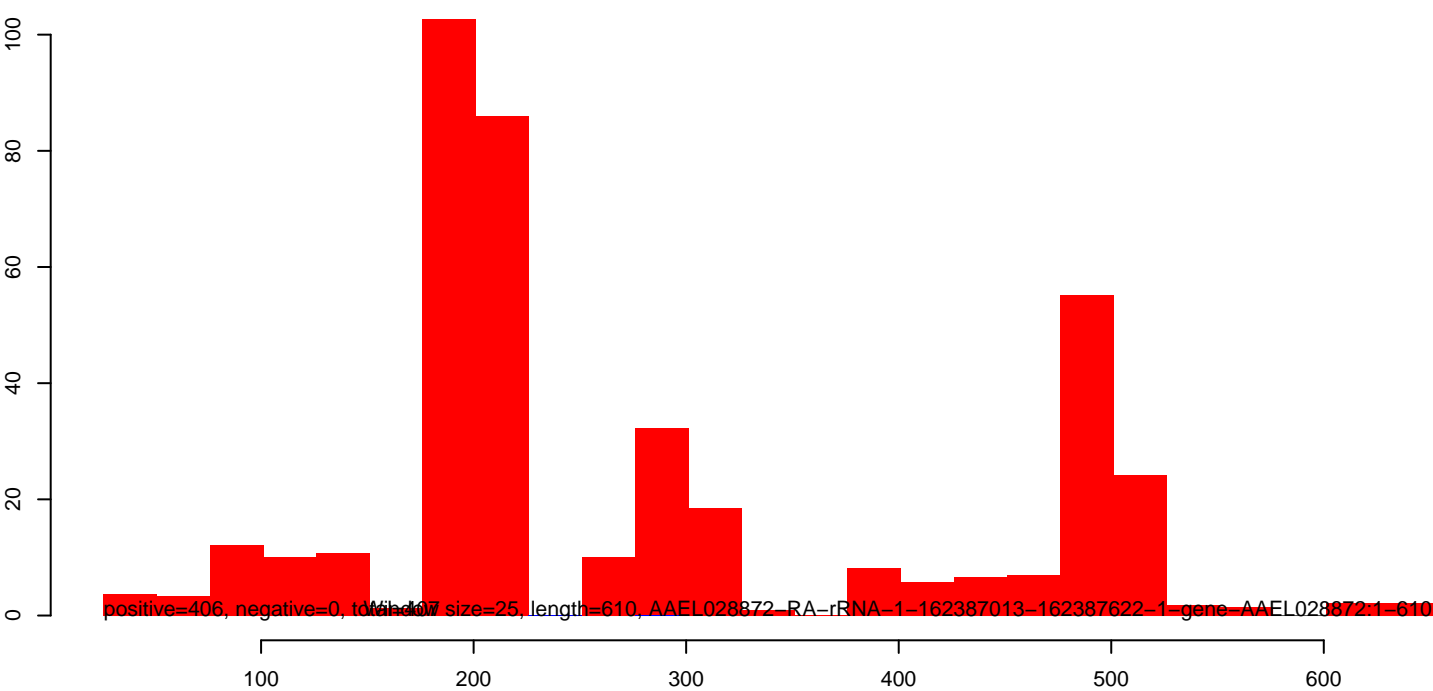
AeAlbo_C636_6dpi_SINV1.18_23.rep



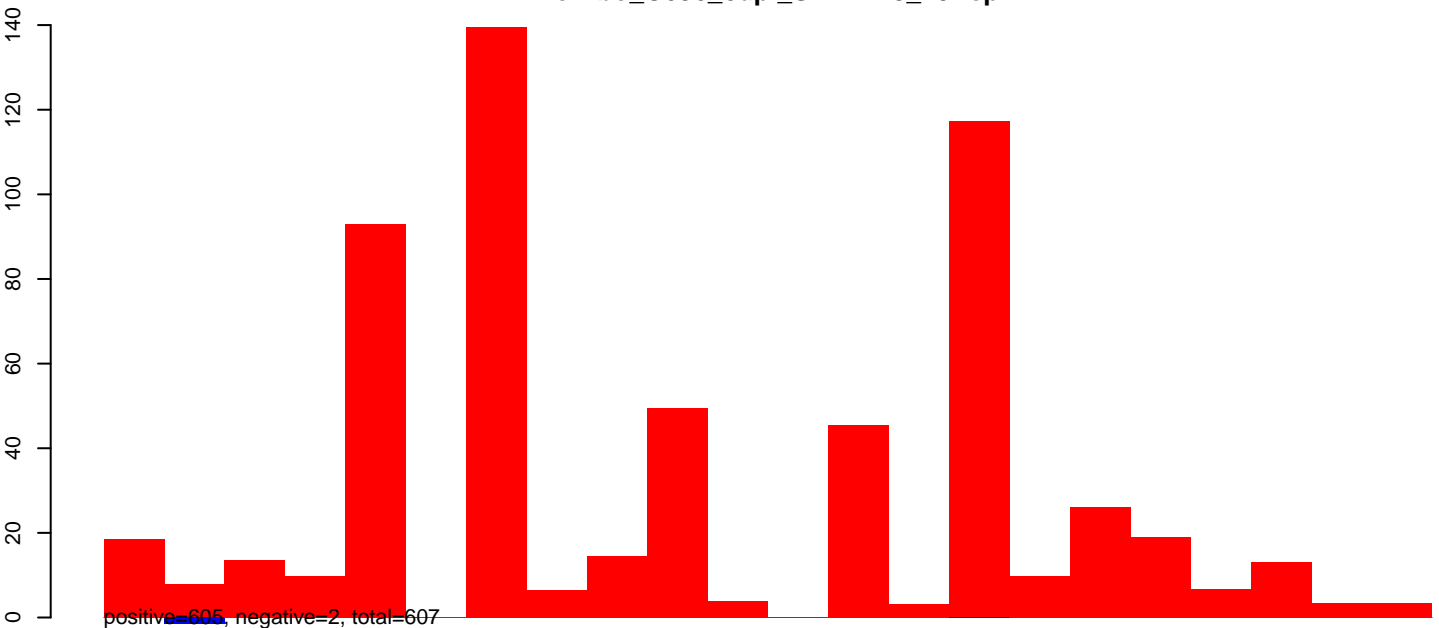
AeAlbo_C636_6dpi_SINV1.24_35.rep



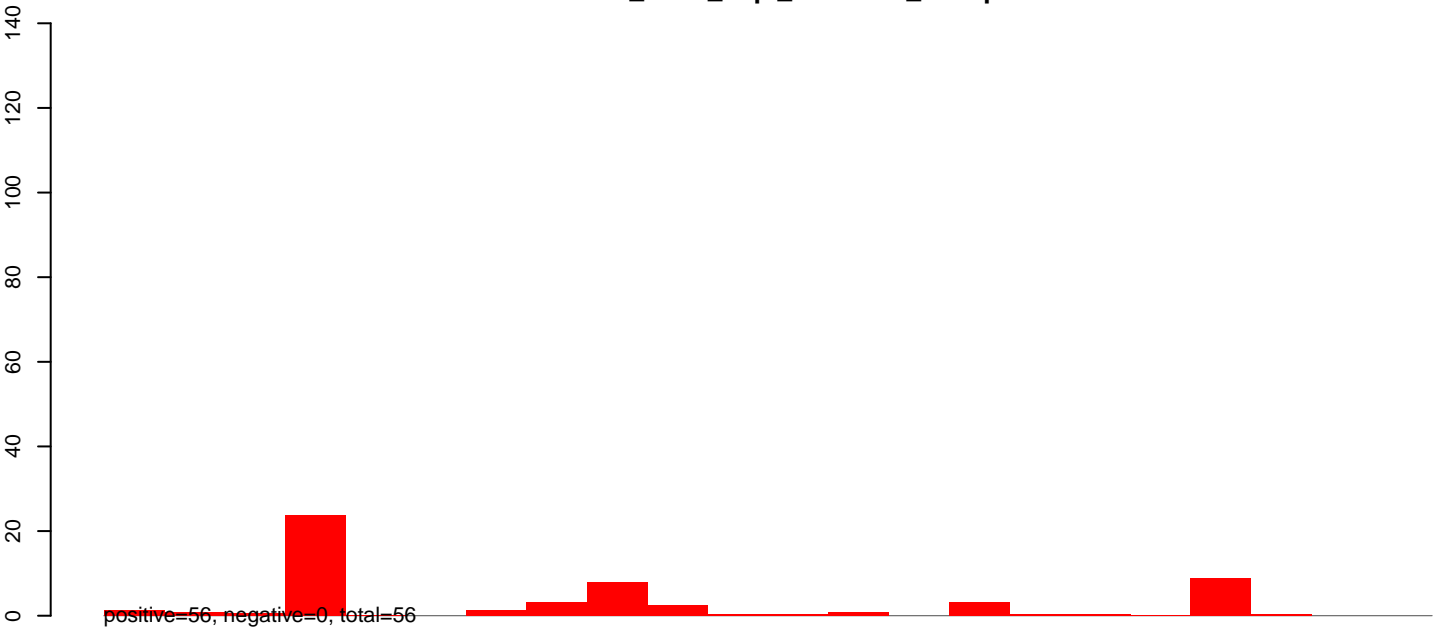
AeAlbo_C636_6dpi_SINV1.rep



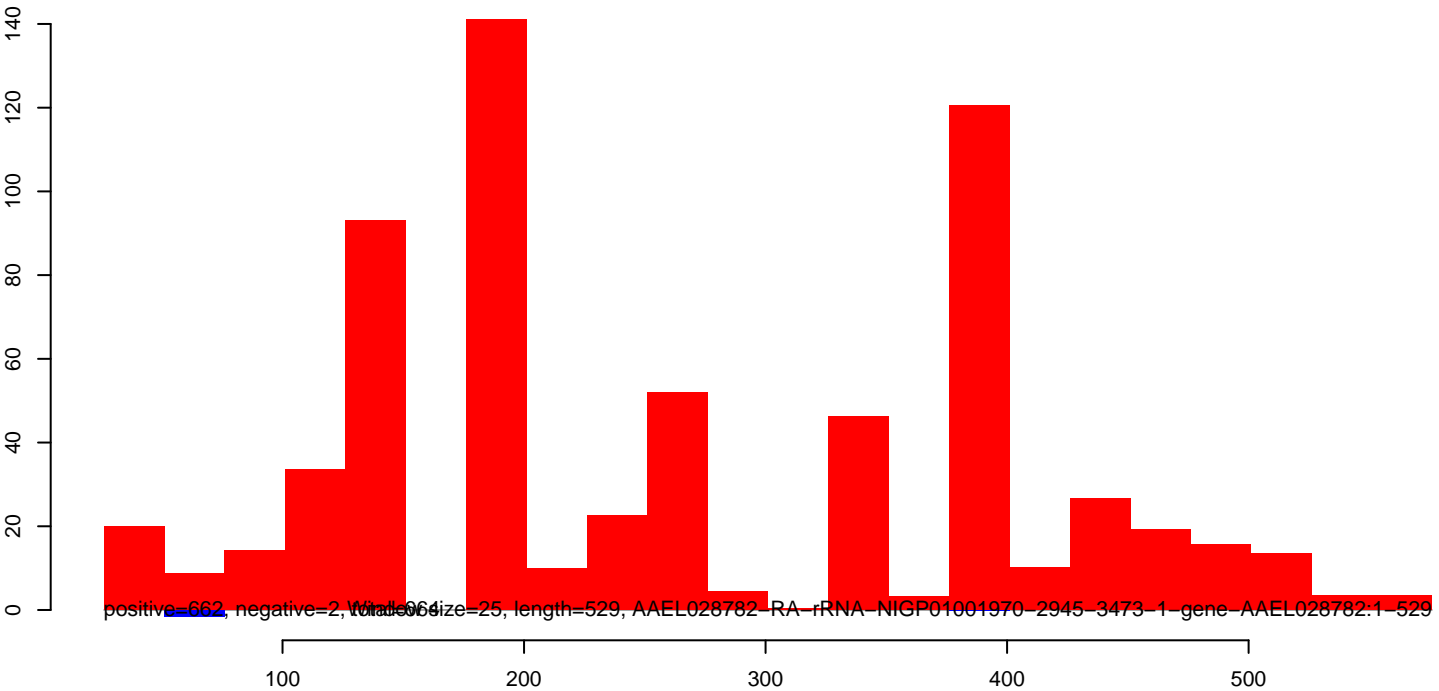
AeAlbo_C636_6dpi_SINV1.18_23.rep



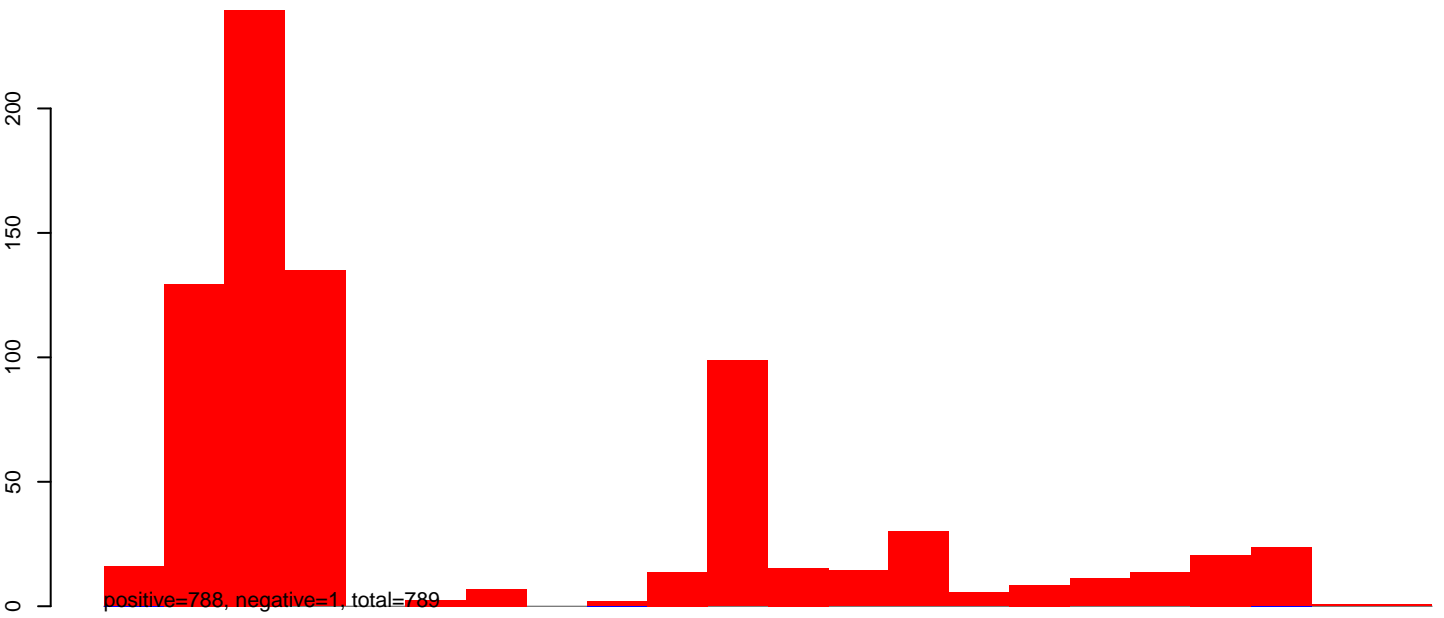
AeAlbo_C636_6dpi_SINV1.24_35.rep



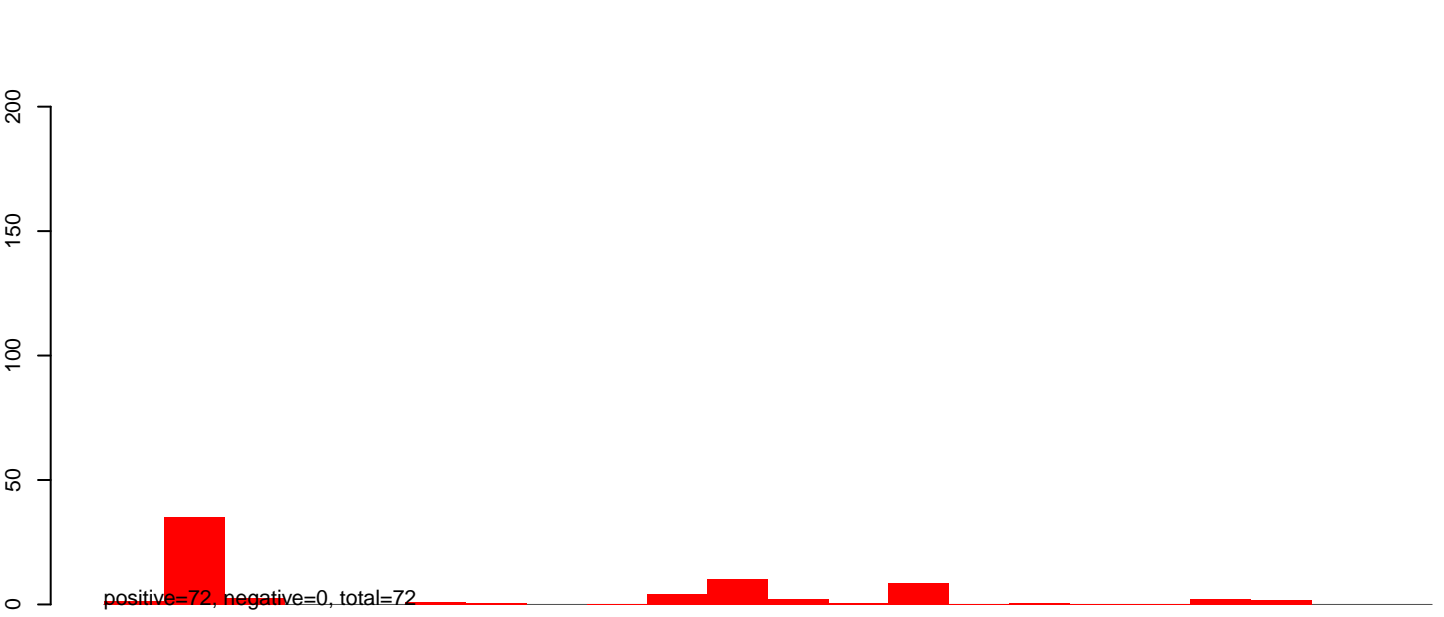
AeAlbo_C636_6dpi_SINV1.rep



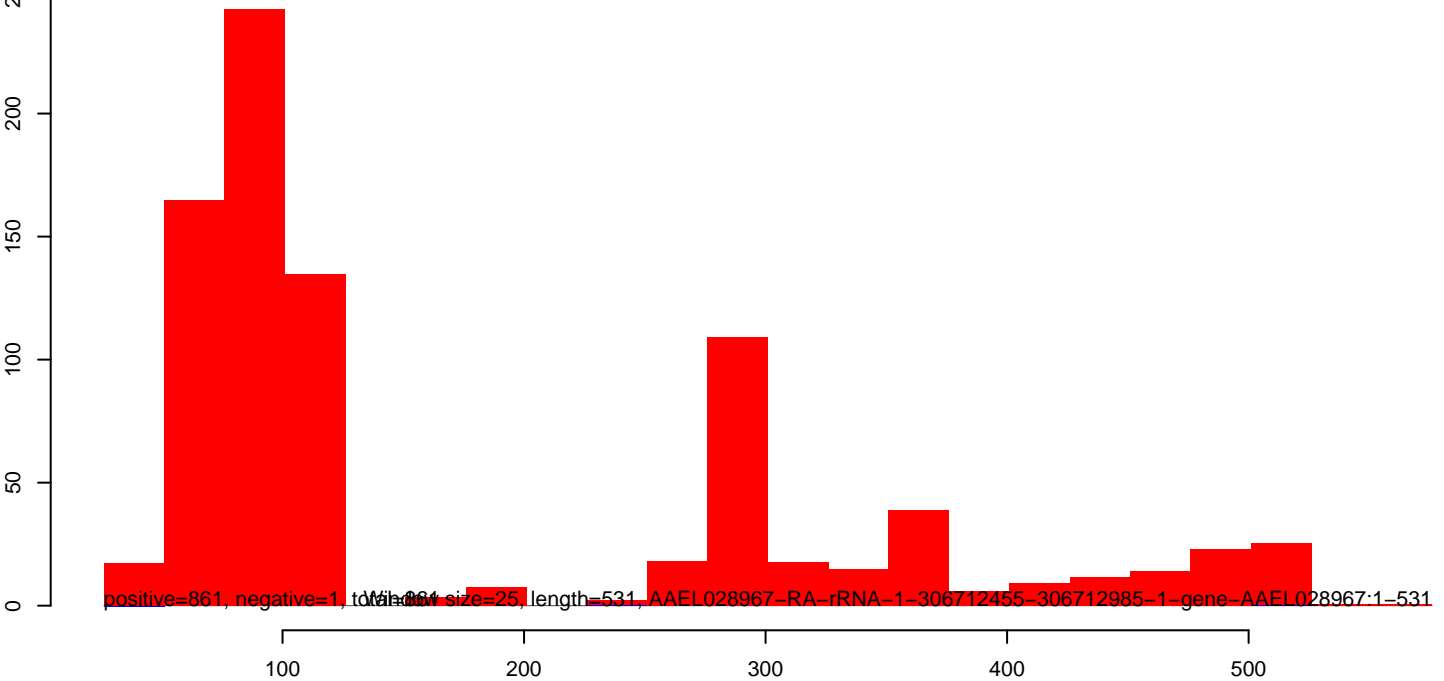
AeAlbo_C636_6dpi_SINV1.18_23.rep



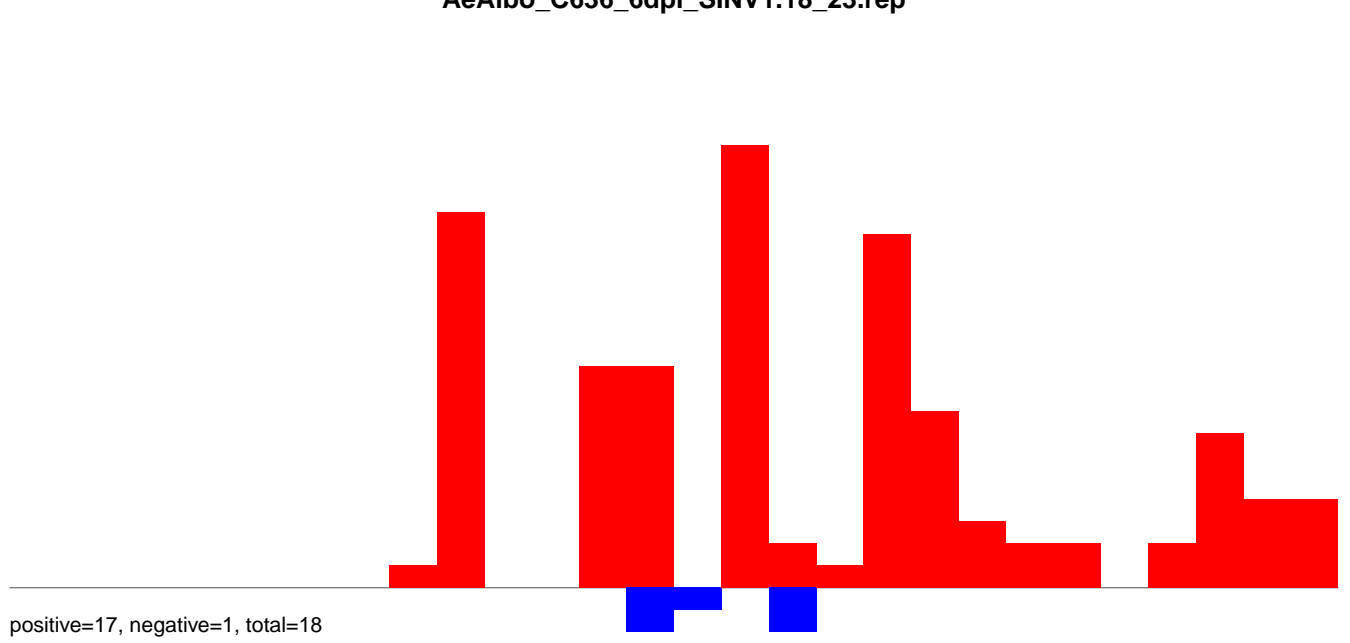
AeAlbo_C636_6dpi_SINV1.24_35.rep



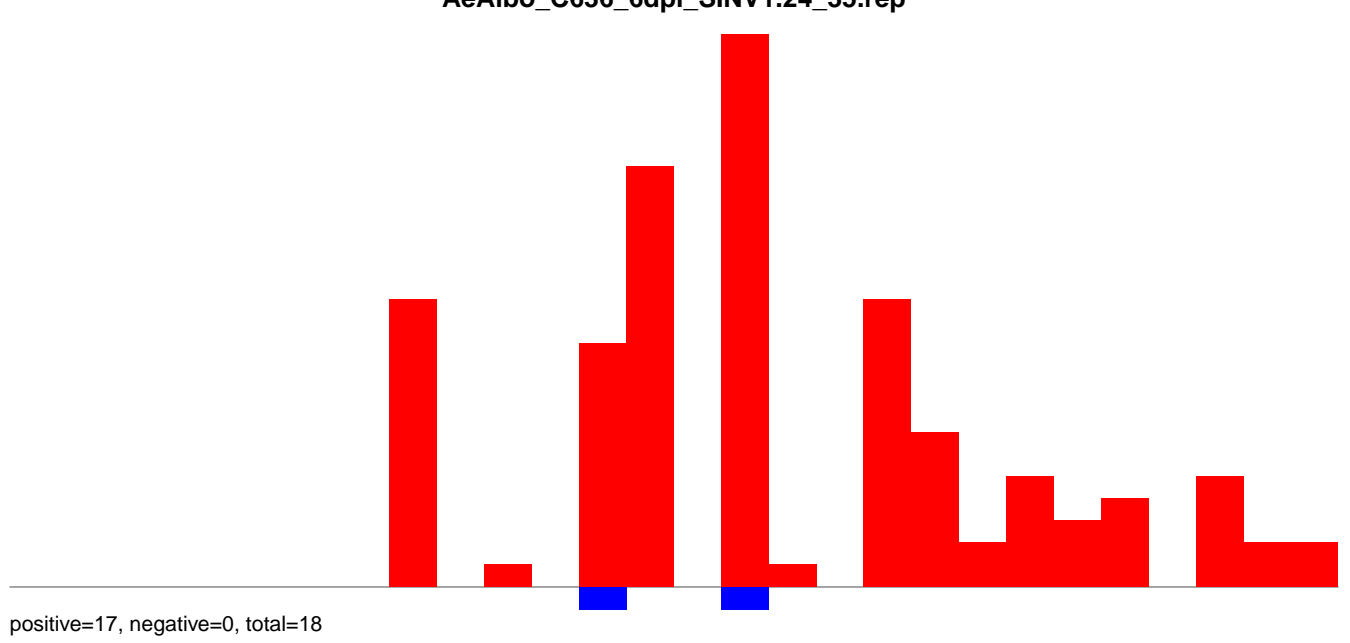
AeAlbo_C636_6dpi_SINV1.rep



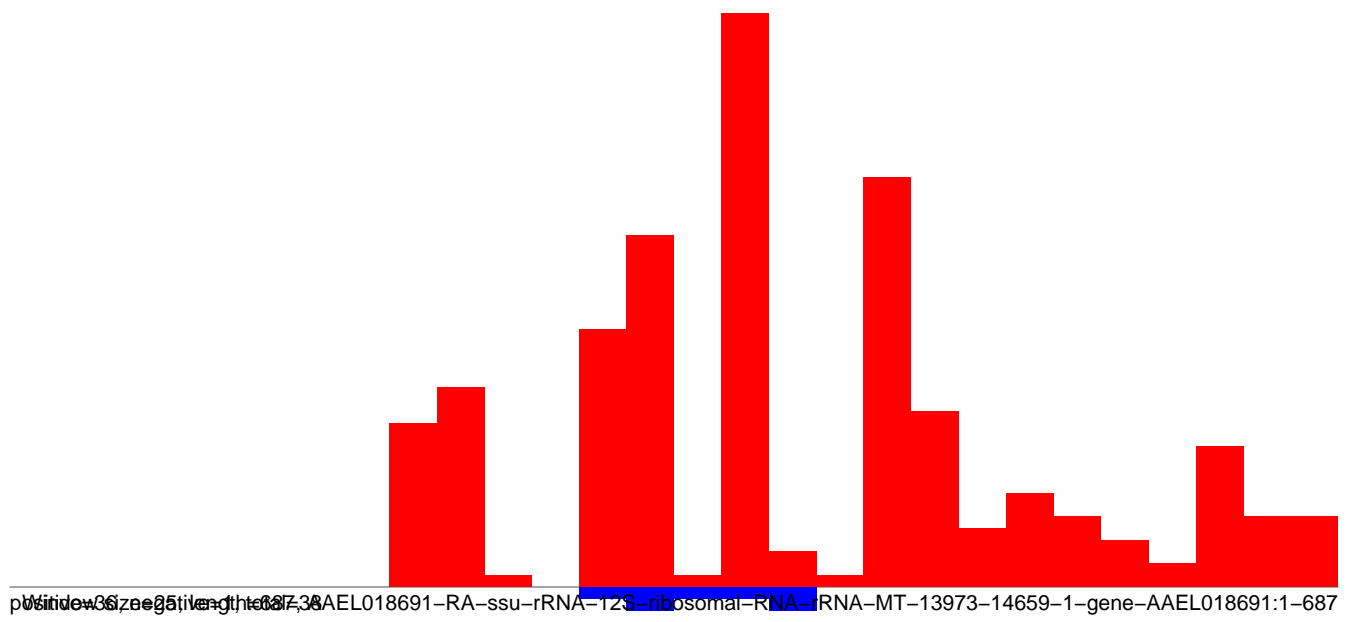
AeAlbo_C636_6dpi_SINV1.18_23.rep



AeAlbo_C636_6dpi_SINV1.24_35.rep

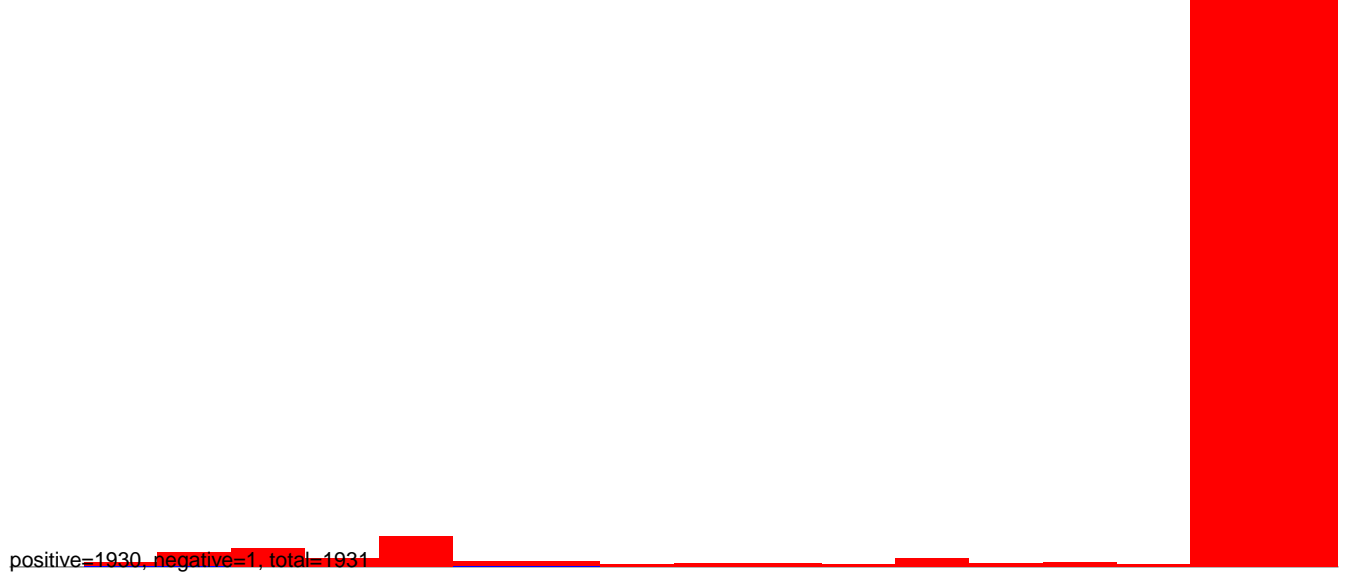


AeAlbo_C636_6dpi_SINV1.rep

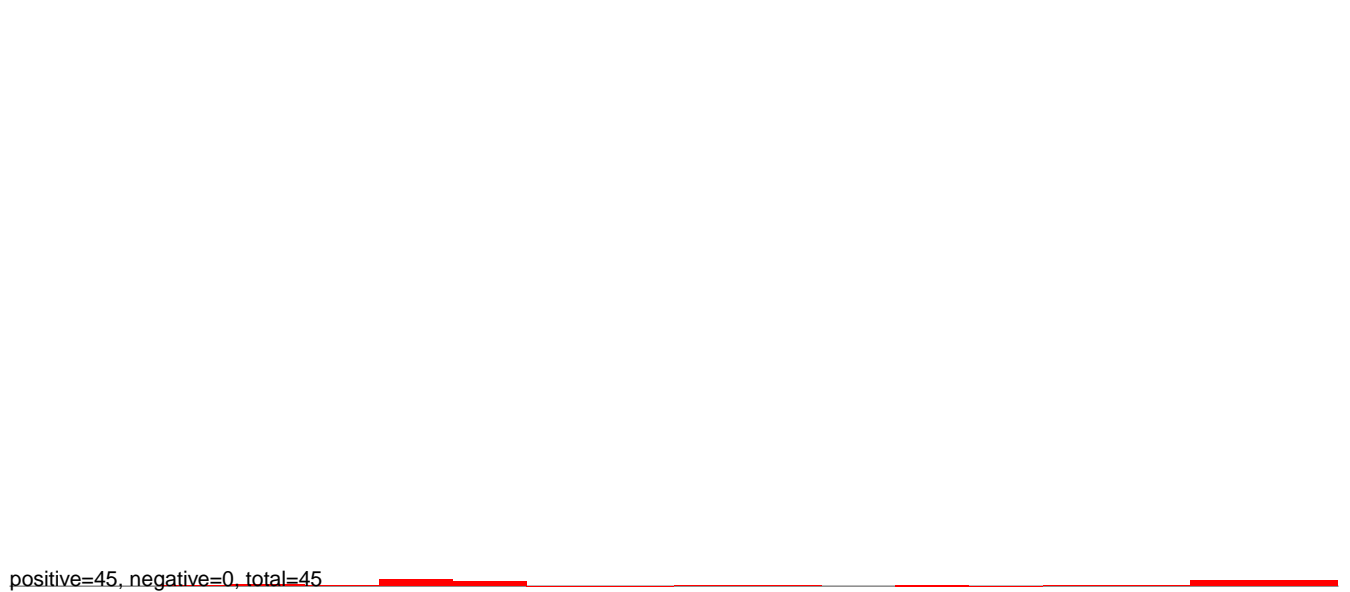


Window size=25, length=38
AAEL018691-RA-ssu-rRNA-12S-ribosomal-rRNA-rRNA-MT-13973-14659-1-gene-AAEL018691:1-687

AeAlbo_C636_6dpi_SINV1.18_23.rep



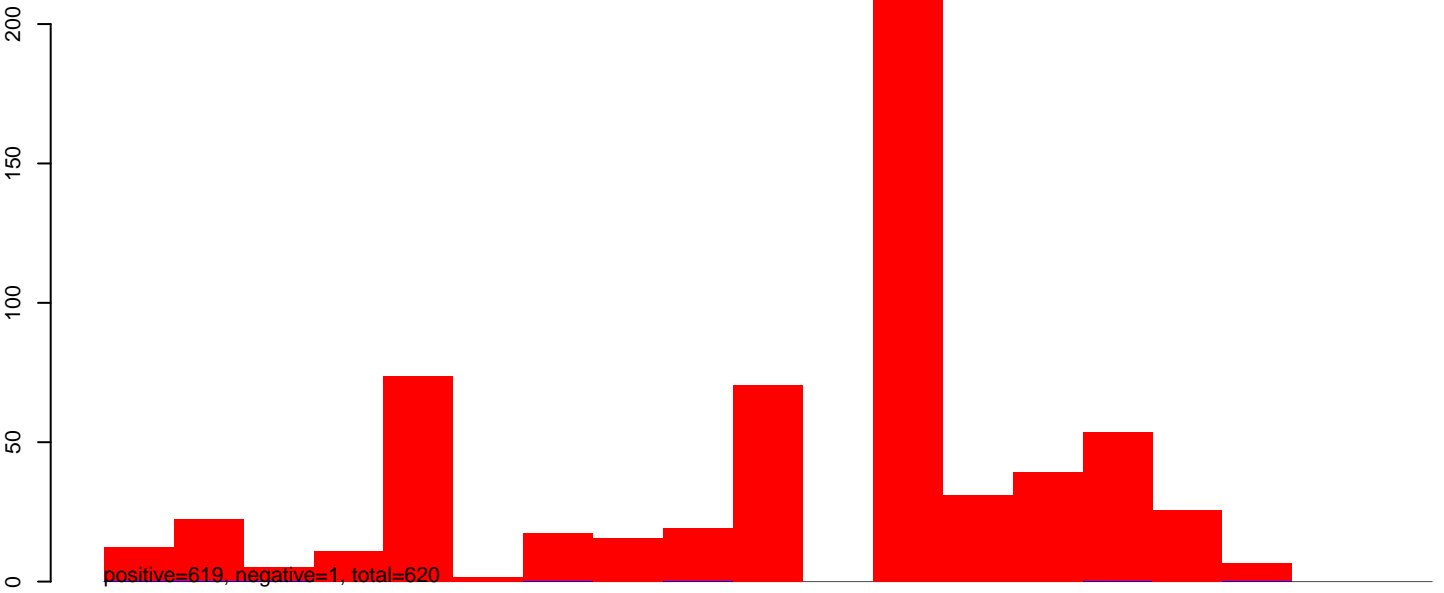
AeAlbo_C636_6dpi_SINV1.24_35.rep



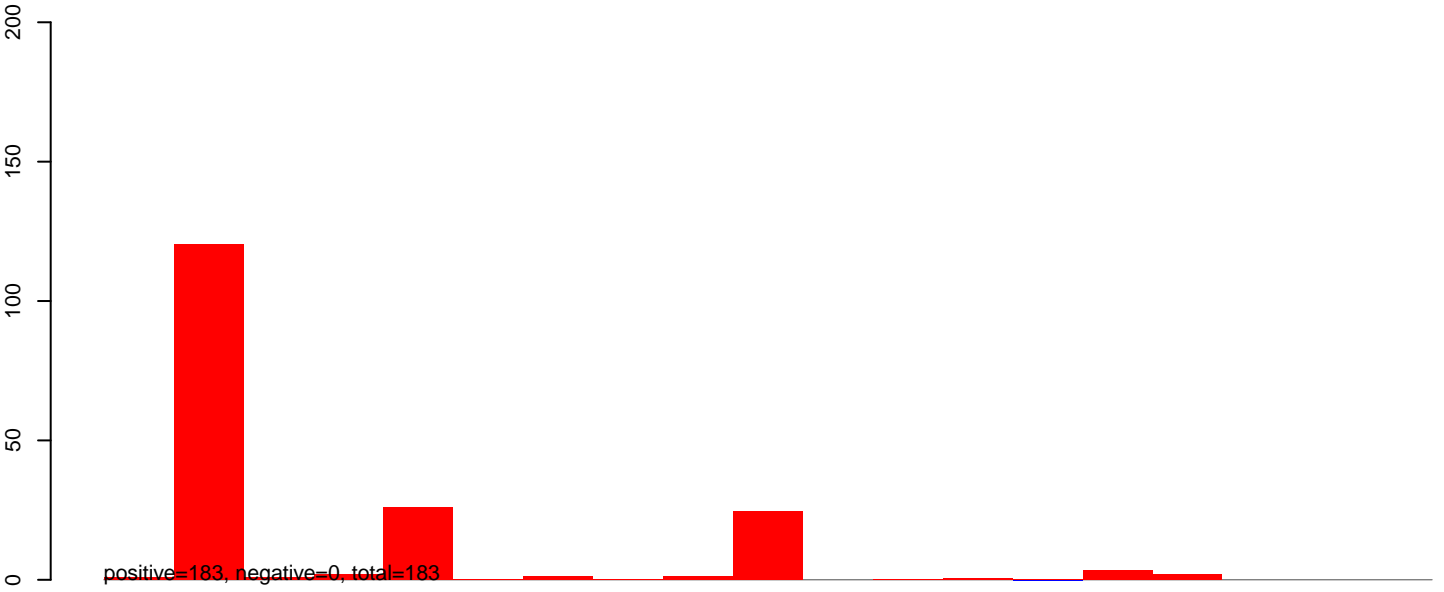
AeAlbo_C636_6dpi_SINV1.rep



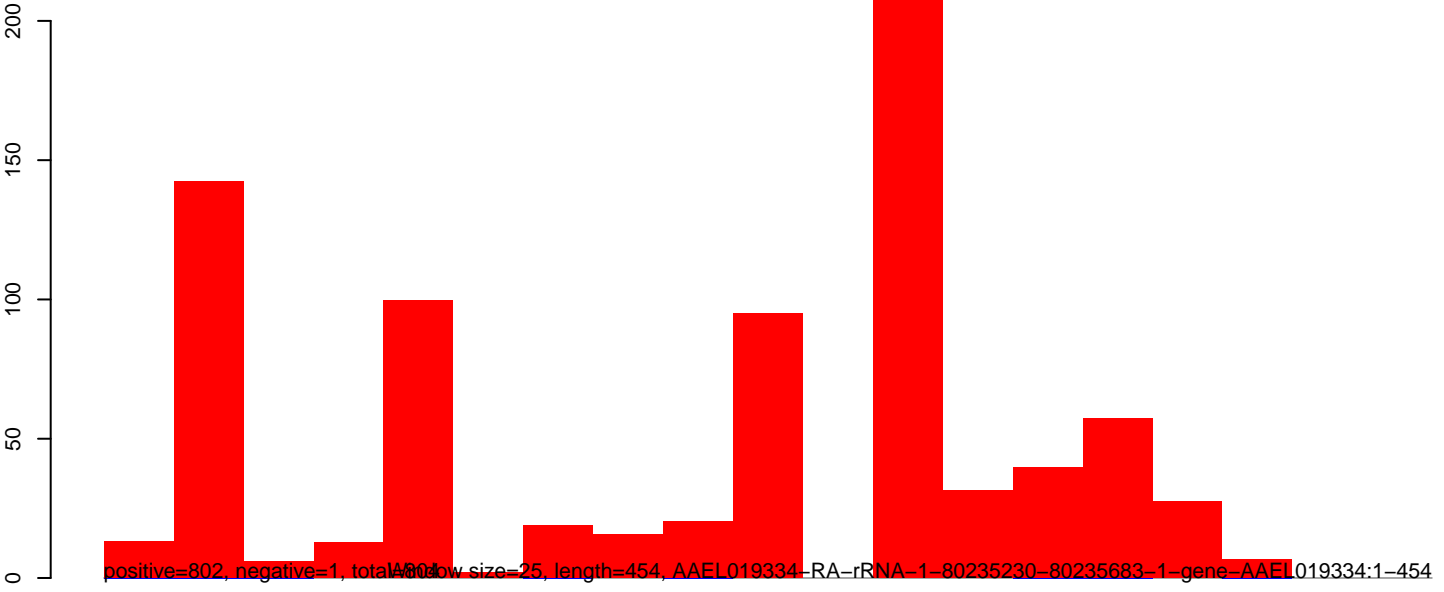
AeAlbo_C636_6dpi_SINV1.18_23.rep



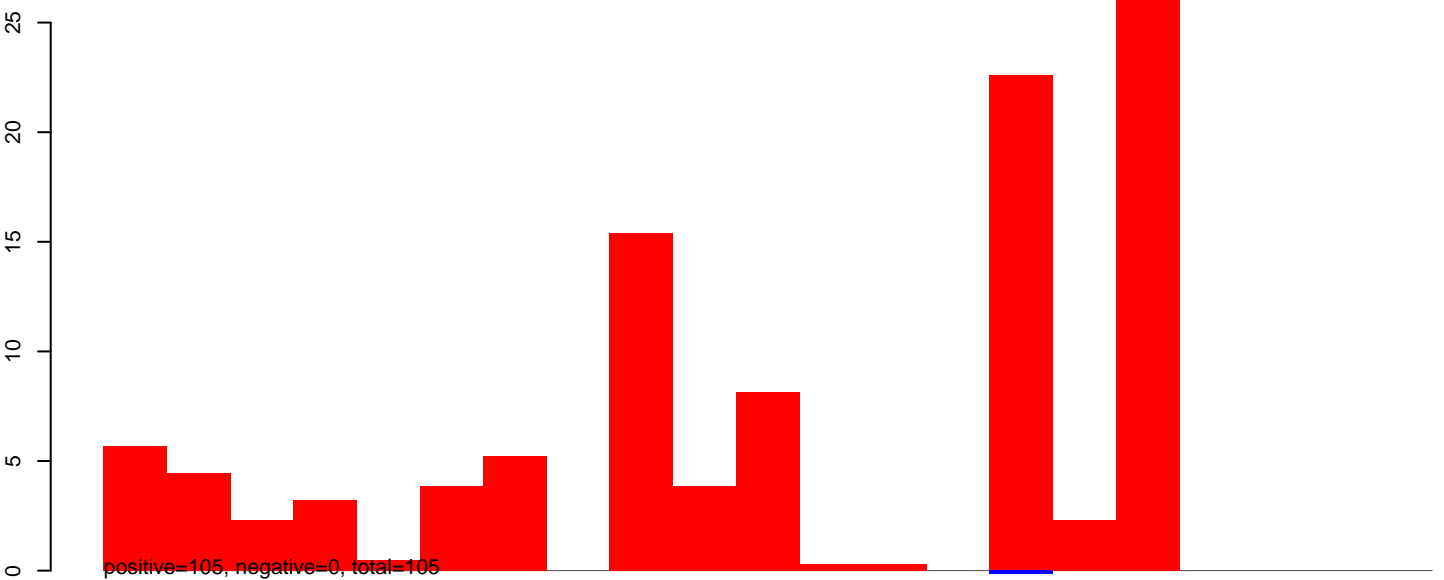
AeAlbo_C636_6dpi_SINV1.24_35.rep



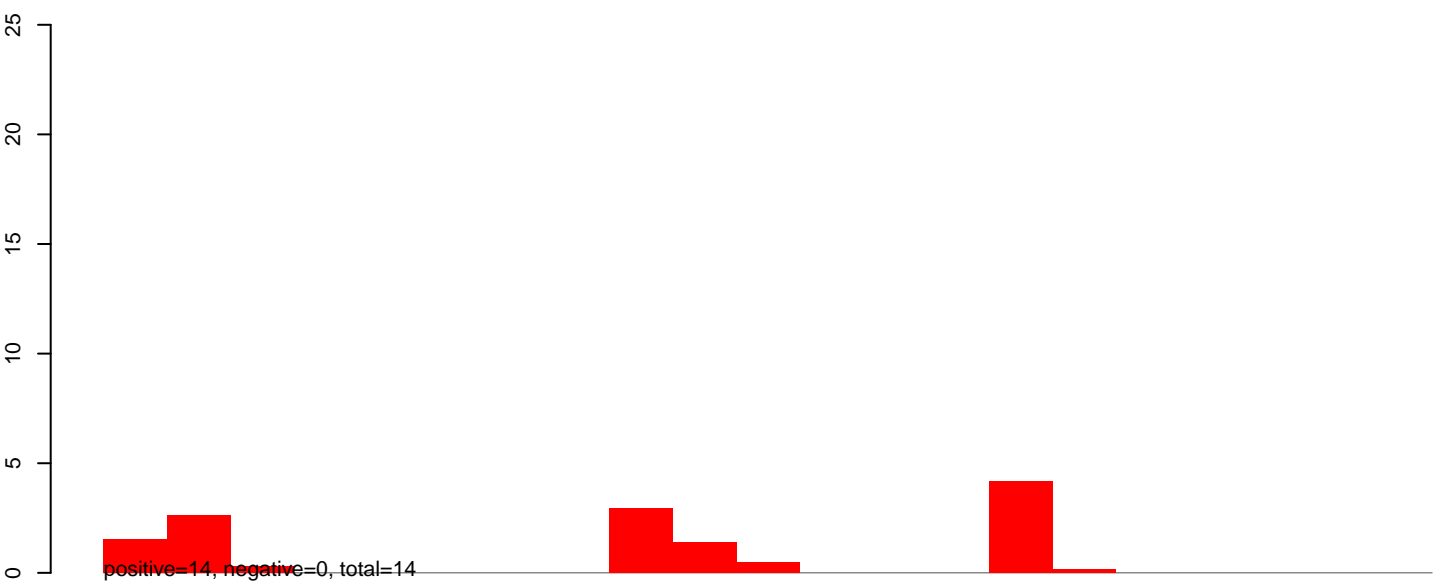
AeAlbo_C636_6dpi_SINV1.rep



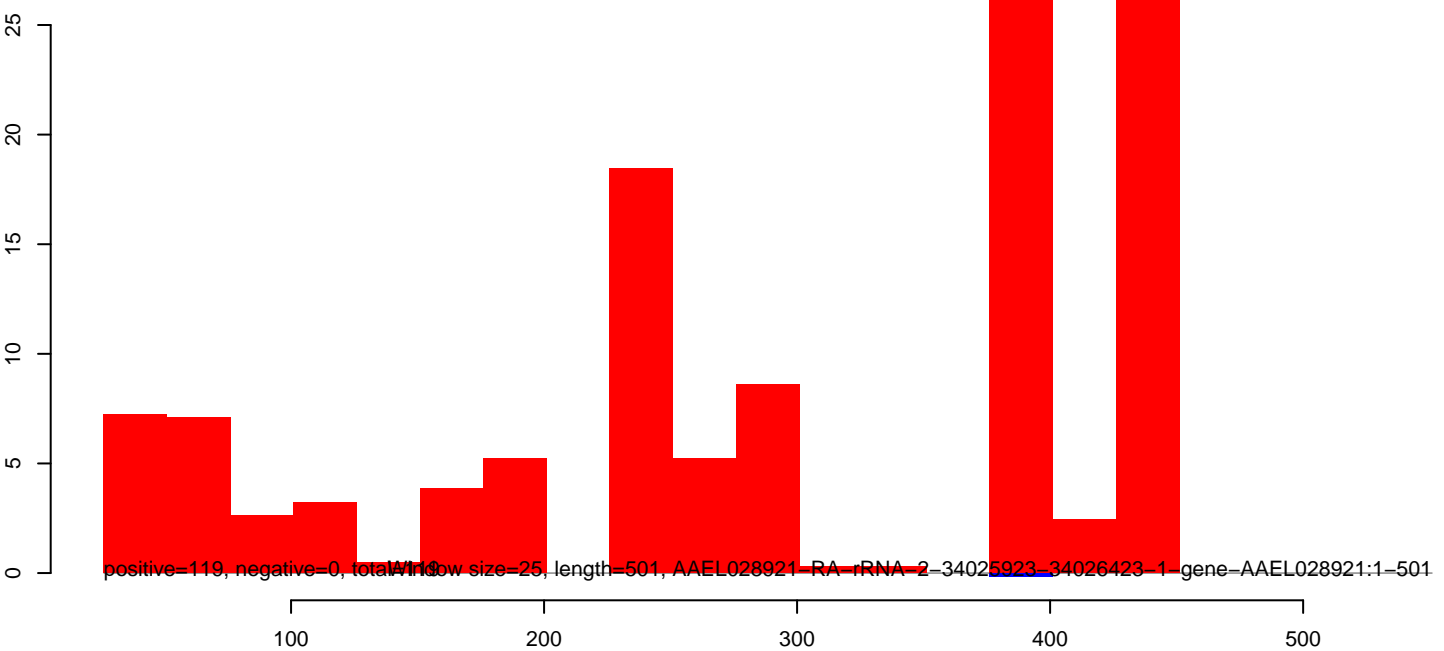
AeAlbo_C636_6dpi_SINV1.18_23.rep



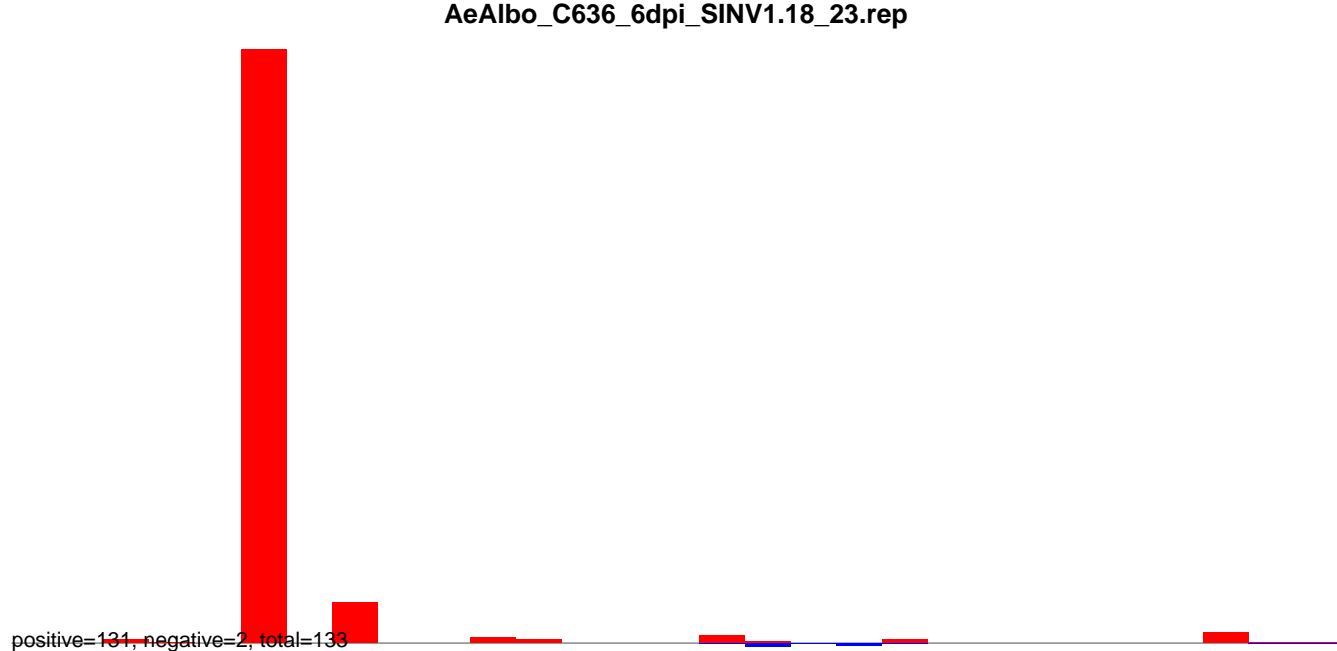
AeAlbo_C636_6dpi_SINV1.24_35.rep



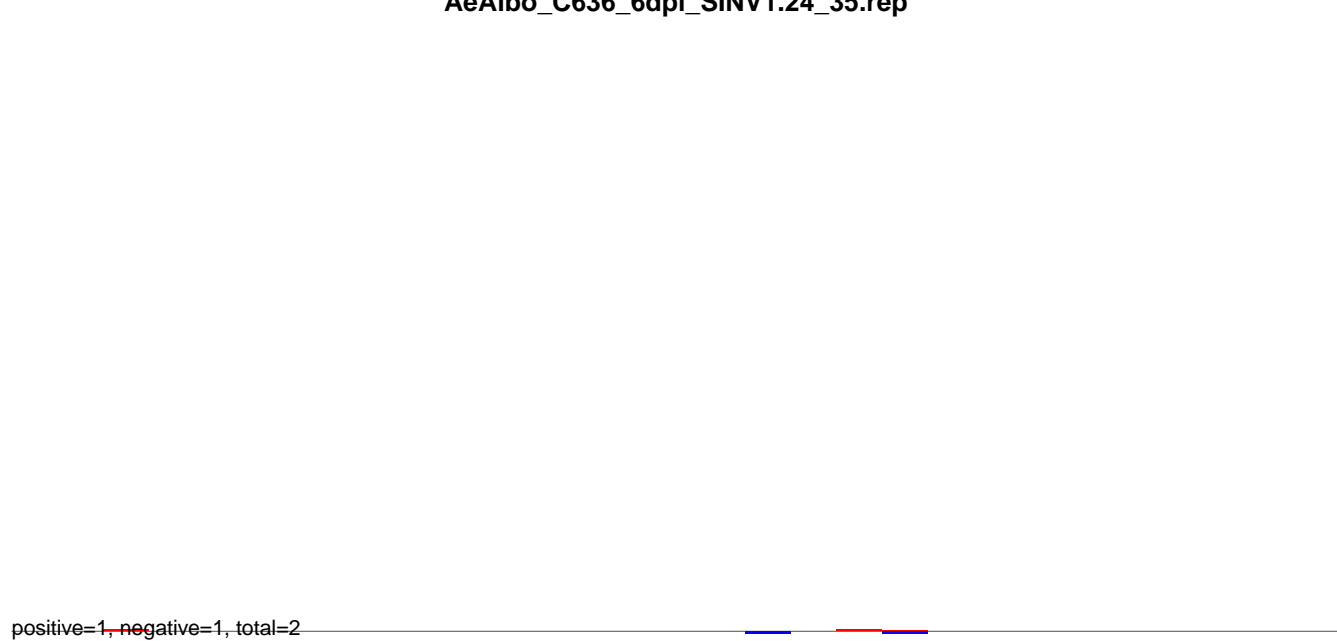
AeAlbo_C636_6dpi_SINV1.rep



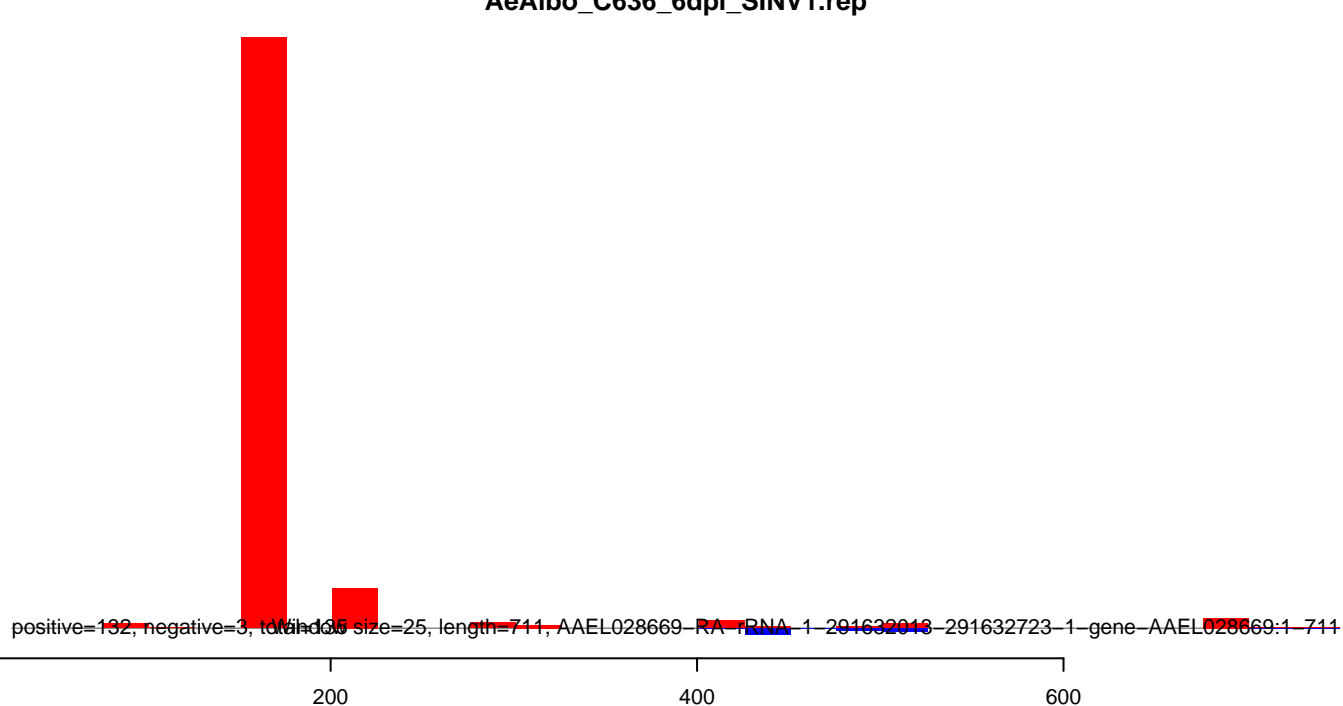
AeAlbo_C636_6dpi_SINV1.18_23.rep



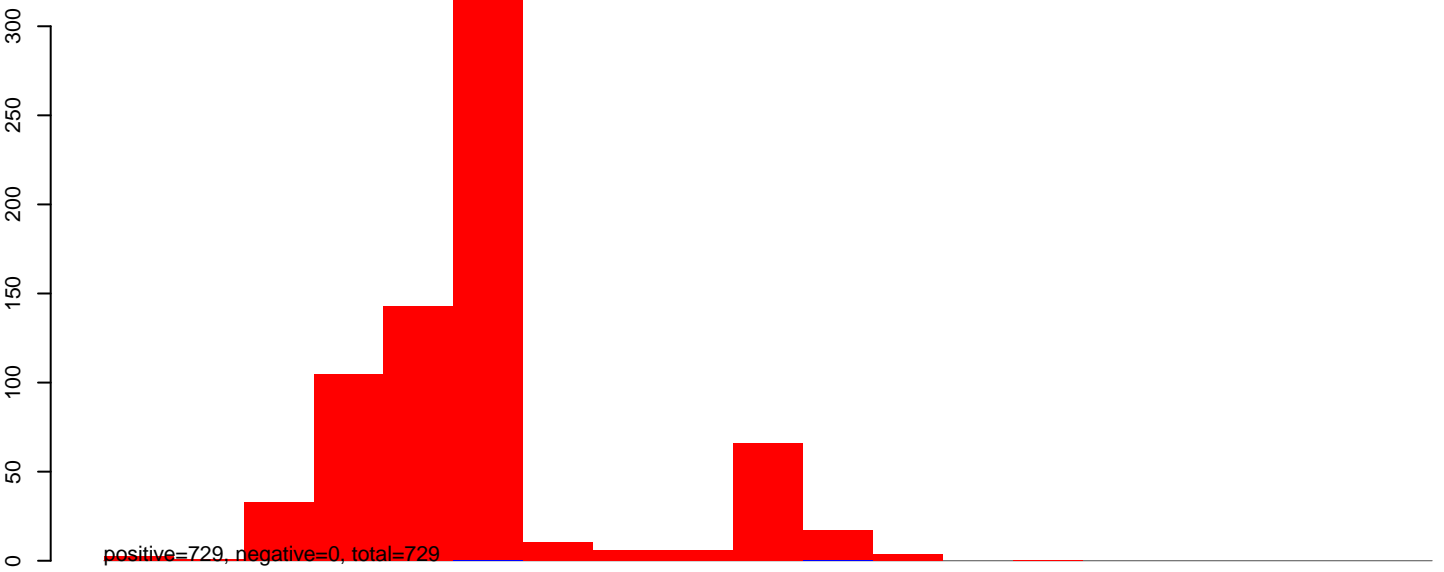
AeAlbo_C636_6dpi_SINV1.24_35.rep



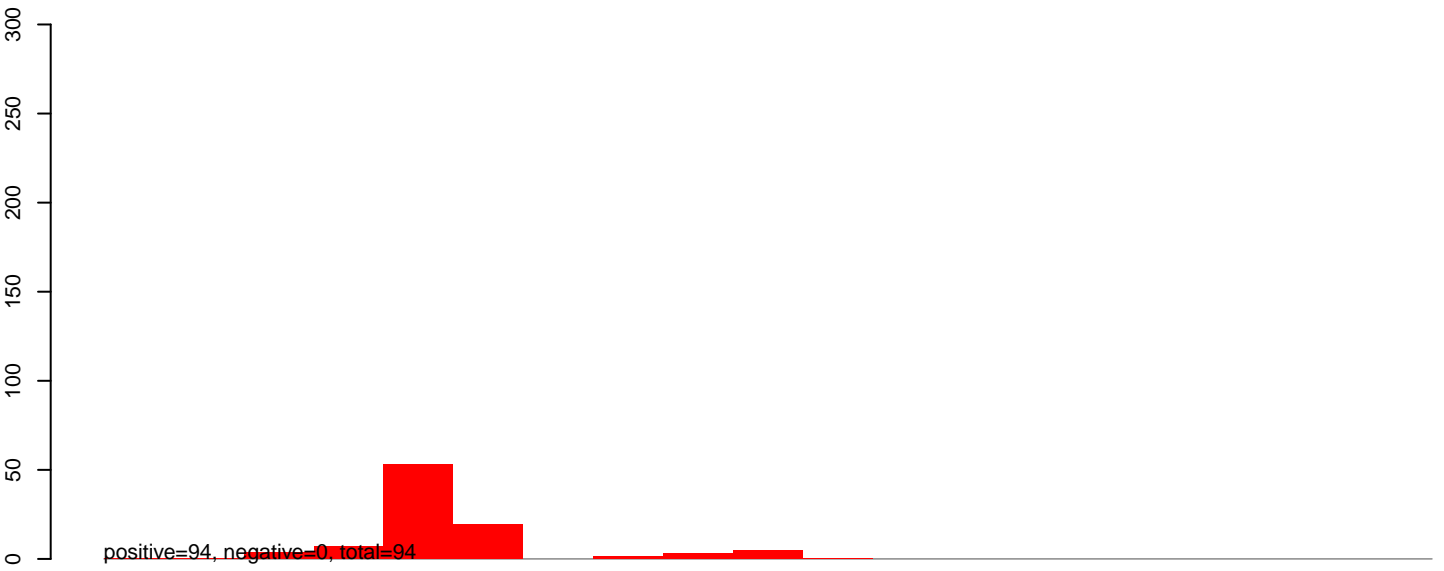
AeAlbo_C636_6dpi_SINV1.rep



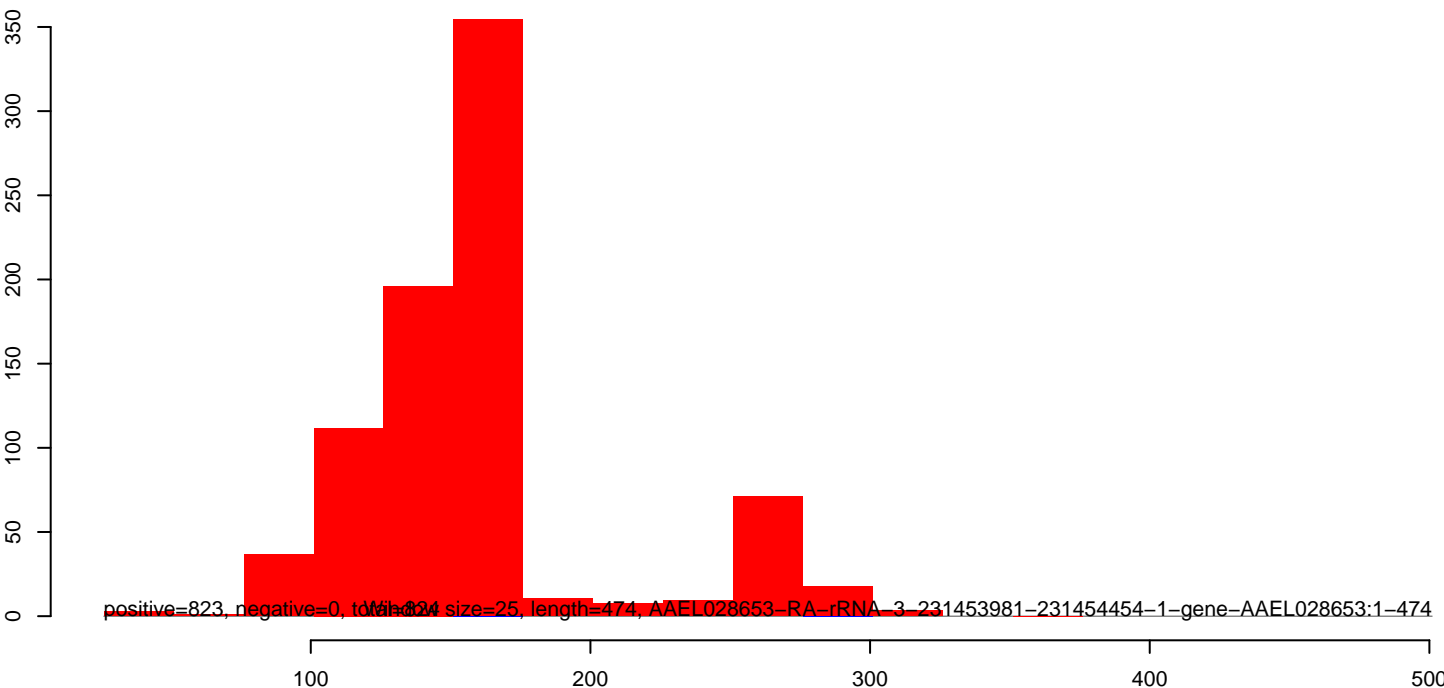
AeAlbo_C636_6dpi_SINV1.18_23.rep



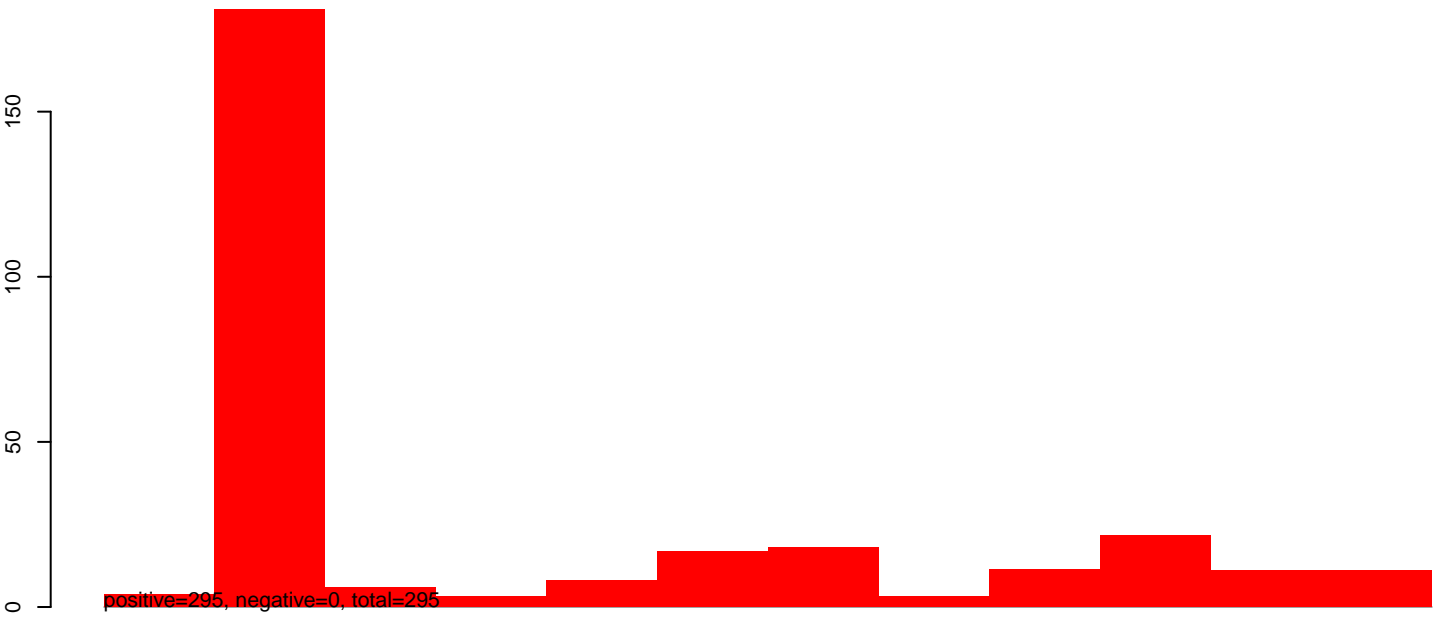
AeAlbo_C636_6dpi_SINV1.24_35.rep



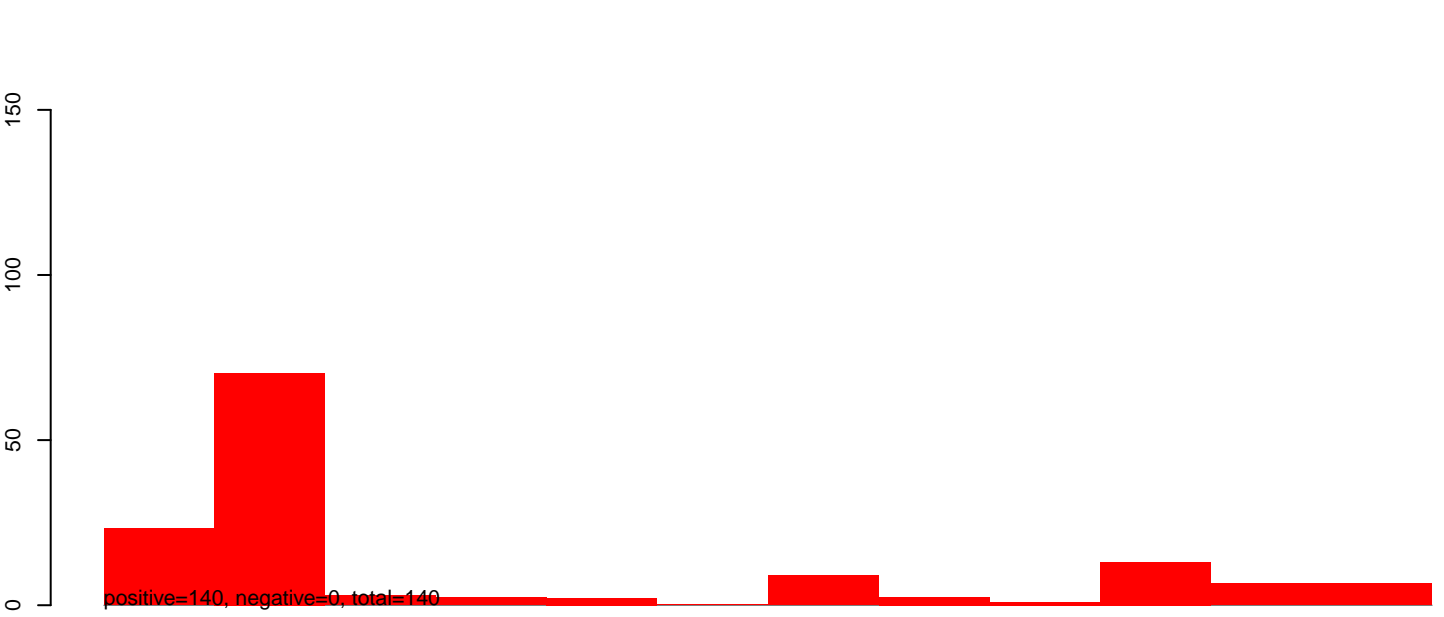
AeAlbo_C636_6dpi_SINV1.rep



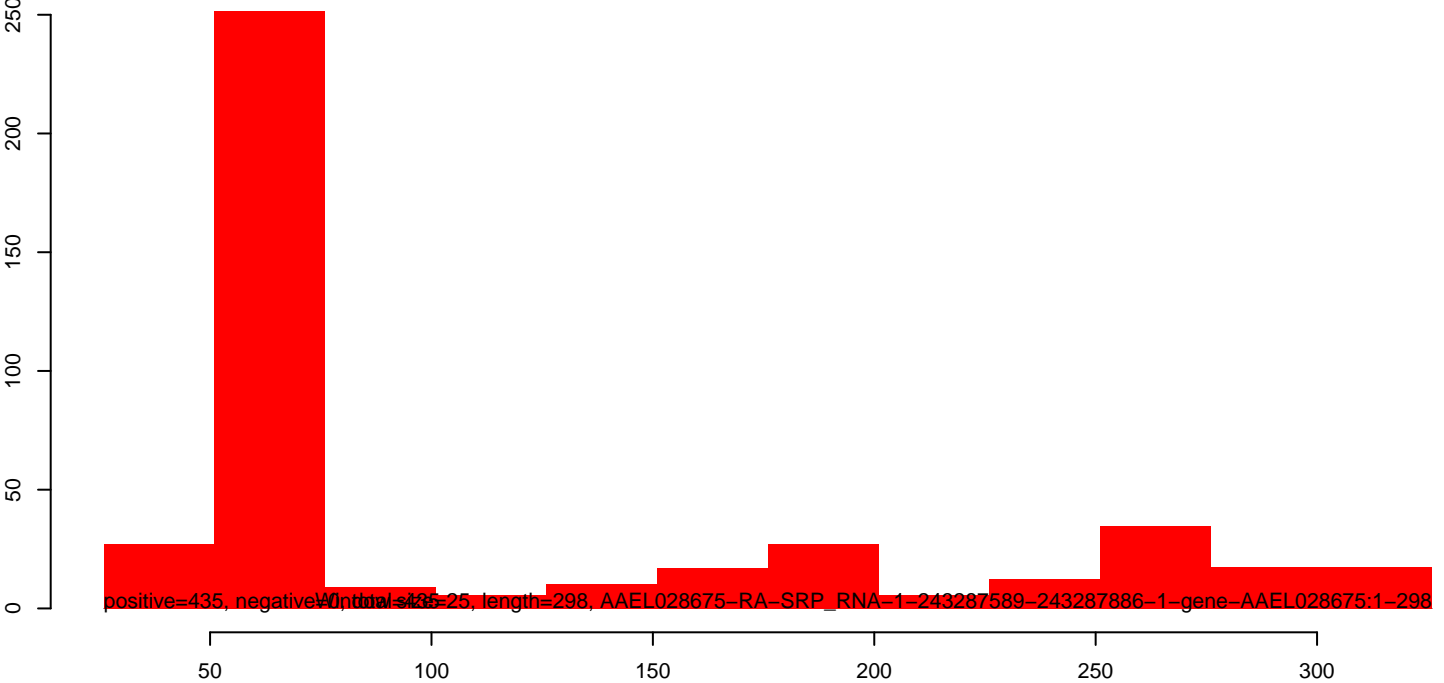
AeAlbo_C636_6dpi_SINV1.18_23.rep



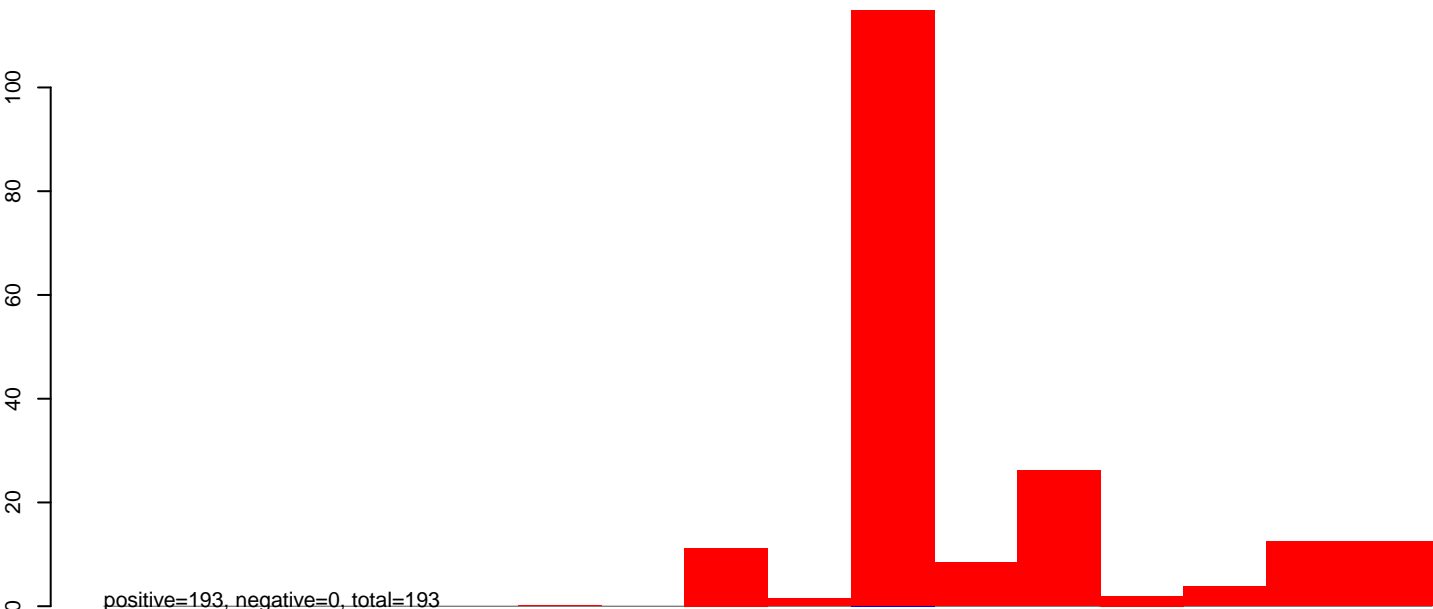
AeAlbo_C636_6dpi_SINV1.24_35.rep



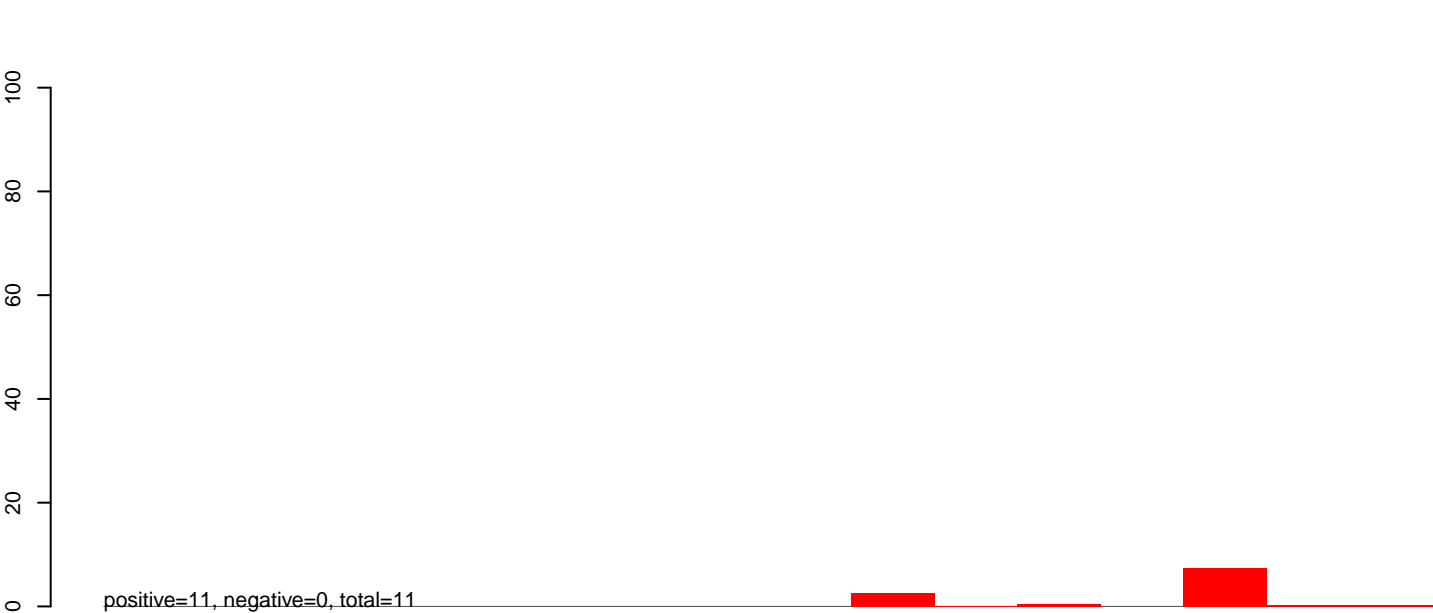
AeAlbo_C636_6dpi_SINV1.rep



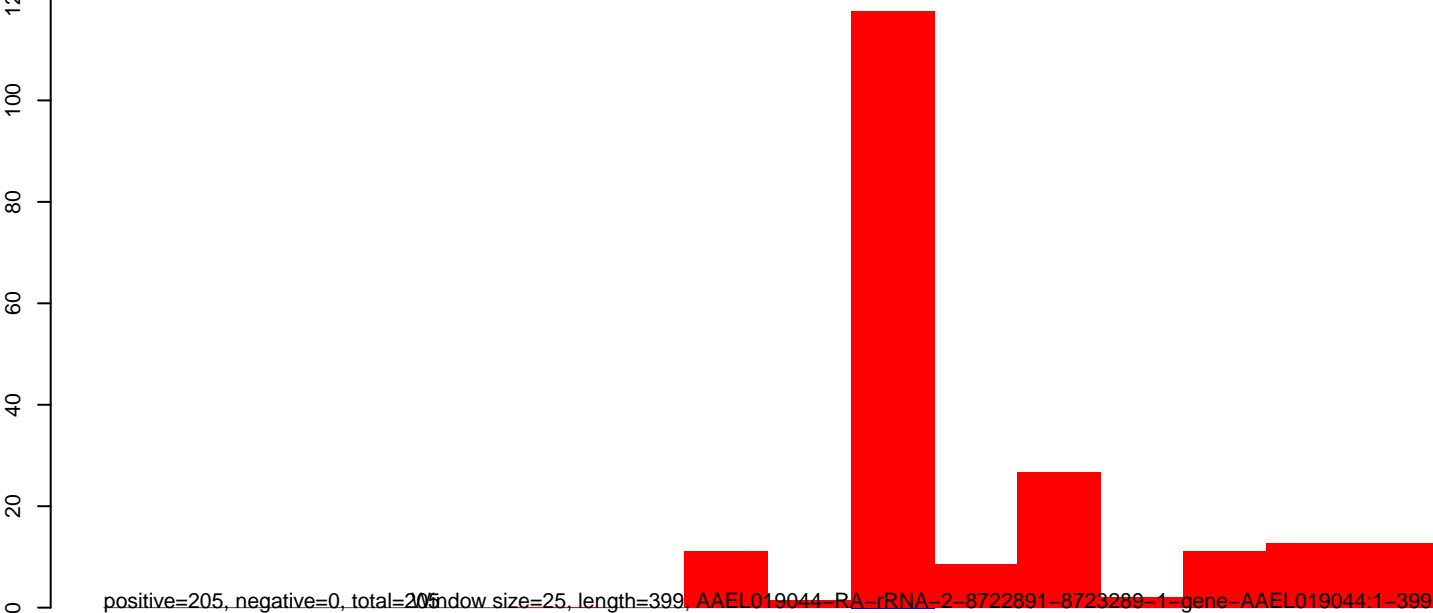
AeAlbo_C636_6dpi_SINV1.18_23.rep



AeAlbo_C636_6dpi_SINV1.24_35.rep

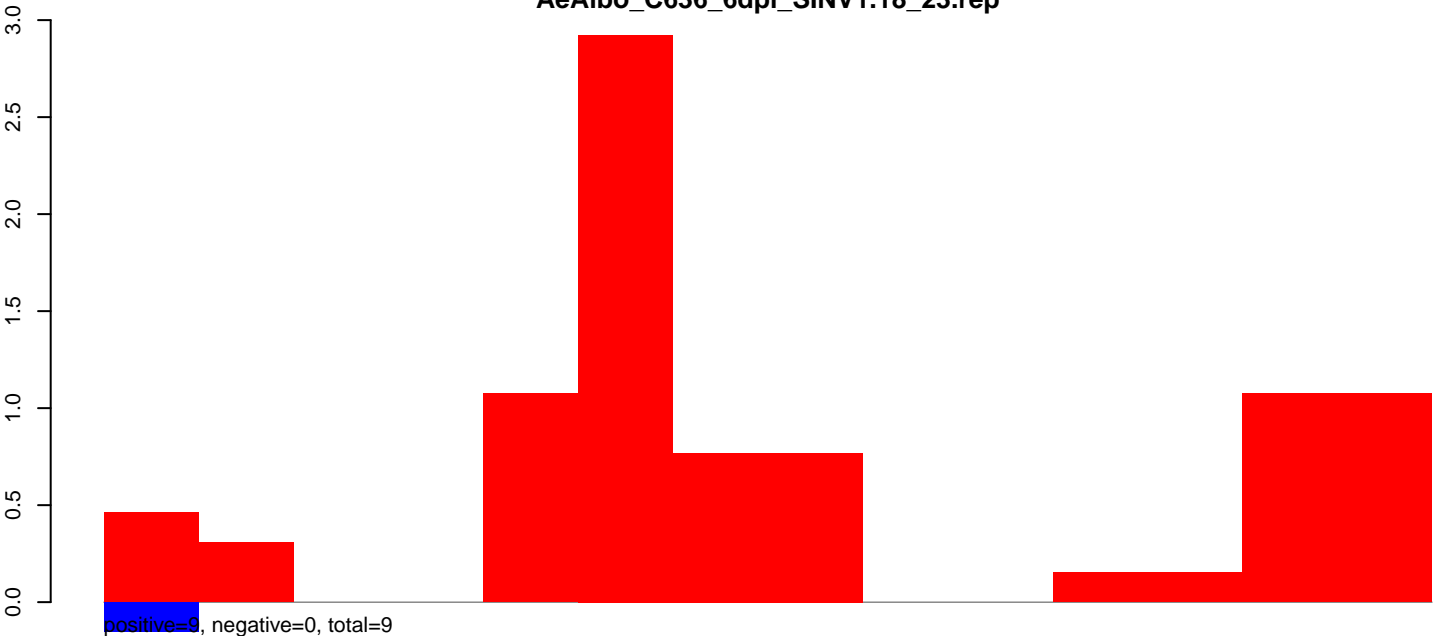


AeAlbo_C636_6dpi_SINV1.rep

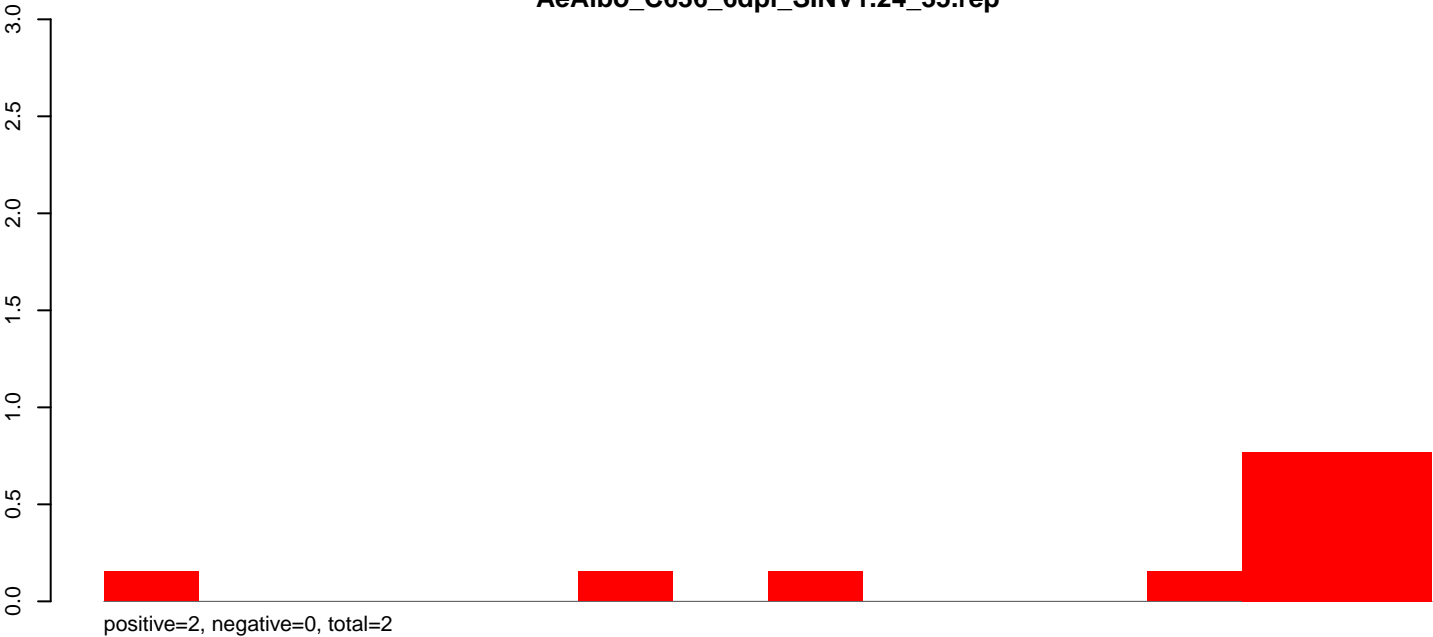


100 200 300 400

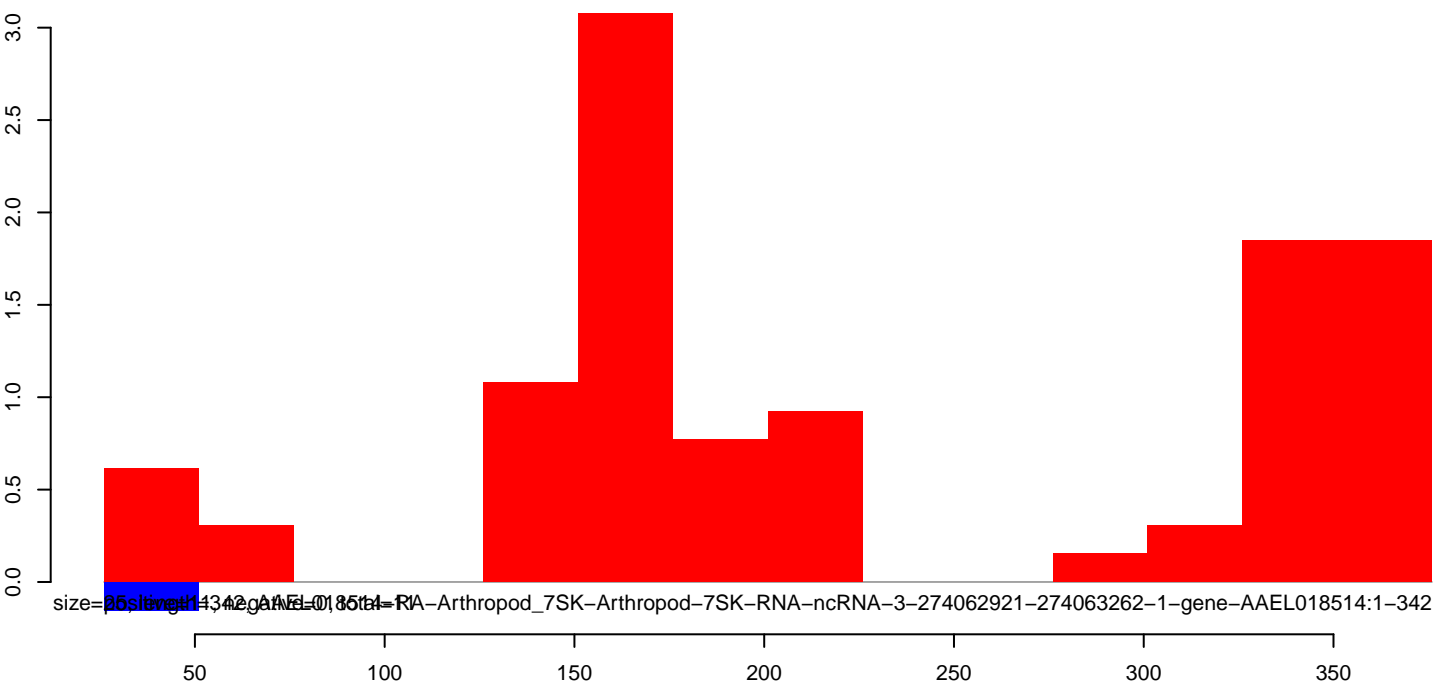
AeAlbo_C636_6dpi_SINV1.18_23.rep



AeAlbo_C636_6dpi_SINV1.24_35.rep

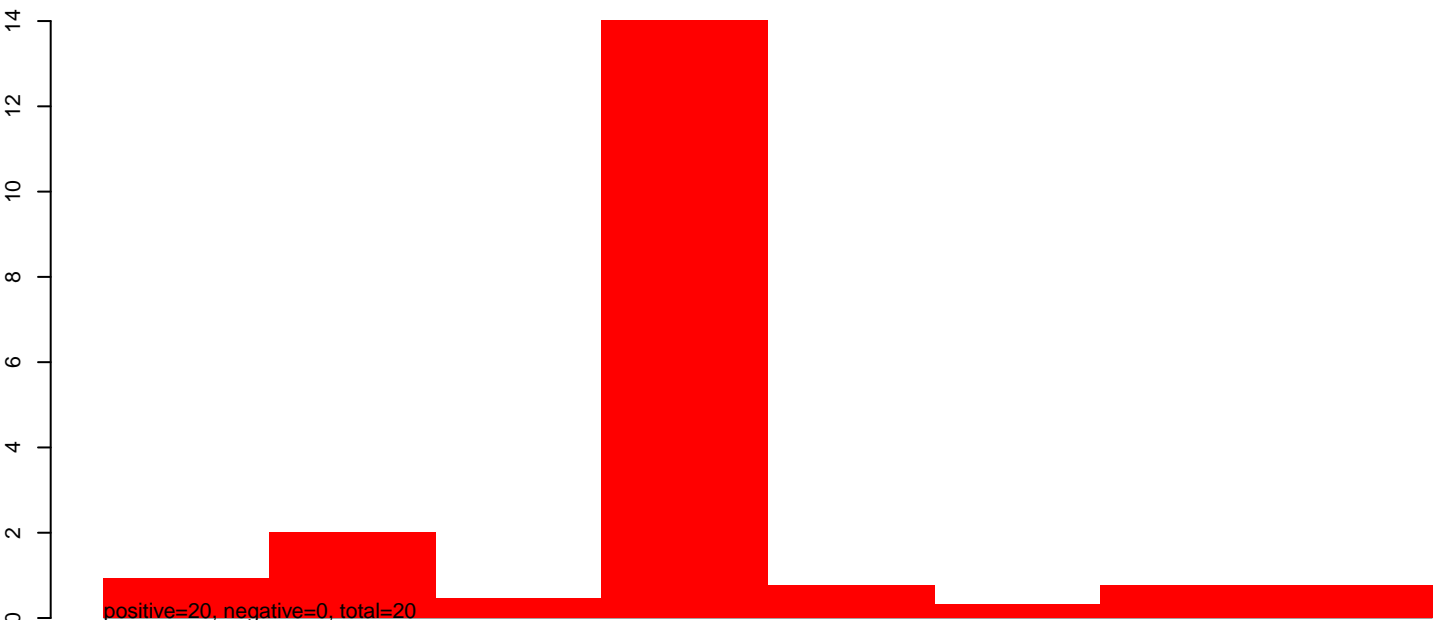


AeAlbo_C636_6dpi_SINV1.rep

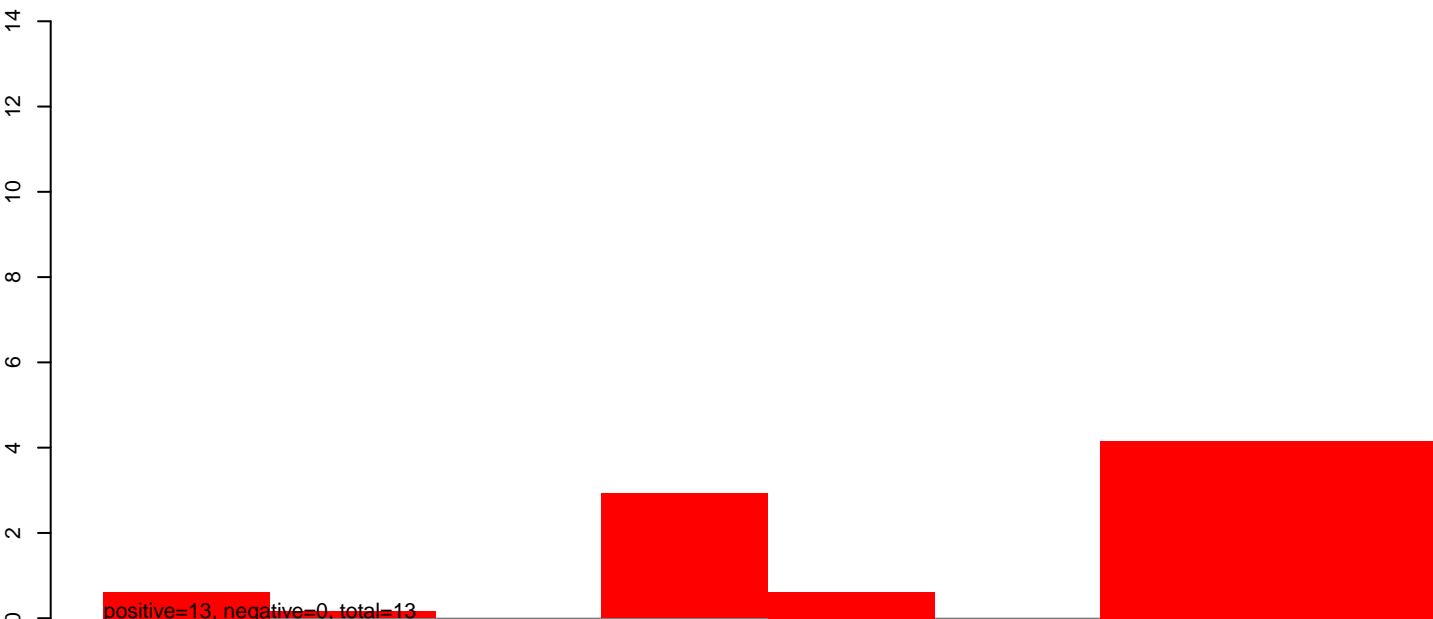


size=25, length=143, range=0, total=143

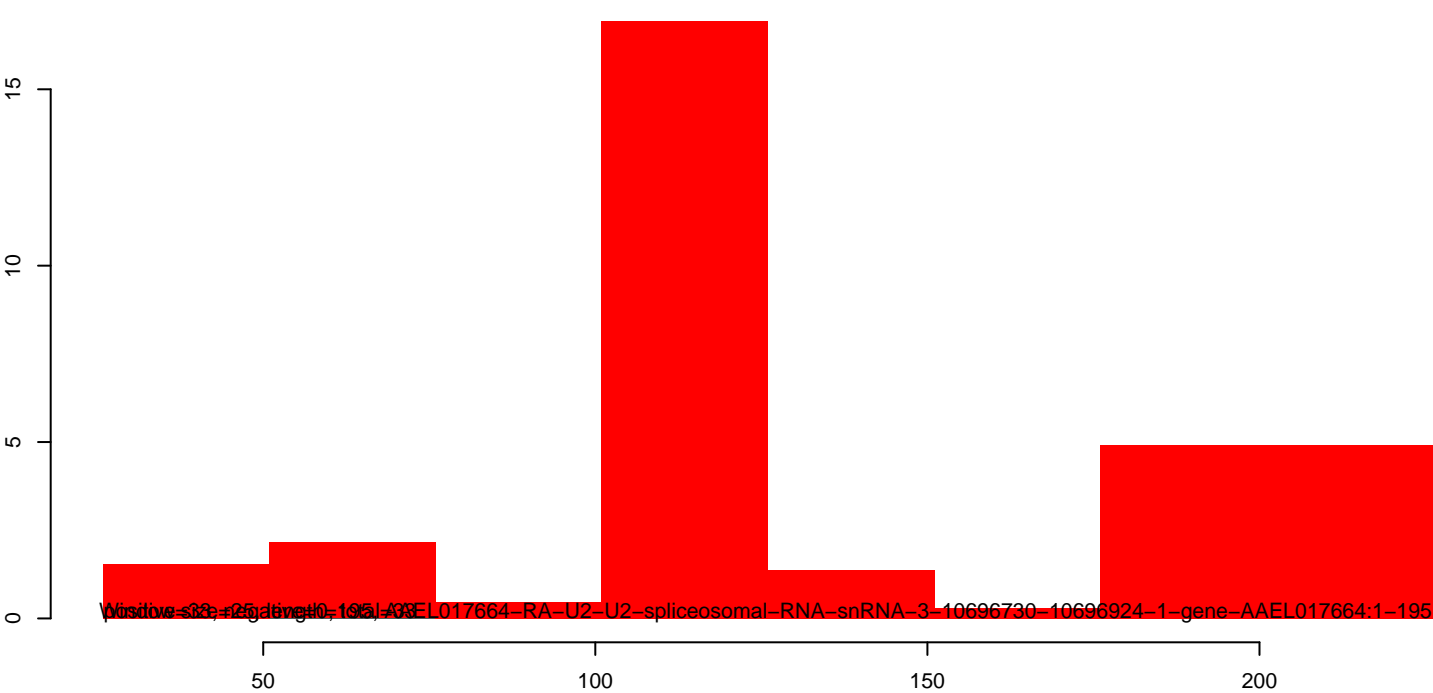
AeAlbo_C636_6dpi_SINV1.18_23.rep



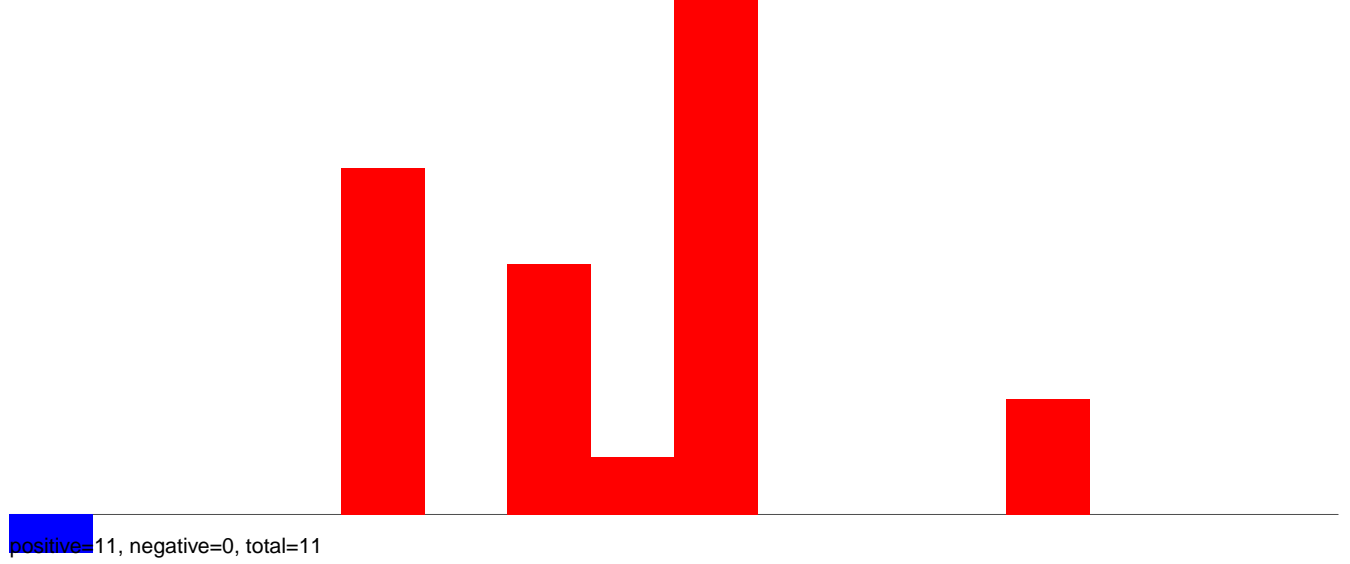
AeAlbo_C636_6dpi_SINV1.24_35.rep



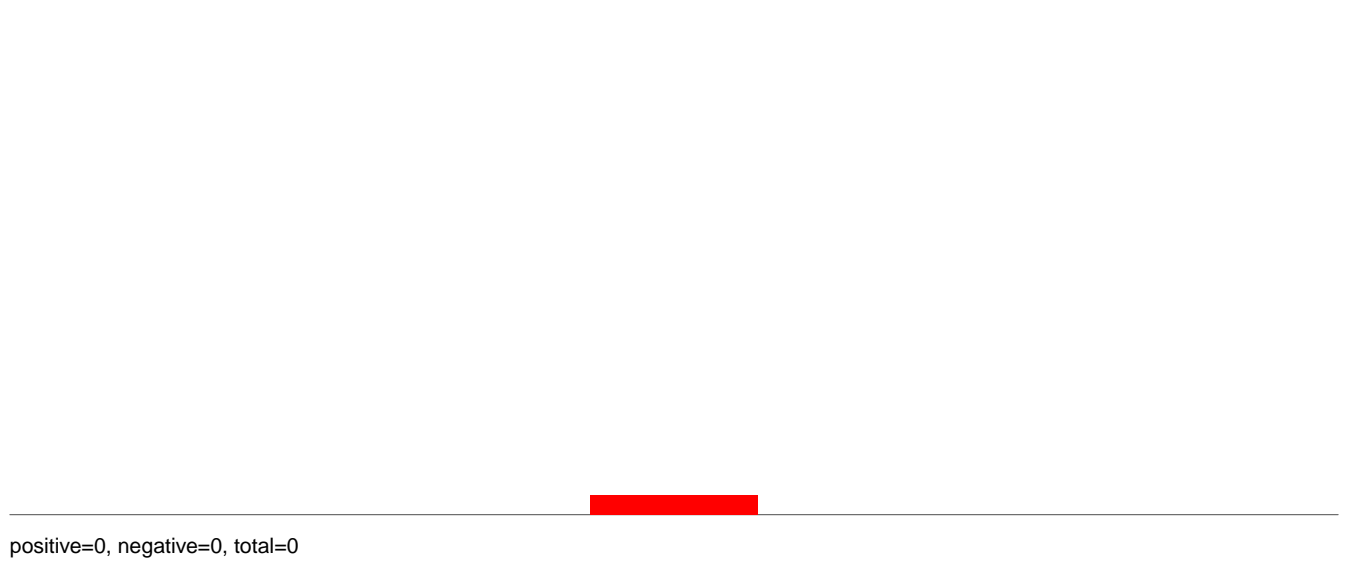
AeAlbo_C636_6dpi_SINV1.rep



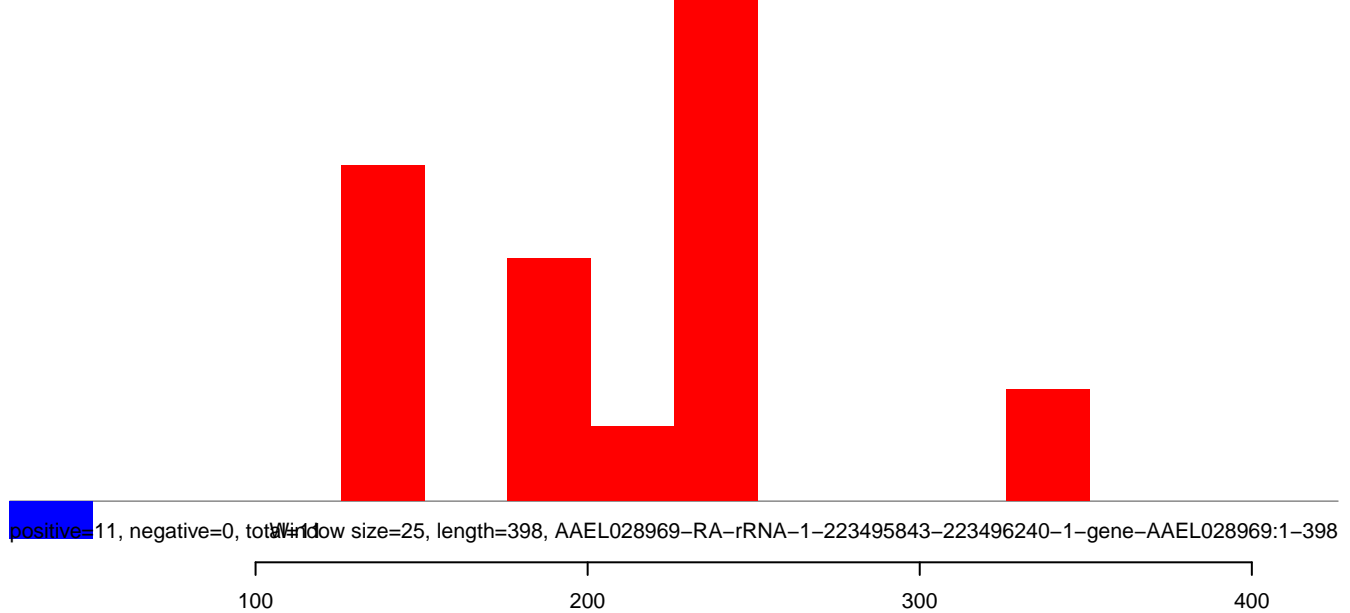
AeAlbo_C636_6dpi_SINV1.18_23.rep



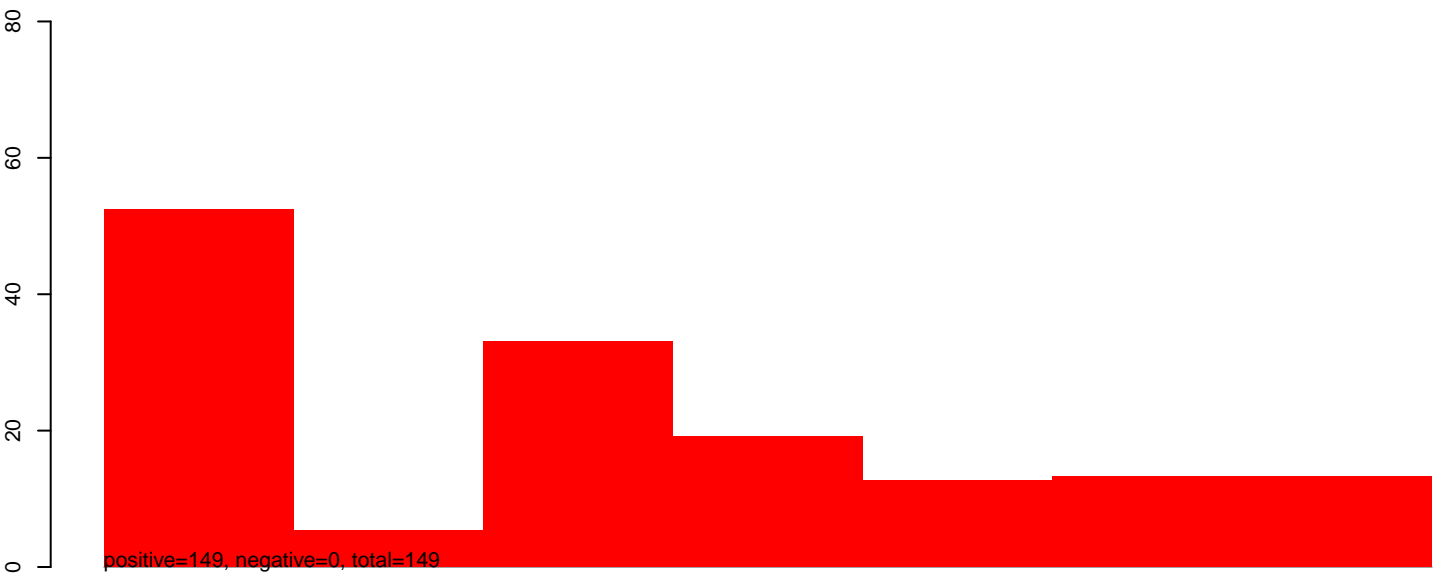
AeAlbo_C636_6dpi_SINV1.24_35.rep



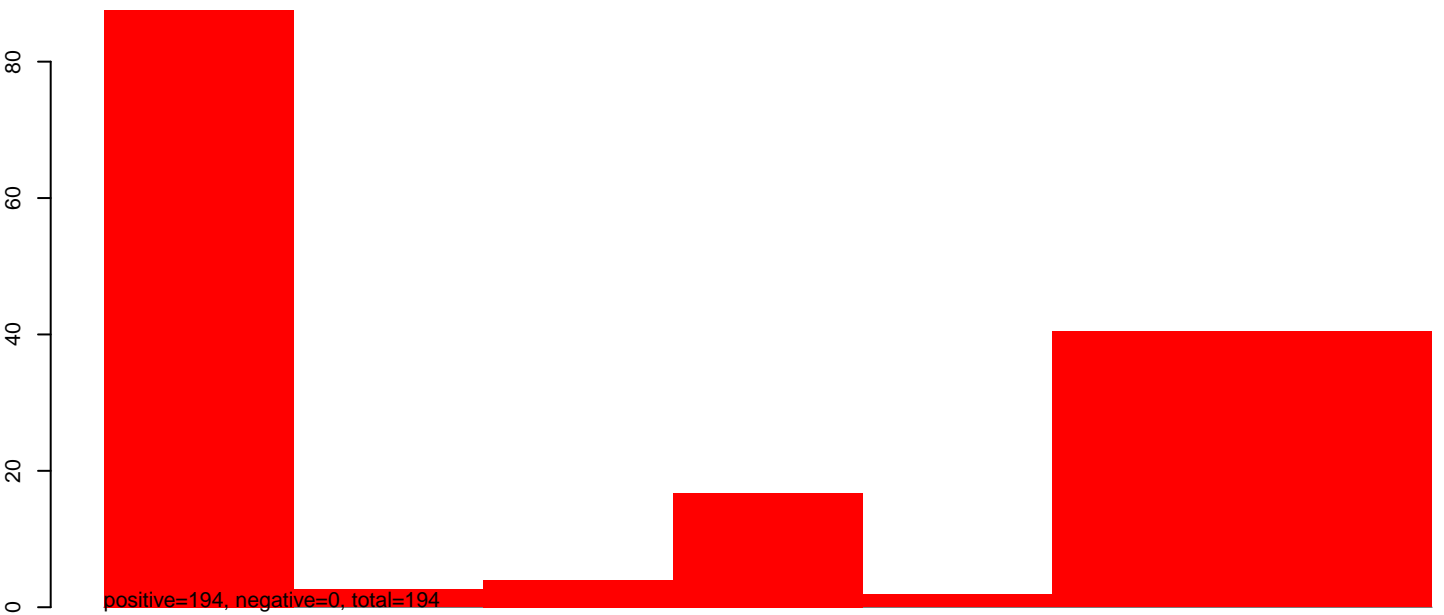
AeAlbo_C636_6dpi_SINV1.rep



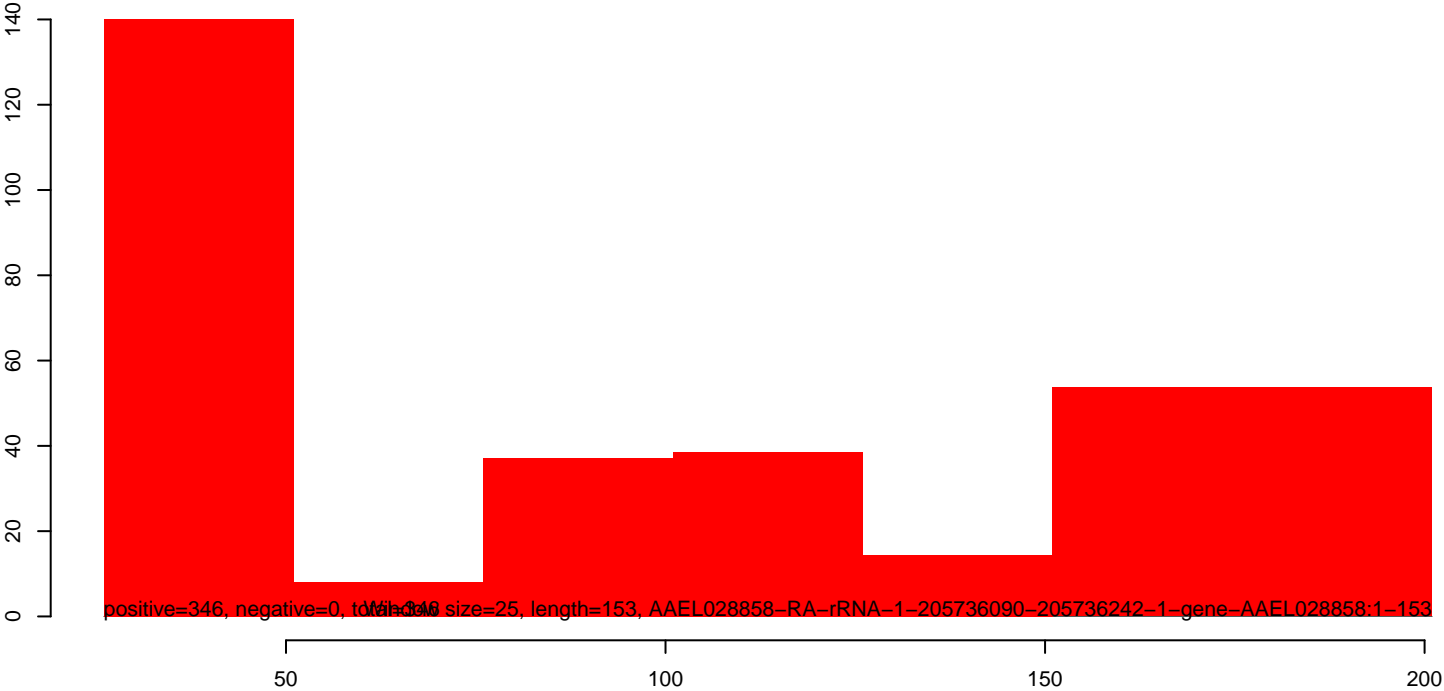
AeAlbo_C636_6dpi_SINV1.18_23.rep



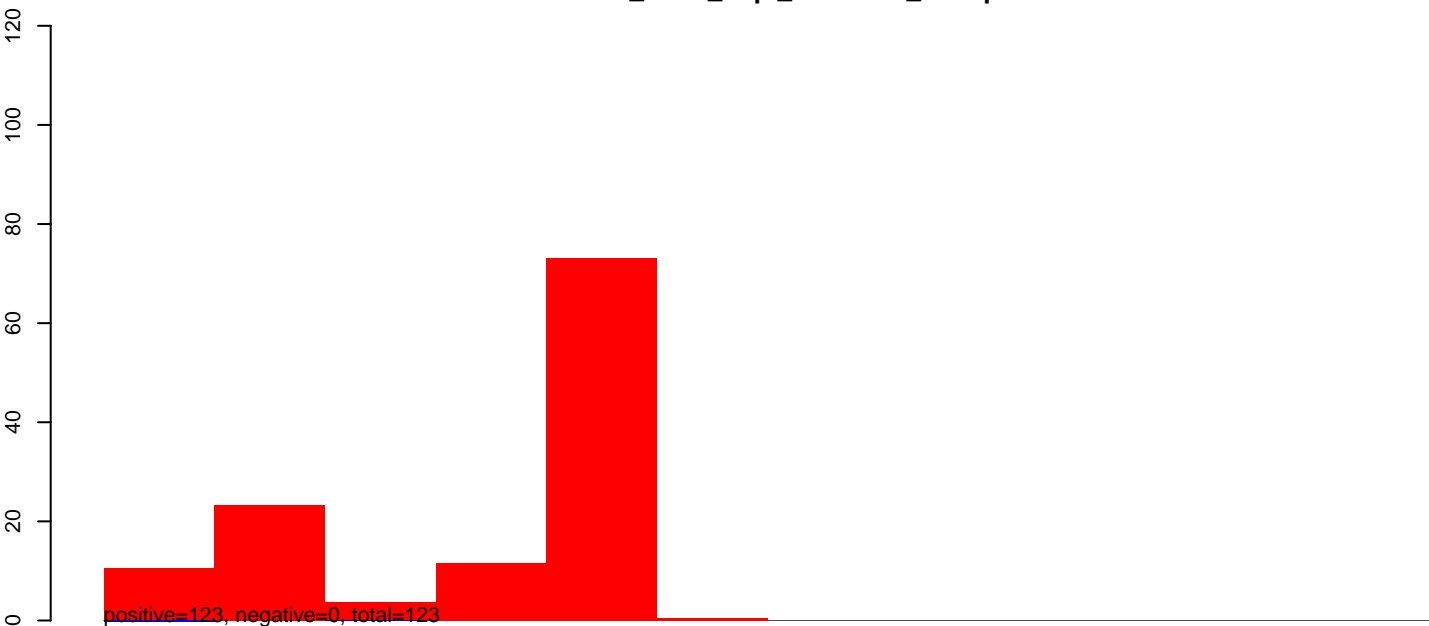
AeAlbo_C636_6dpi_SINV1.24_35.rep



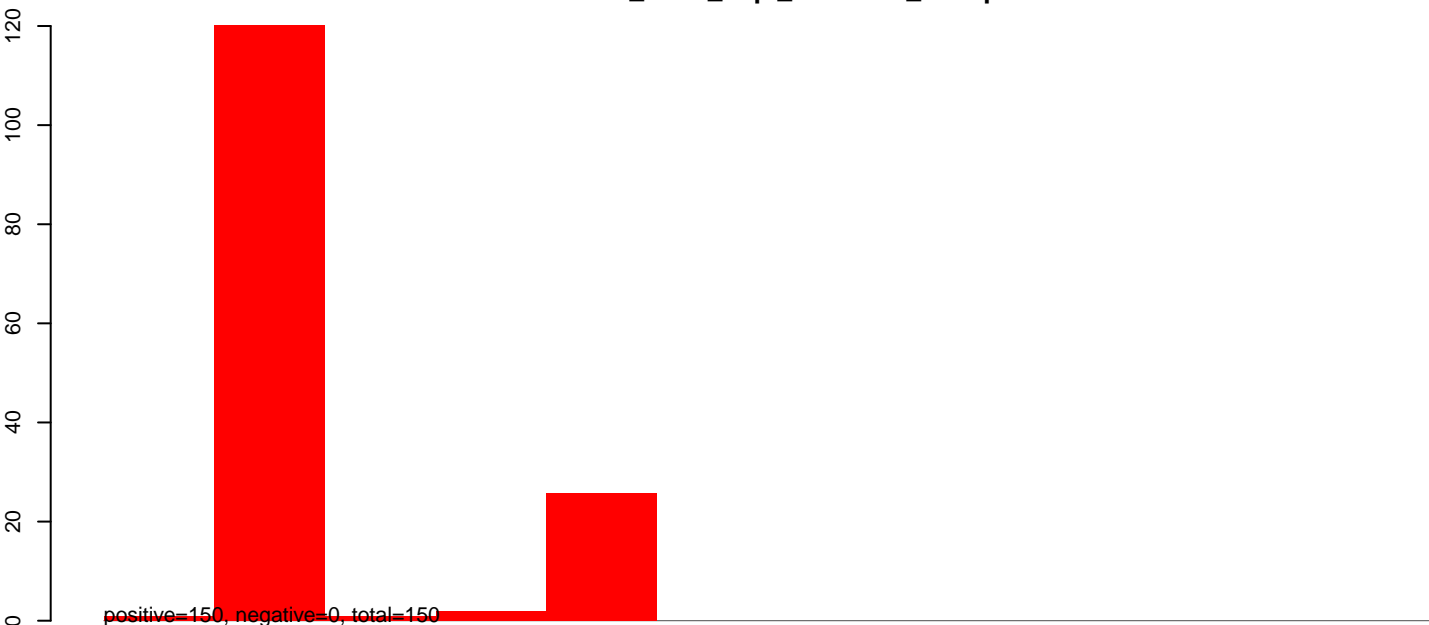
AeAlbo_C636_6dpi_SINV1.rep



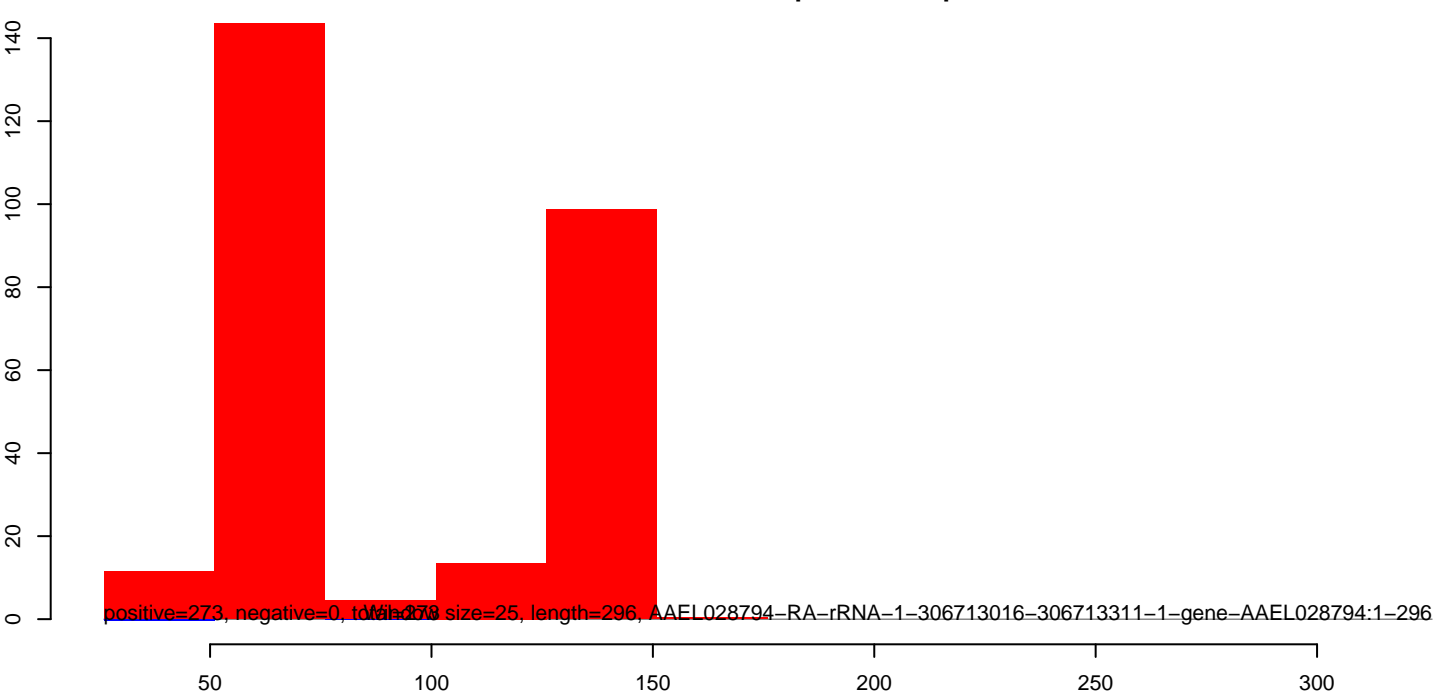
AeAlbo_C636_6dpi_SINV1.18_23.rep



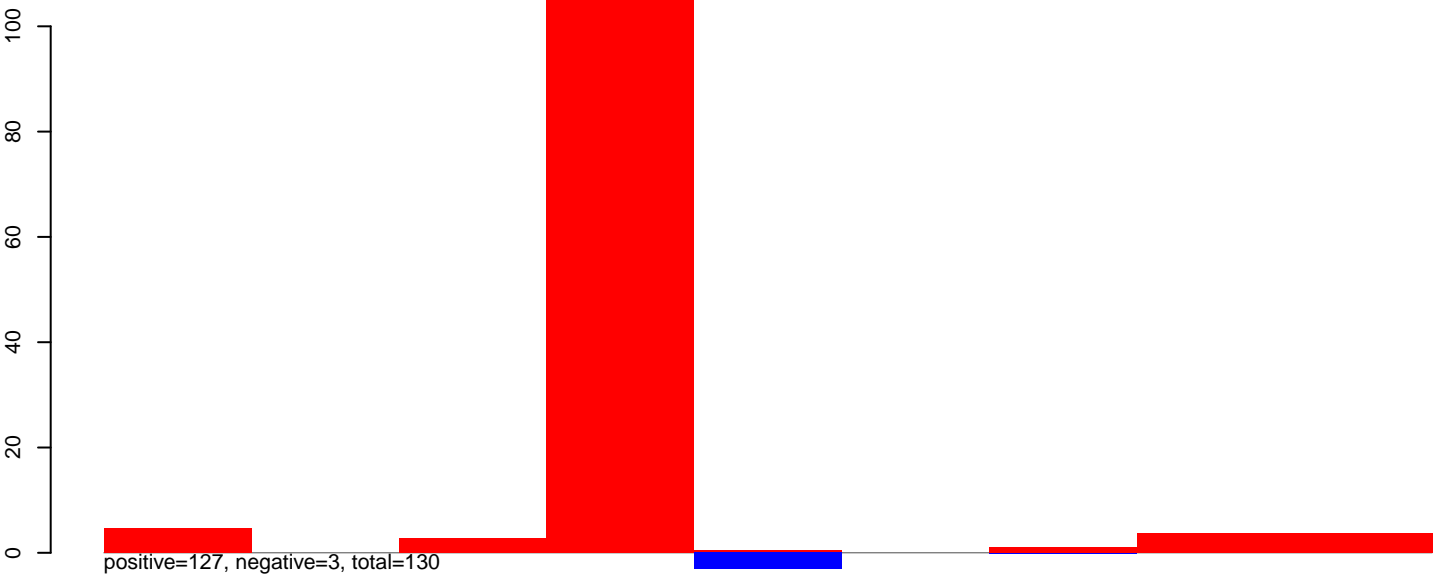
AeAlbo_C636_6dpi_SINV1.24_35.rep



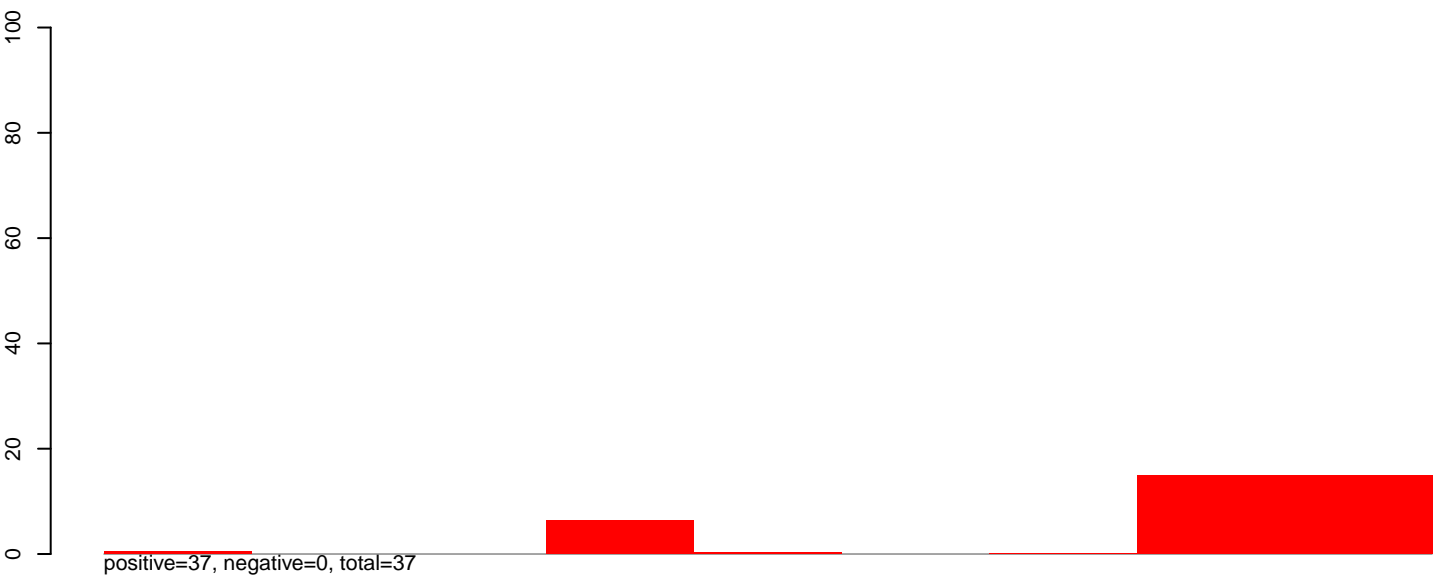
AeAlbo_C636_6dpi_SINV1.rep



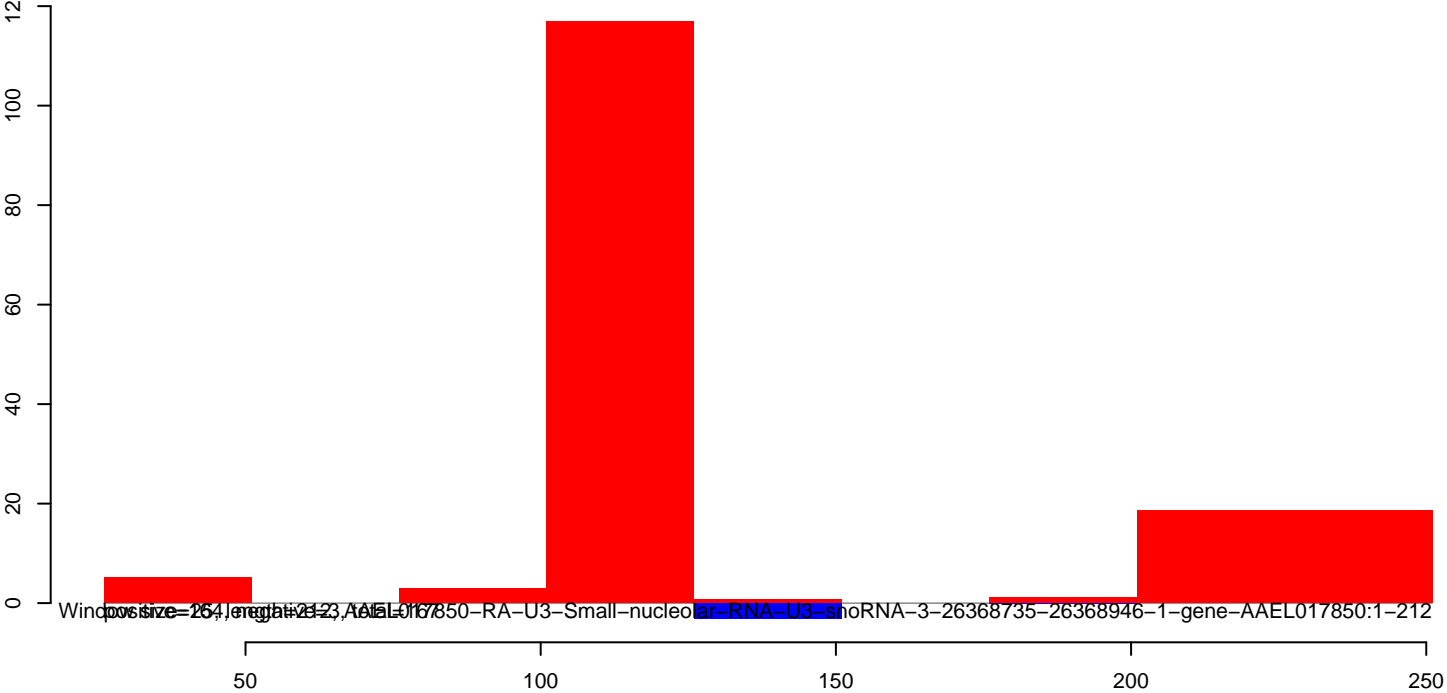
AeAlbo_C636_6dpi_SINV1.18_23.rep



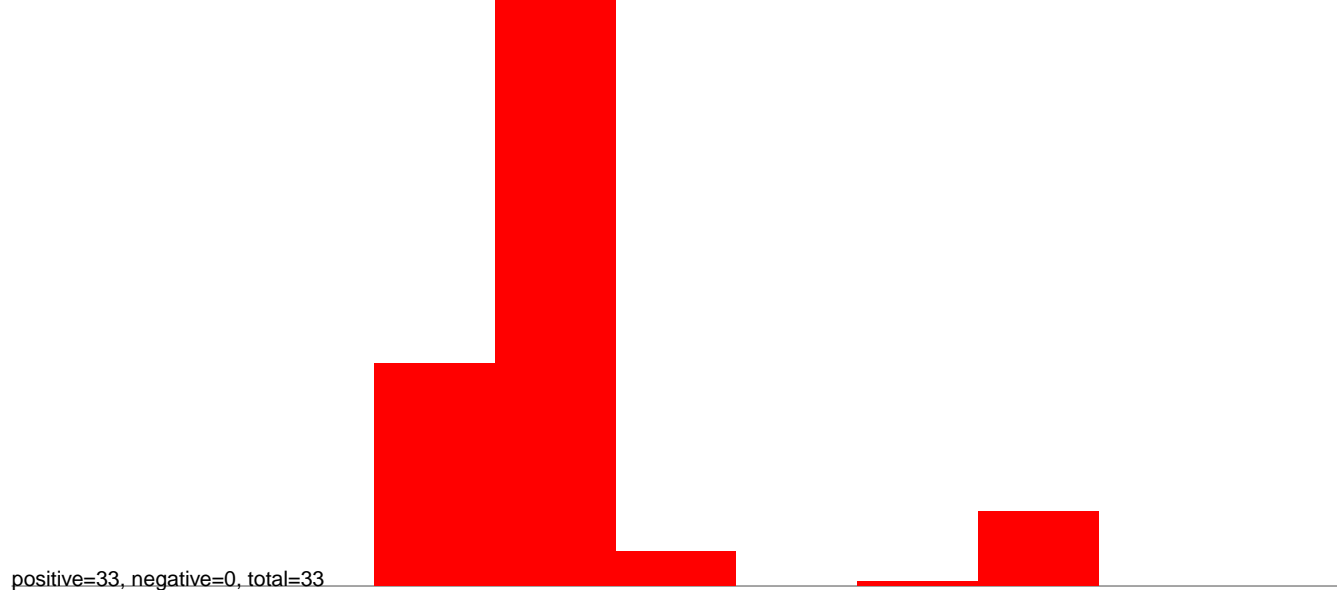
AeAlbo_C636_6dpi_SINV1.24_35.rep



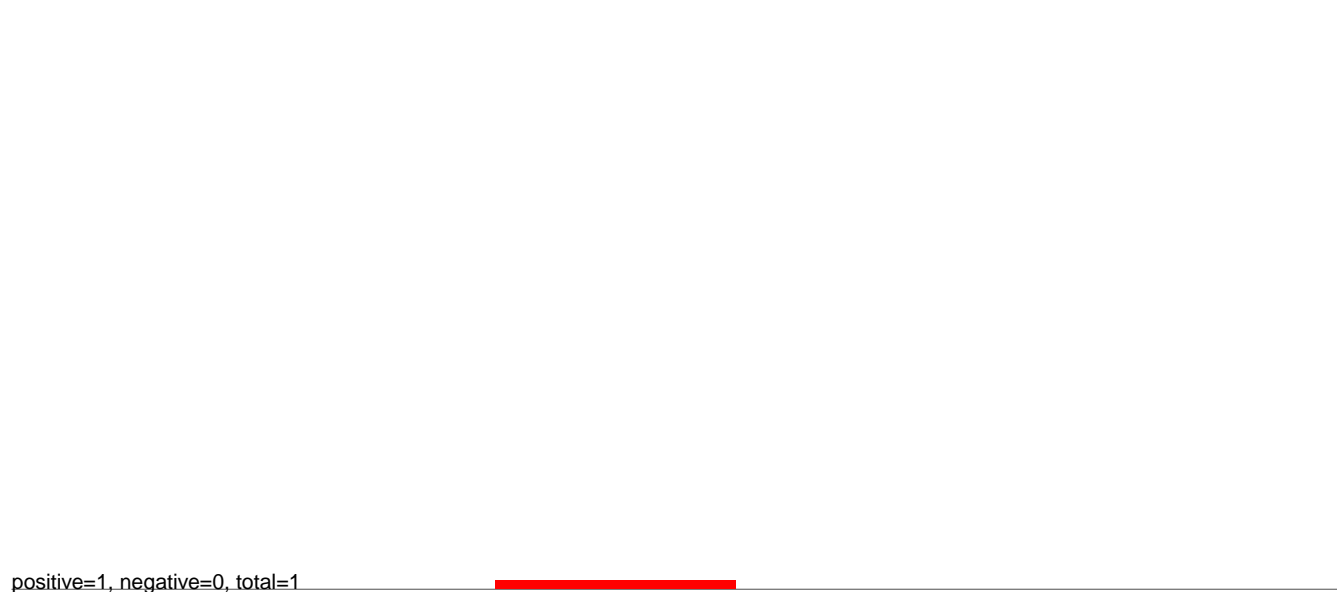
AeAlbo_C636_6dpi_SINV1.rep



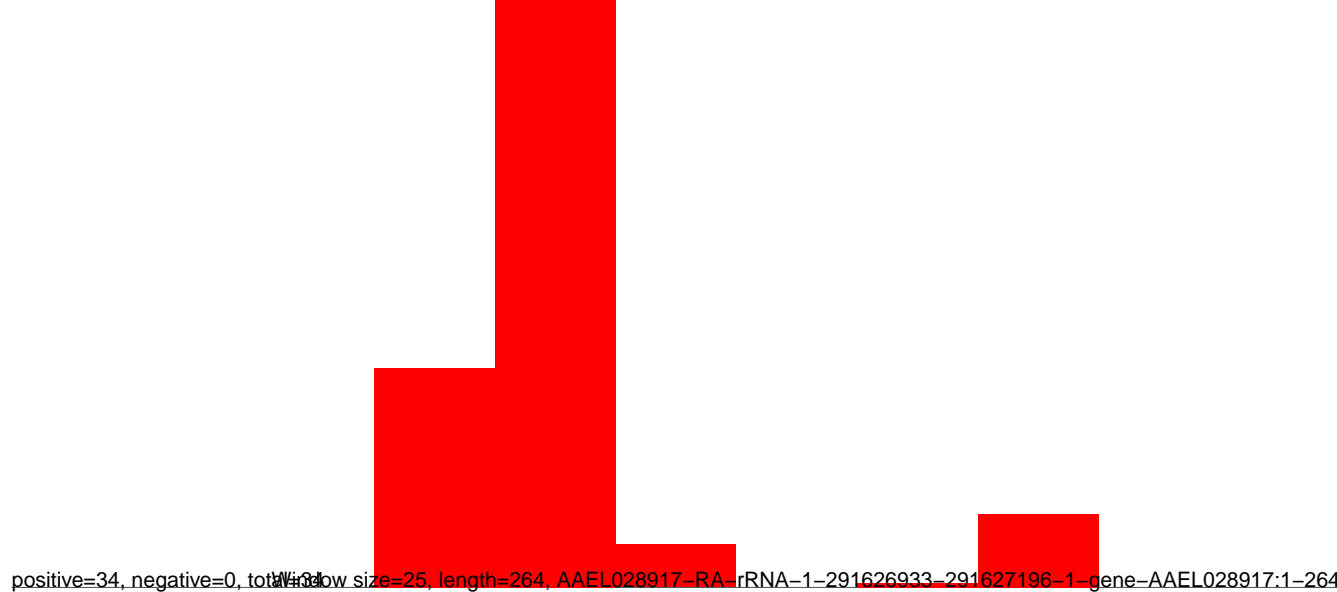
AeAlbo_C636_6dpi_SINV1.18_23.rep



AeAlbo_C636_6dpi_SINV1.24_35.rep

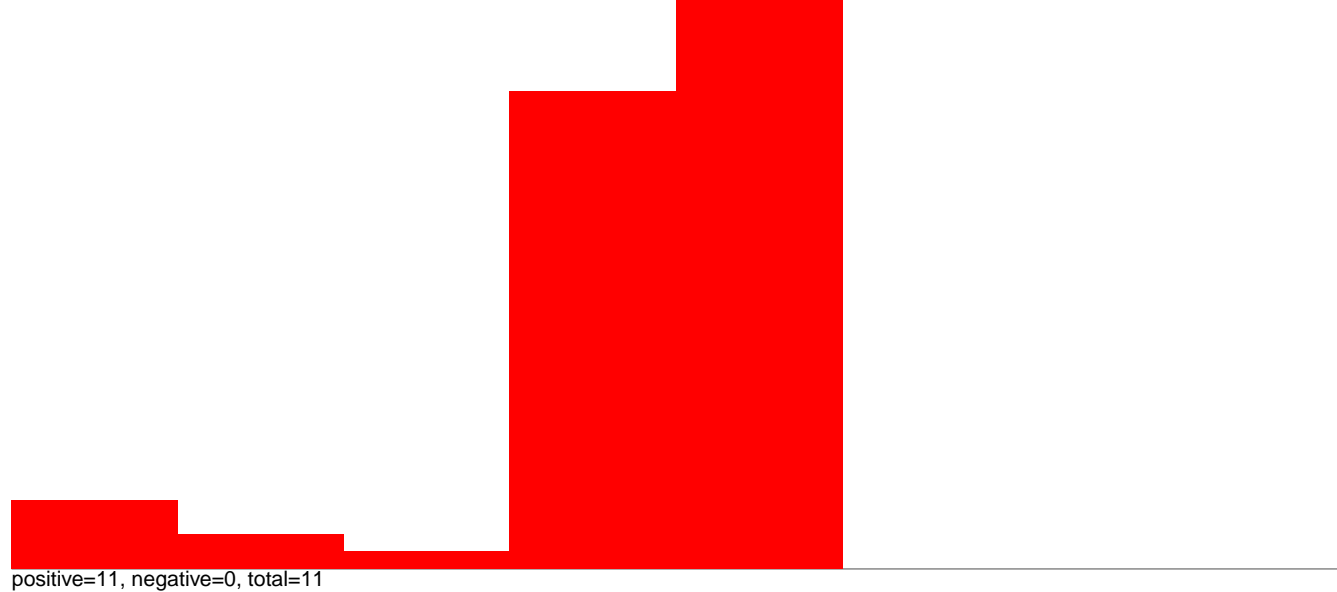


AeAlbo_C636_6dpi_SINV1.rep

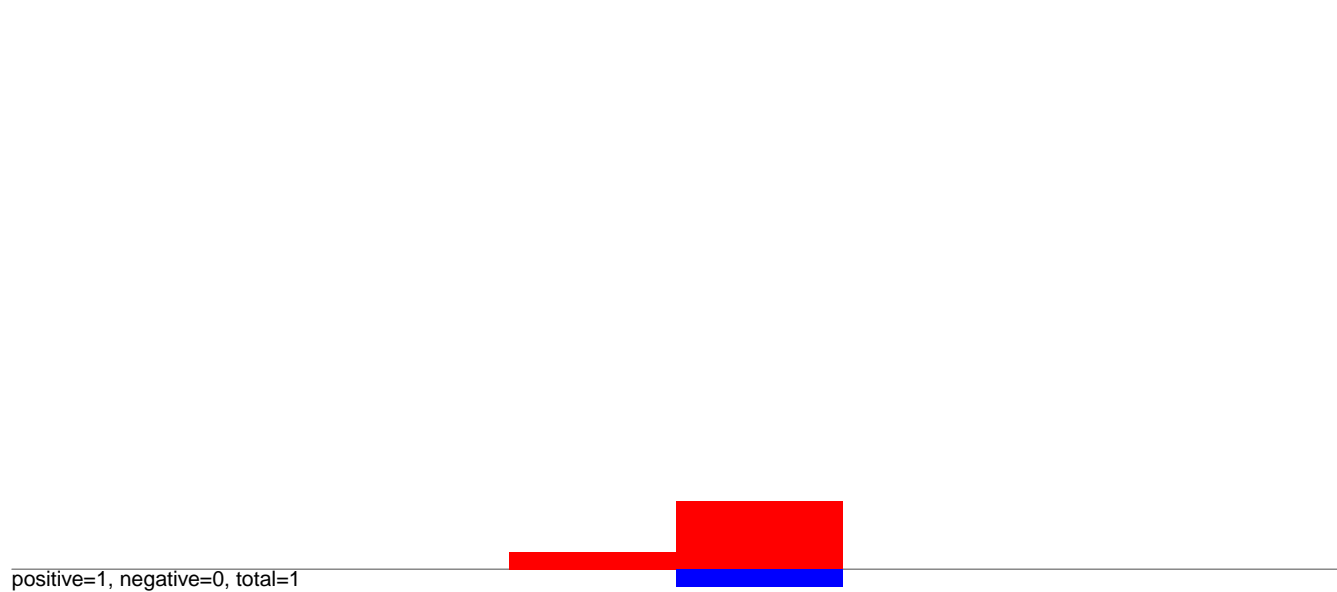


Window size=25, length=264, AAEL028917-RA-rRNA-1-291626933-291627196-1-gene-AAEL028917:1-264

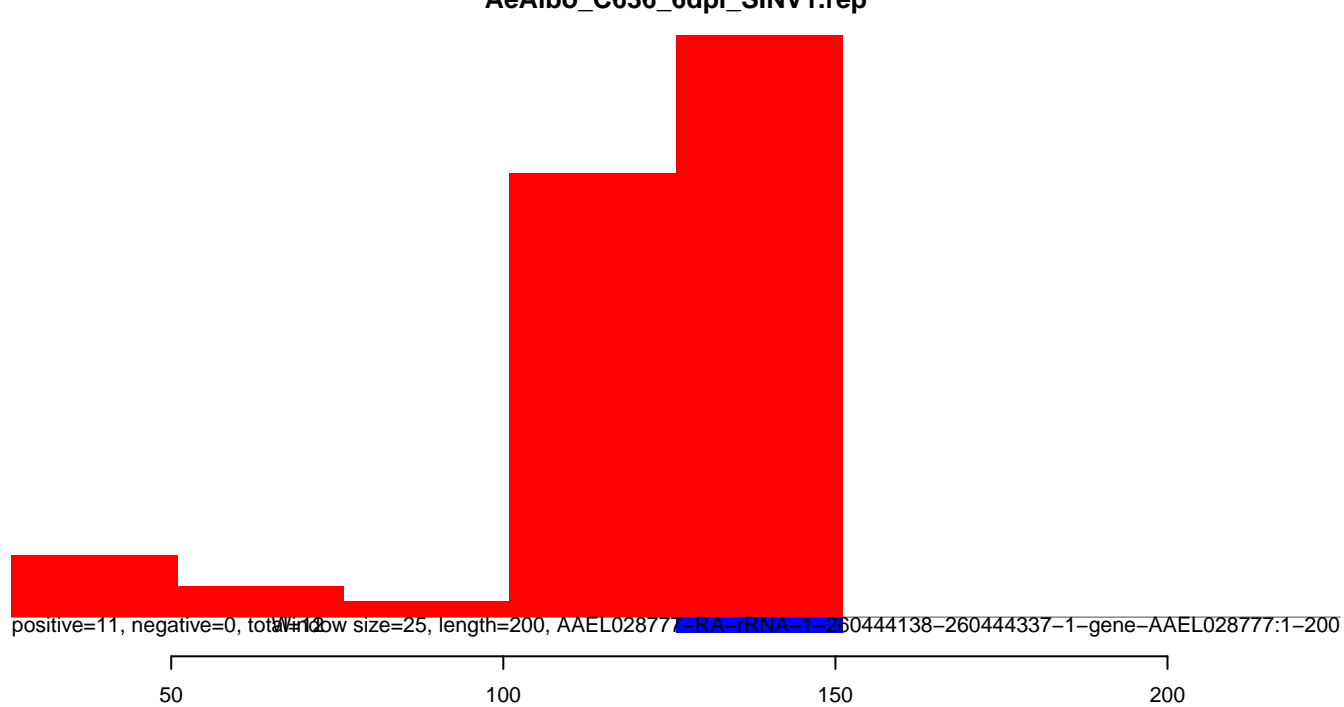
AeAlbo_C636_6dpi_SINV1.18_23.rep



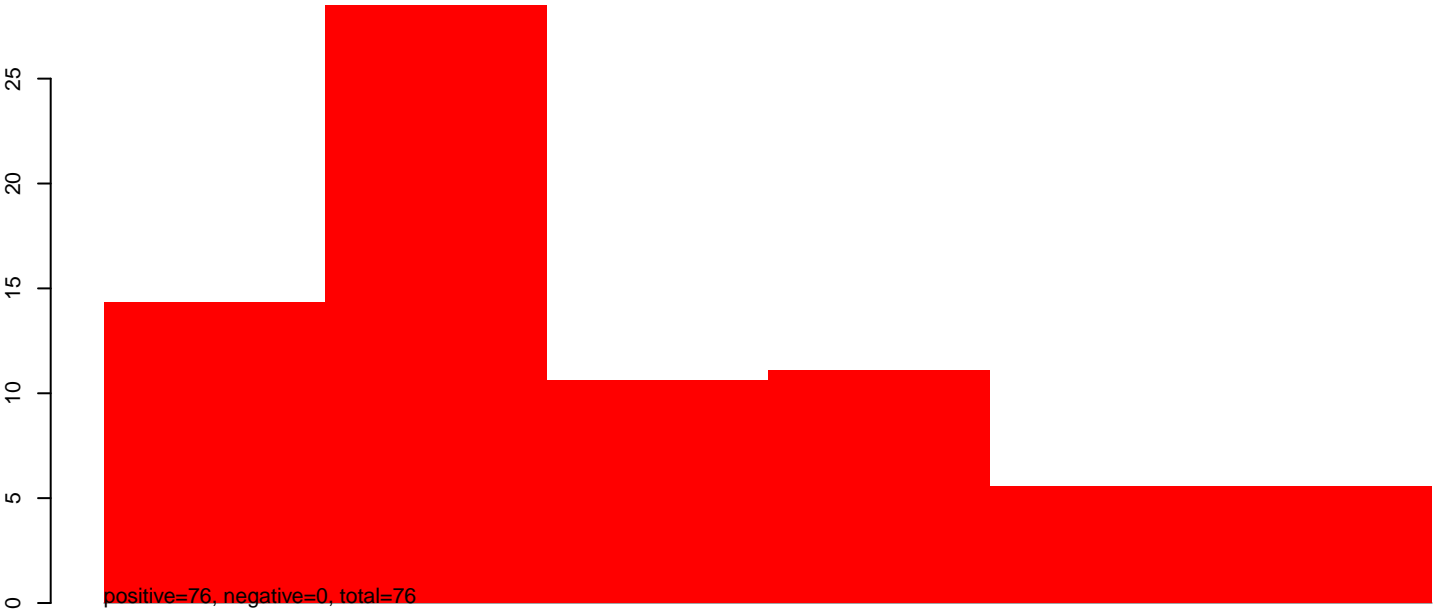
AeAlbo_C636_6dpi_SINV1.24_35.rep



AeAlbo_C636_6dpi_SINV1.rep



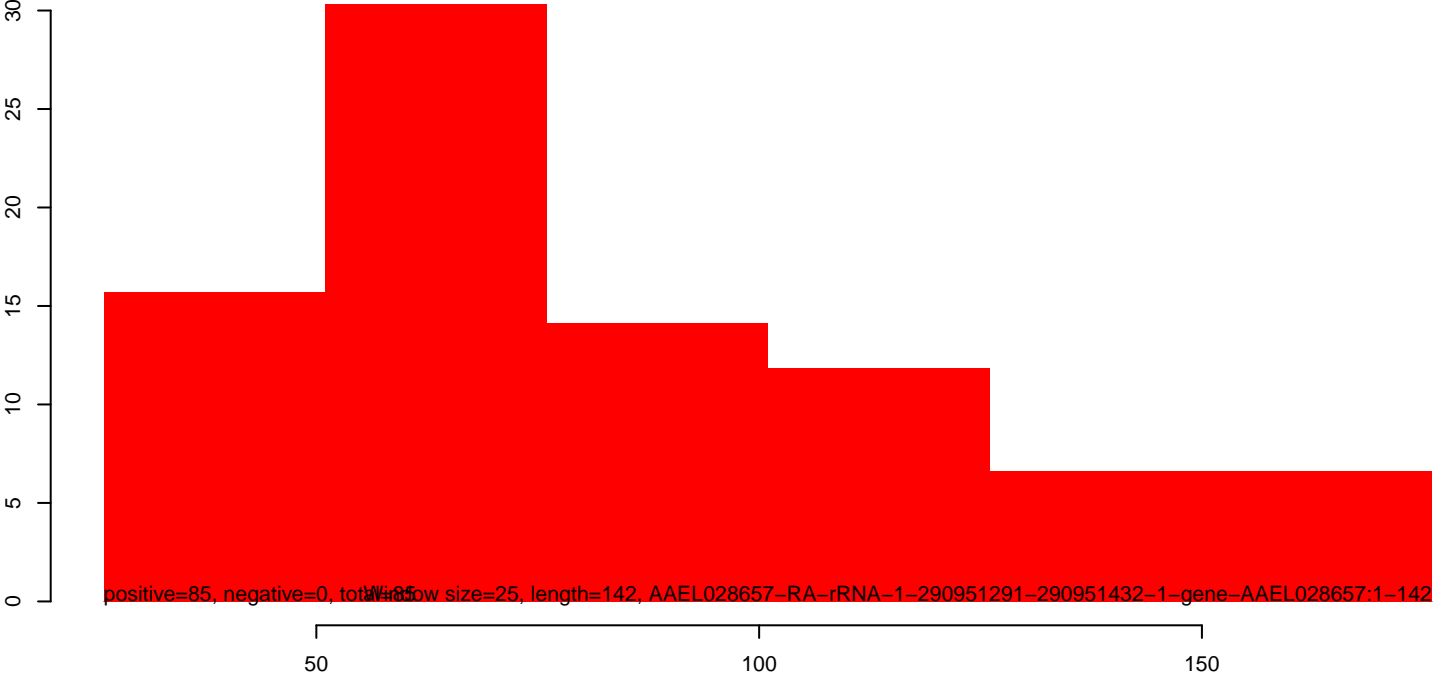
AeAlbo_C636_6dpi_SINV1.18_23.rep

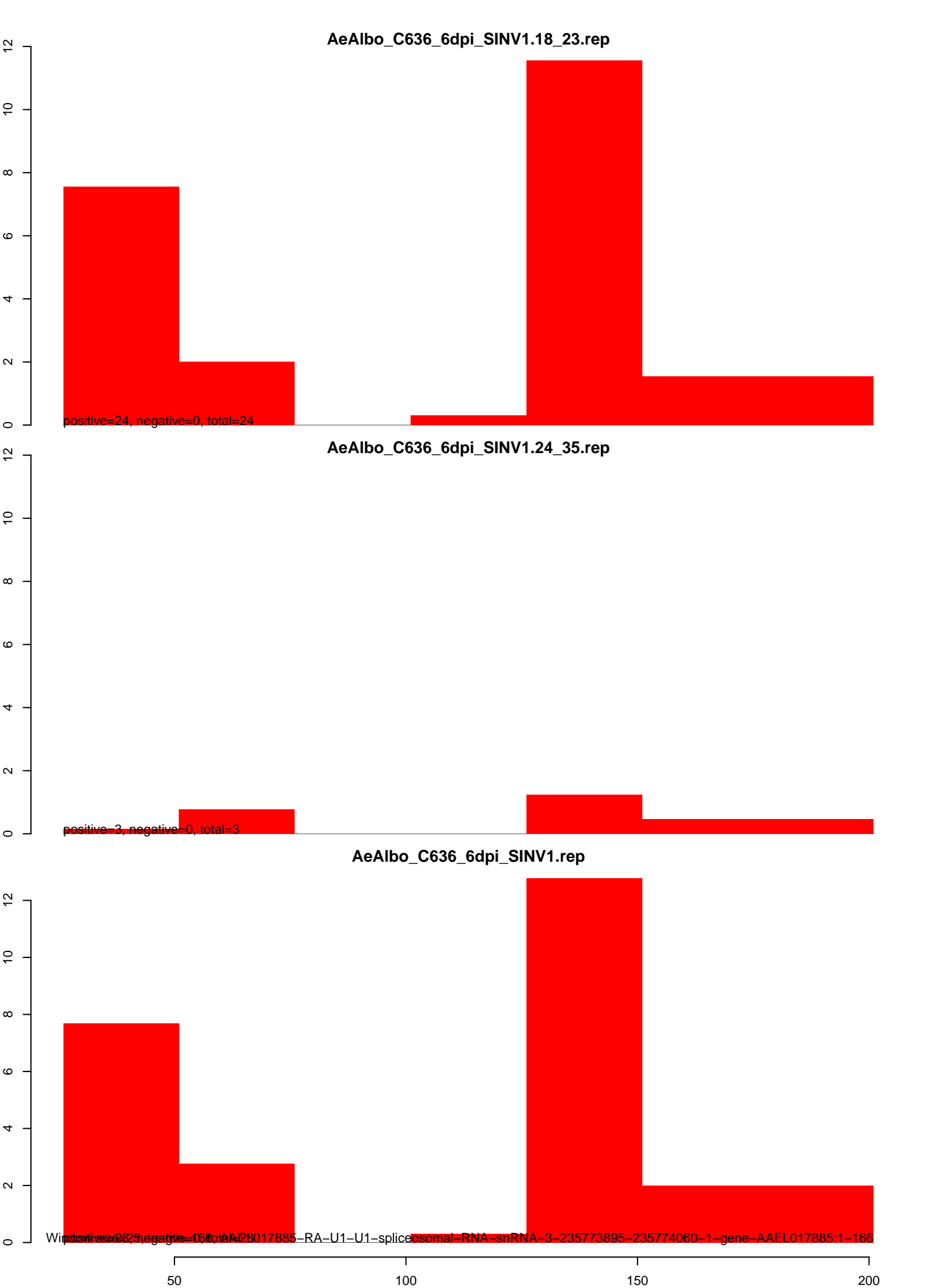


AeAlbo_C636_6dpi_SINV1.24_35.rep

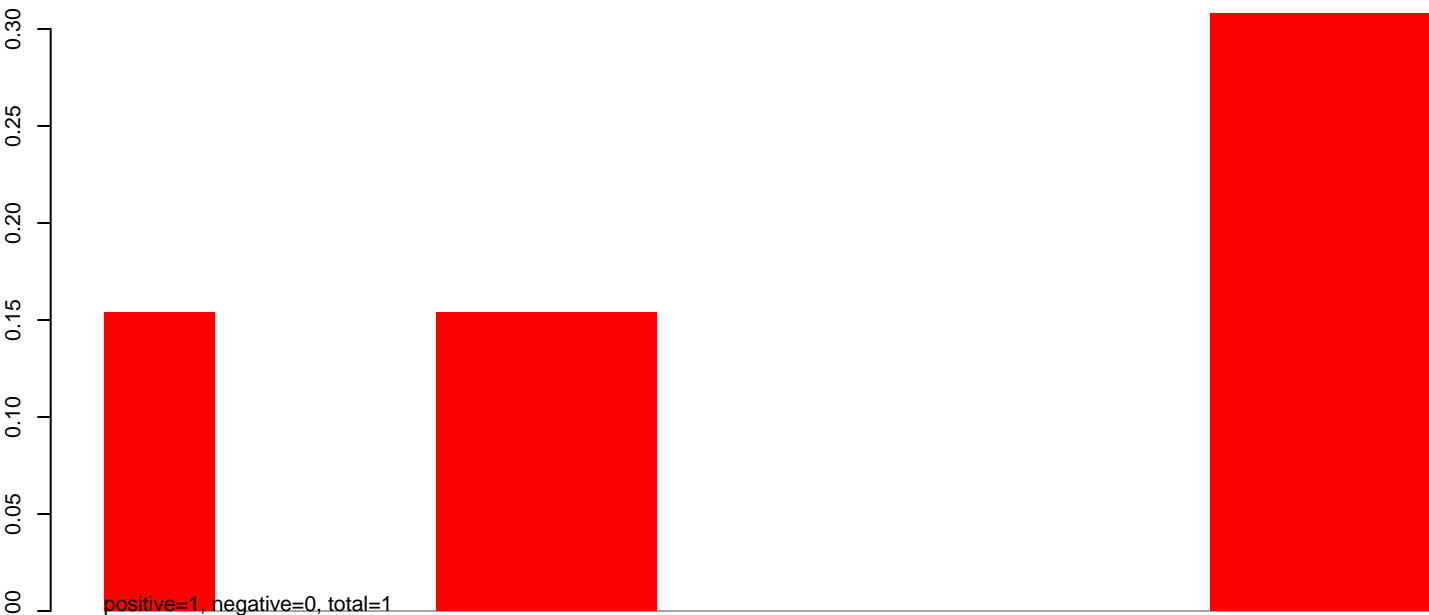


AeAlbo_C636_6dpi_SINV1.rep

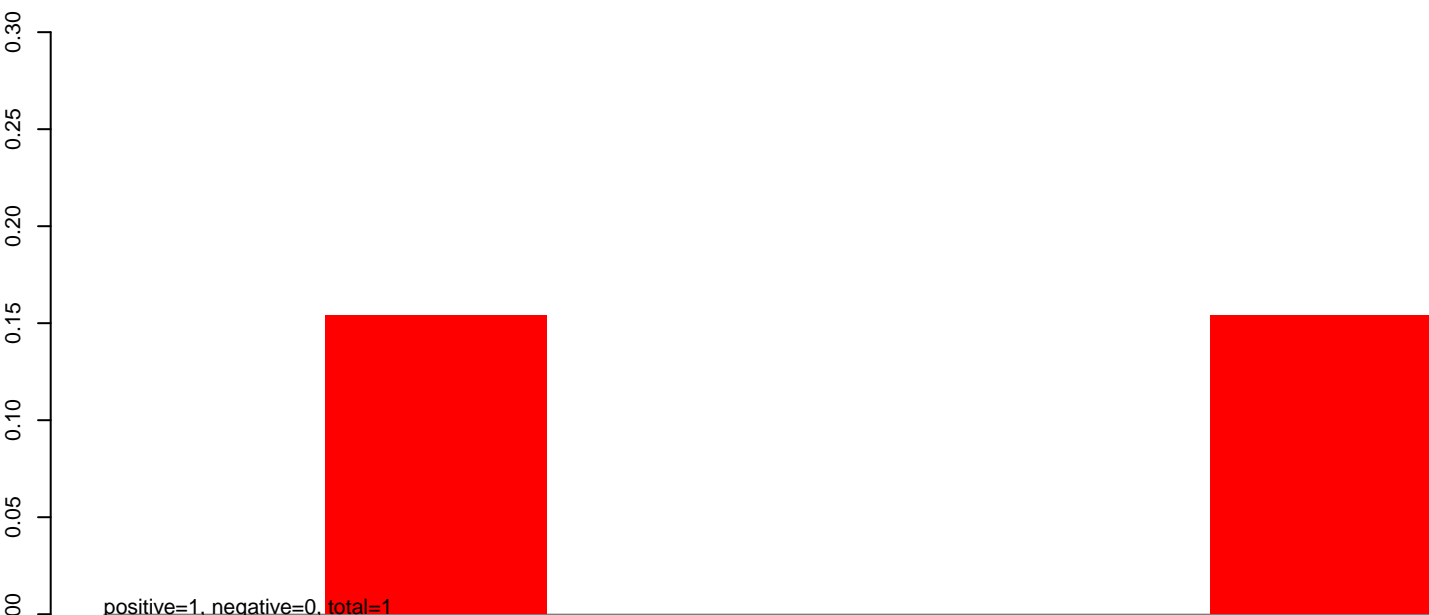




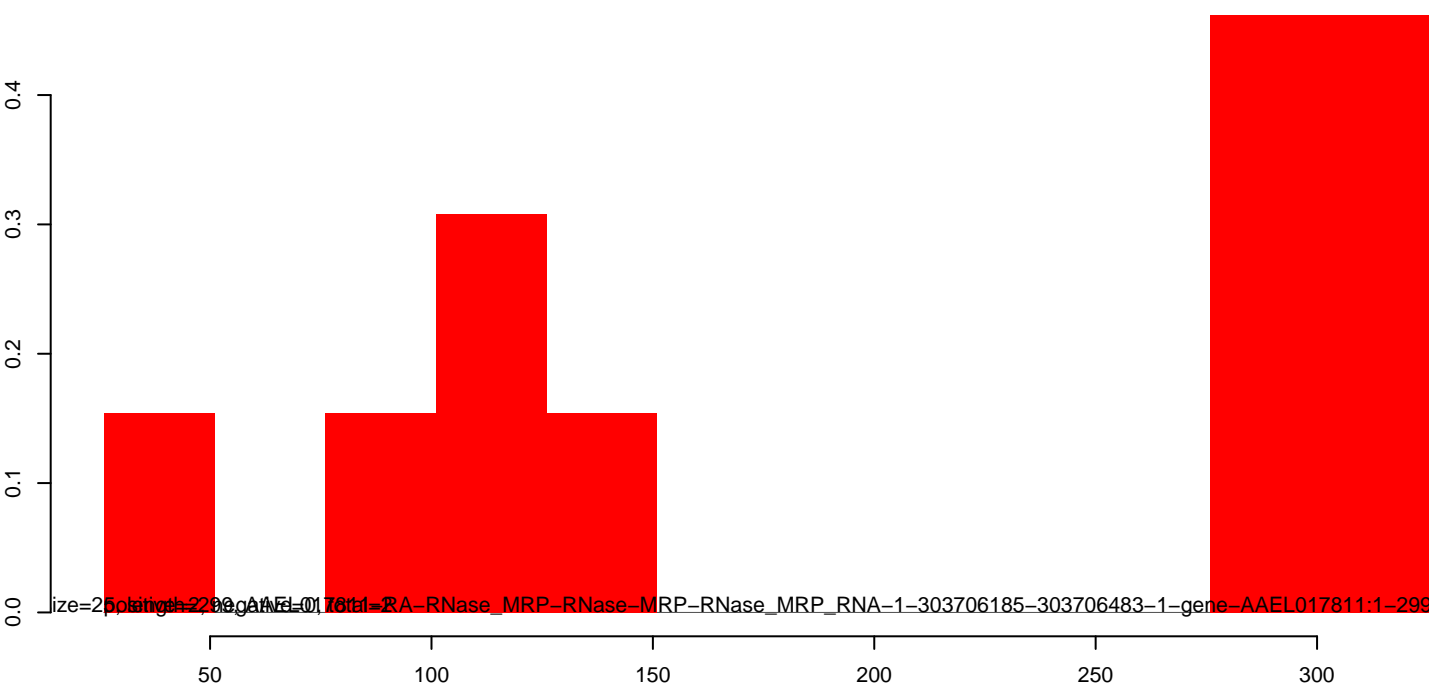
AeAlbo_C636_6dpi_SINV1.18_23.rep



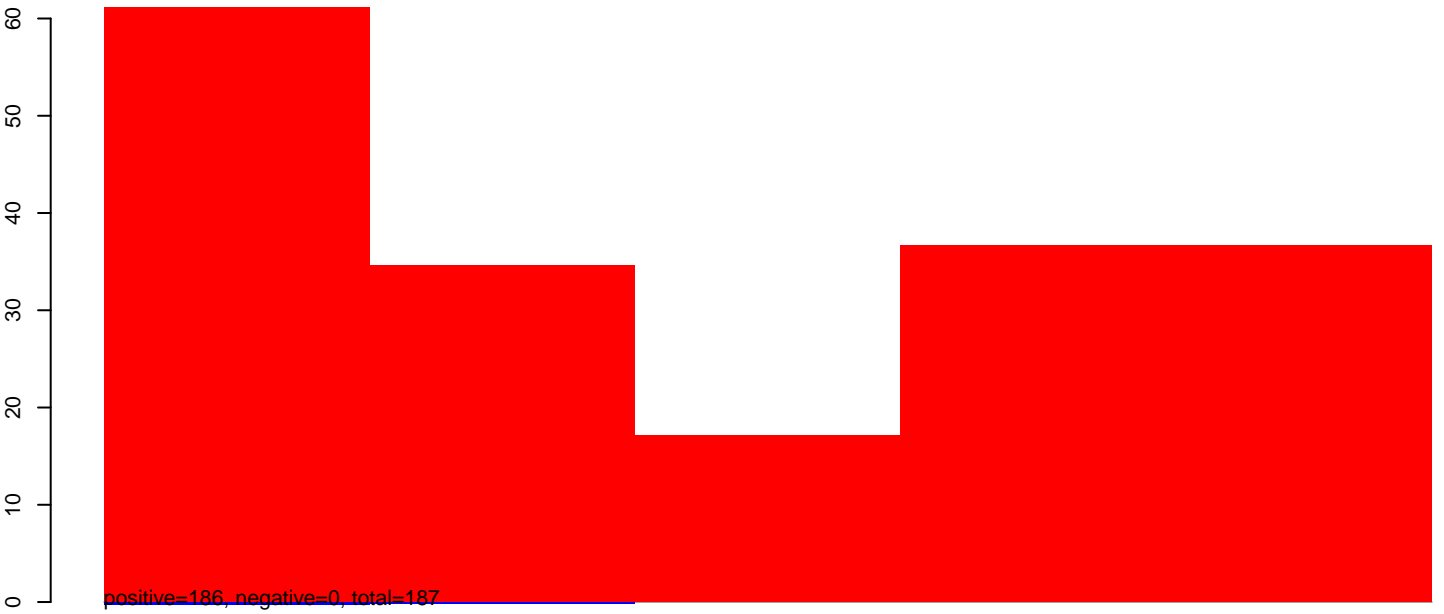
AeAlbo_C636_6dpi_SINV1.24_35.rep



AeAlbo_C636_6dpi_SINV1.rep



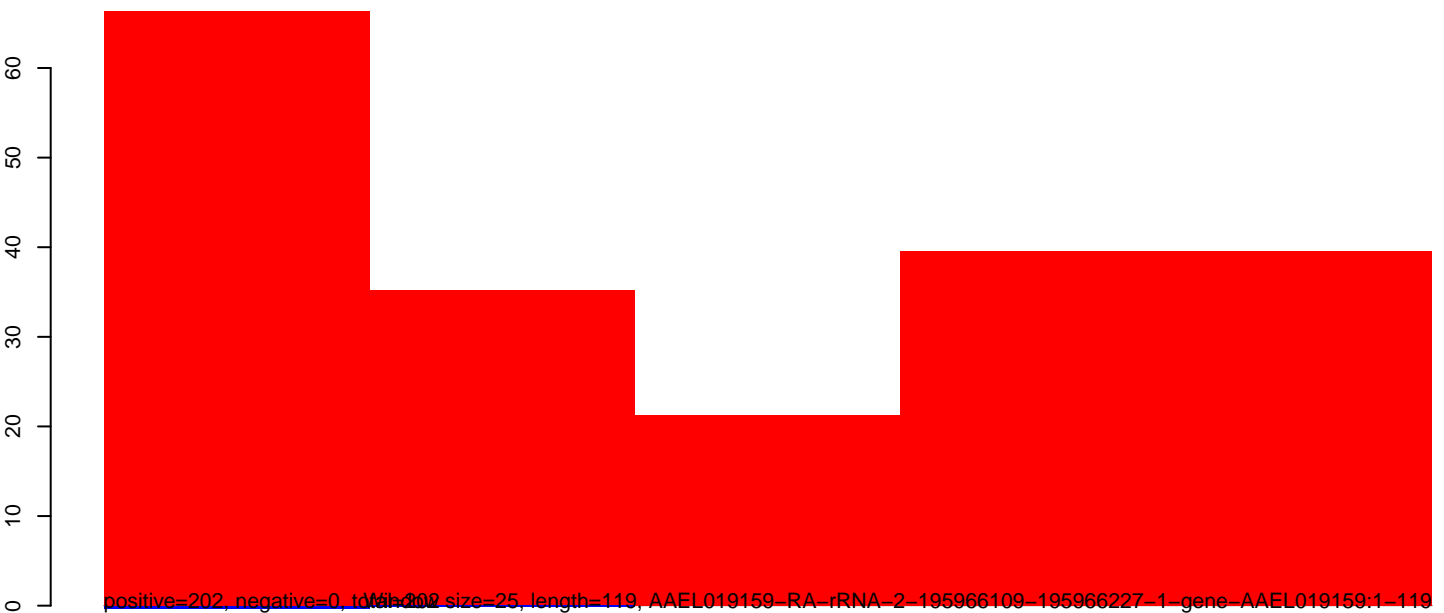
AeAlbo_C636_6dpi_SINV1.18_23.rep



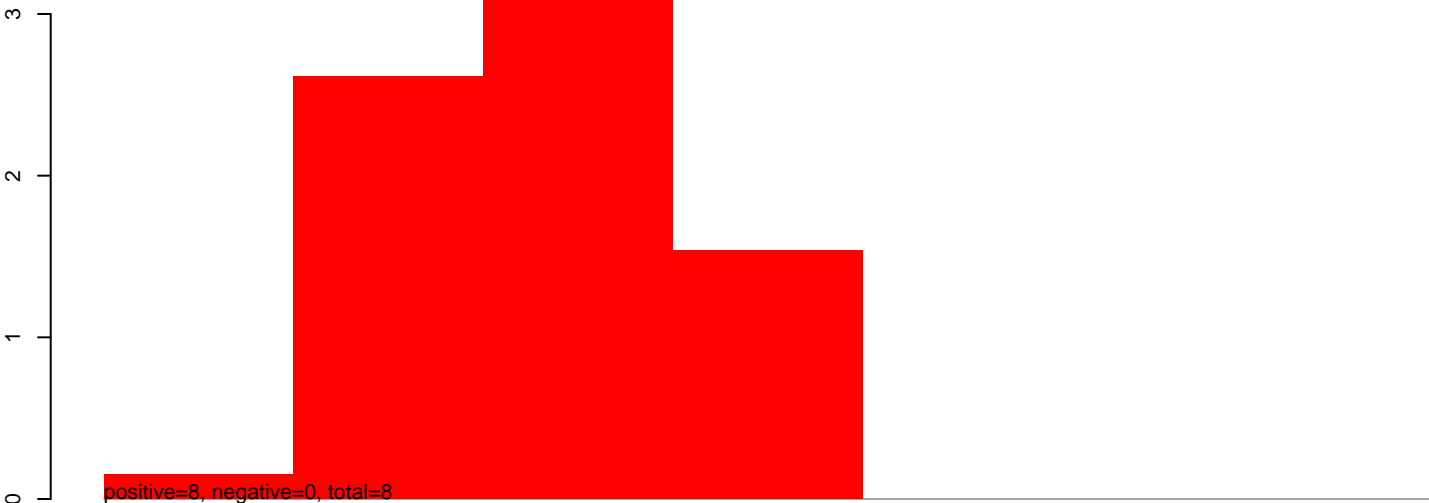
AeAlbo_C636_6dpi_SINV1.24_35.rep



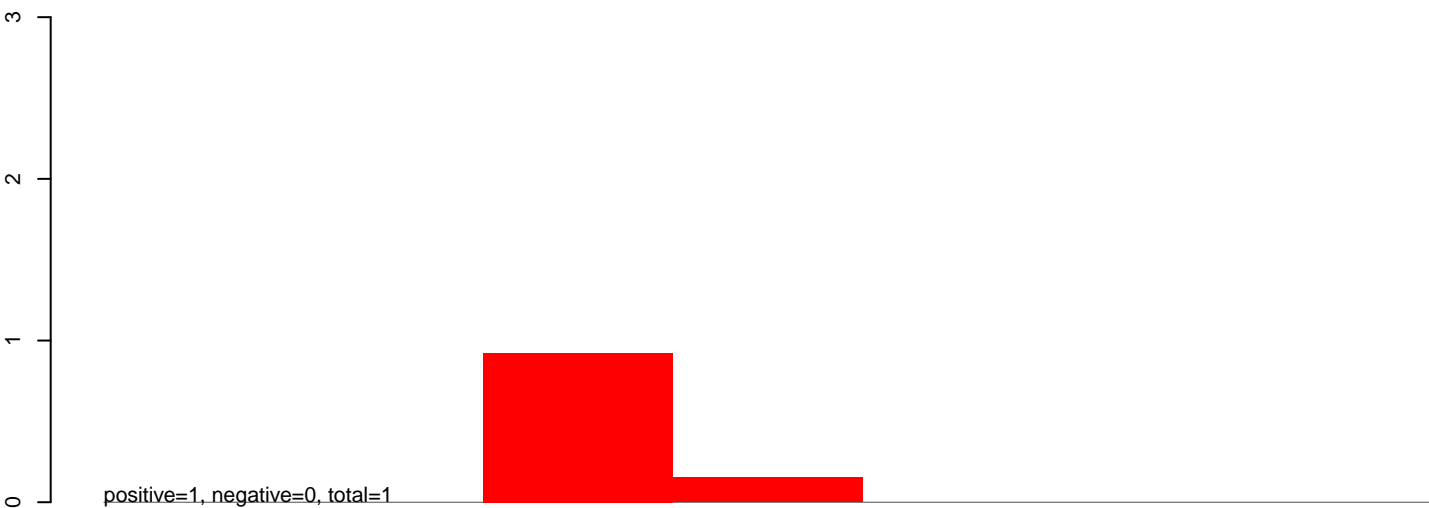
AeAlbo_C636_6dpi_SINV1.rep



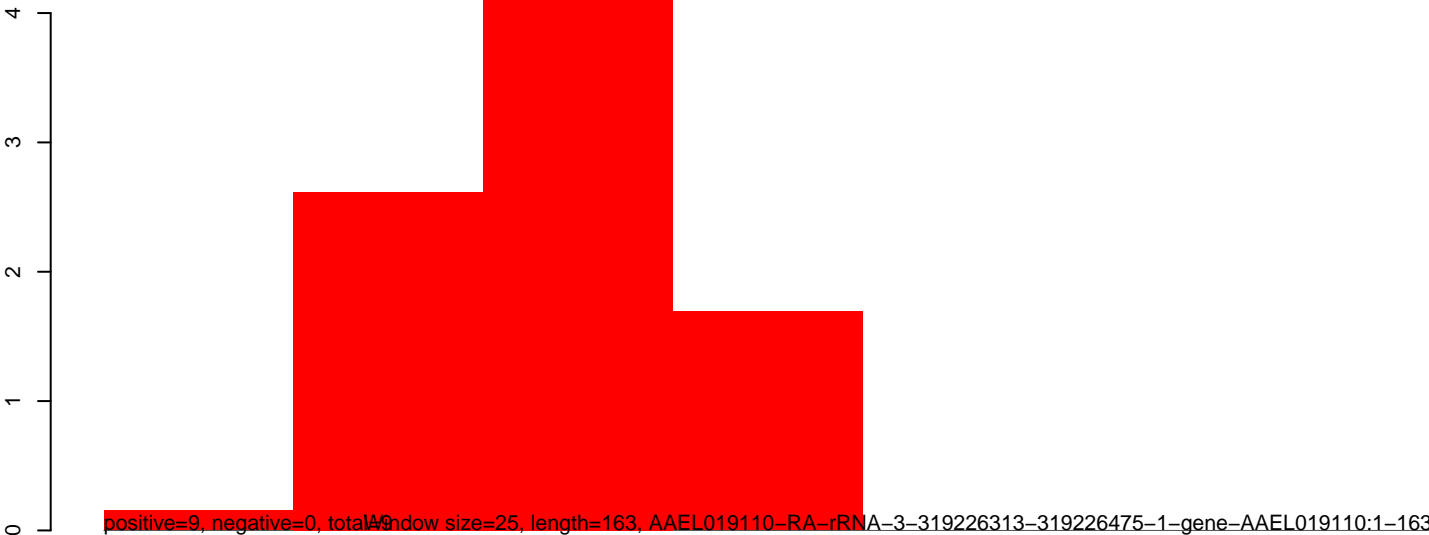
AeAlbo_C636_6dpi_SINV1.18_23.rep



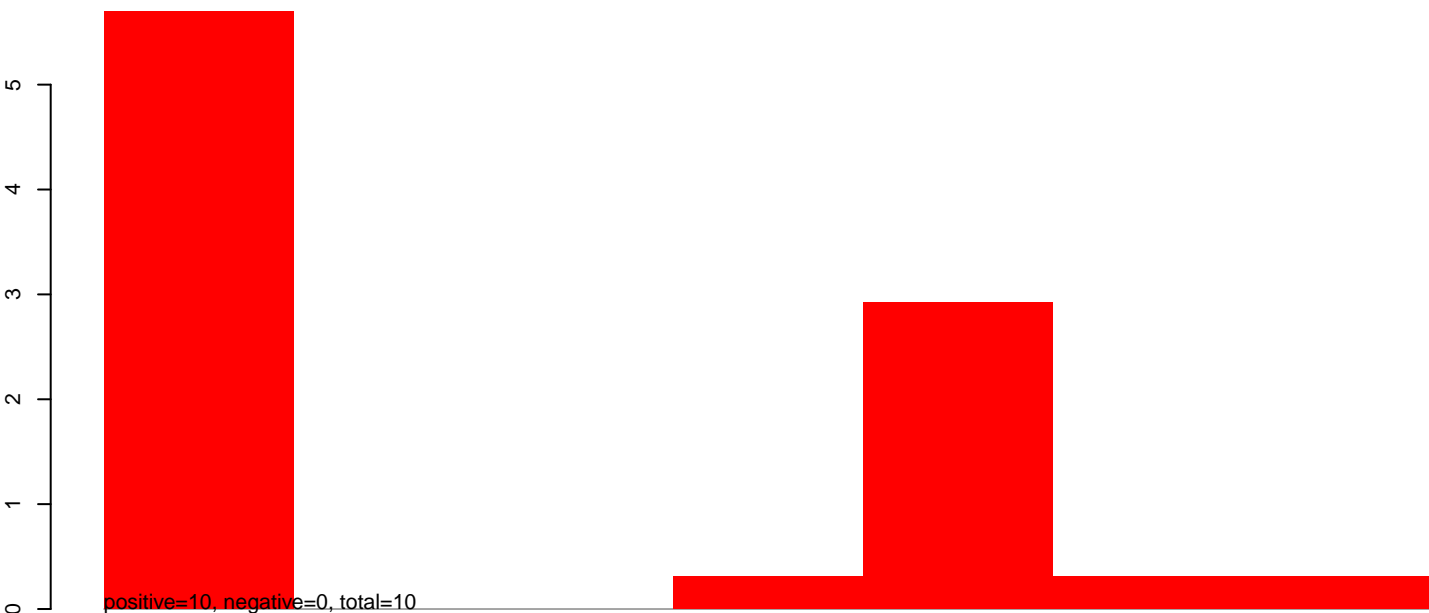
AeAlbo_C636_6dpi_SINV1.24_35.rep



AeAlbo_C636_6dpi_SINV1.rep



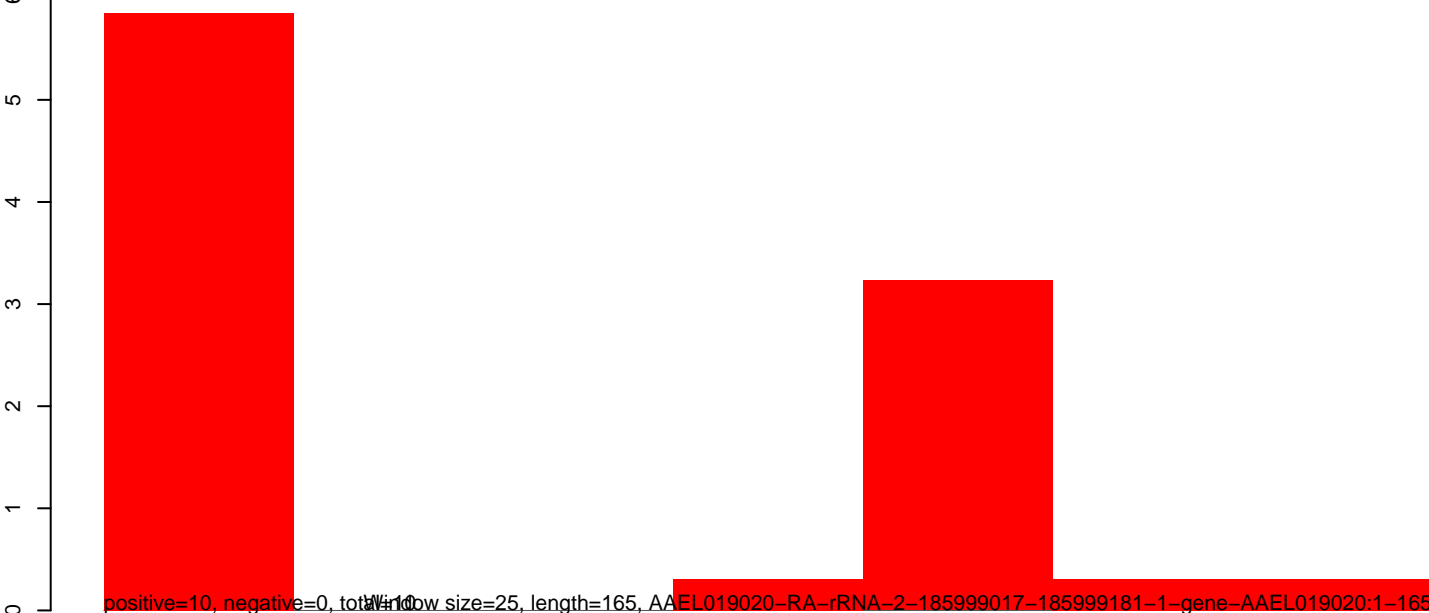
AeAlbo_C636_6dpi_SINV1.18_23.rep



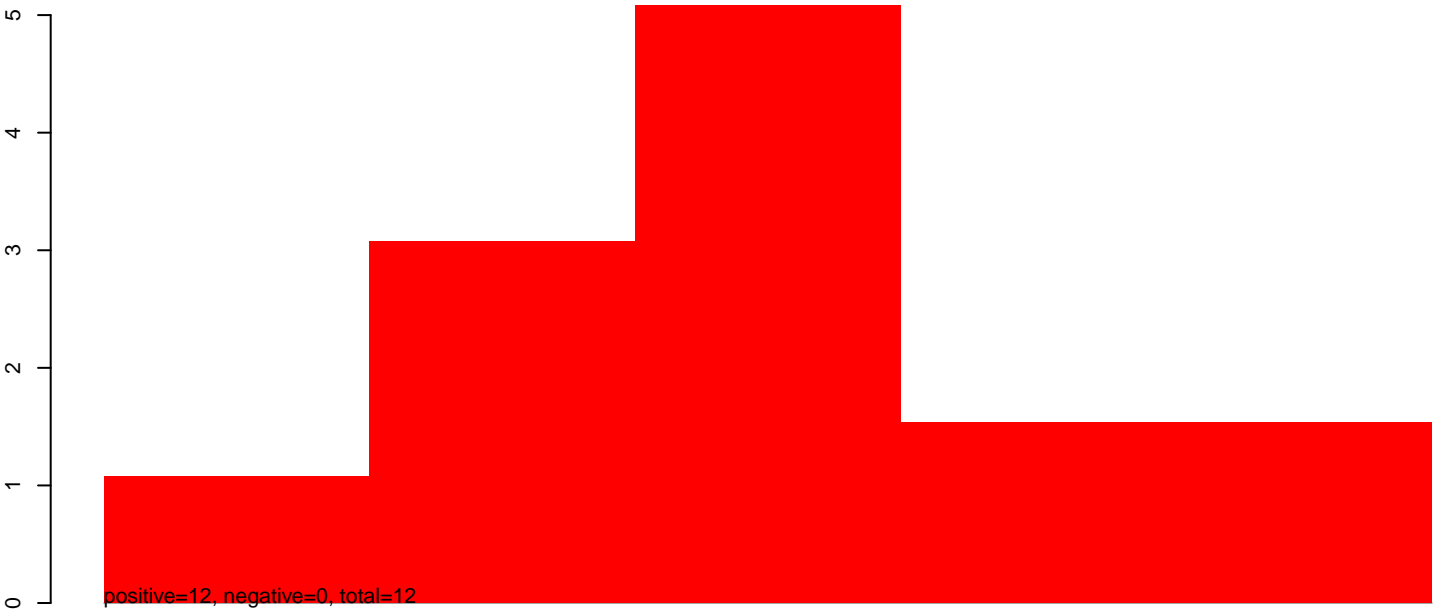
AeAlbo_C636_6dpi_SINV1.24_35.rep



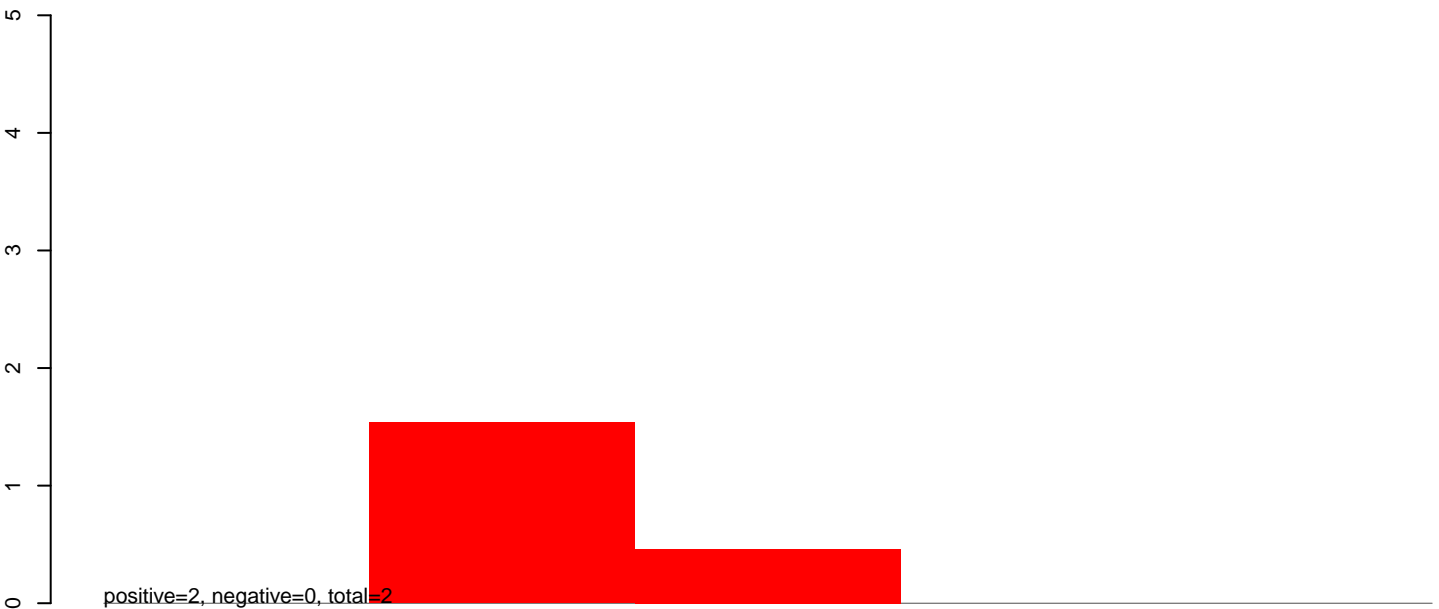
AeAlbo_C636_6dpi_SINV1.rep



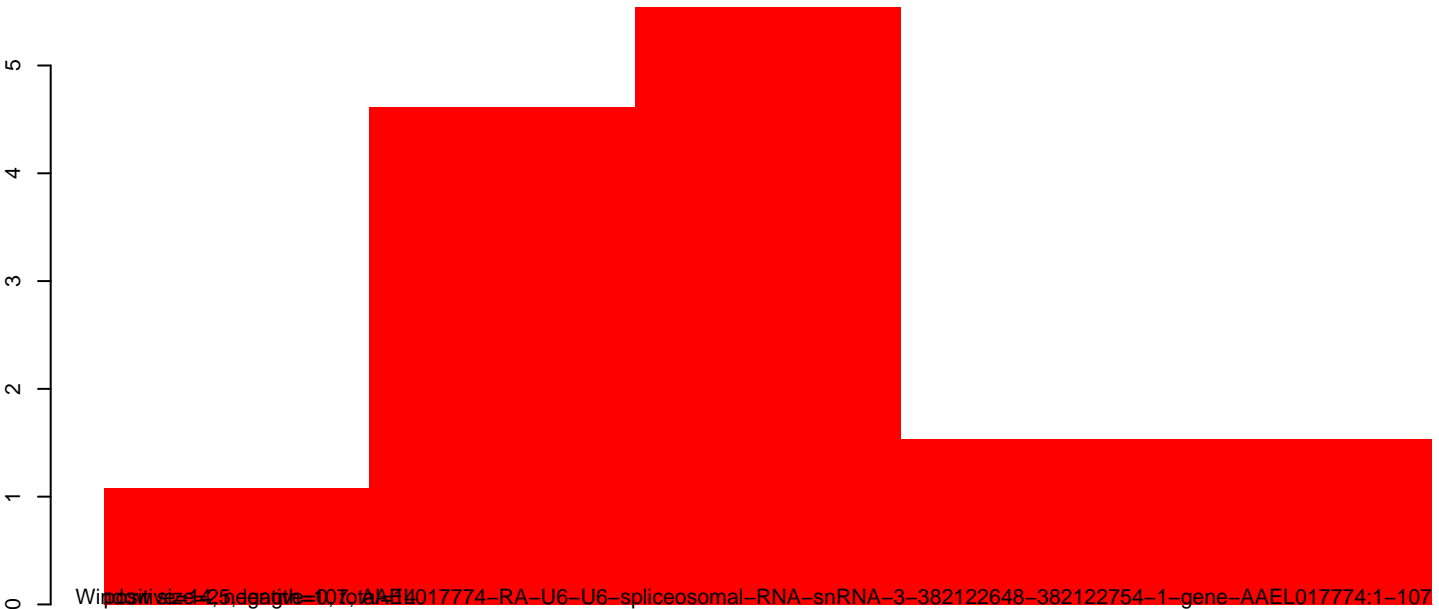
AeAlbo_C636_6dpi_SINV1.18_23.rep



AeAlbo_C636_6dpi_SINV1.24_35.rep



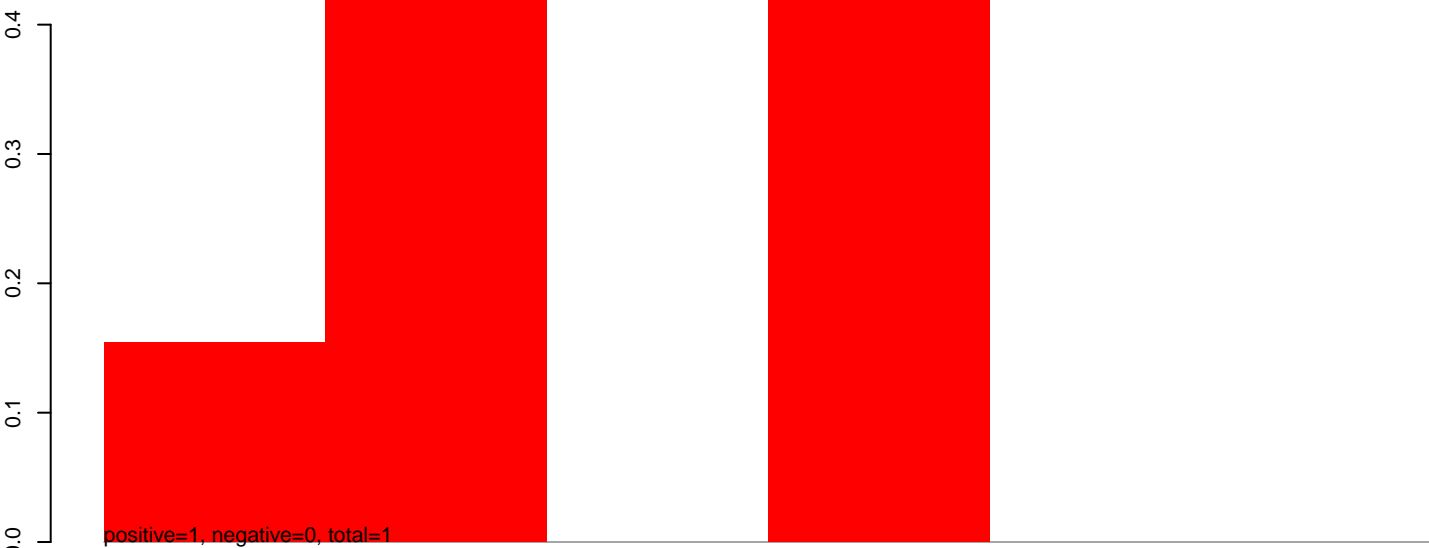
AeAlbo_C636_6dpi_SINV1.rep



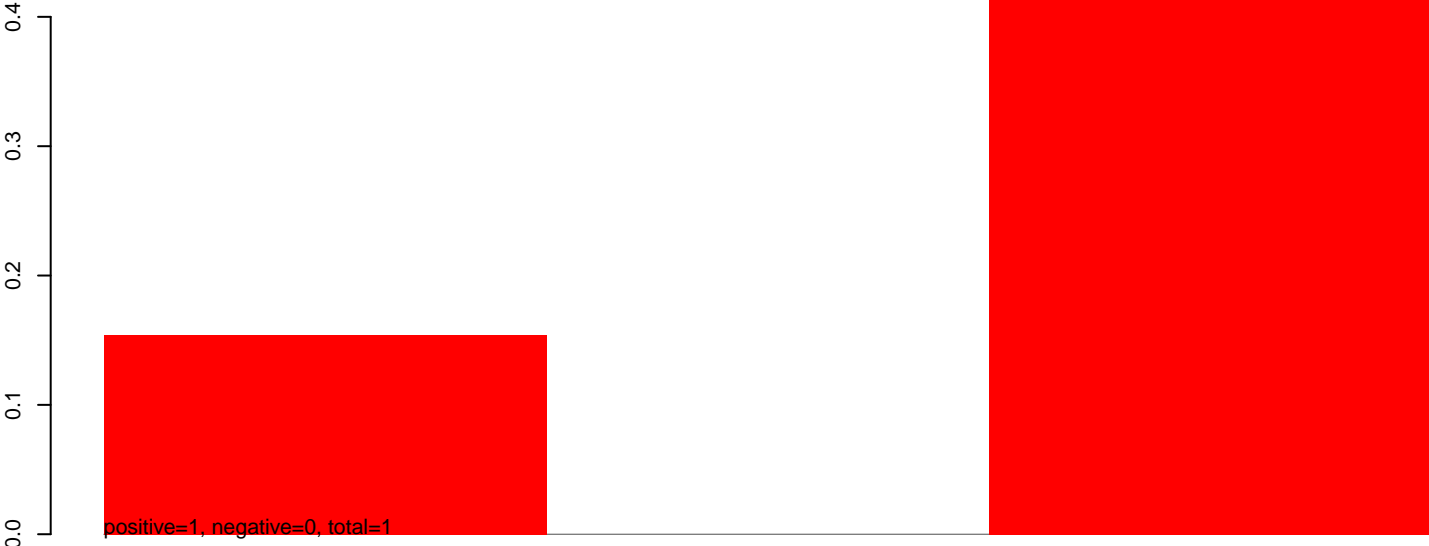
Wingspan=4.5, dangle=0, Total=11017774-RA-U6-U6-spliceosomal-RNA-snRNA-3-382122648-382122754-1-gene-AAEL017774:1-107

40 60 80 100 120 140

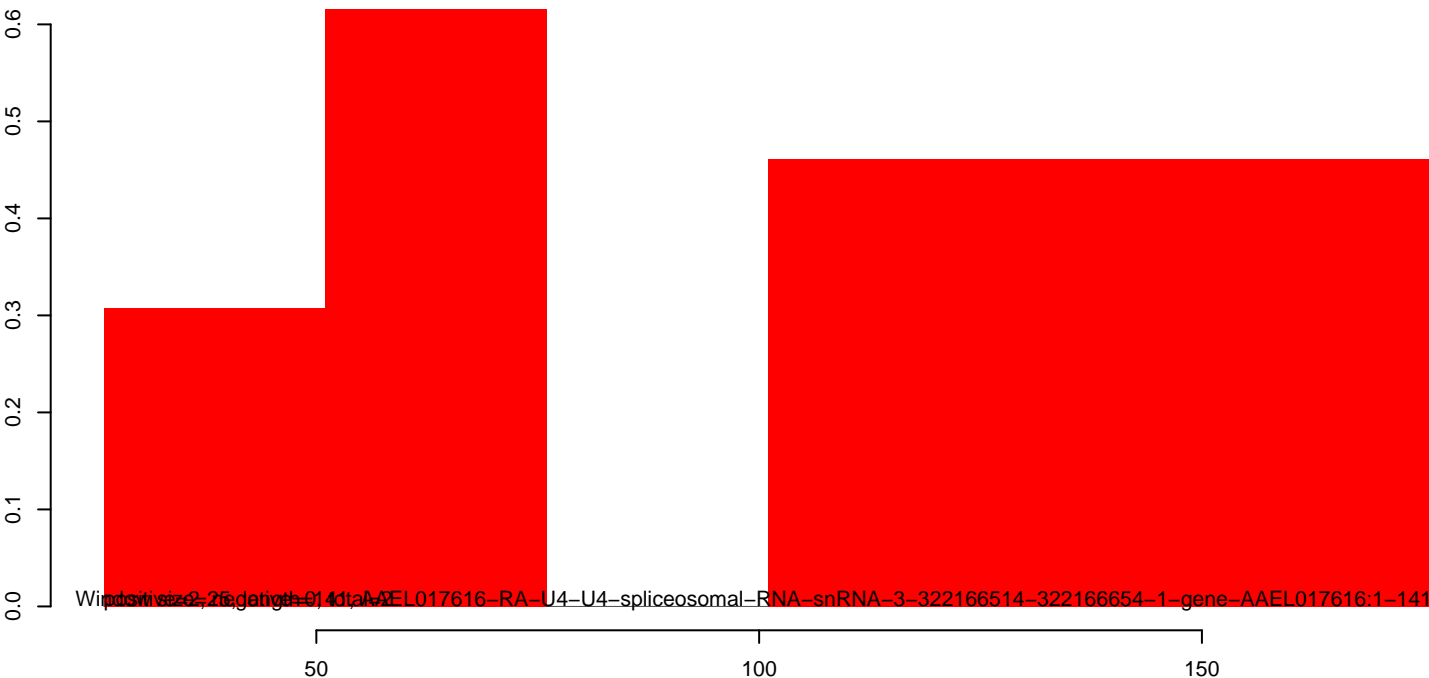
AeAlbo_C636_6dpi_SINV1.18_23.rep



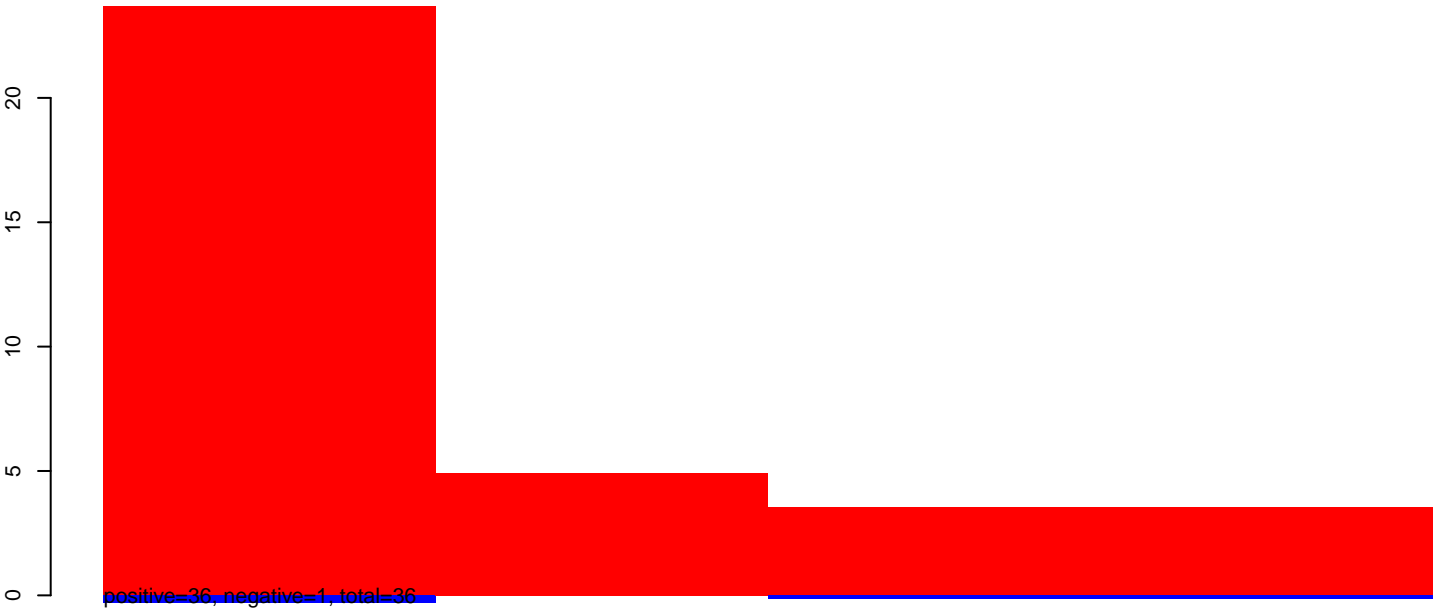
AeAlbo_C636_6dpi_SINV1.24_35.rep



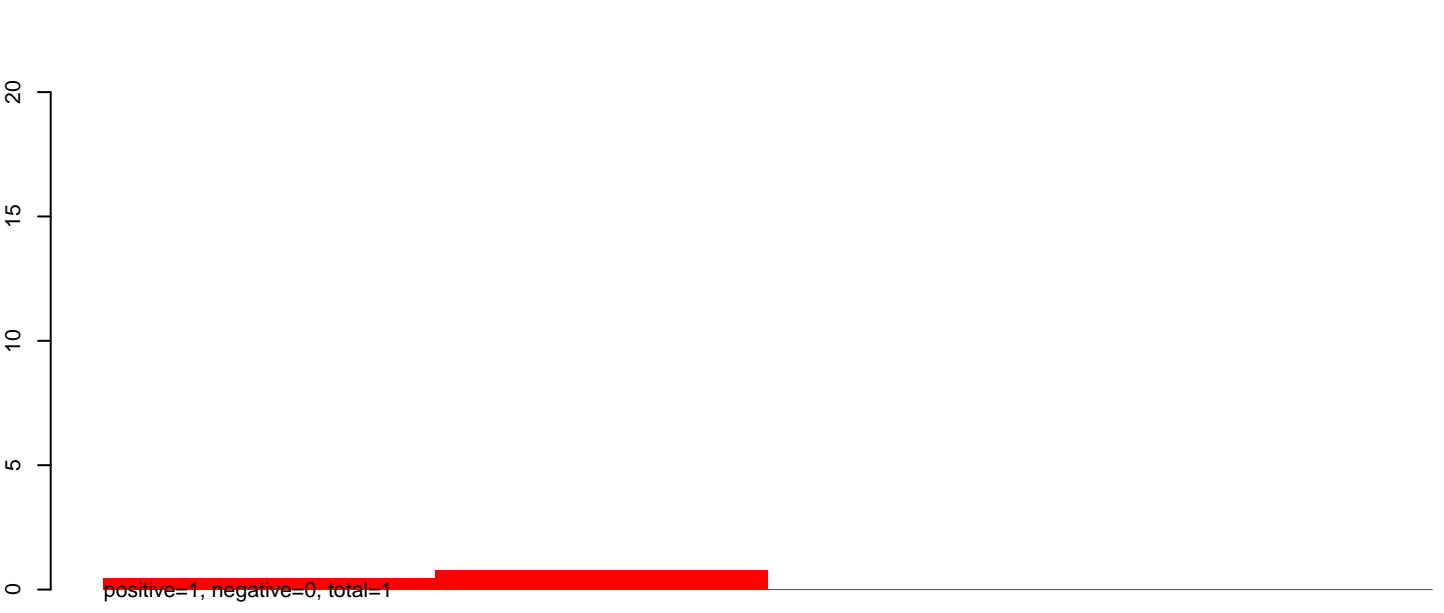
AeAlbo_C636_6dpi_SINV1.rep



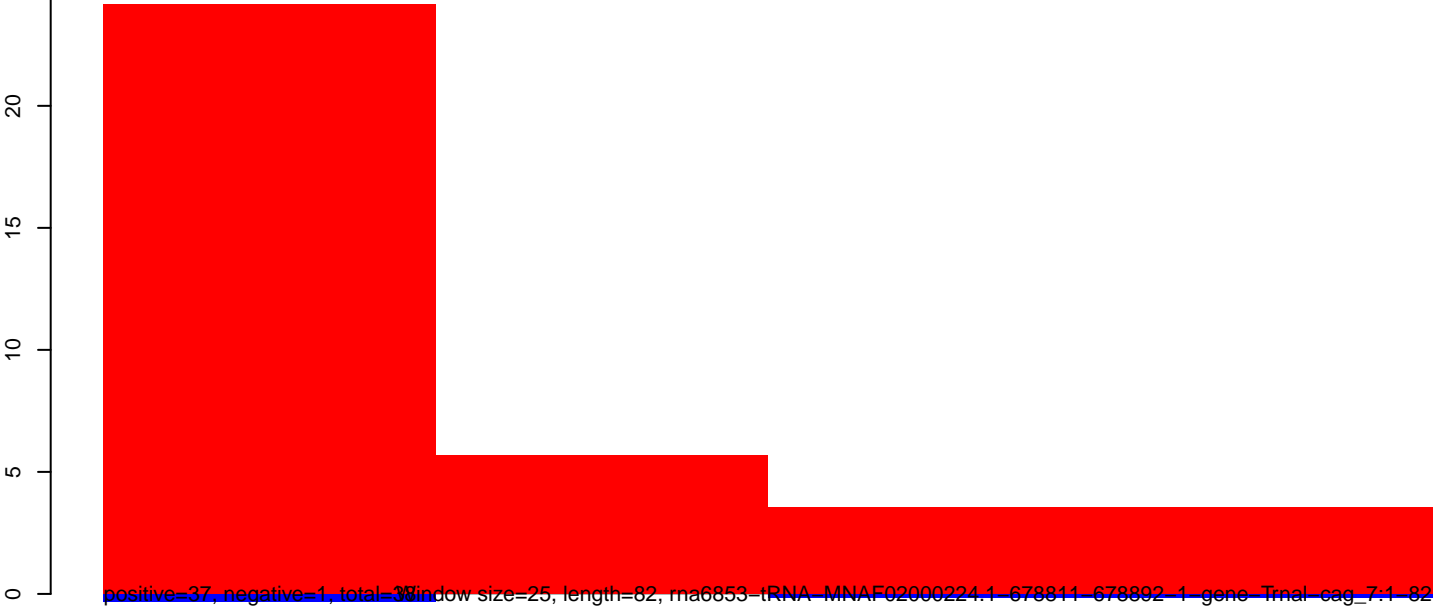
AeAlbo_C636_6dpi_SINV1.18_23.rep



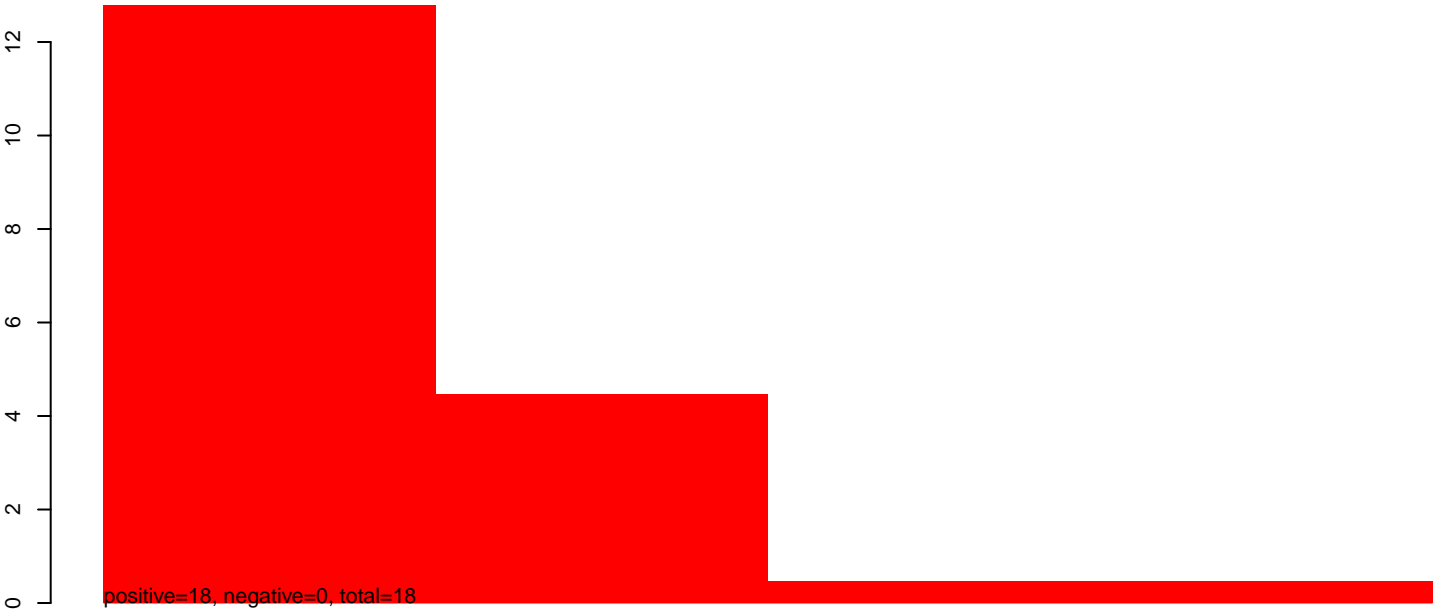
AeAlbo_C636_6dpi_SINV1.24_35.rep



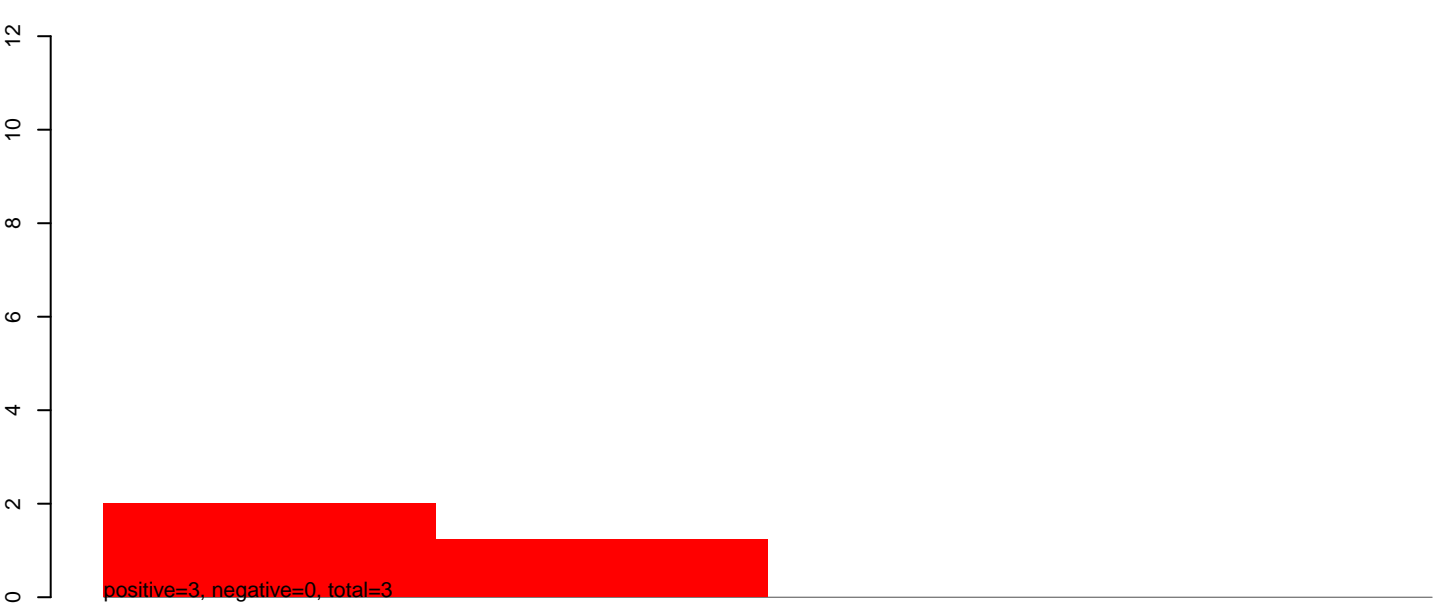
AeAlbo_C636_6dpi_SINV1.rep



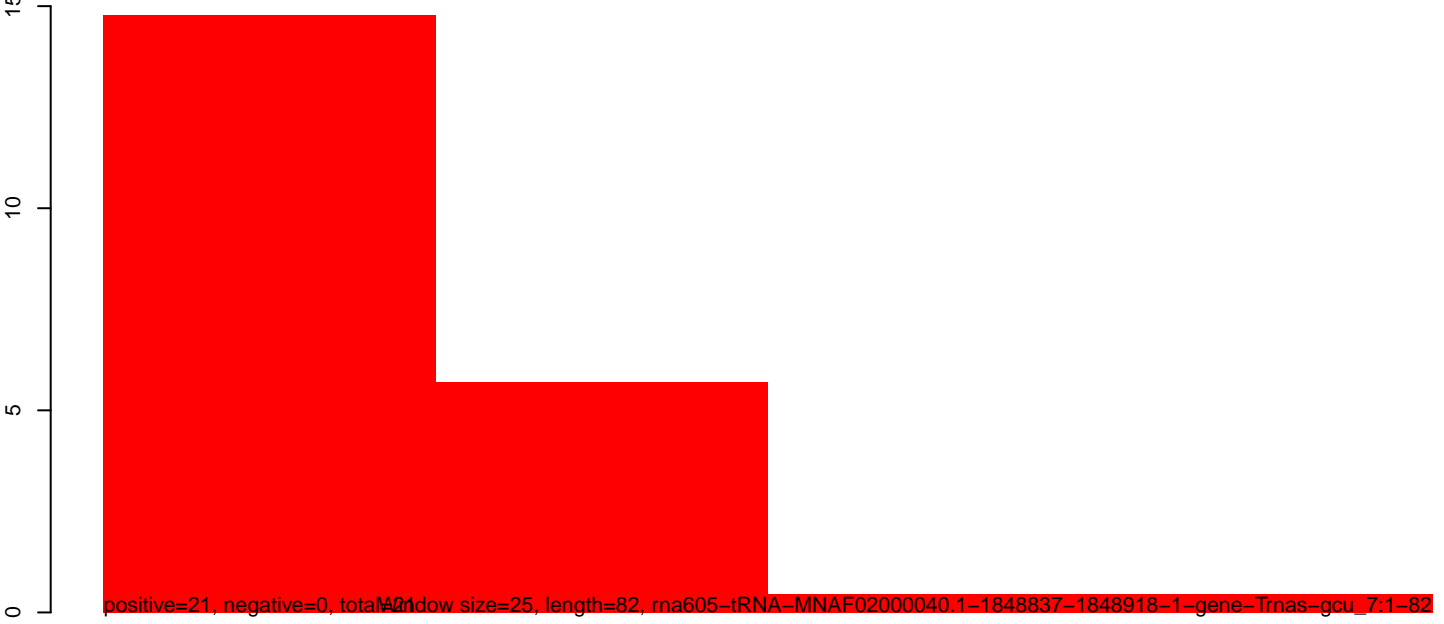
AeAlbo_C636_6dpi_SINV1.18_23.rep



AeAlbo_C636_6dpi_SINV1.24_35.rep

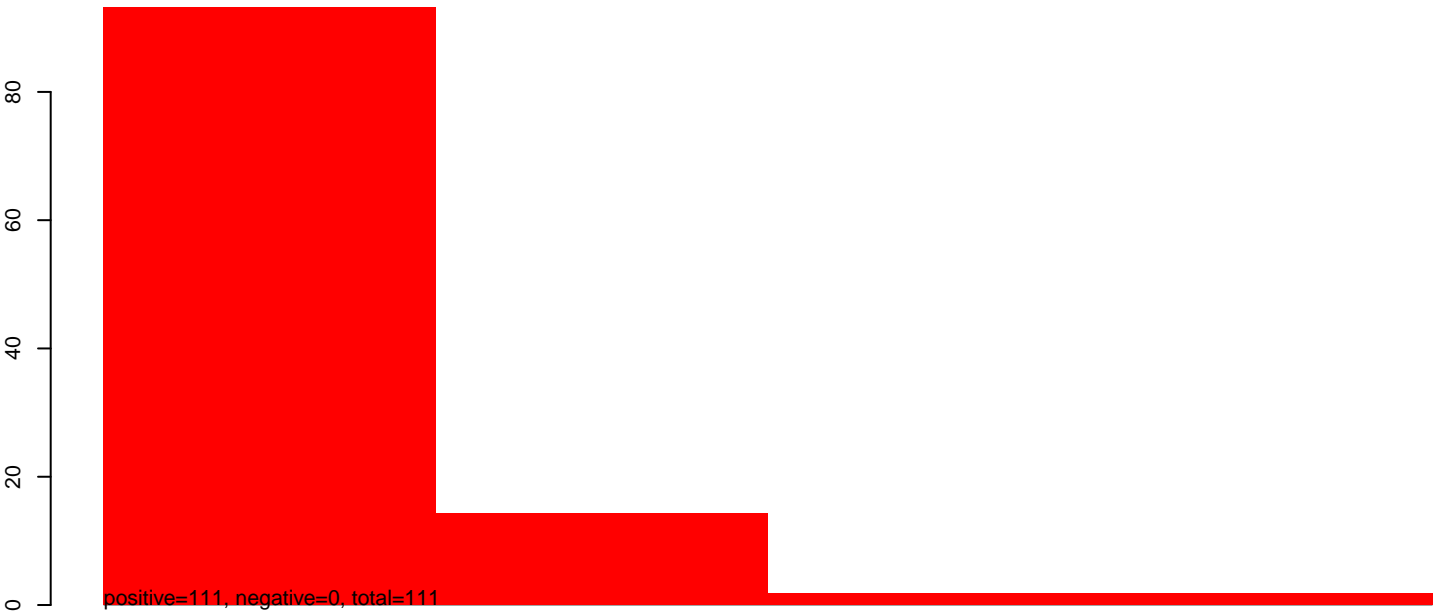


AeAlbo_C636_6dpi_SINV1.rep

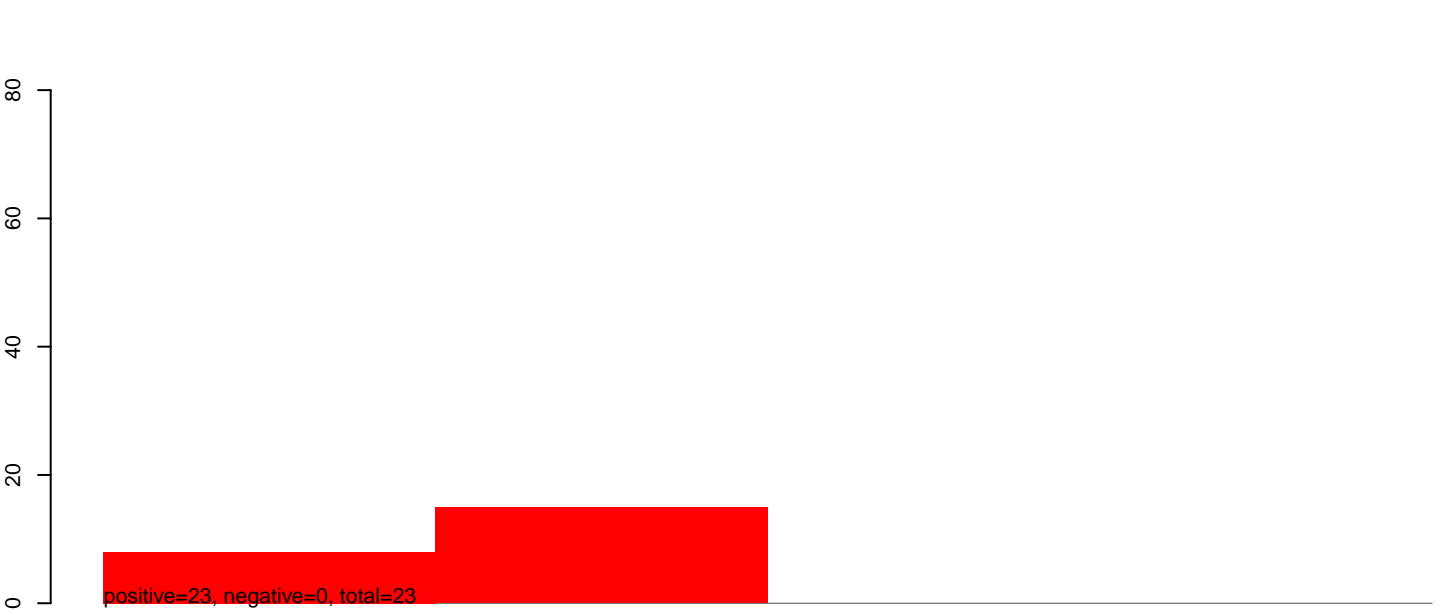


Window size=25, length=82, rna605-tRNA-MNAF02000040.1-1848837-1848918-1-gene-Trnas-gcu_7:1-82

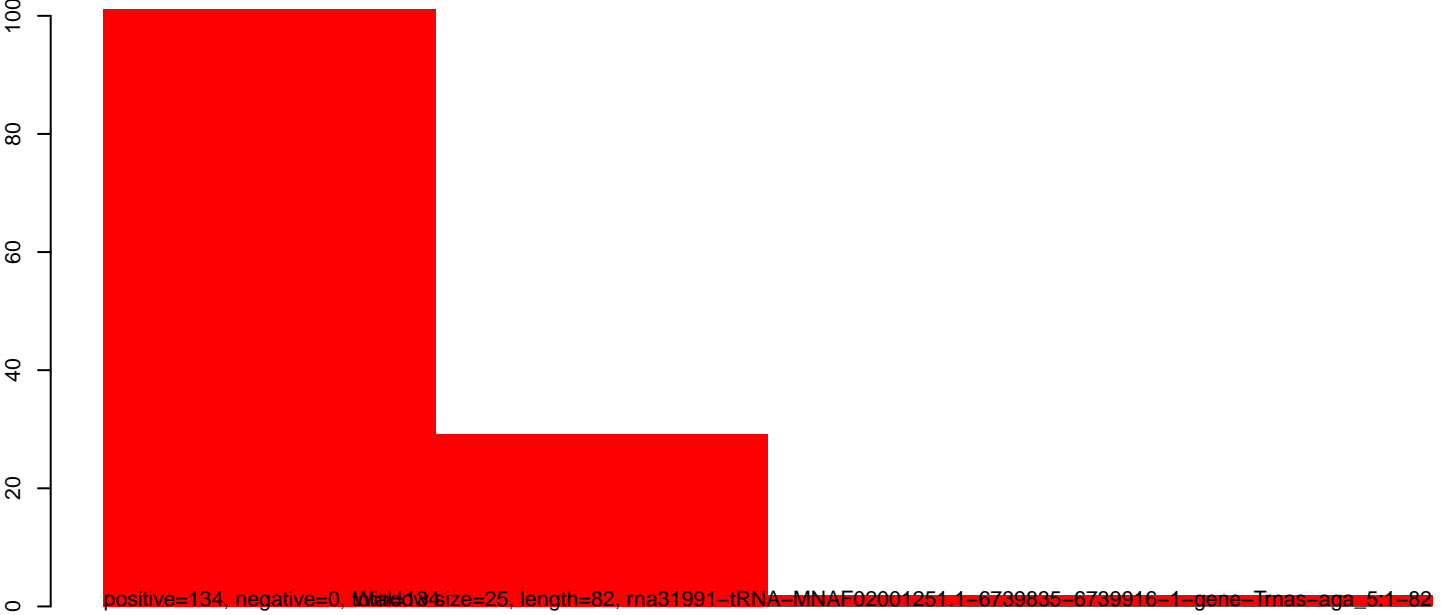
AeAlbo_C636_6dpi_SINV1.18_23.rep



AeAlbo_C636_6dpi_SINV1.24_35.rep

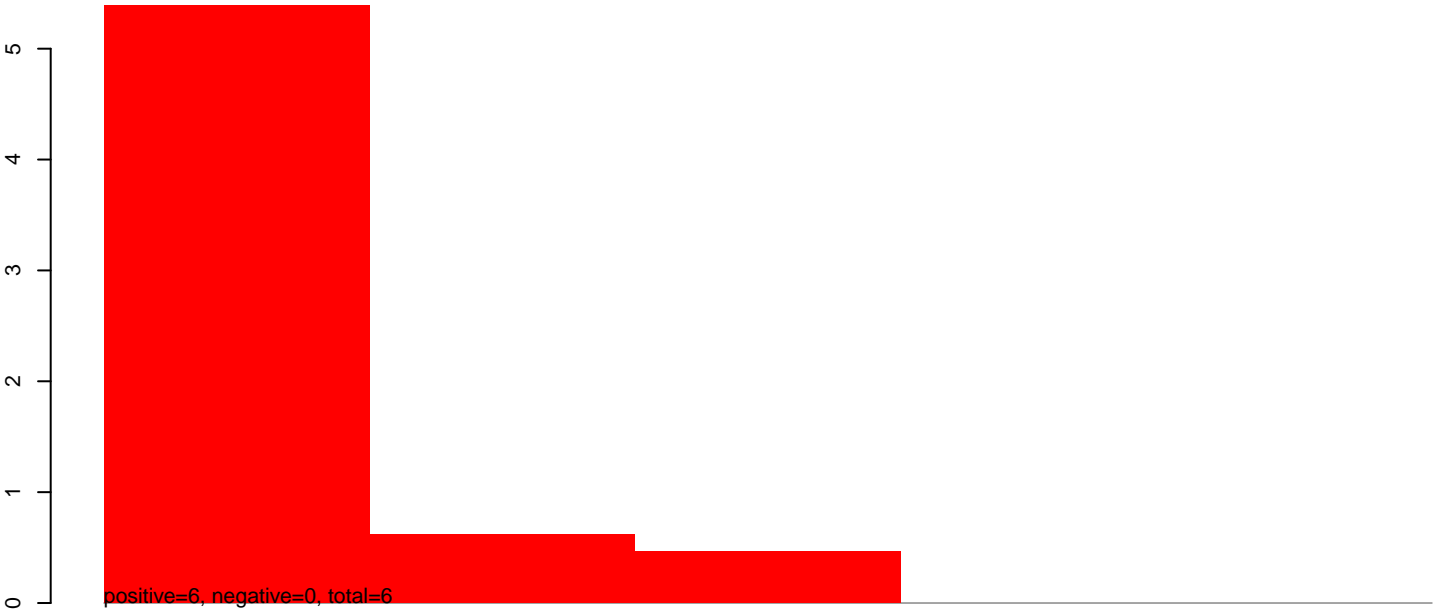


AeAlbo_C636_6dpi_SINV1.rep

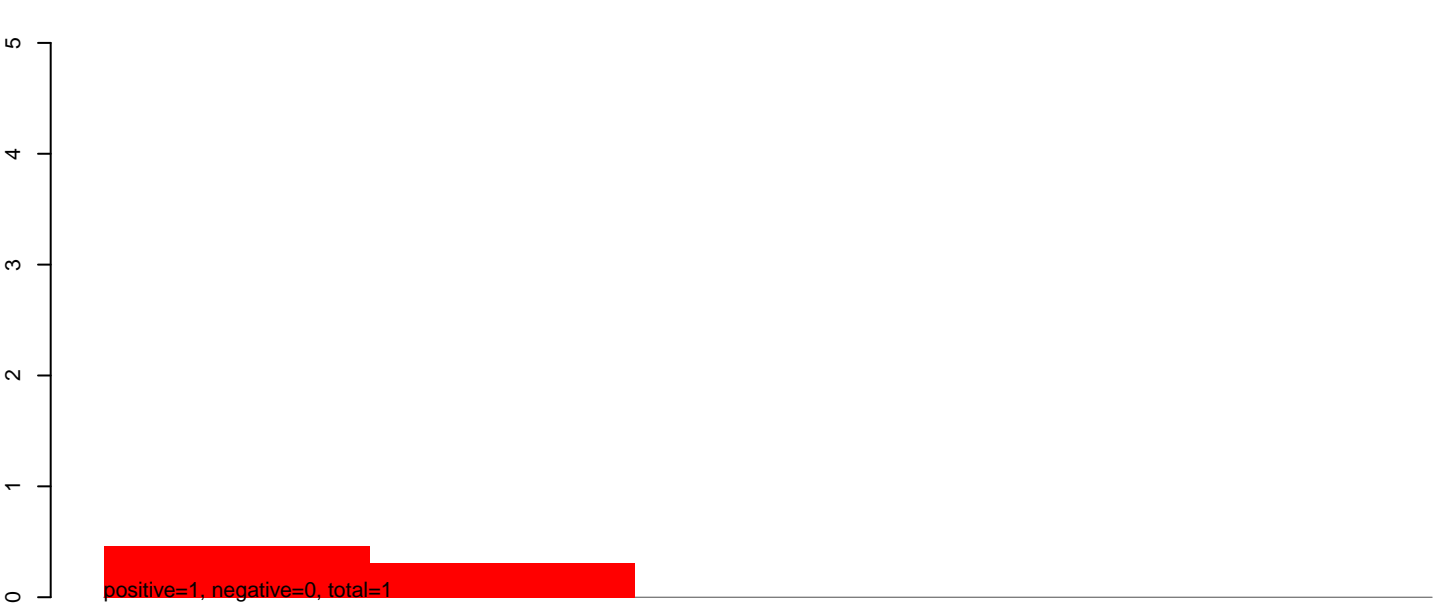


40 60 80 100 120

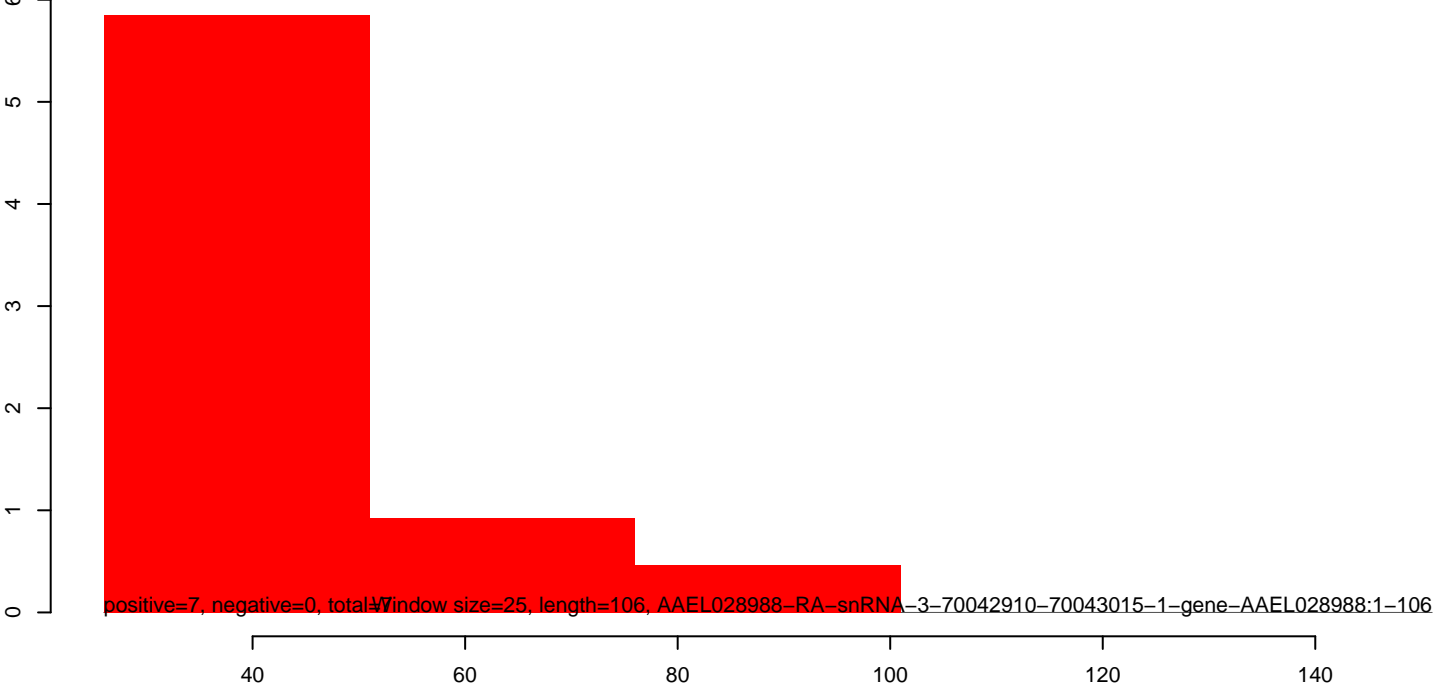
AeAlbo_C636_6dpi_SINV1.18_23.rep



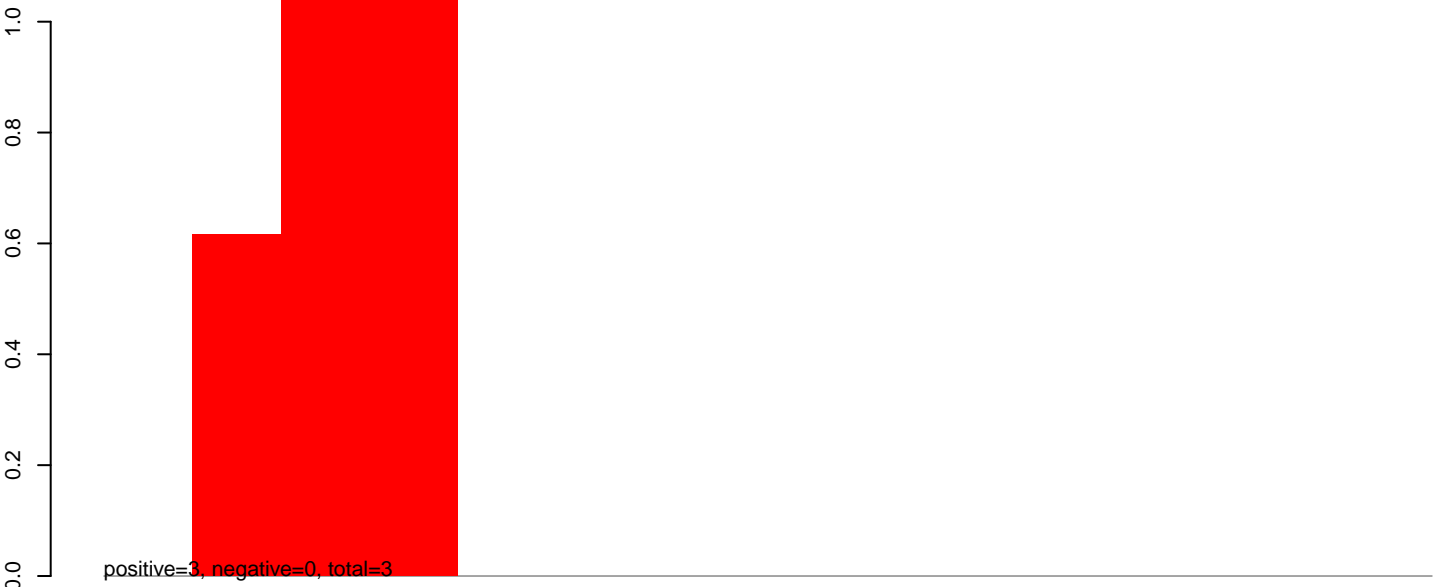
AeAlbo_C636_6dpi_SINV1.24_35.rep



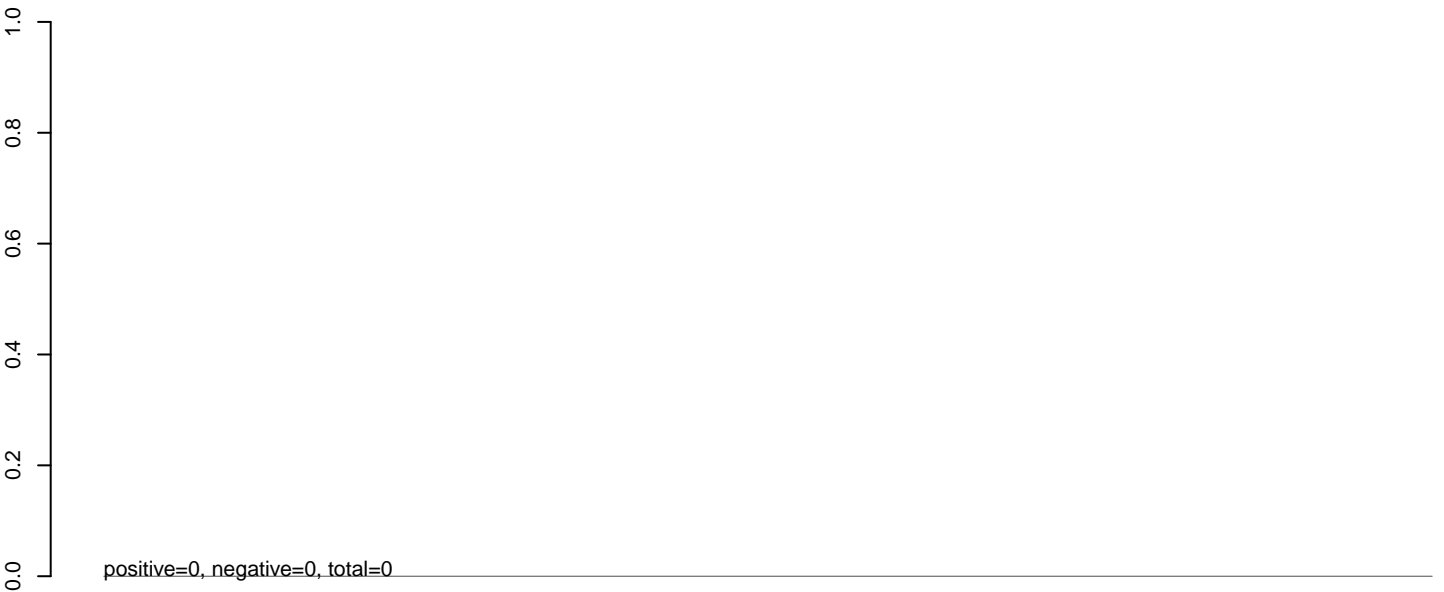
AeAlbo_C636_6dpi_SINV1.rep



AeAlbo_C636_6dpi_SINV1.18_23.rep



AeAlbo_C636_6dpi_SINV1.24_35.rep

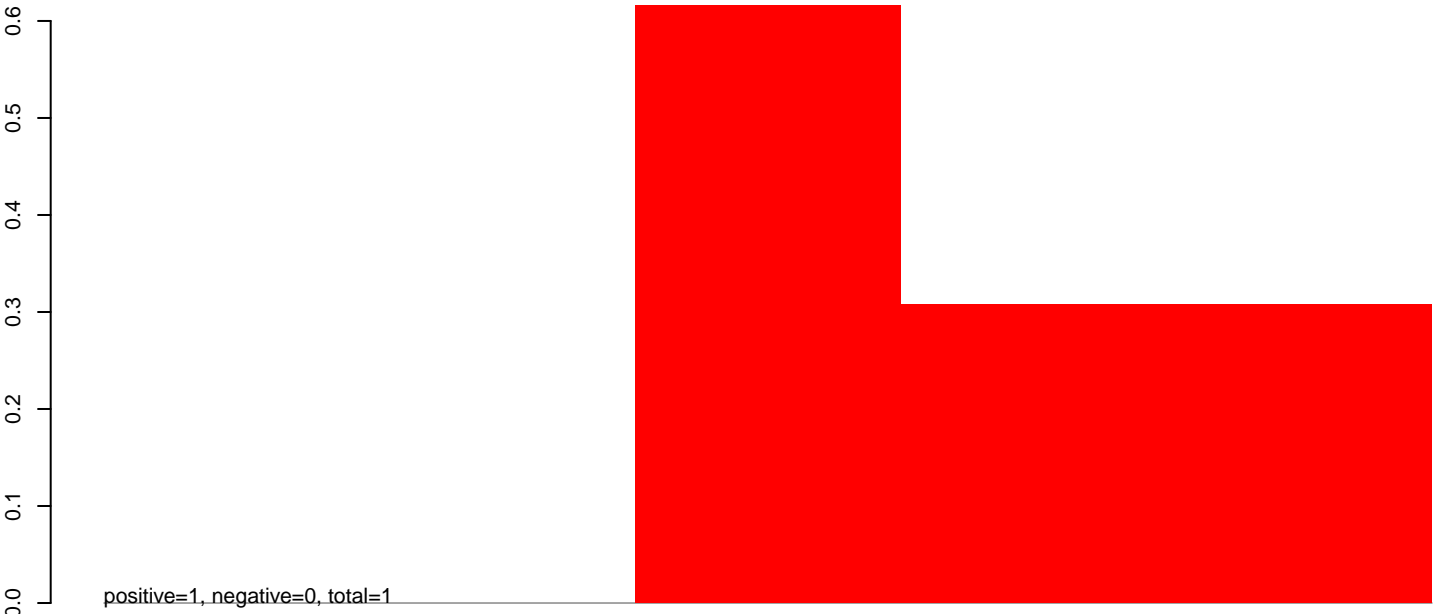


AeAlbo_C636_6dpi_SINV1.rep



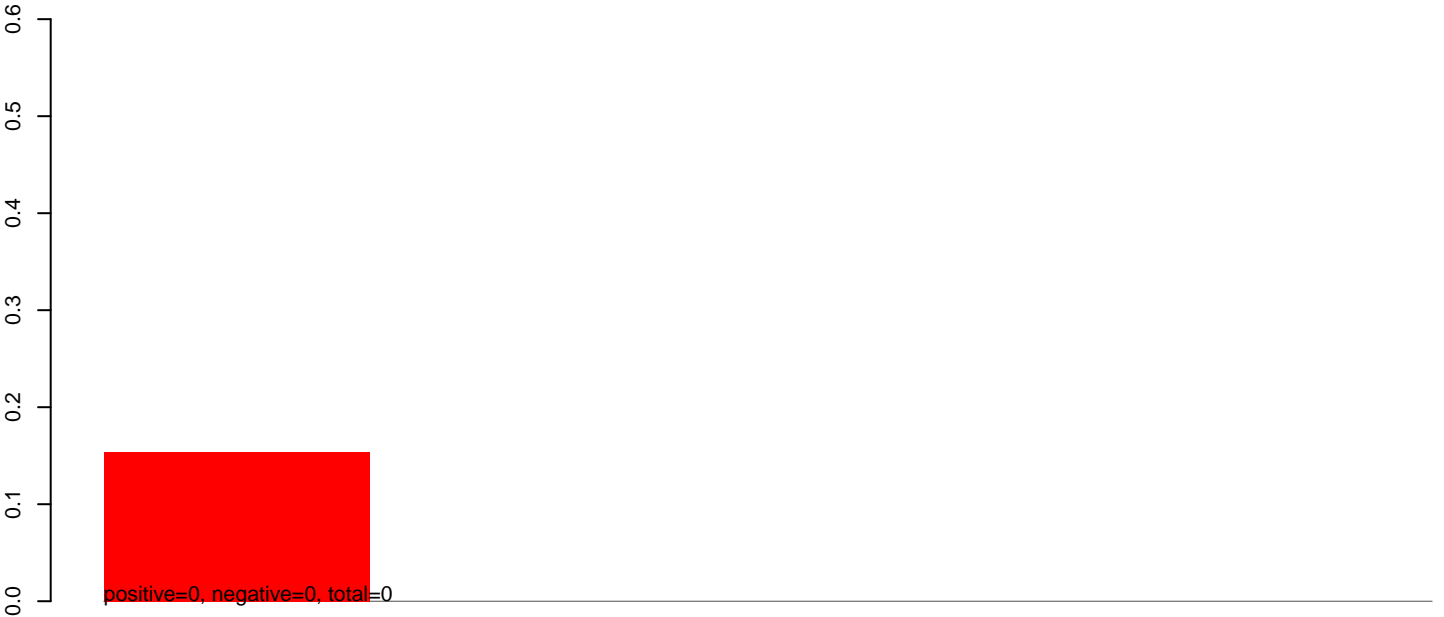
Window size=25, length=351, AAEL028977-RA-rRNA-1-223496318-223496668-1-gene-AAEL028977:1-351

AeAlbo_C636_6dpi_SINV1.18_23.rep



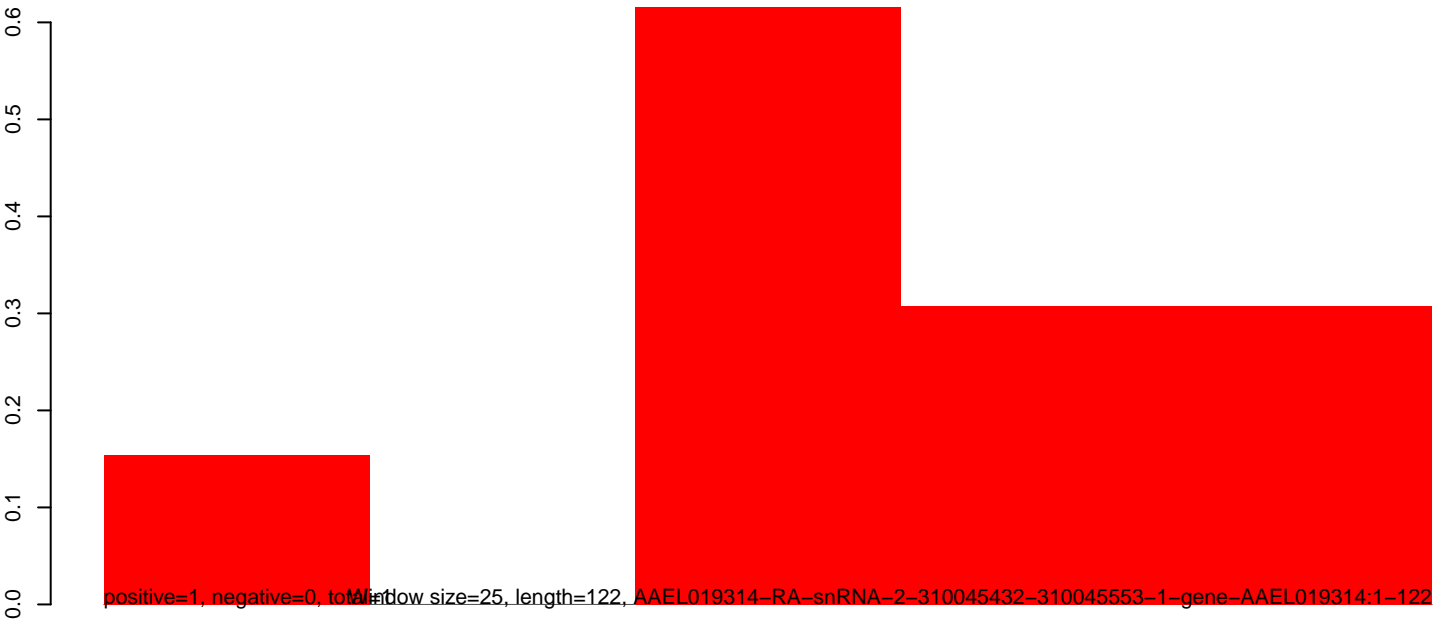
positive=1, negative=0, total=1

AeAlbo_C636_6dpi_SINV1.24_35.rep



positive=0, negative=0, total=0

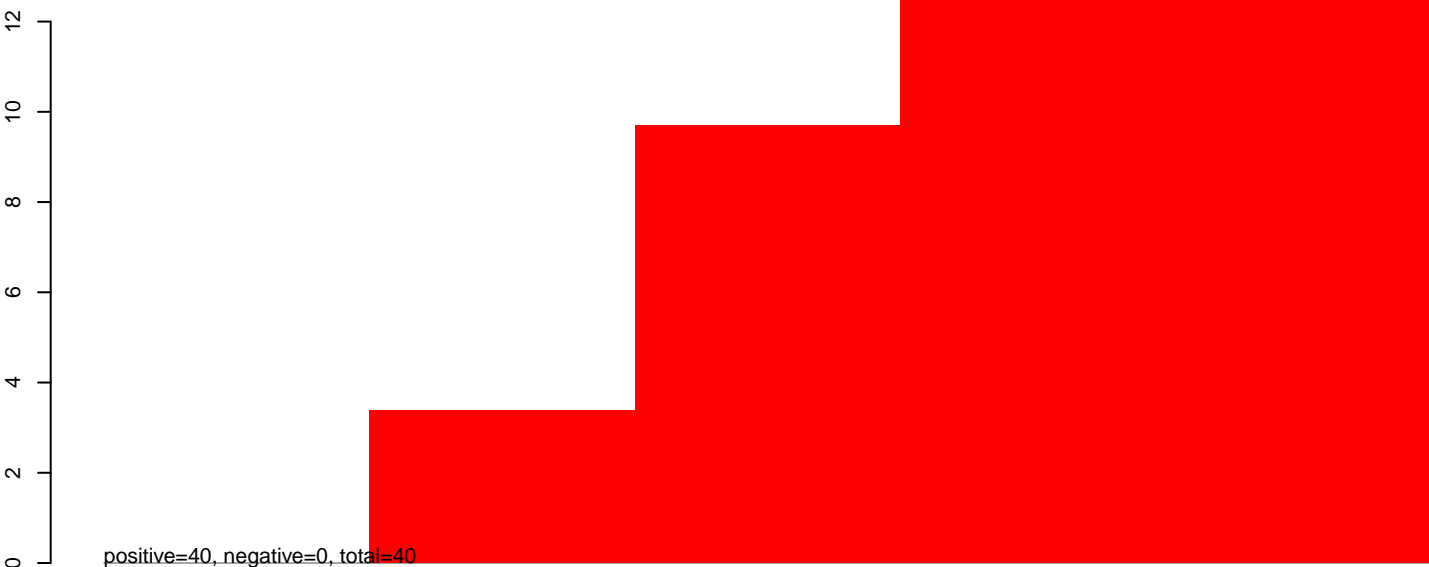
AeAlbo_C636_6dpi_SINV1.rep



positive=1, negative=0, total=1, window size=25, length=122, AAEL019314-RA-snrRNA-2-310045432-310045553-1-gene-AAEL019314:1-122

40 60 80 100 120 140

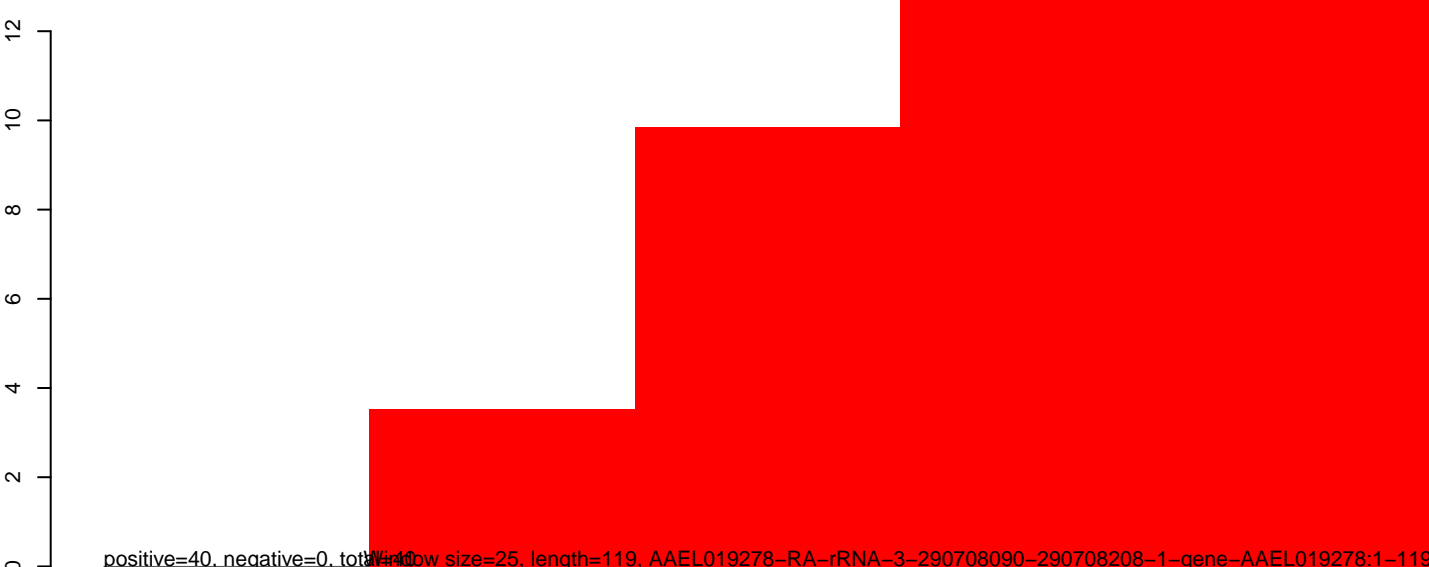
AeAlbo_C636_6dpi_SINV1.18_23.rep



AeAlbo_C636_6dpi_SINV1.24_35.rep

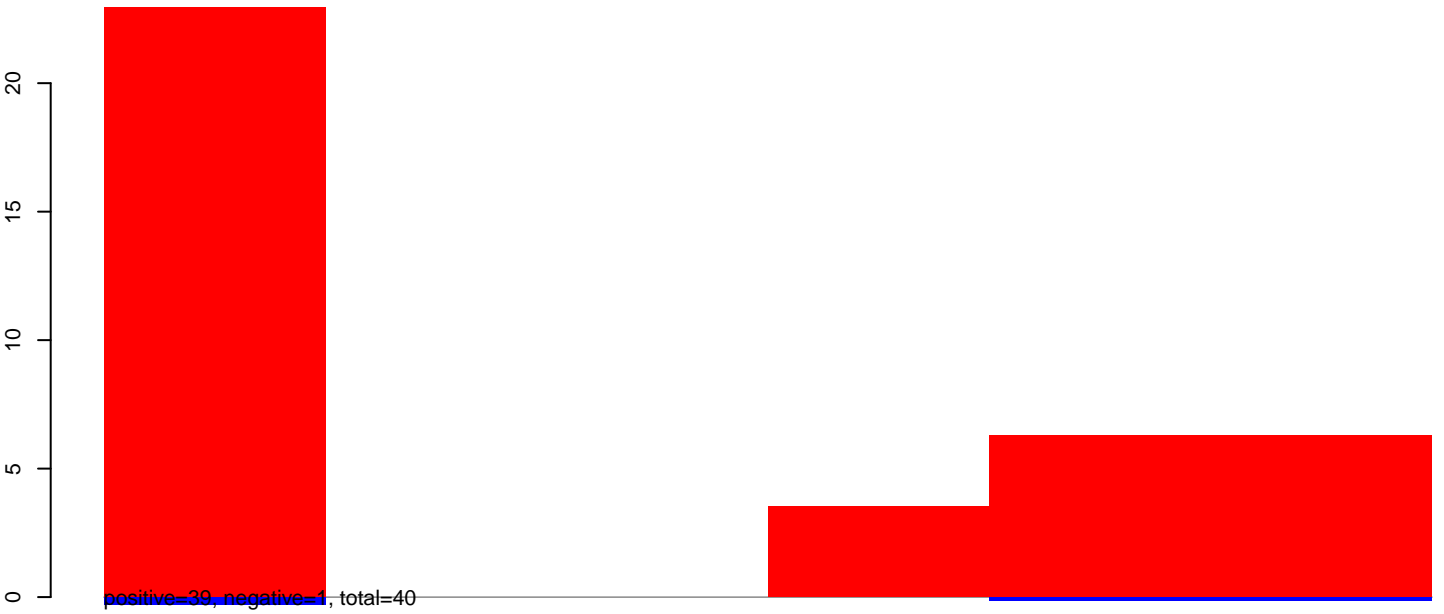


AeAlbo_C636_6dpi_SINV1.rep

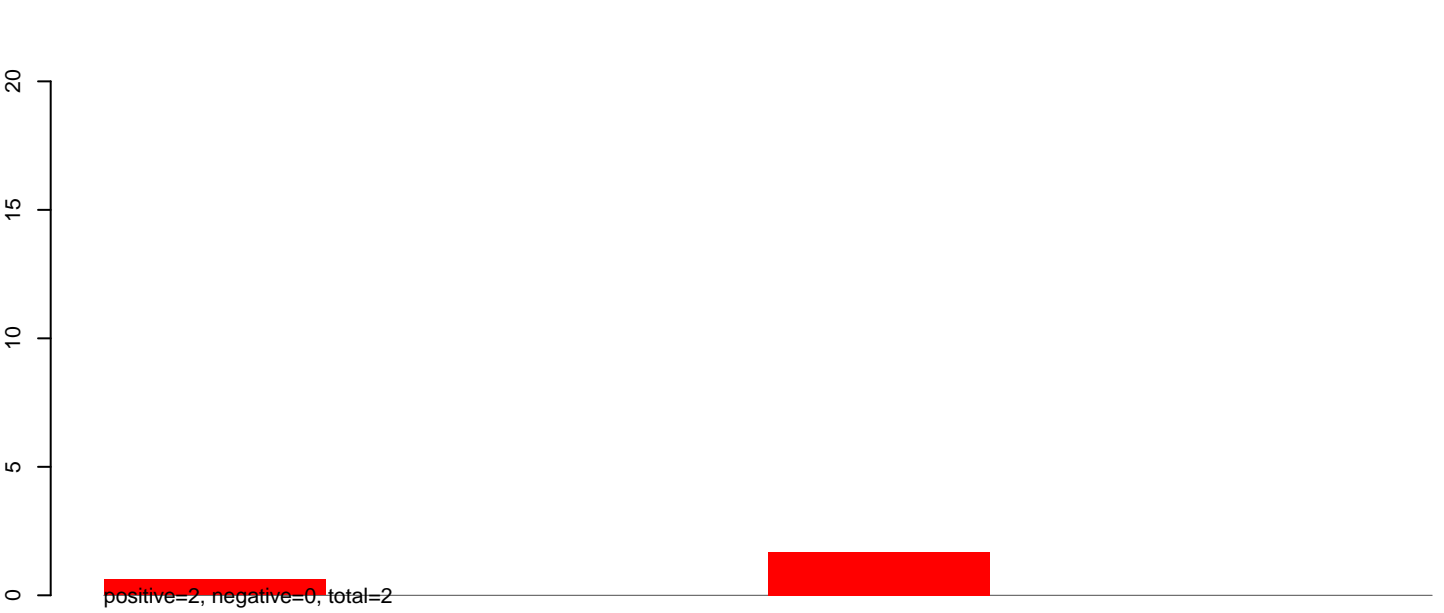


Window size=25, length=119, AAEL019278-RA-rRNA-3-290708090-290708208-1-gene-AAEL019278:1-119

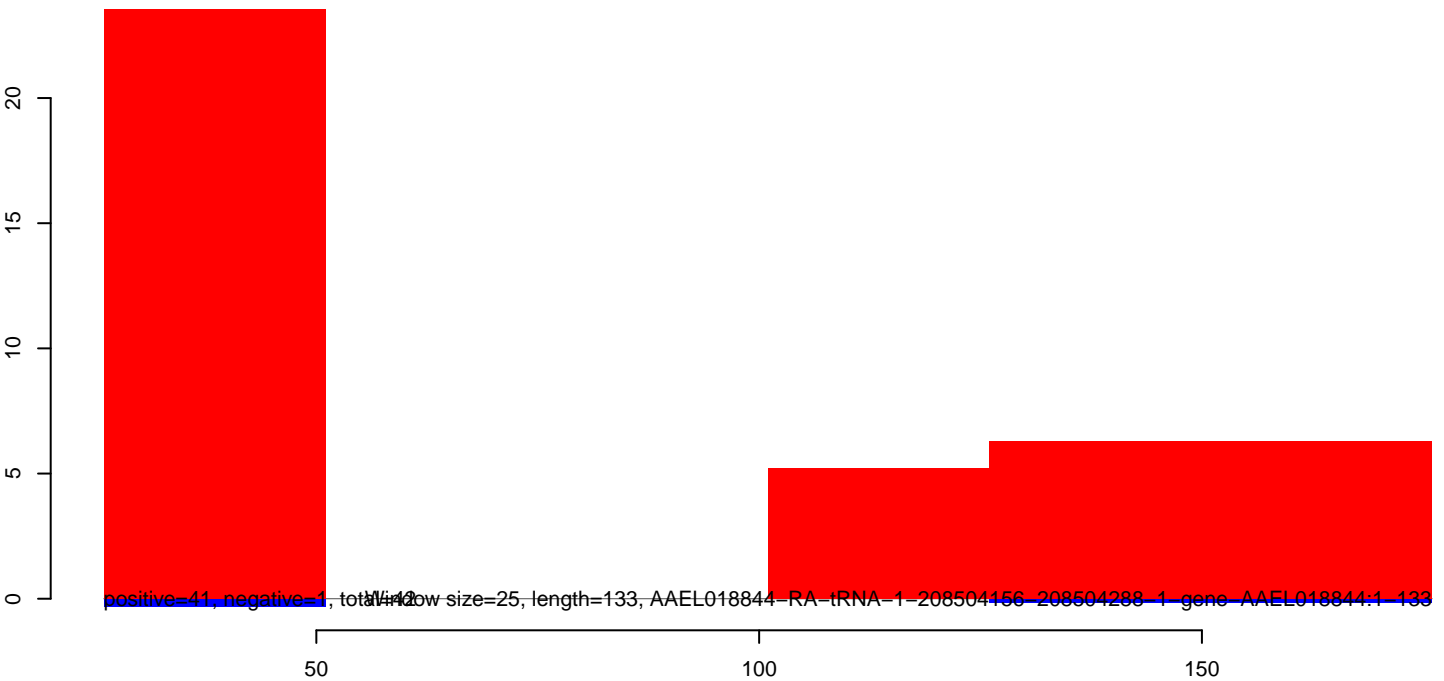
AeAlbo_C636_6dpi_SINV1.18_23.rep



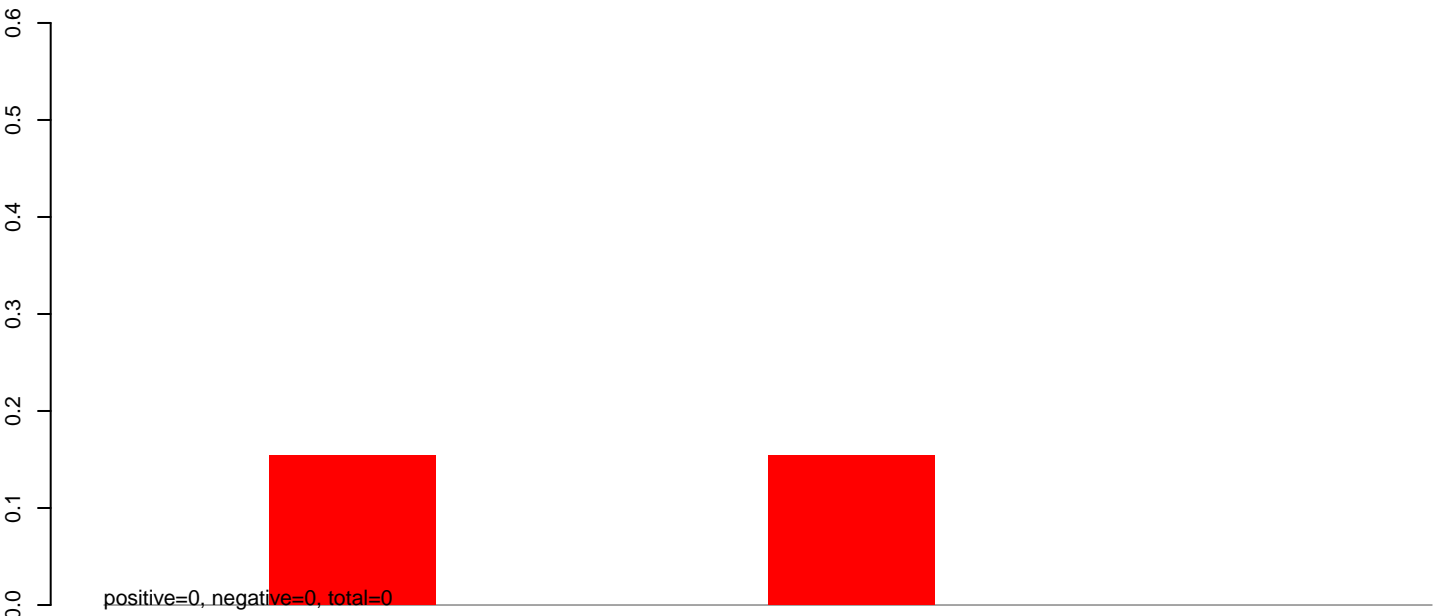
AeAlbo_C636_6dpi_SINV1.24_35.rep



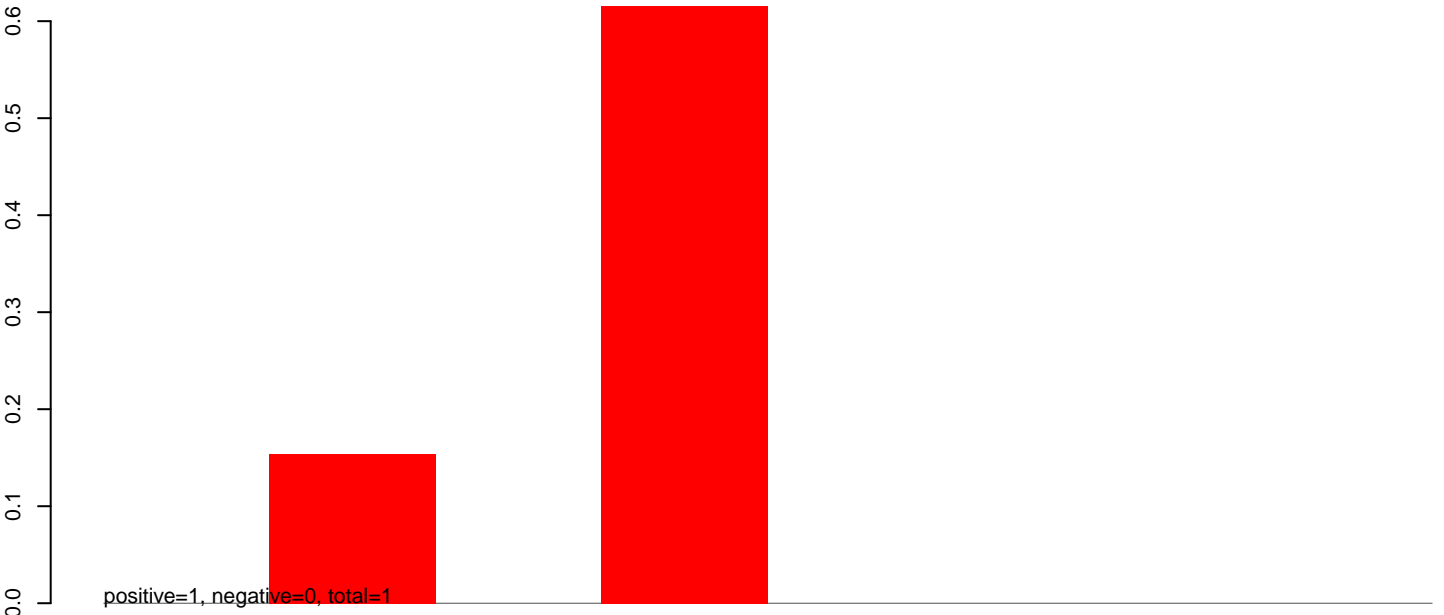
AeAlbo_C636_6dpi_SINV1.rep



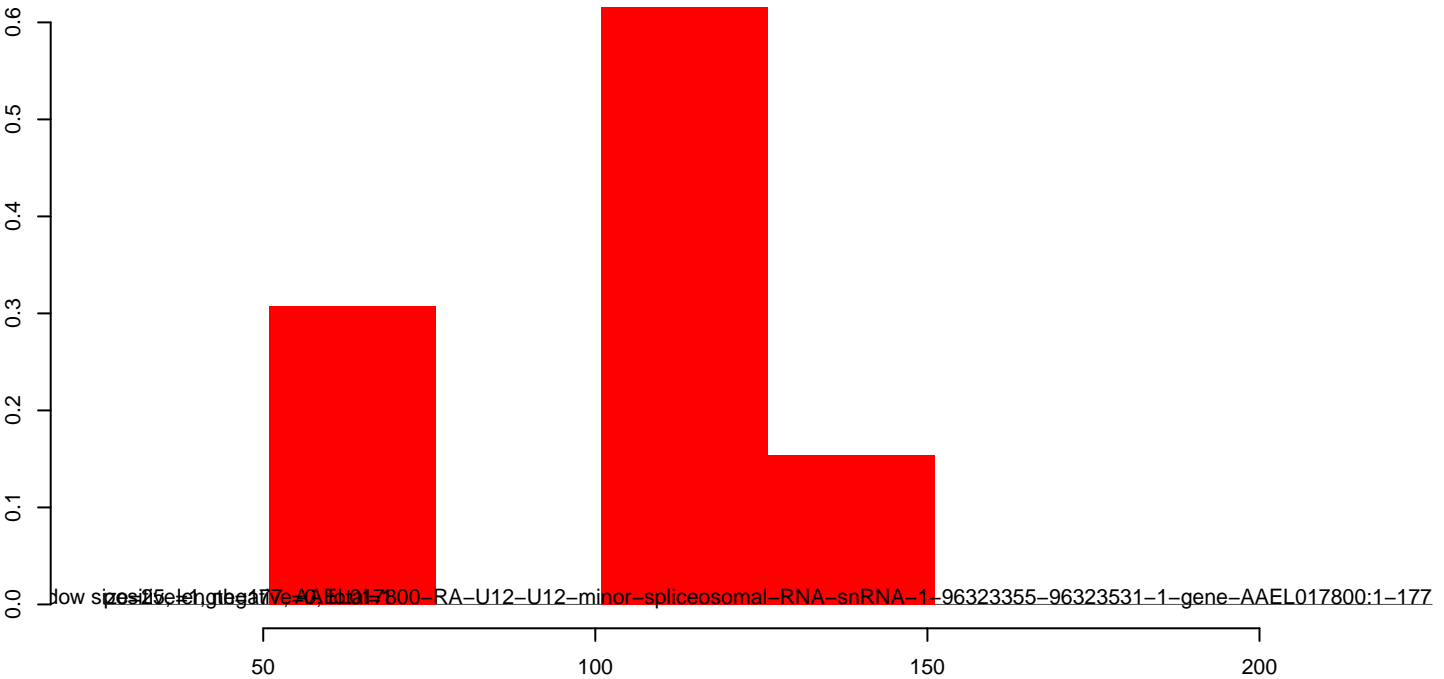
AeAlbo_C636_6dpi_SINV1.18_23.rep



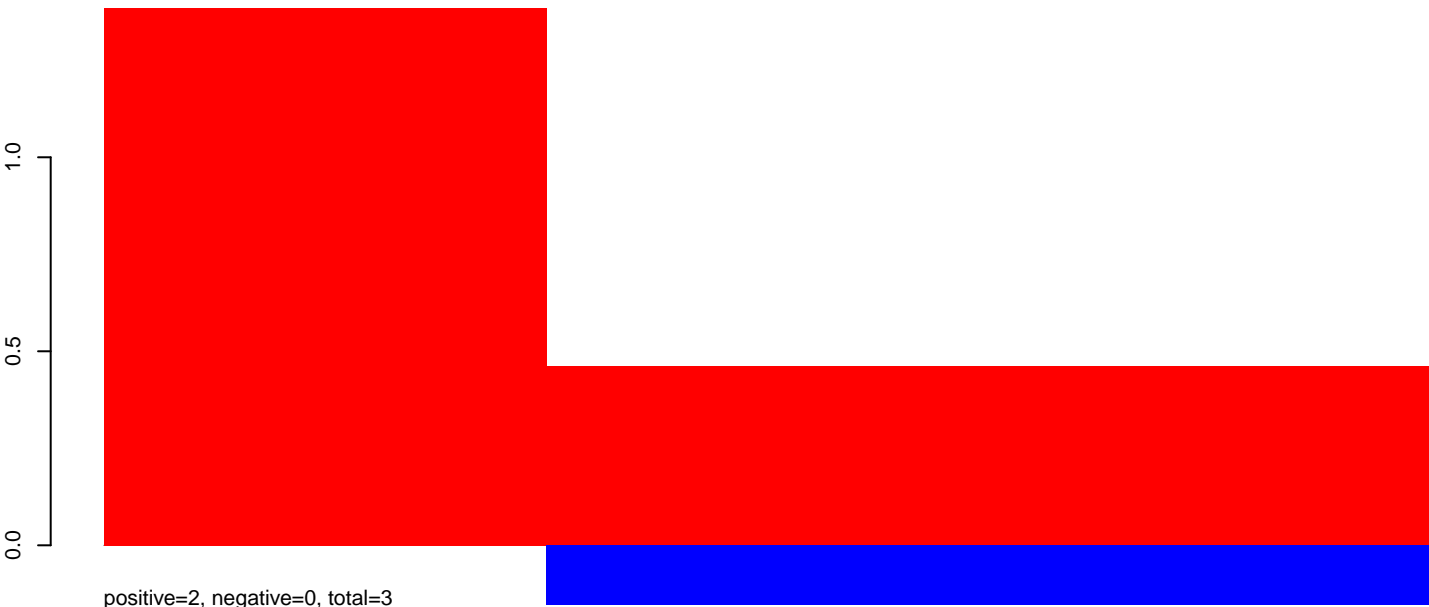
AeAlbo_C636_6dpi_SINV1.24_35.rep



AeAlbo_C636_6dpi_SINV1.rep

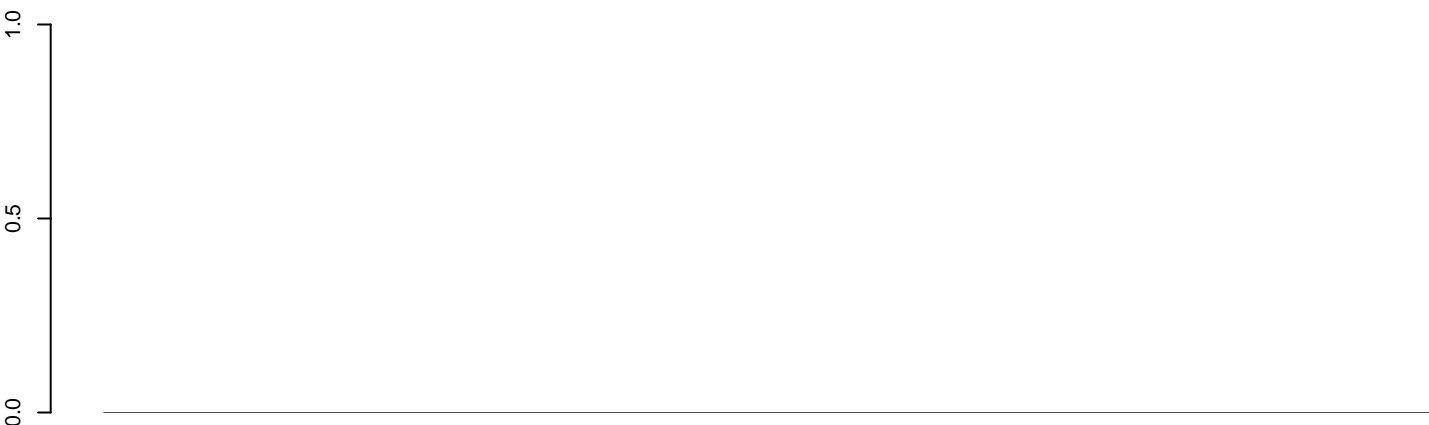


AeAlbo_C636_6dpi_SINV1.18_23.rep



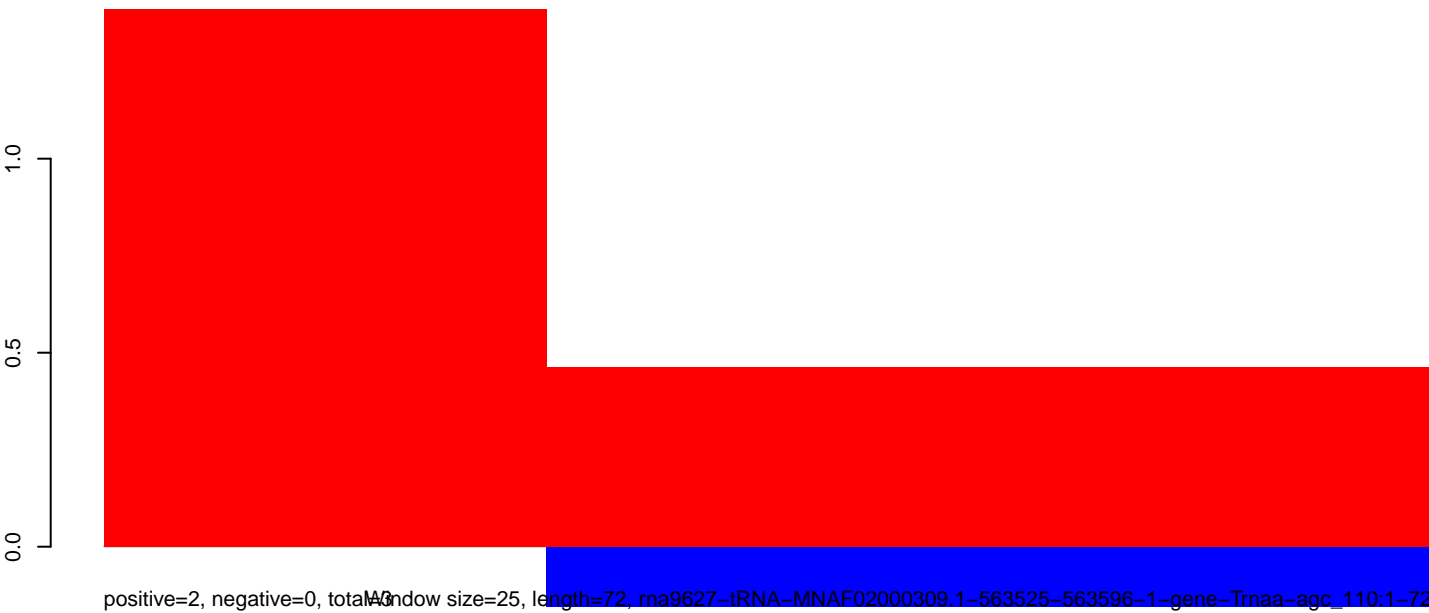
positive=2, negative=0, total=3

AeAlbo_C636_6dpi_SINV1.24_35.rep



positive=0, negative=0, total=0

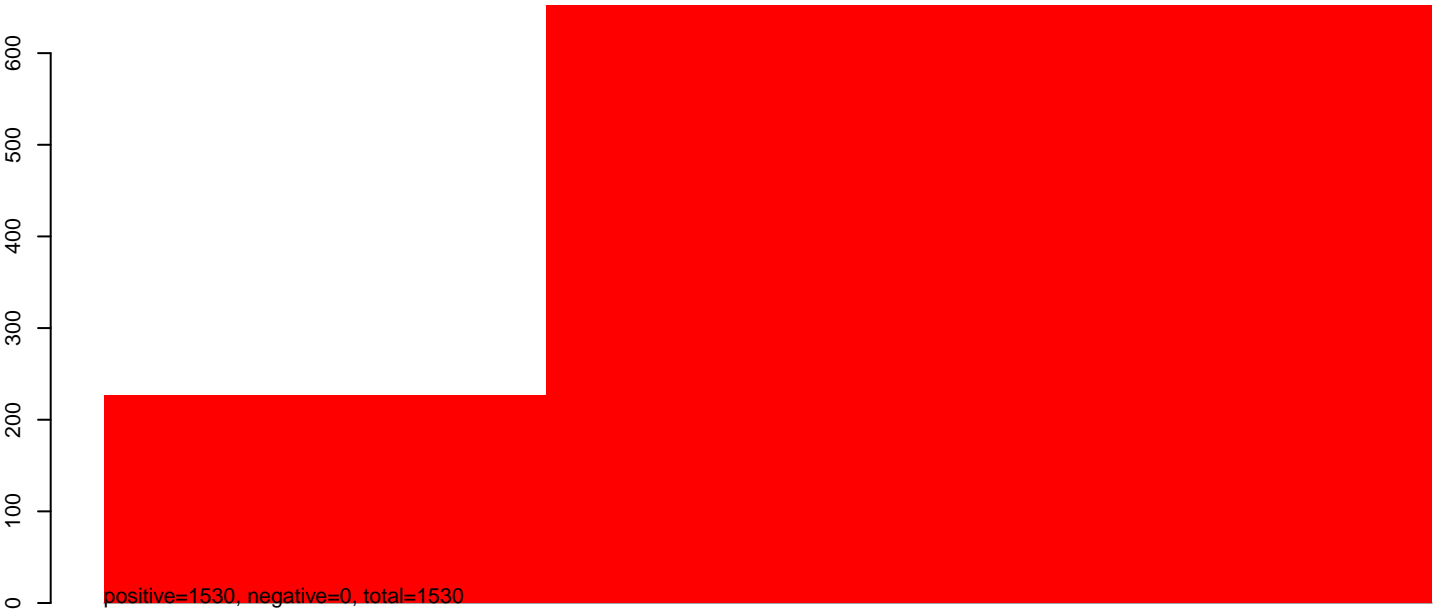
AeAlbo_C636_6dpi_SINV1.rep



positive=2, negative=0, total=72, window size=25, length=72, ma9627-tRNA-MNAF02000309.1-563525-563596-1-gene-Trnaa-agc_110:1-72

40 60 80 100

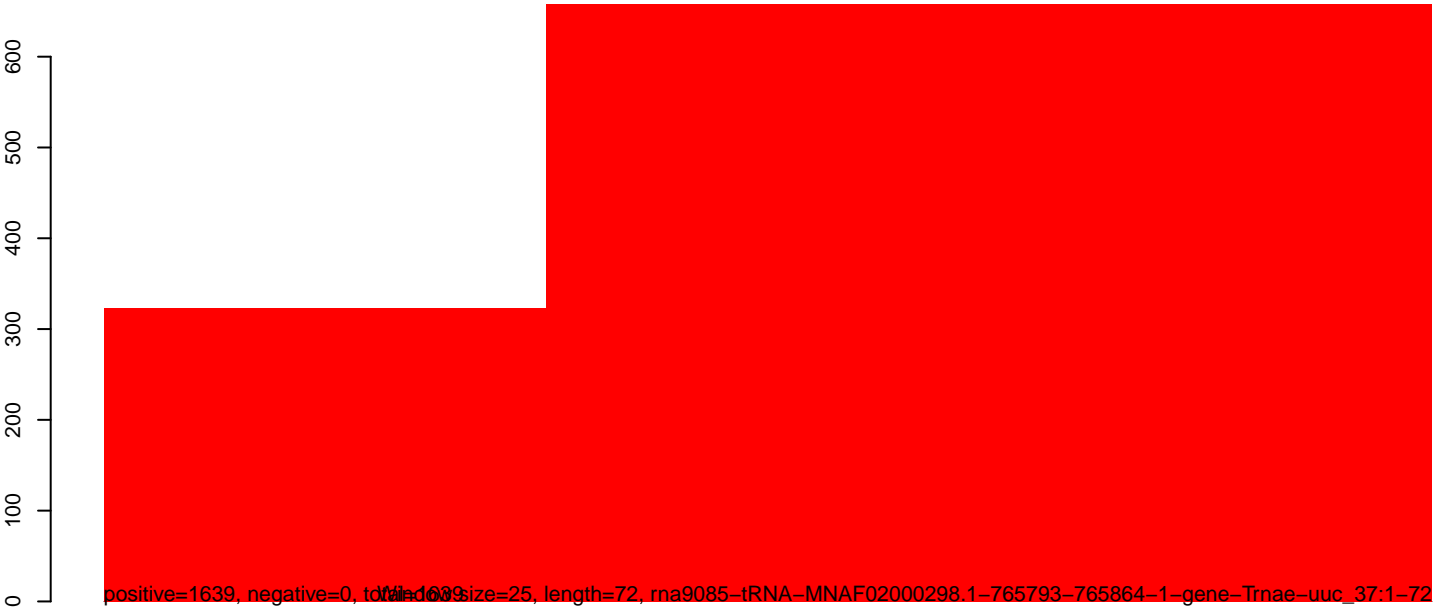
AeAlbo_C636_6dpi_SINV1.18_23.rep



AeAlbo_C636_6dpi_SINV1.24_35.rep



AeAlbo_C636_6dpi_SINV1.rep

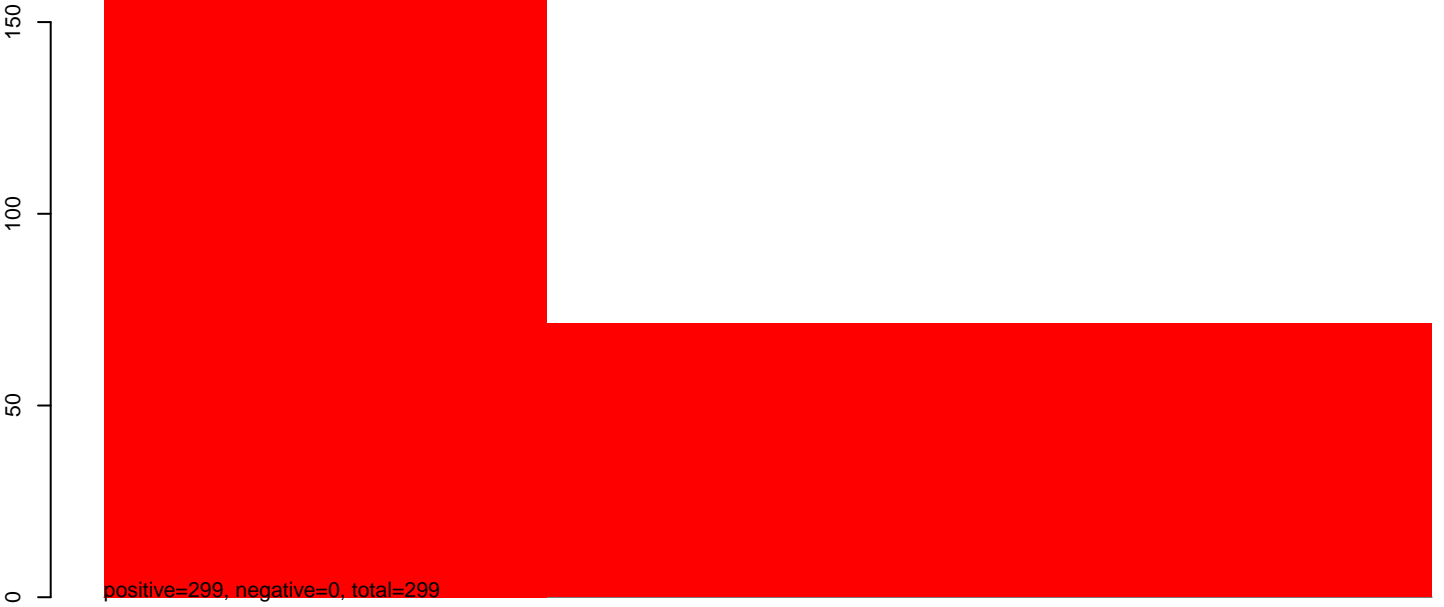


40 60 80 100

AeAlbo_C636_6dpi_SINV1.18_23.rep



AeAlbo_C636_6dpi_SINV1.24_35.rep

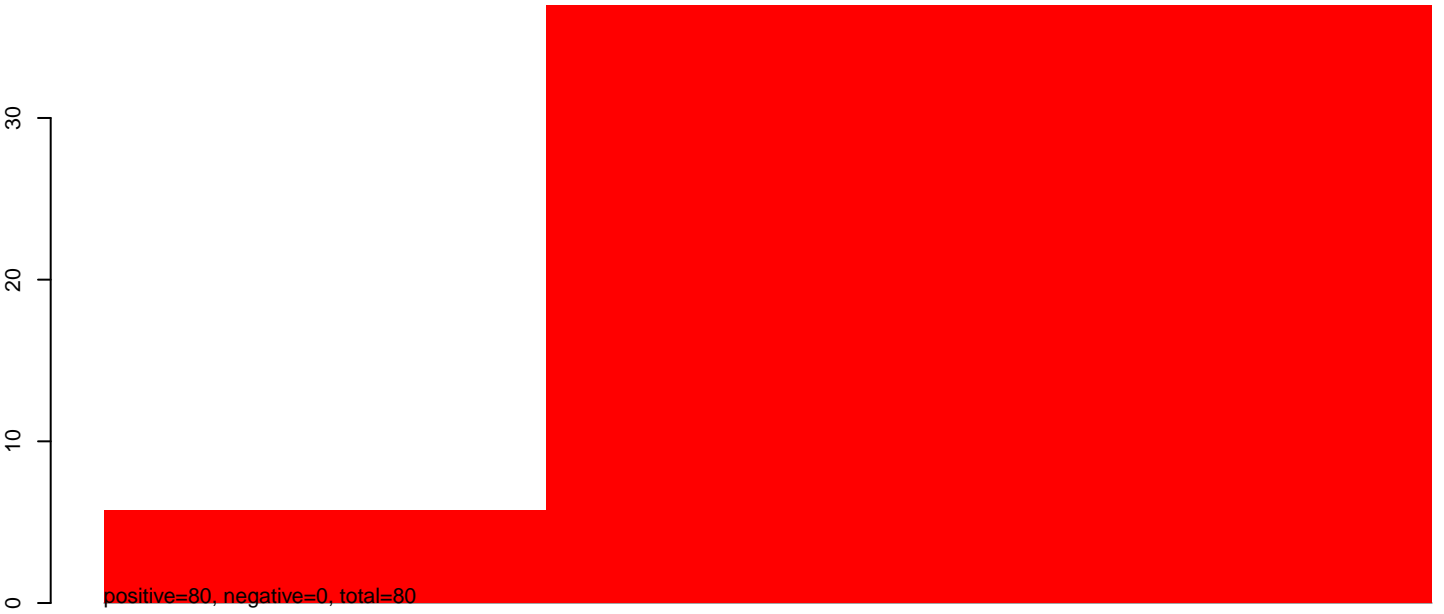


AeAlbo_C636_6dpi_SINV1.rep



40 60 80 100

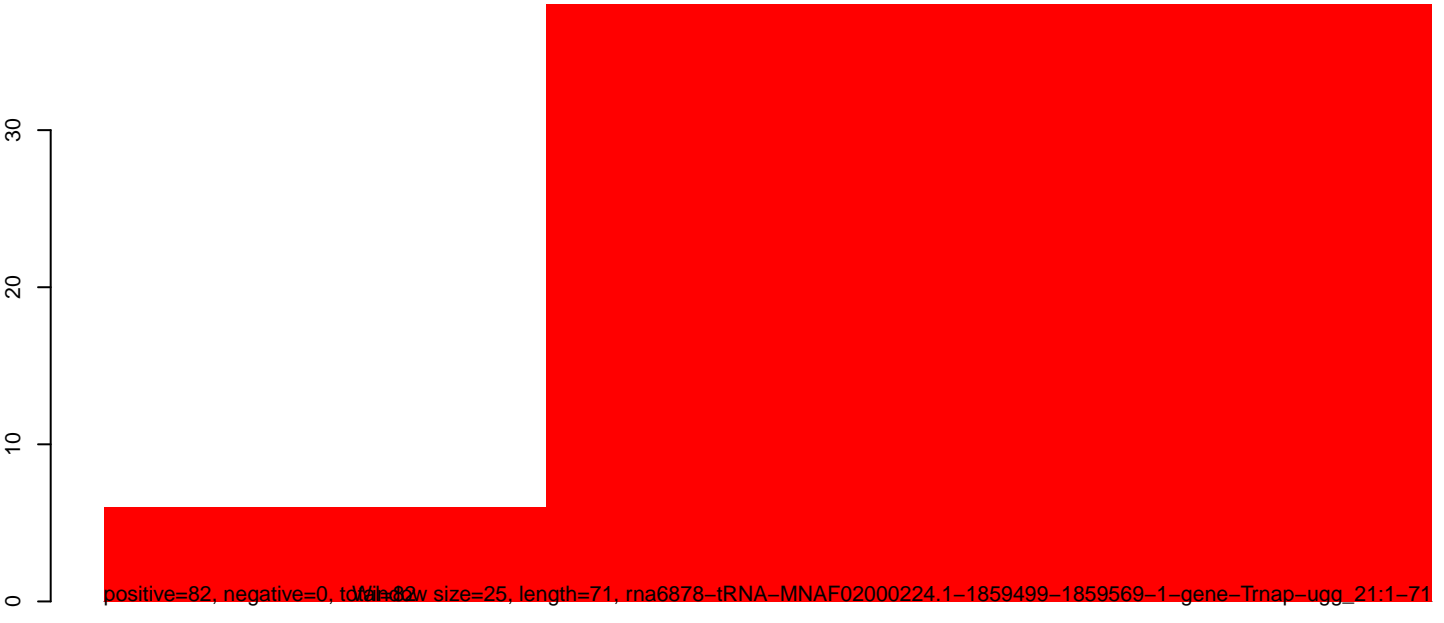
AeAlbo_C636_6dpi_SINV1.18_23.rep



AeAlbo_C636_6dpi_SINV1.24_35.rep



AeAlbo_C636_6dpi_SINV1.rep



AeAlbo_C636_6dpi_SINV1.18_23.rep



AeAlbo_C636_6dpi_SINV1.24_35.rep

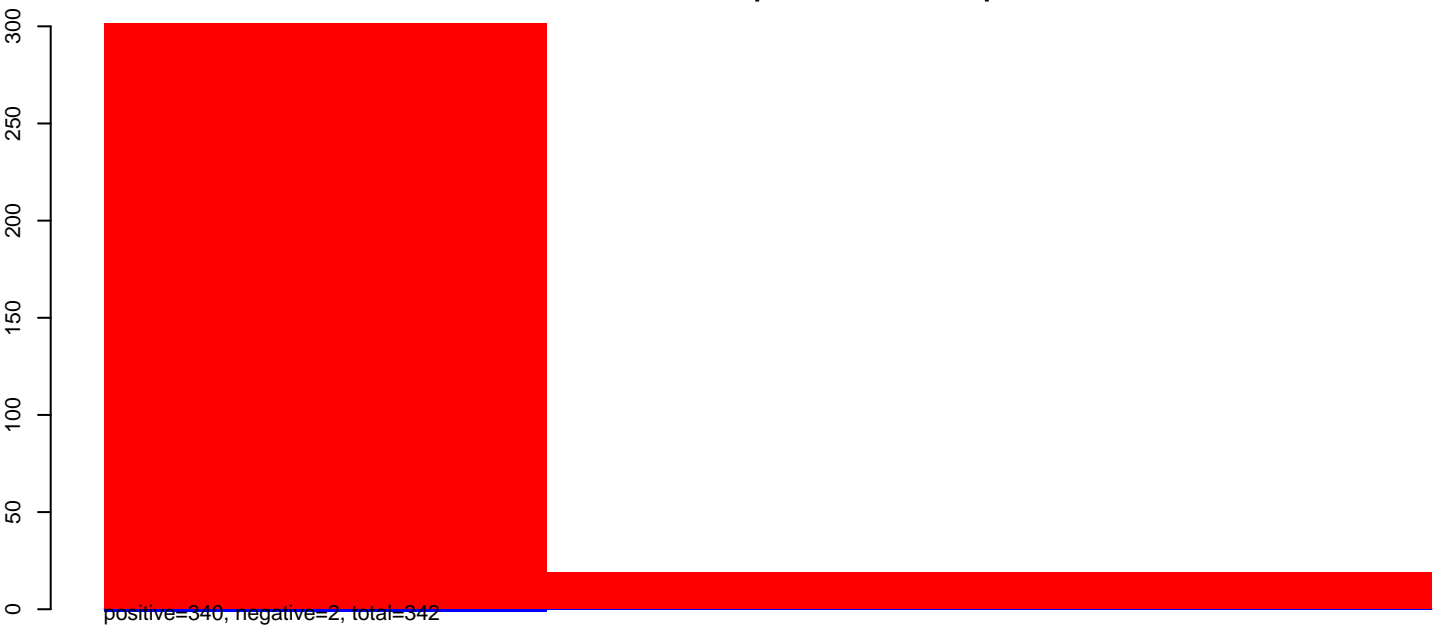


AeAlbo_C636_6dpi_SINV1.rep

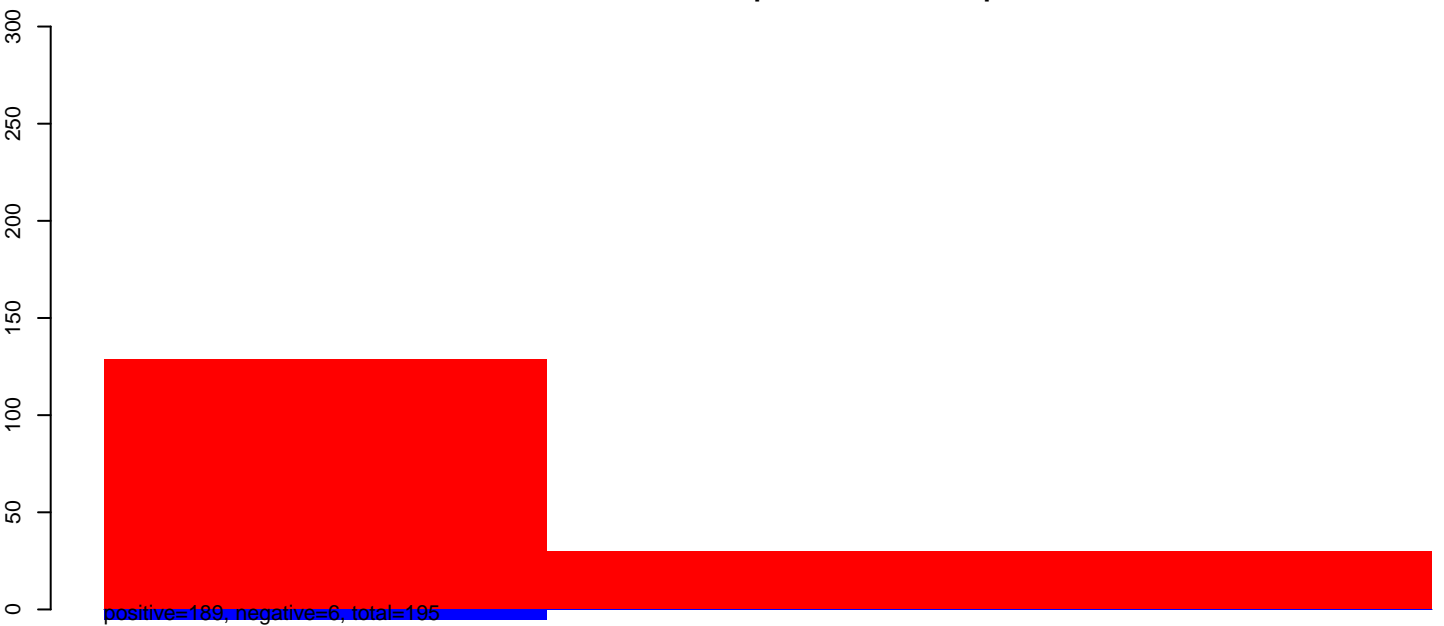


40 60 80 100

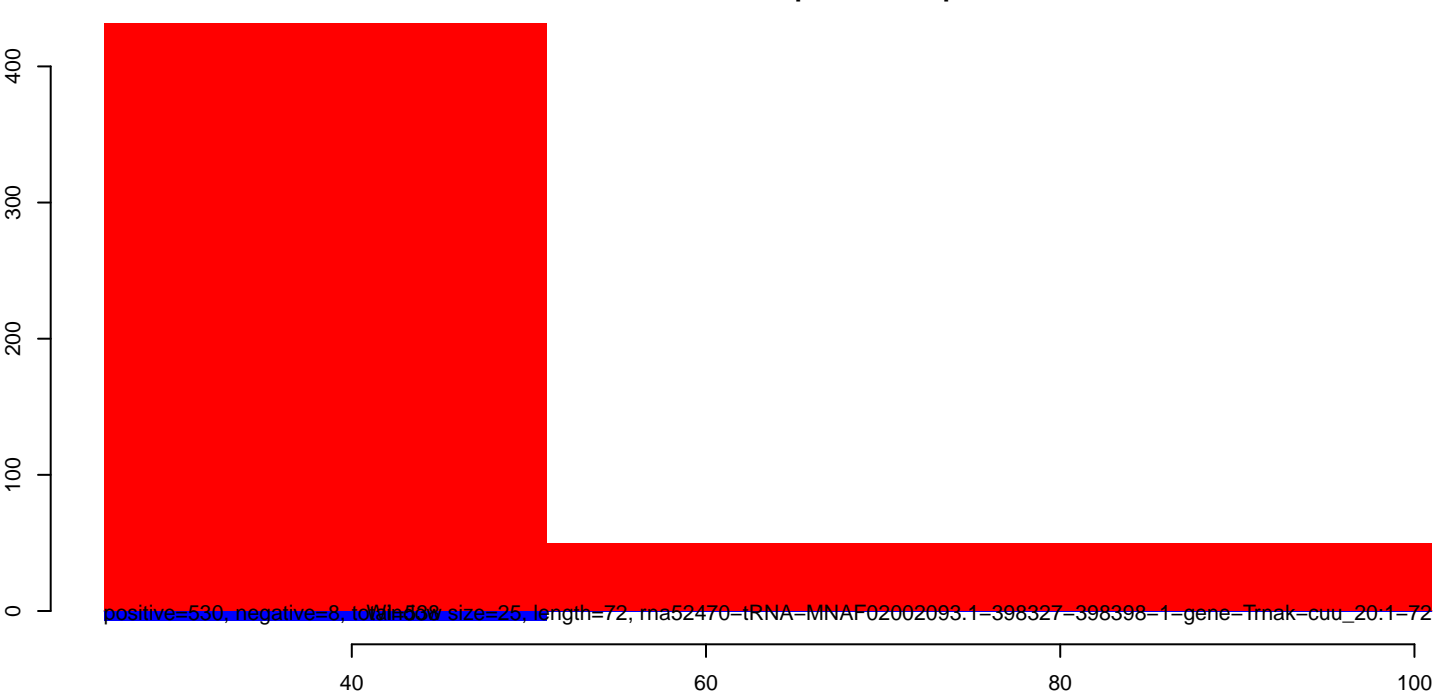
AeAlbo_C636_6dpi_SINV1.18_23.rep



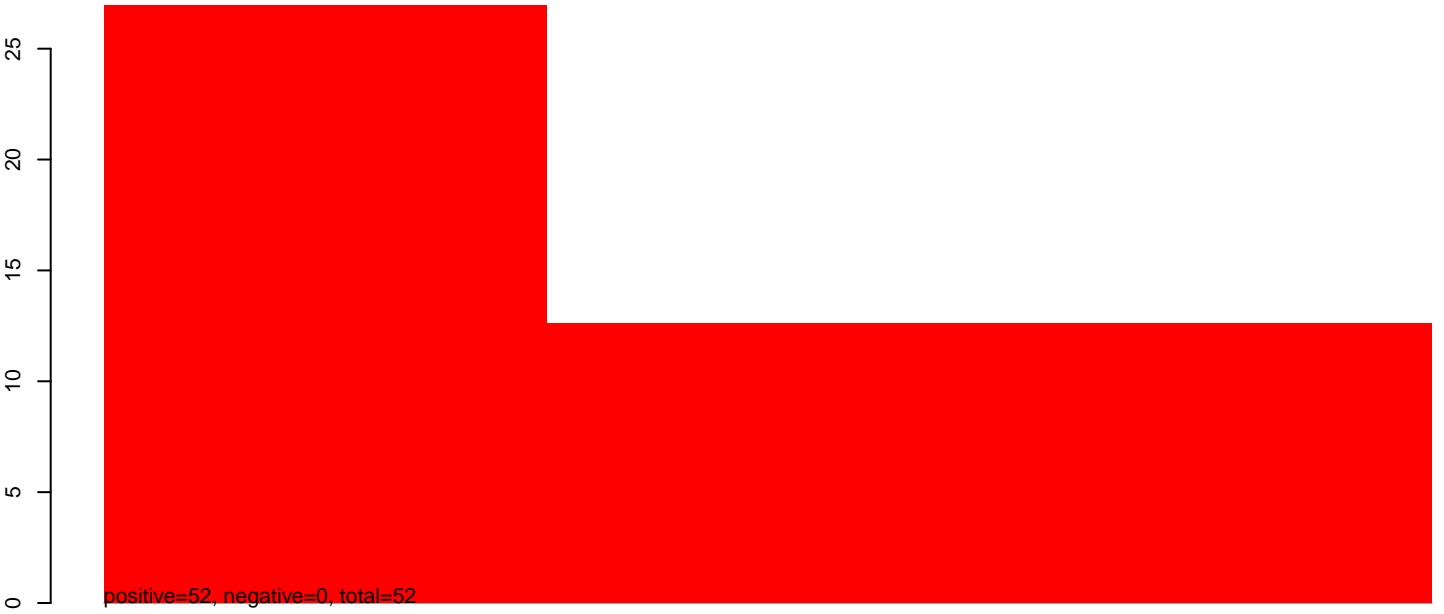
AeAlbo_C636_6dpi_SINV1.24_35.rep



AeAlbo_C636_6dpi_SINV1.rep



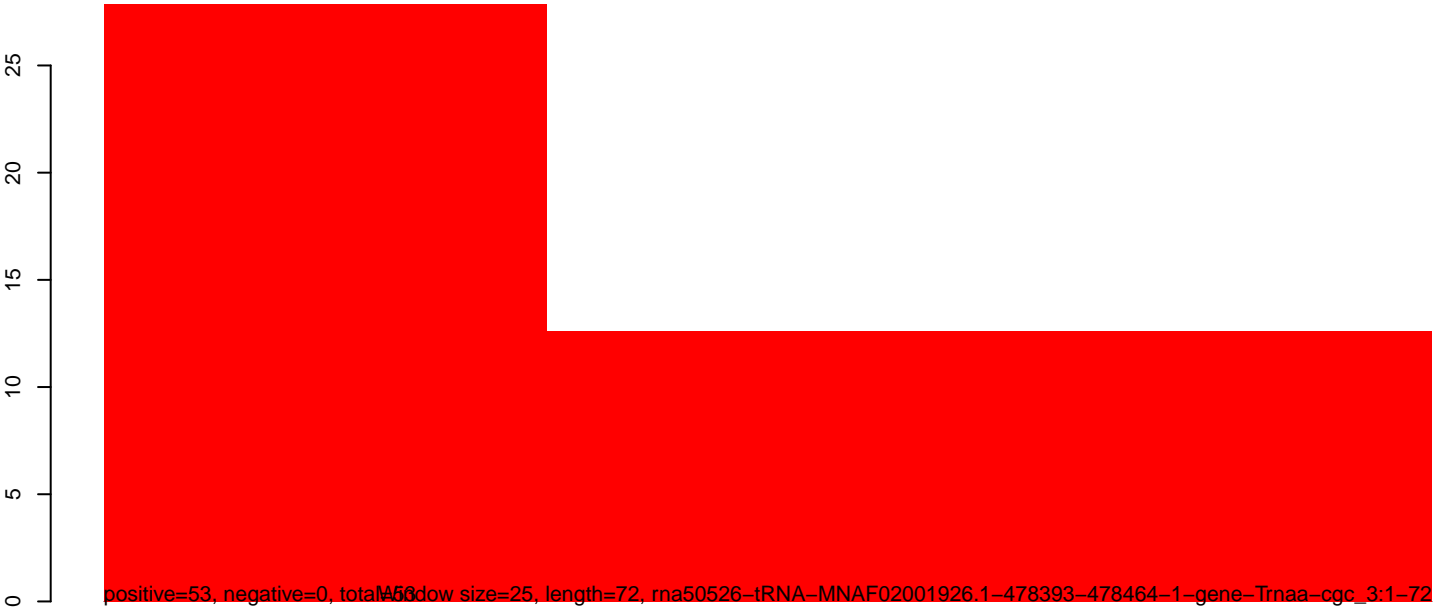
AeAlbo_C636_6dpi_SINV1.18_23.rep



AeAlbo_C636_6dpi_SINV1.24_35.rep

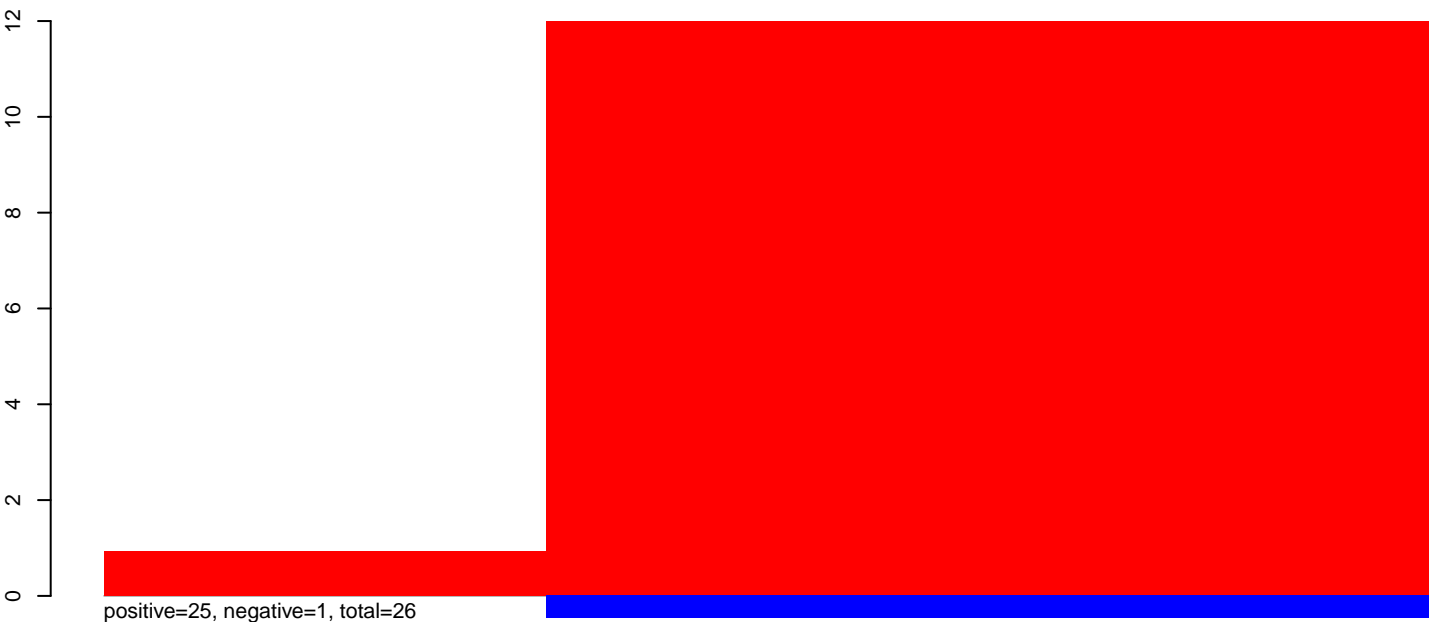


AeAlbo_C636_6dpi_SINV1.rep

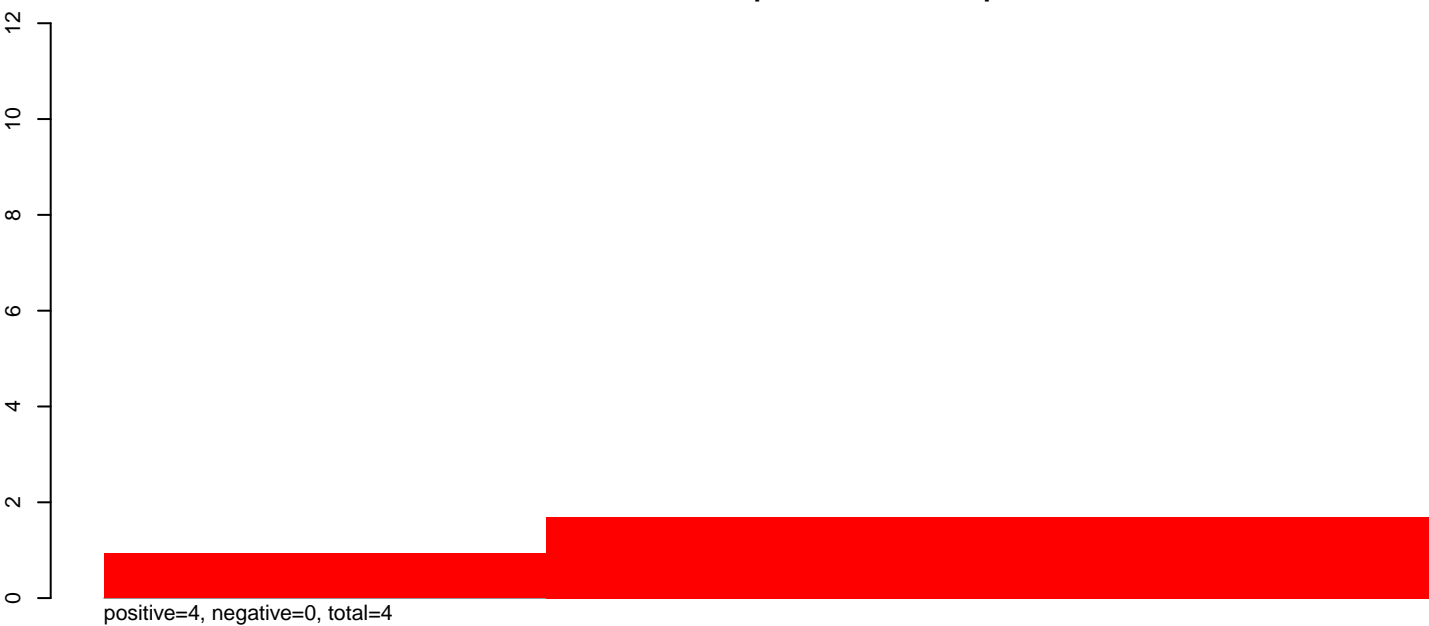


Window size=25, length=72, rna50526-tRNA-MNAF02001926.1-478393-478464-1-gene-Trnaa-cgc_3:1-72

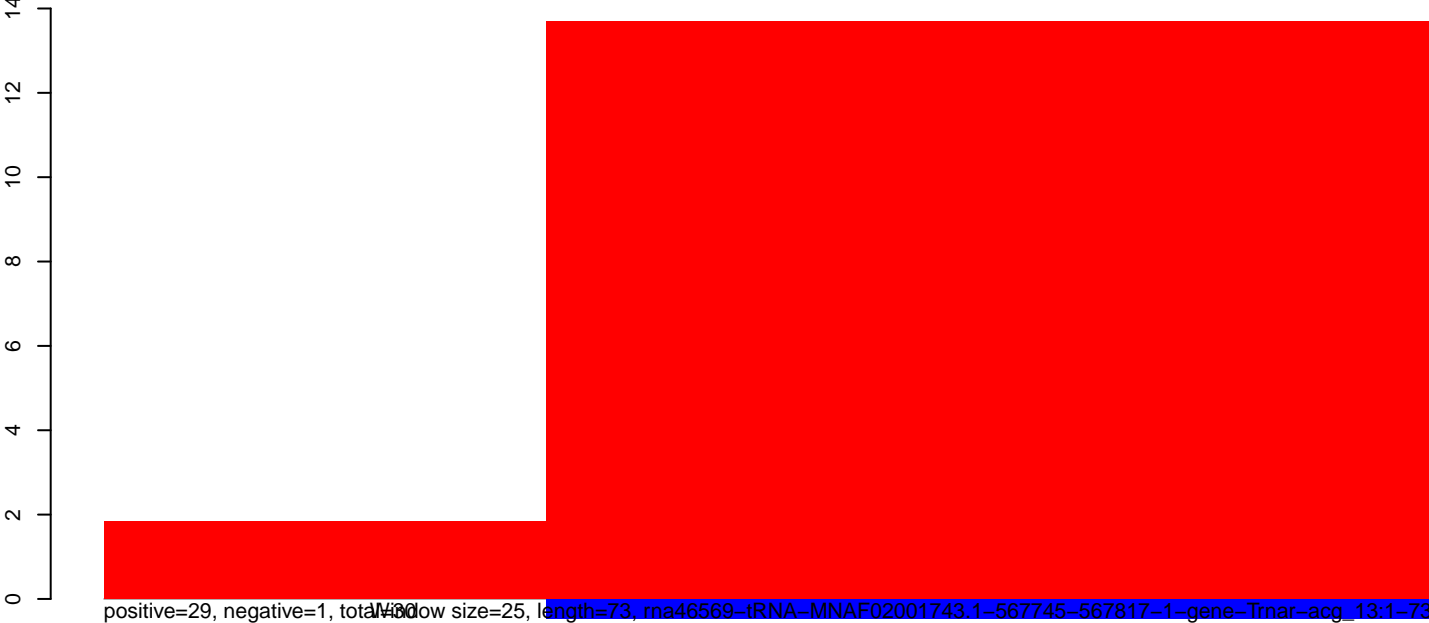
AeAlbo_C636_6dpi_SINV1.18_23.rep



AeAlbo_C636_6dpi_SINV1.24_35.rep



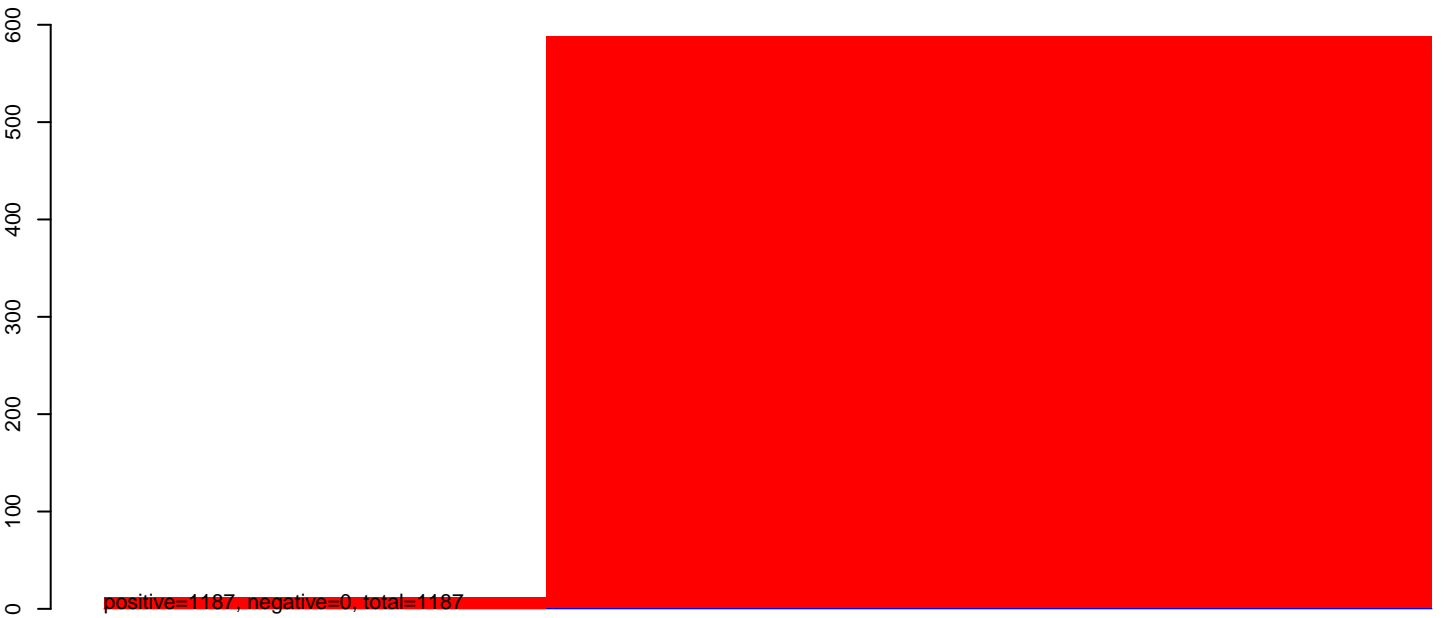
AeAlbo_C636_6dpi_SINV1.rep



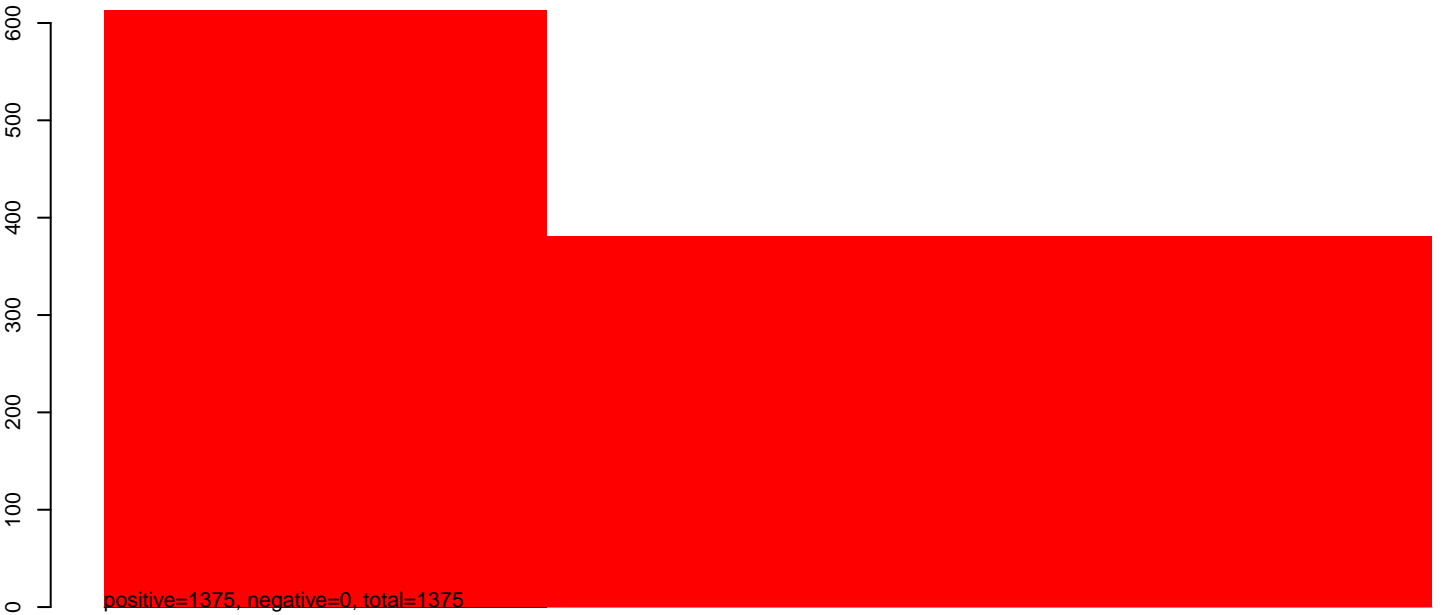
low size=25, length=73, ma46569-IRNA-MNAF02001743.1-567745-567817-1-gene-Trna-acg_13:1-73

40 60 80 100

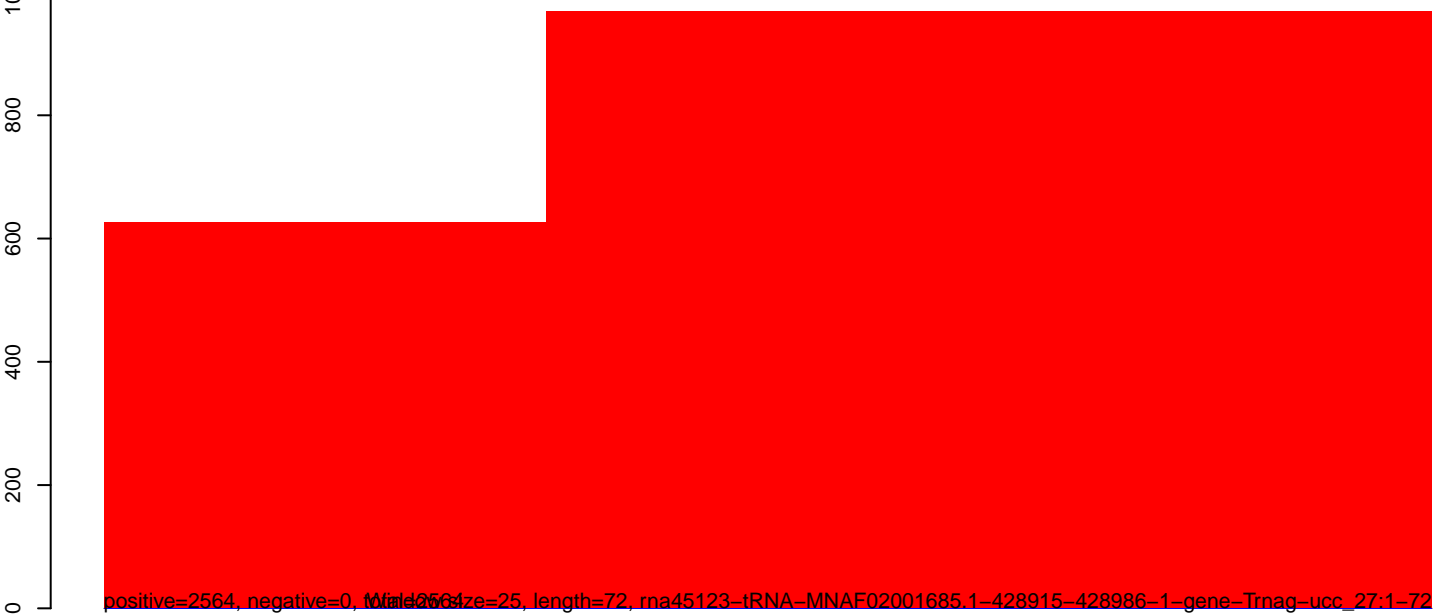
AeAlbo_C636_6dpi_SINV1.18_23.rep



AeAlbo_C636_6dpi_SINV1.24_35.rep

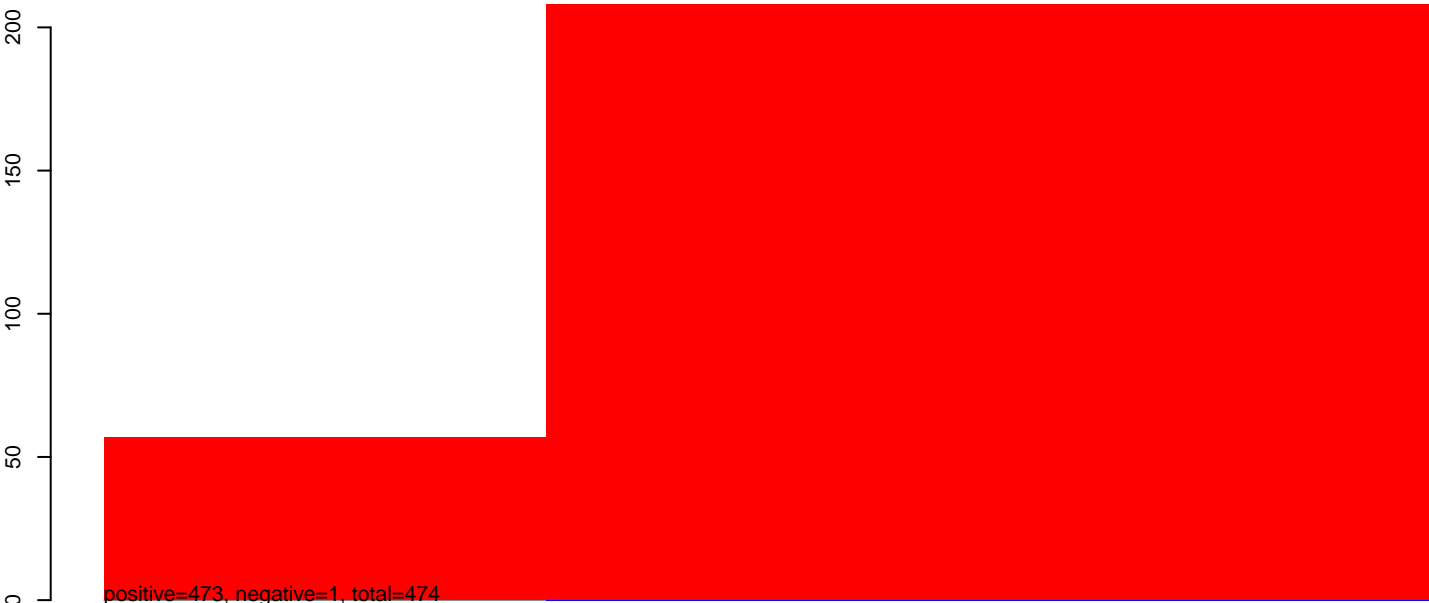


AeAlbo_C636_6dpi_SINV1.rep



40 60 80 100

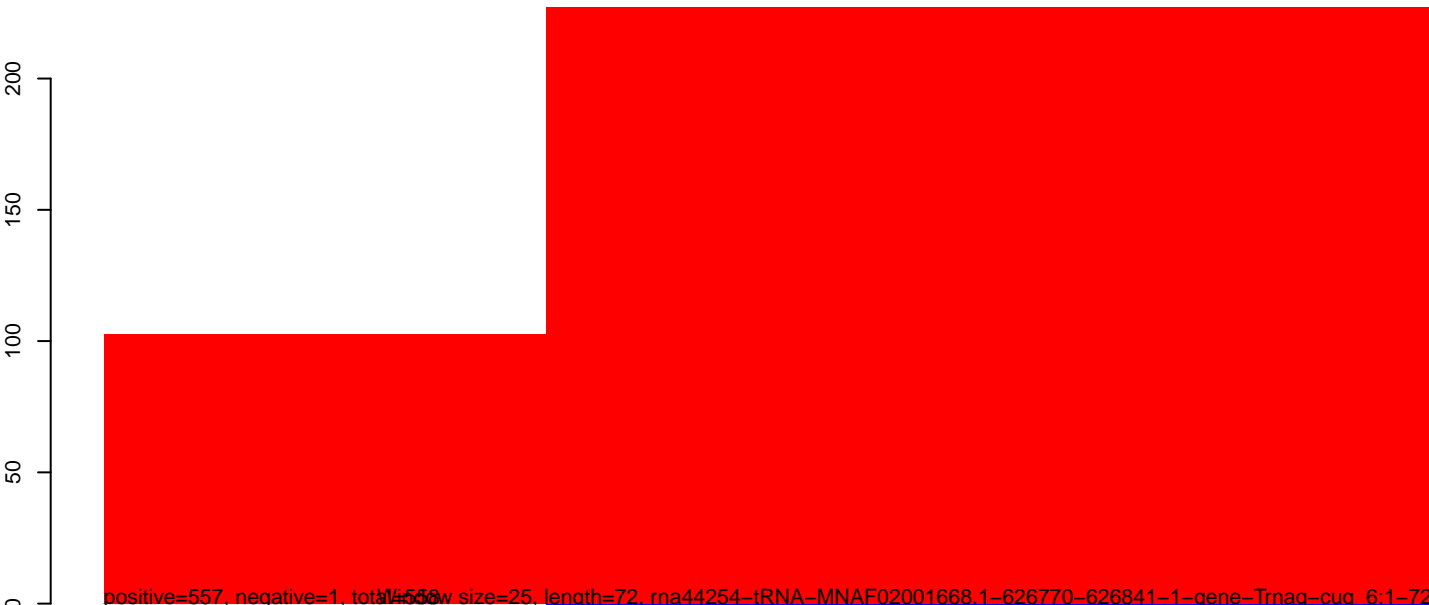
AeAlbo_C636_6dpi_SINV1.18_23.rep



AeAlbo_C636_6dpi_SINV1.24_35.rep



AeAlbo_C636_6dpi_SINV1.rep



40 60 80 100
M=56, window size=25, length=72, rna44254-tRNA-MNAF02001668.1-626770-626841-1-gene-Trnaq-cug_6:1-72

AeAlbo_C636_6dpi_SINV1.18_23.rep



AeAlbo_C636_6dpi_SINV1.24_35.rep



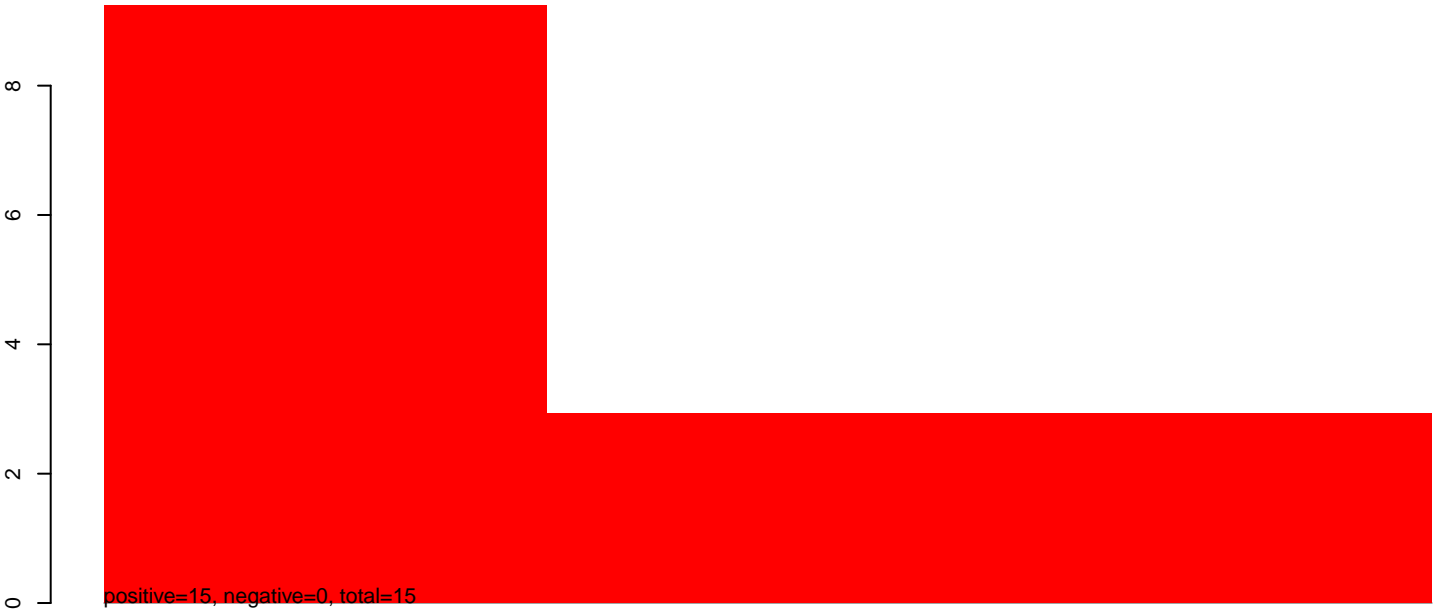
AeAlbo_C636_6dpi_SINV1.rep



Window size=25, length=72, rna44252-tRNA-MNAF02001668.1-626031-626102-1-gene-Trna-cca_13:1-72

40 60 80 100

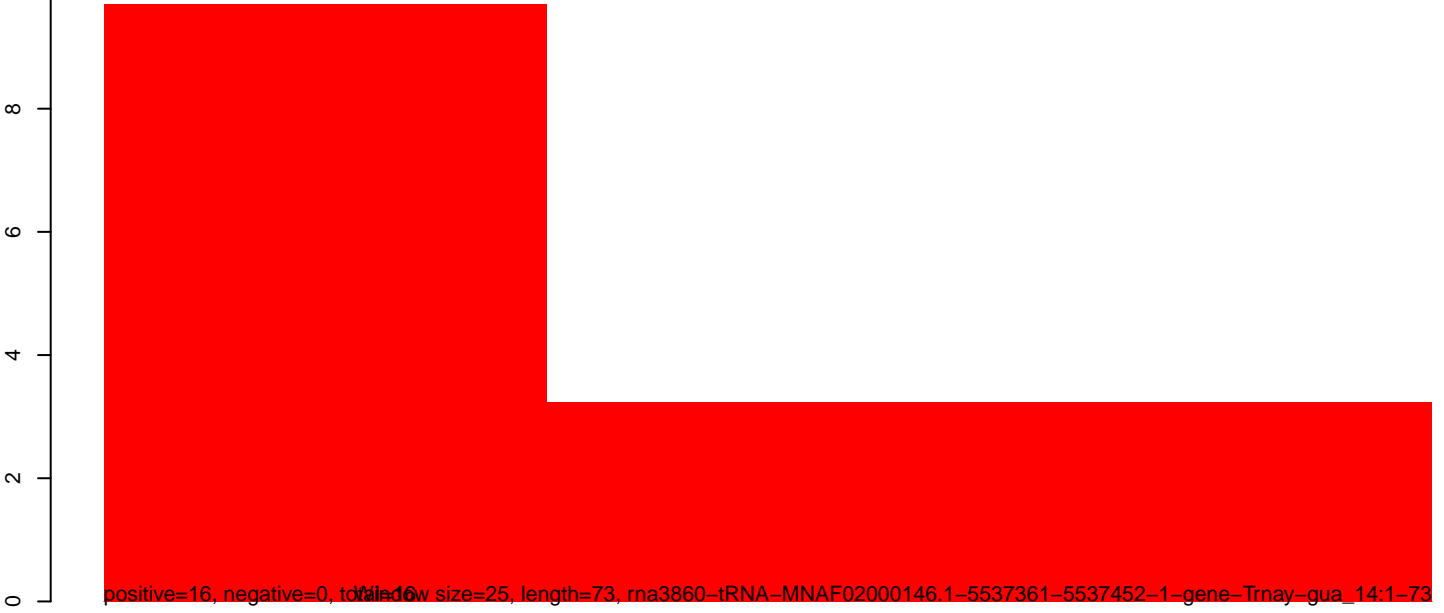
AeAlbo_C636_6dpi_SINV1.18_23.rep



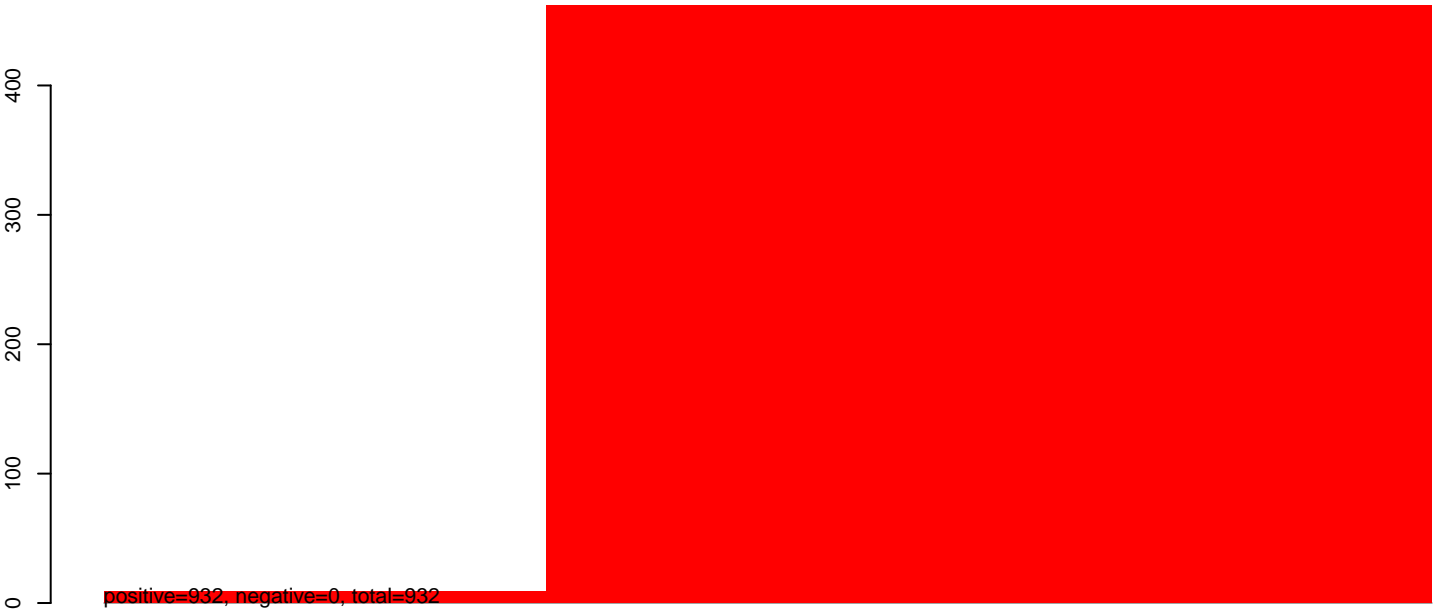
AeAlbo_C636_6dpi_SINV1.24_35.rep



AeAlbo_C636_6dpi_SINV1.rep



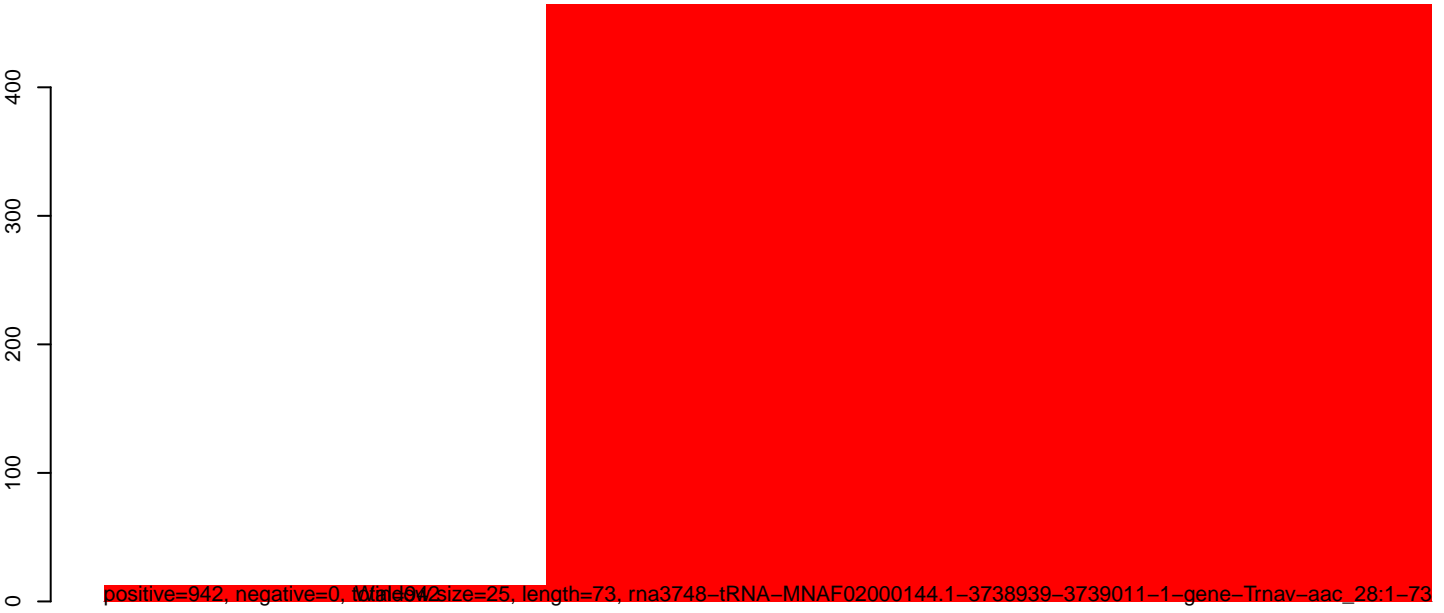
AeAlbo_C636_6dpi_SINV1.18_23.rep



AeAlbo_C636_6dpi_SINV1.24_35.rep

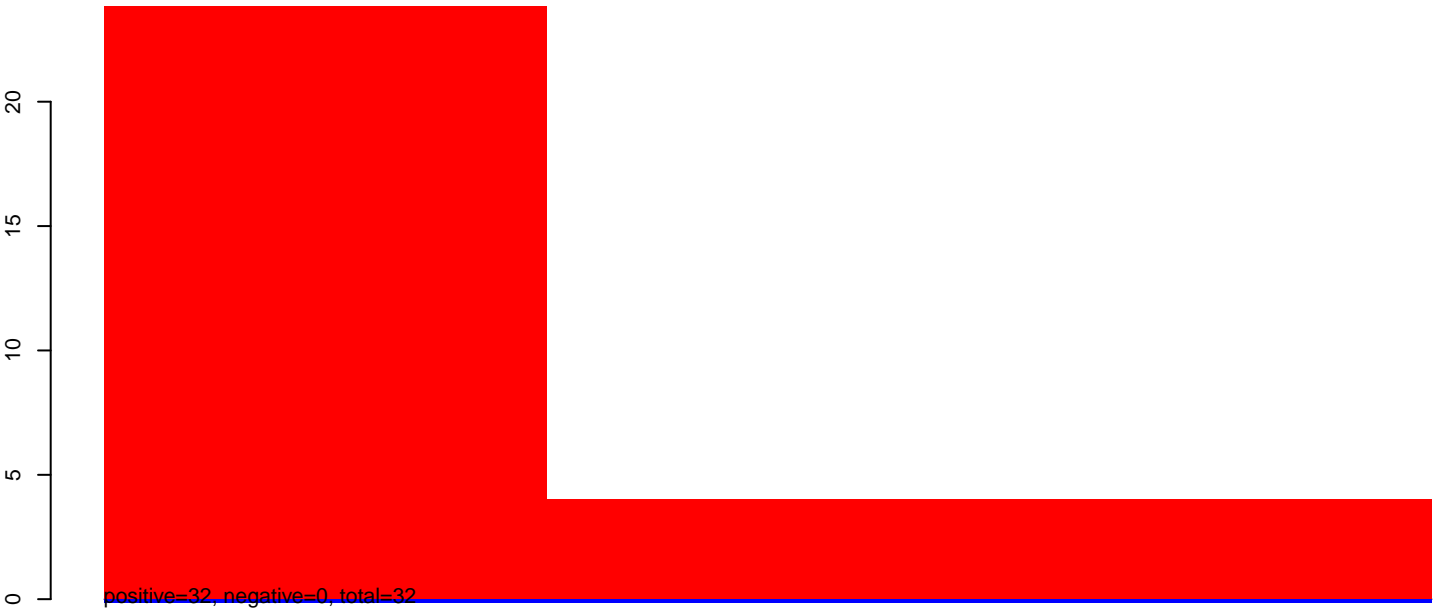


AeAlbo_C636_6dpi_SINV1.rep



40 60 80 100

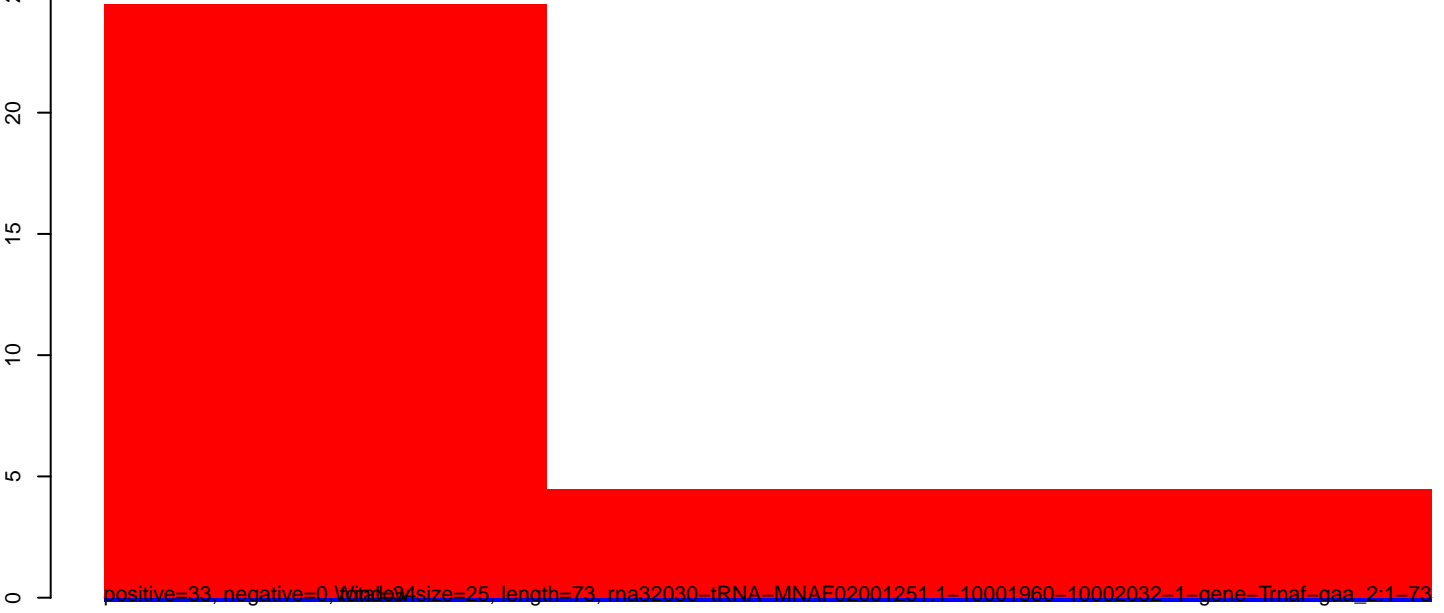
AeAlbo_C636_6dpi_SINV1.18_23.rep



AeAlbo_C636_6dpi_SINV1.24_35.rep



AeAlbo_C636_6dpi_SINV1.rep

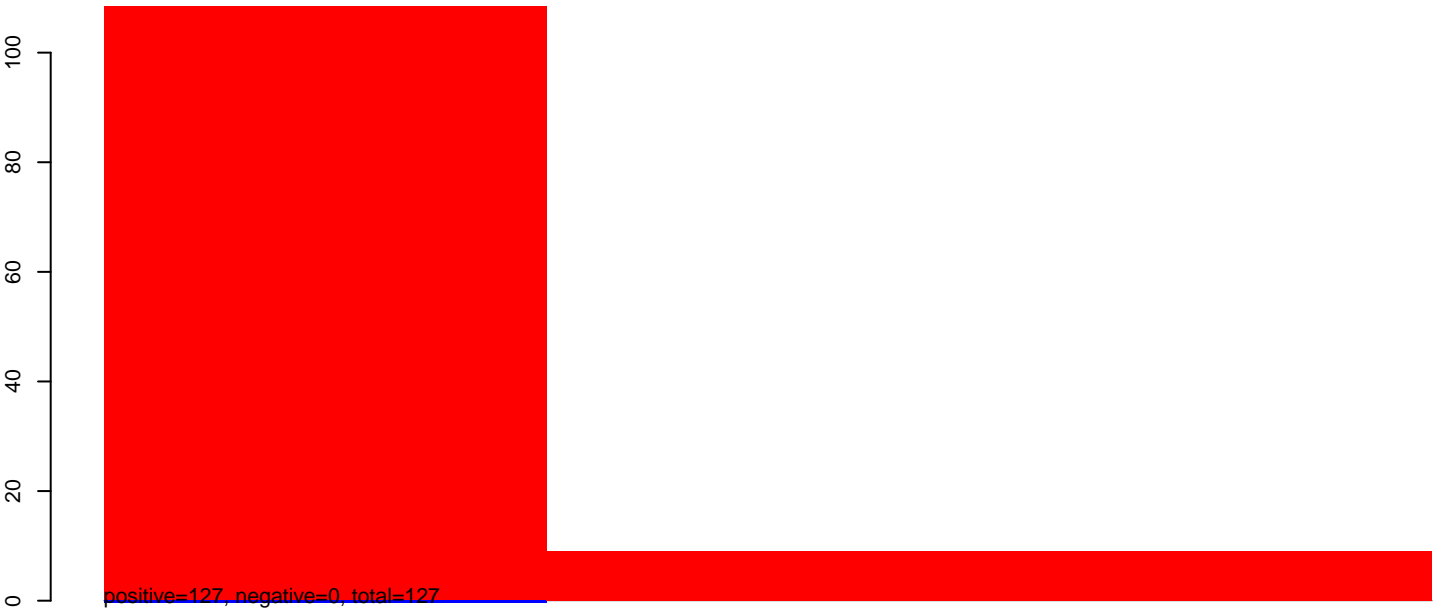


40 60 80 100

AeAlbo_C636_6dpi_SINV1.18_23.rep



AeAlbo_C636_6dpi_SINV1.24_35.rep



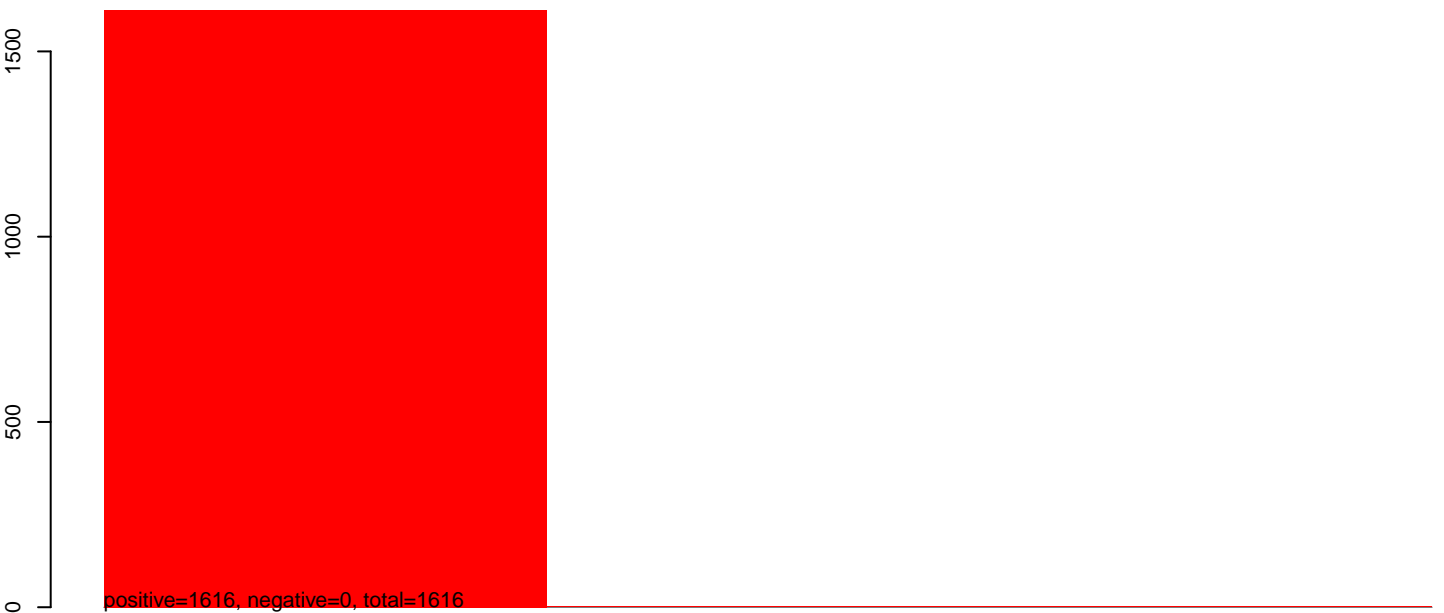
AeAlbo_C636_6dpi_SINV1.rep



AeAlbo_C636_6dpi_SINV1.18_23.rep



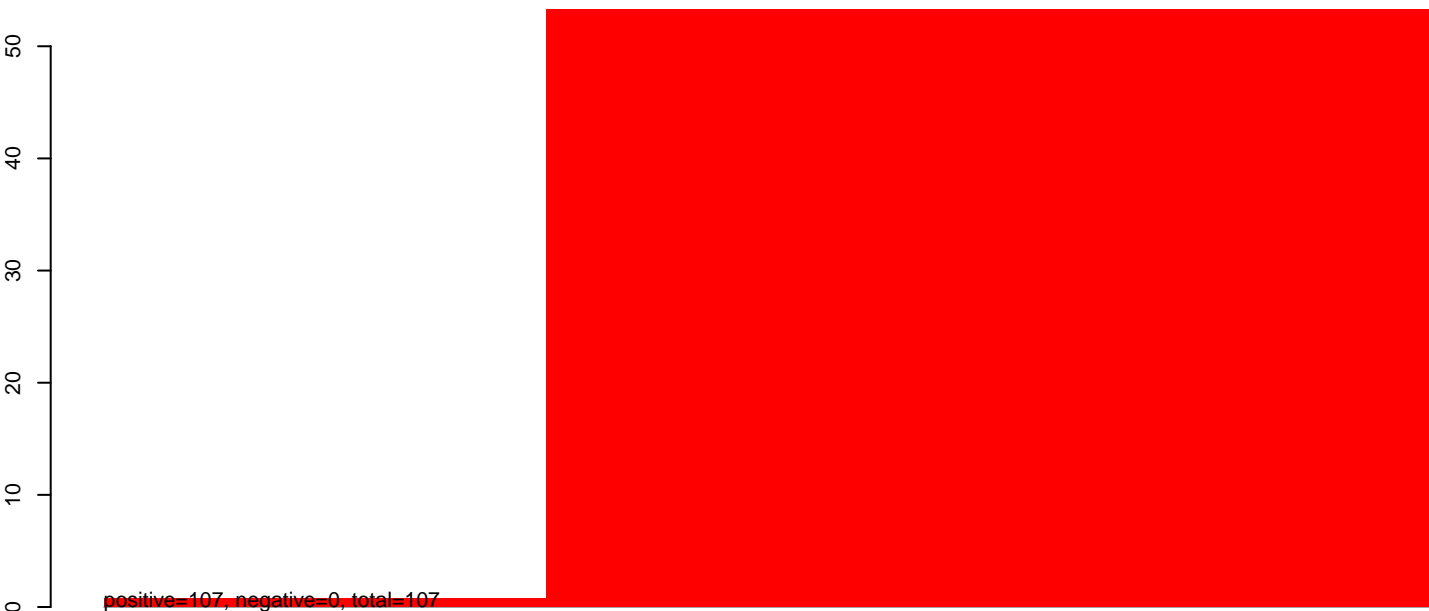
AeAlbo_C636_6dpi_SINV1.24_35.rep



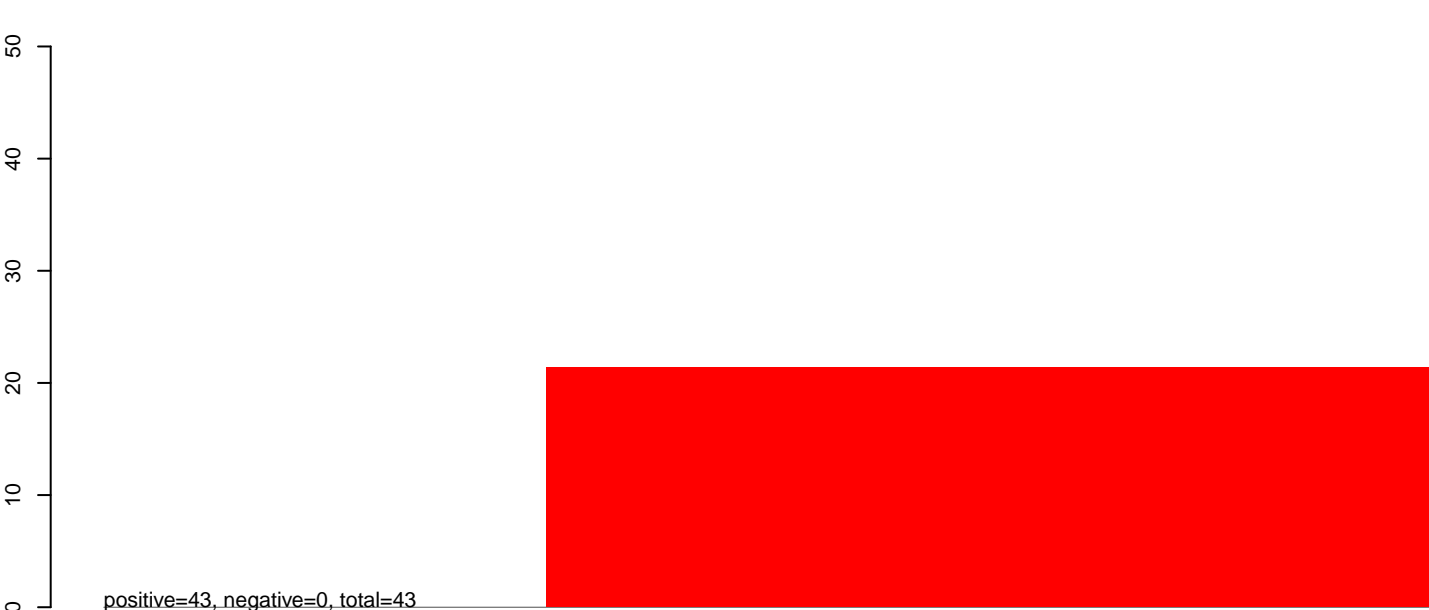
AeAlbo_C636_6dpi_SINV1.rep



AeAlbo_C636_6dpi_SINV1.18_23.rep



AeAlbo_C636_6dpi_SINV1.24_35.rep



AeAlbo_C636_6dpi_SINV1.rep

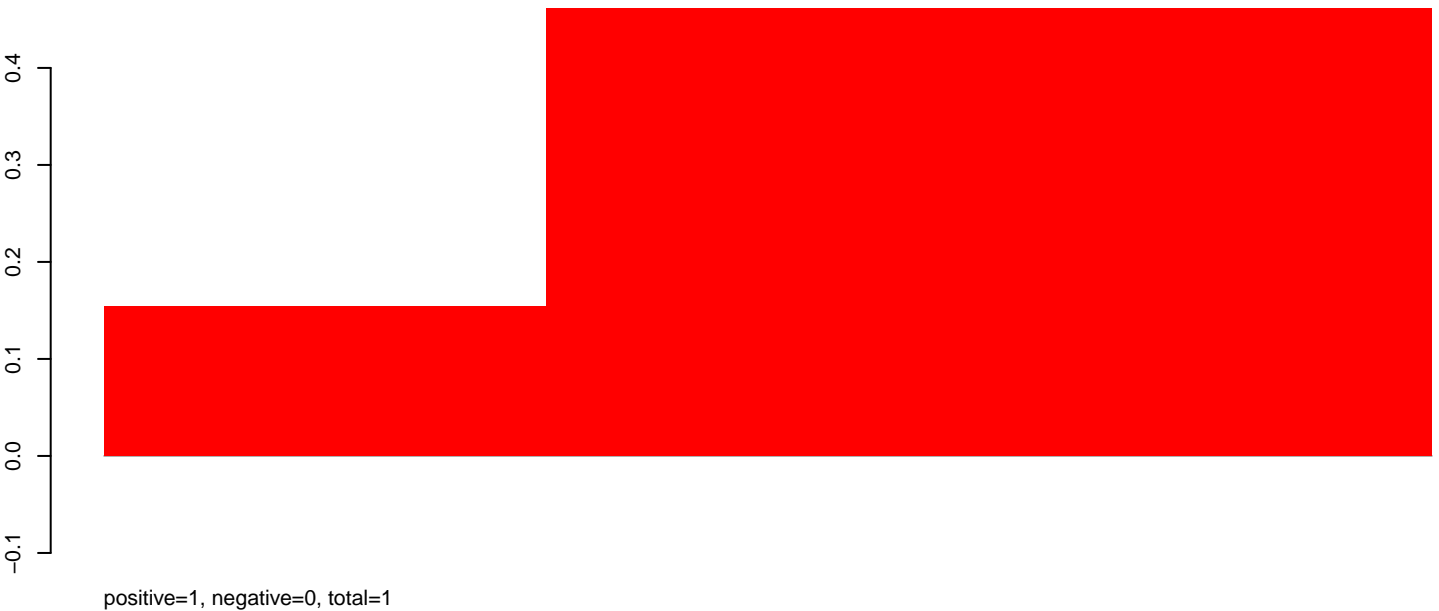


40 60 80 100

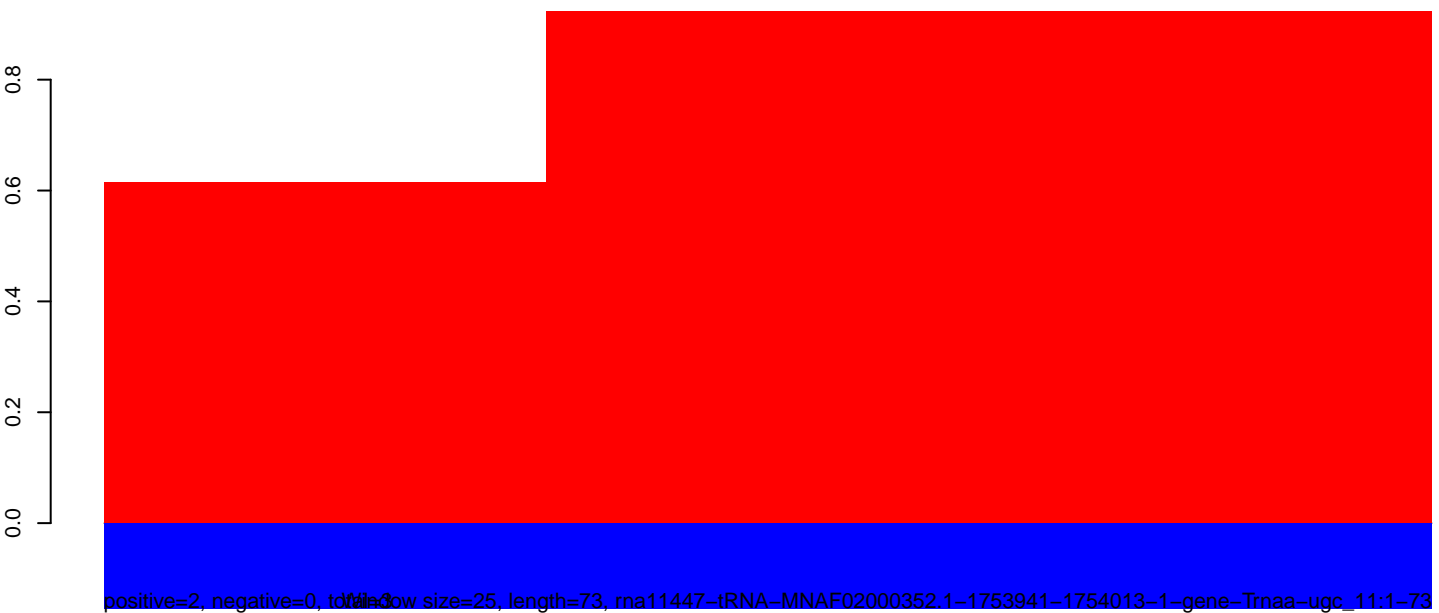
AeAlbo_C636_6dpi_SINV1.18_23.rep



AeAlbo_C636_6dpi_SINV1.24_35.rep



AeAlbo_C636_6dpi_SINV1.rep



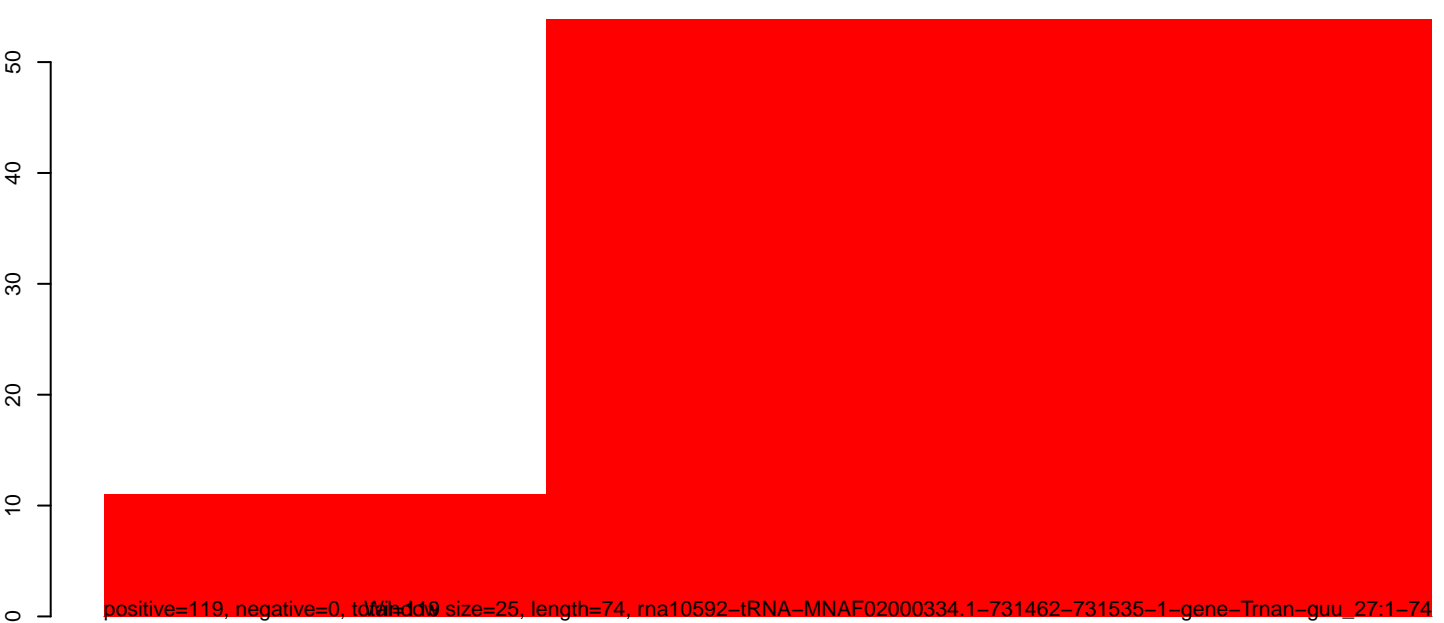
AeAlbo_C636_6dpi_SINV1.18_23.rep



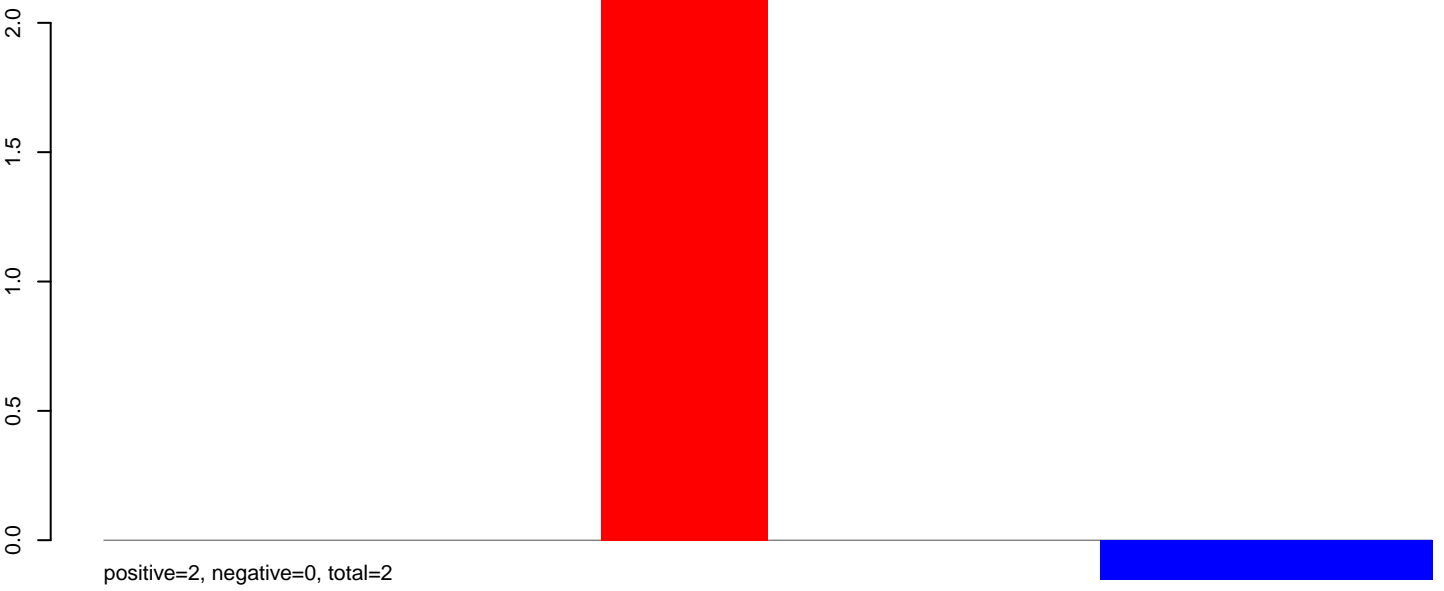
AeAlbo_C636_6dpi_SINV1.24_35.rep



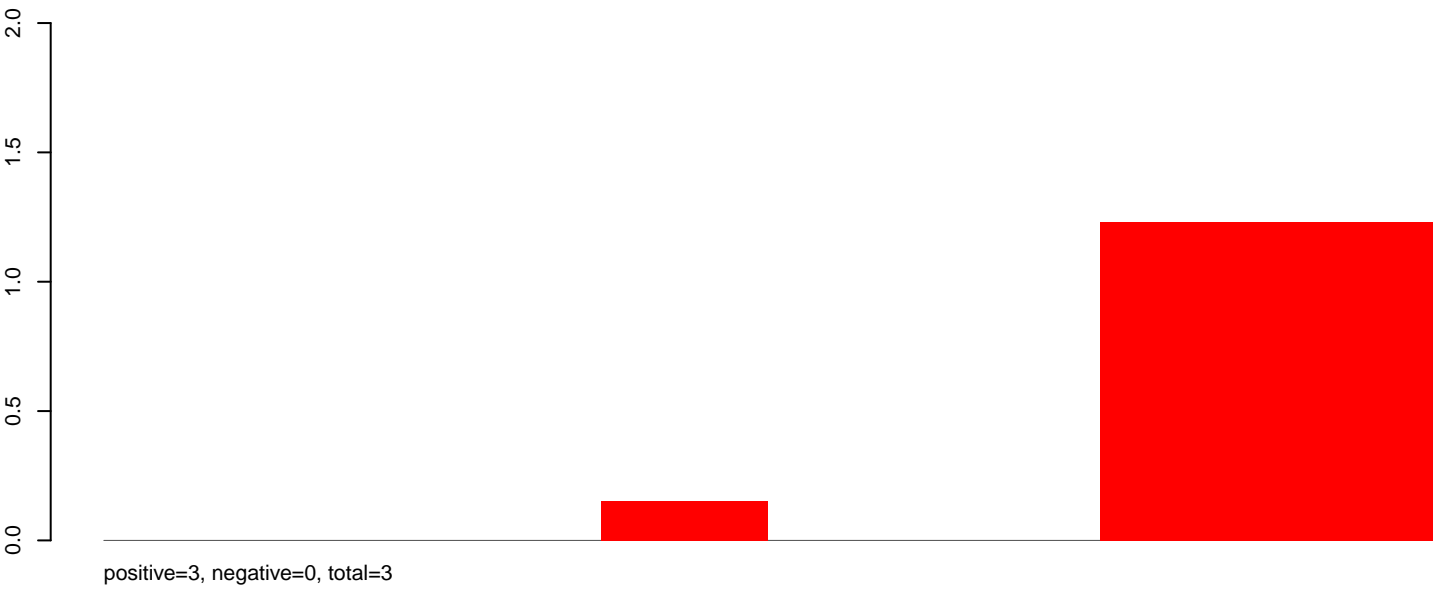
AeAlbo_C636_6dpi_SINV1.rep



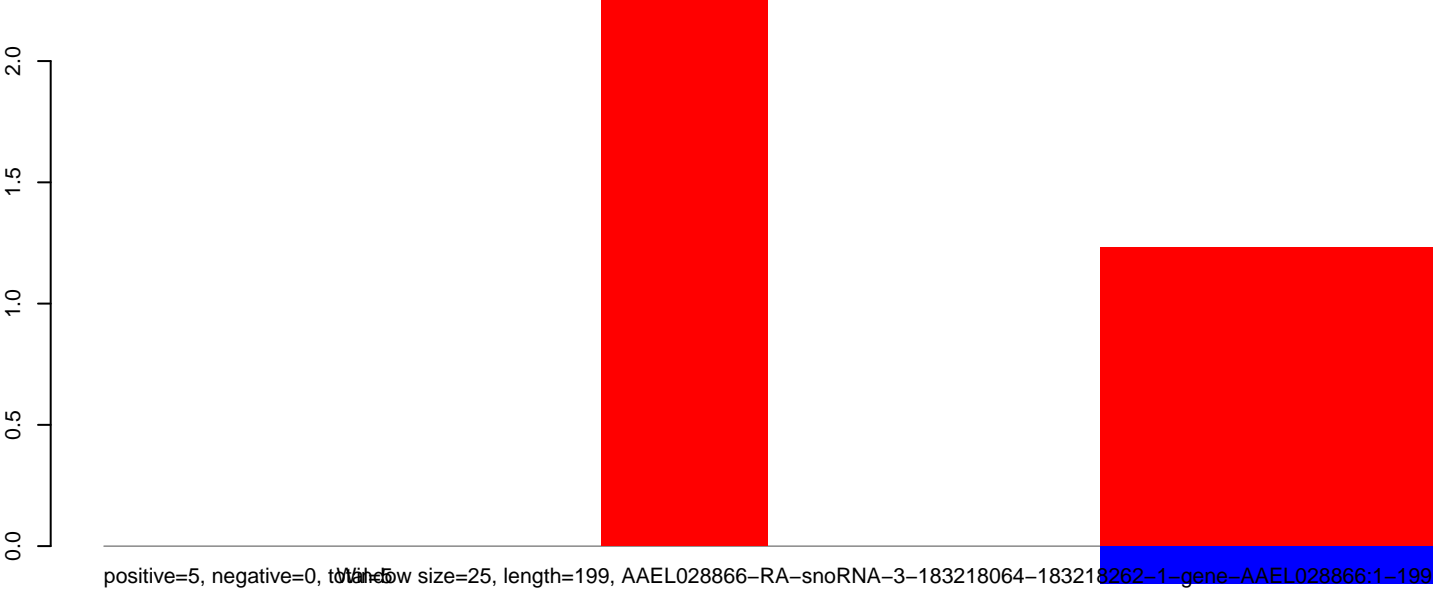
AeAlbo_C636_6dpi_SINV1.18_23.rep



AeAlbo_C636_6dpi_SINV1.24_35.rep



AeAlbo_C636_6dpi_SINV1.rep



positive=5, negative=0, total=5, window size=25, length=199, AAEL028866-RA-snoRNA-3-183218064-183218262-1-gene-AAEL028866:1-199

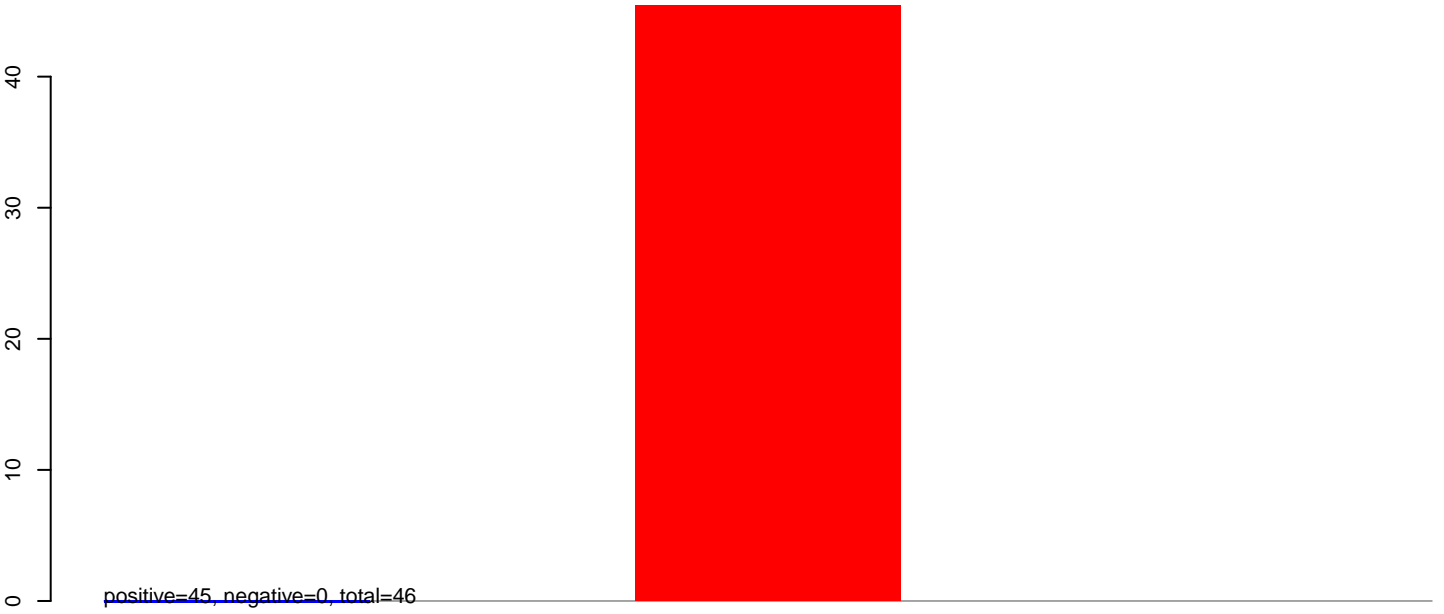
50

100

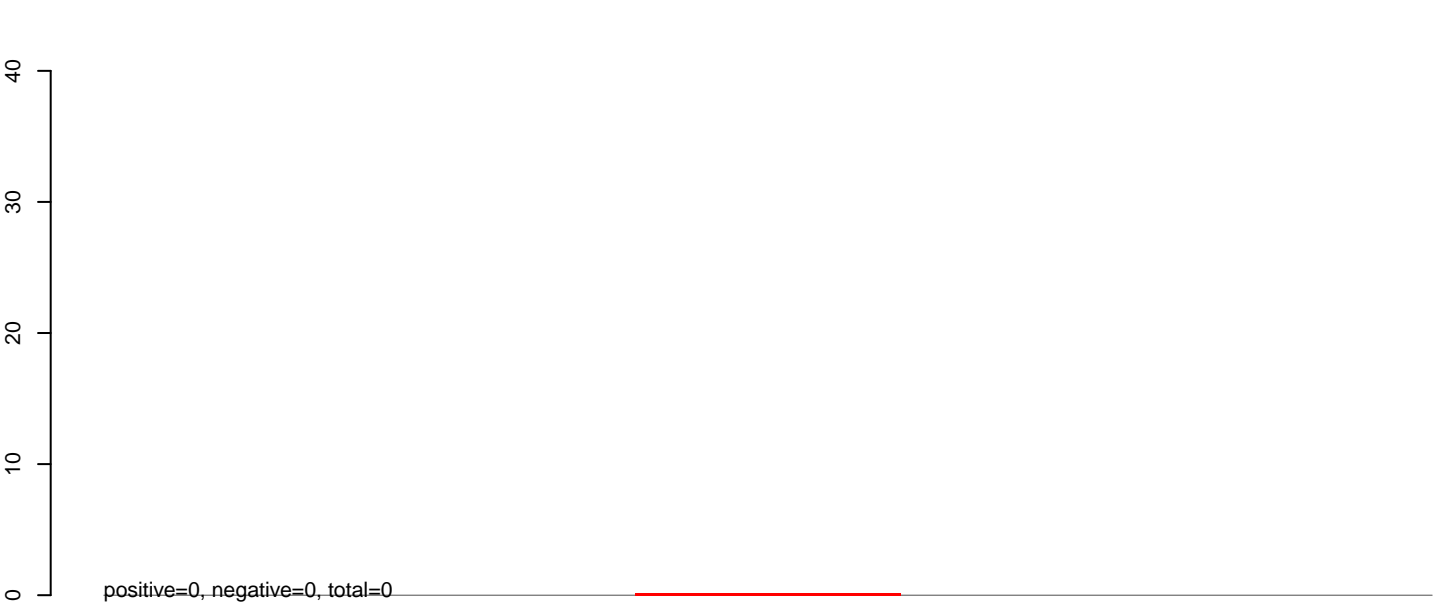
150

200

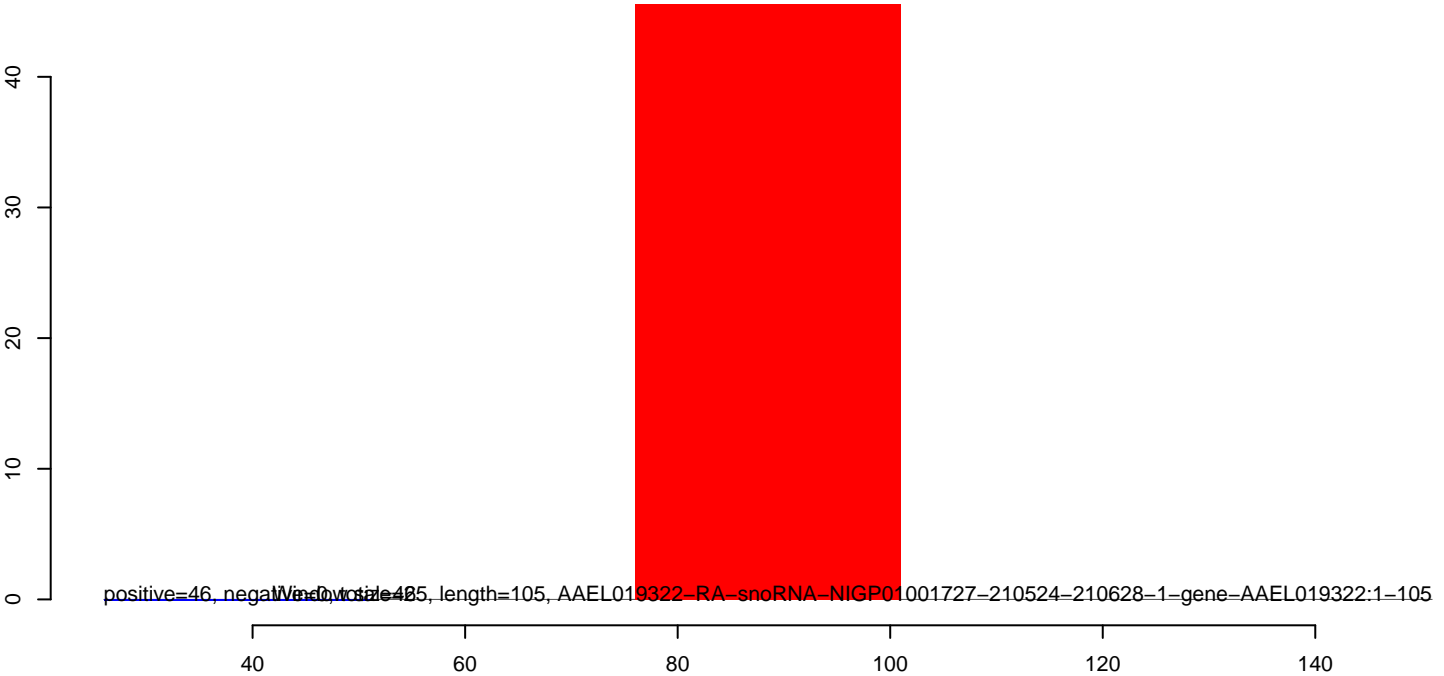
AeAlbo_C636_6dpi_SINV1.18_23.rep



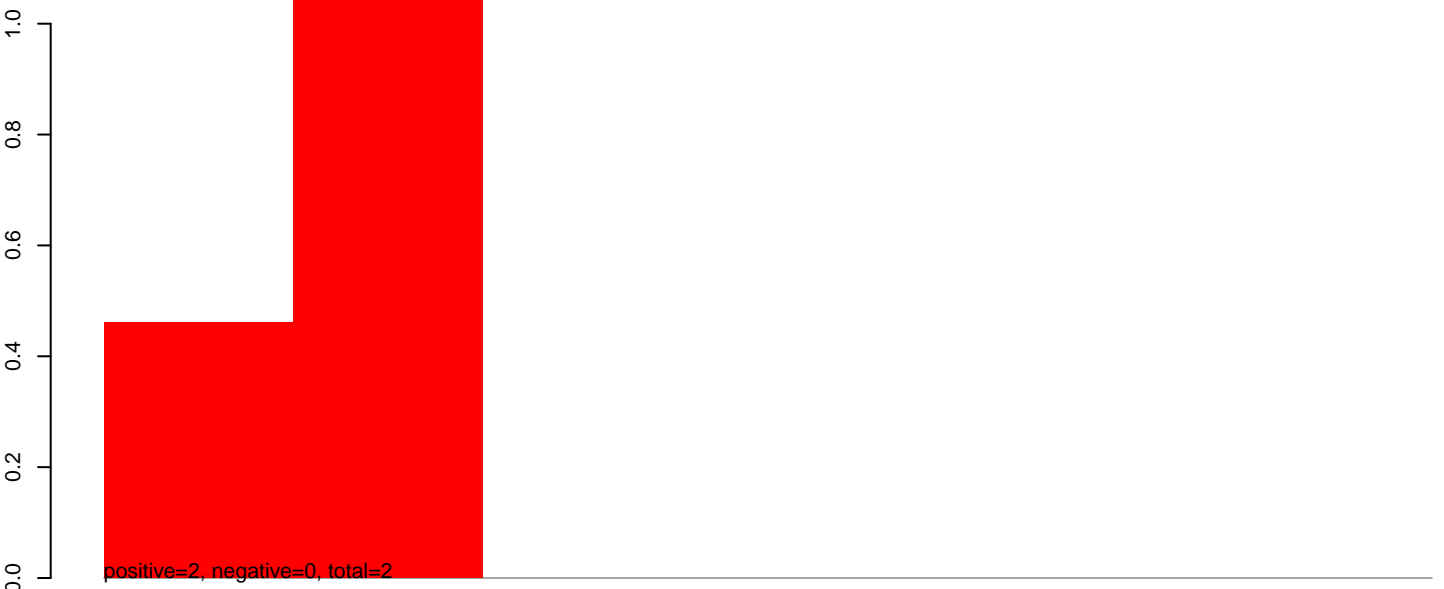
AeAlbo_C636_6dpi_SINV1.24_35.rep



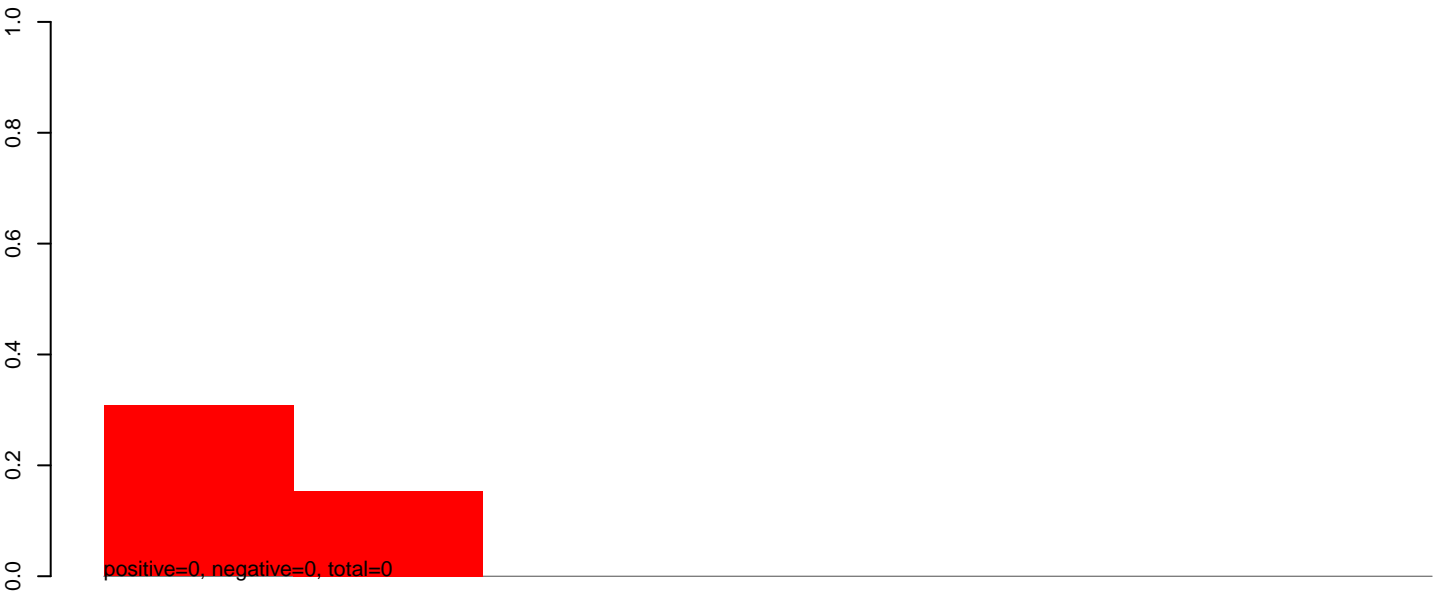
AeAlbo_C636_6dpi_SINV1.rep



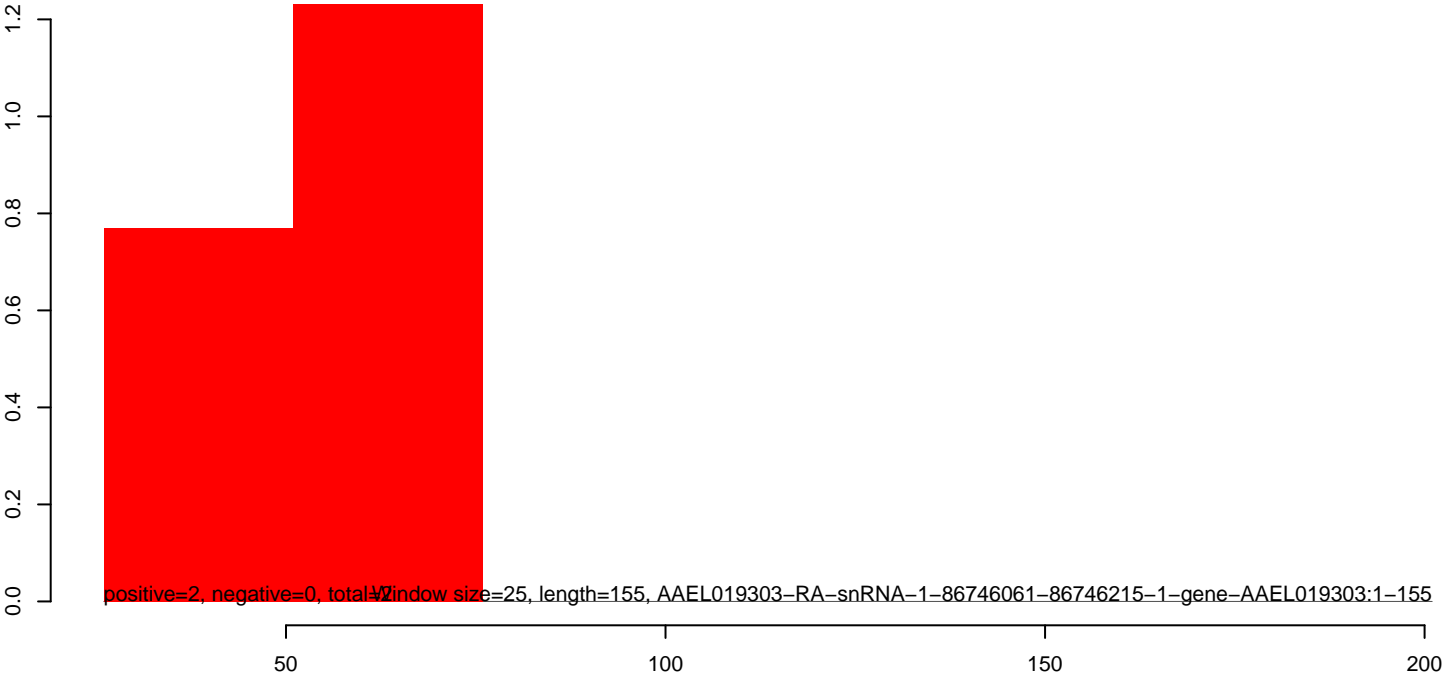
AeAlbo_C636_6dpi_SINV1.18_23.rep



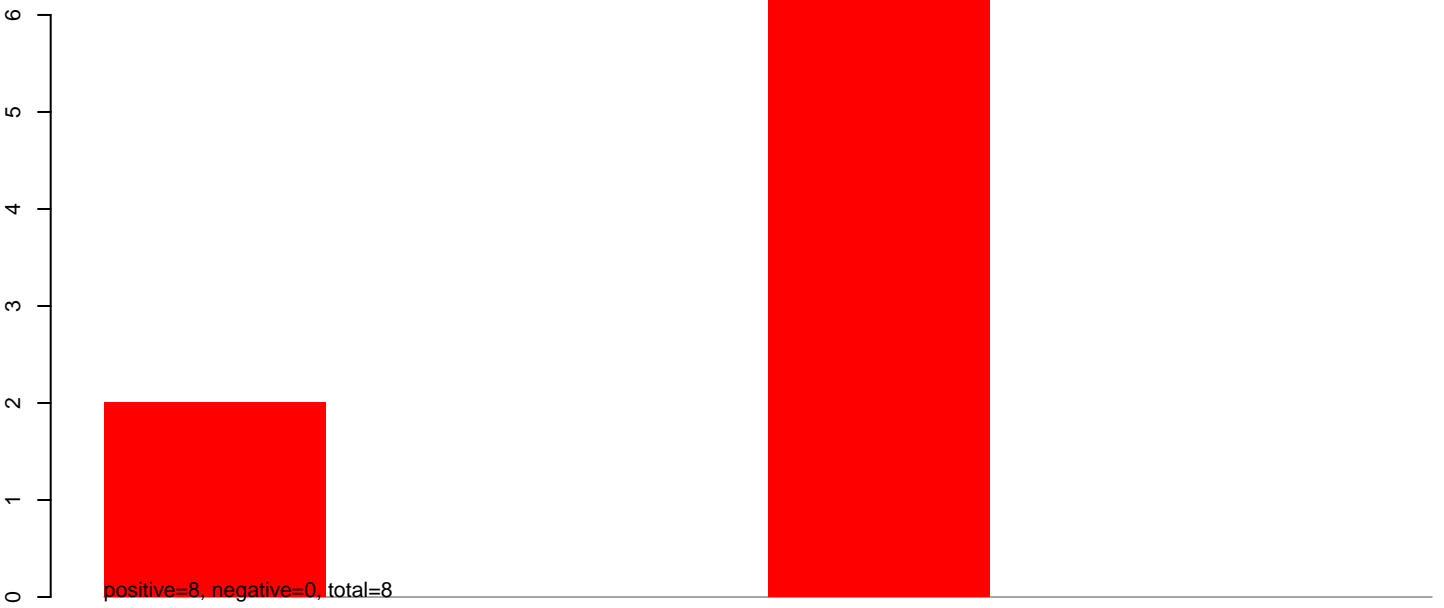
AeAlbo_C636_6dpi_SINV1.24_35.rep



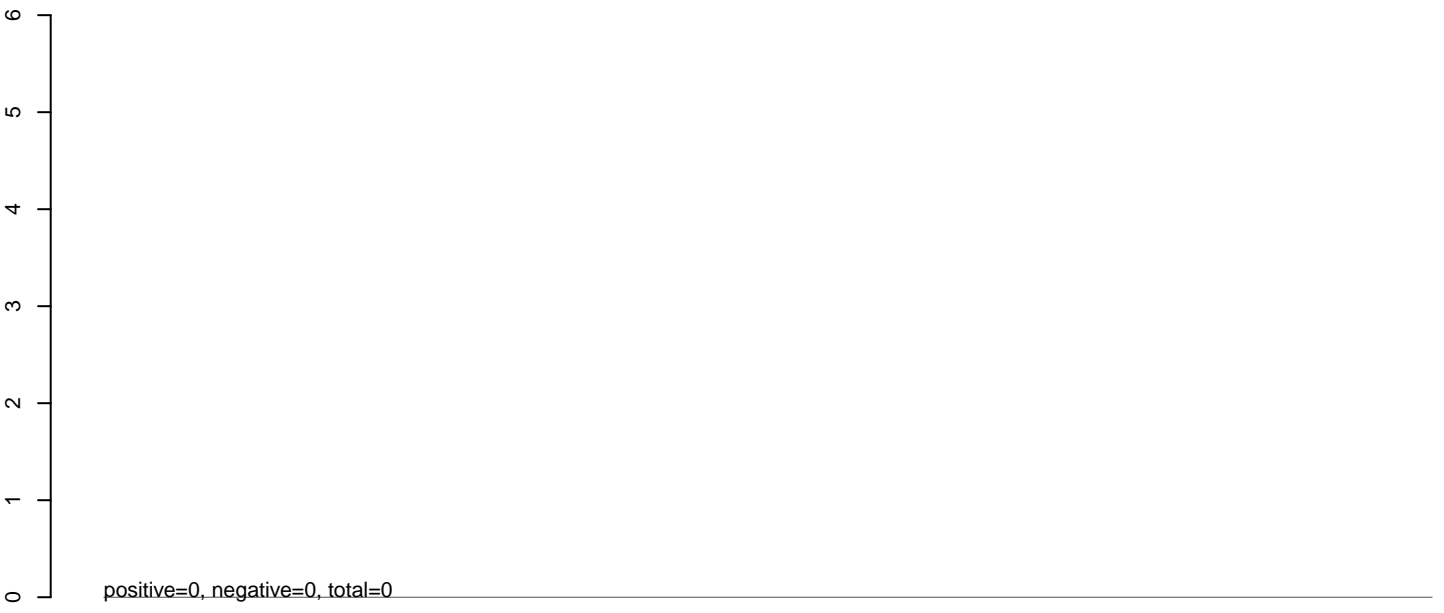
AeAlbo_C636_6dpi_SINV1.rep



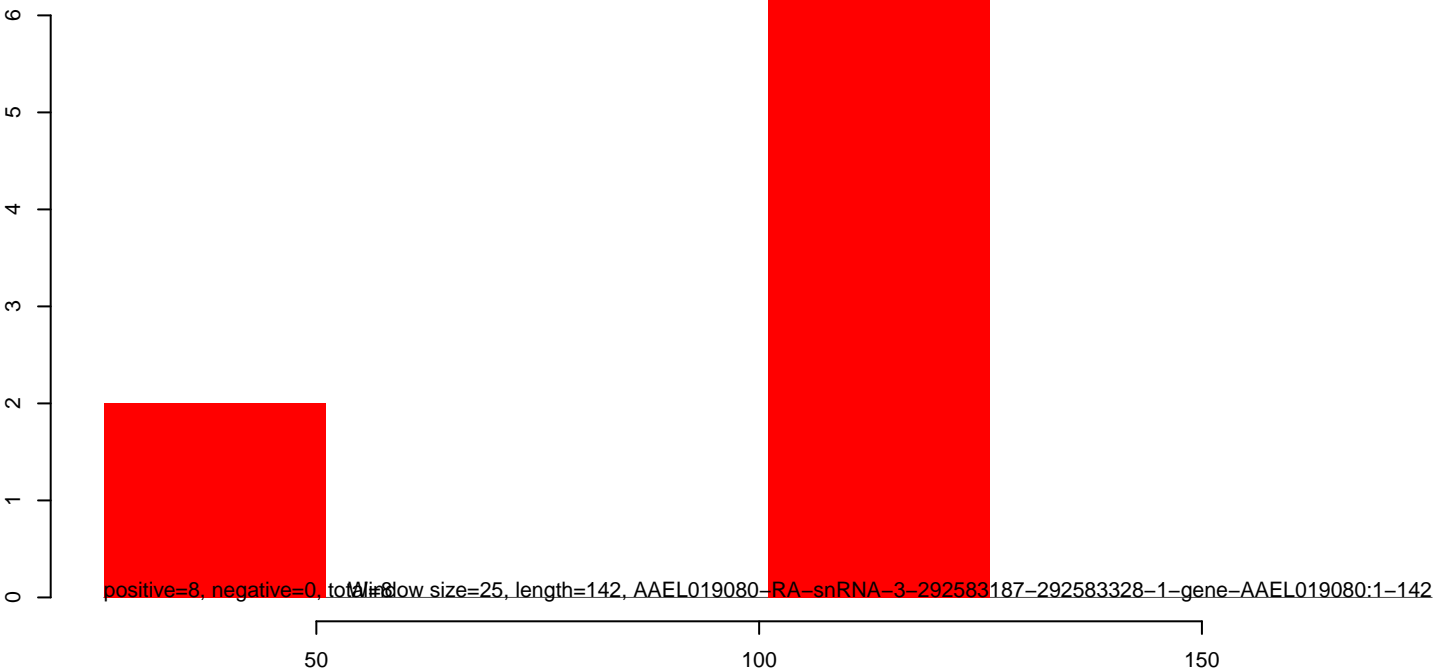
AeAlbo_C636_6dpi_SINV1.18_23.rep



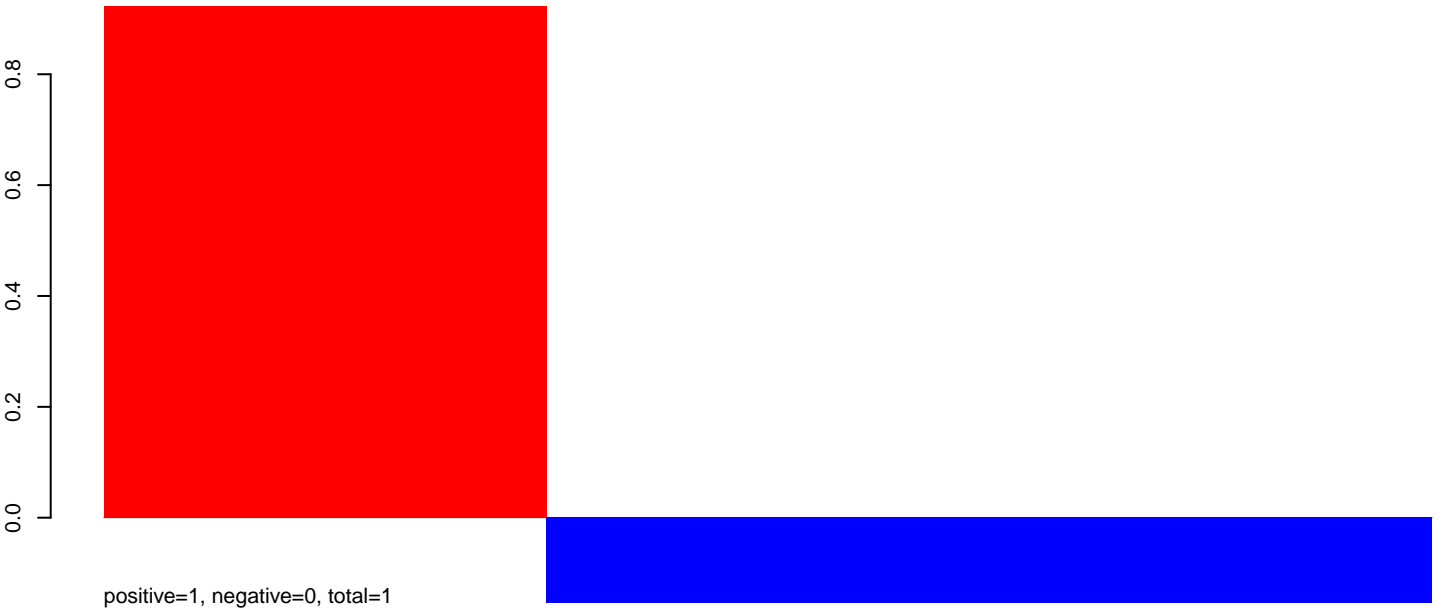
AeAlbo_C636_6dpi_SINV1.24_35.rep



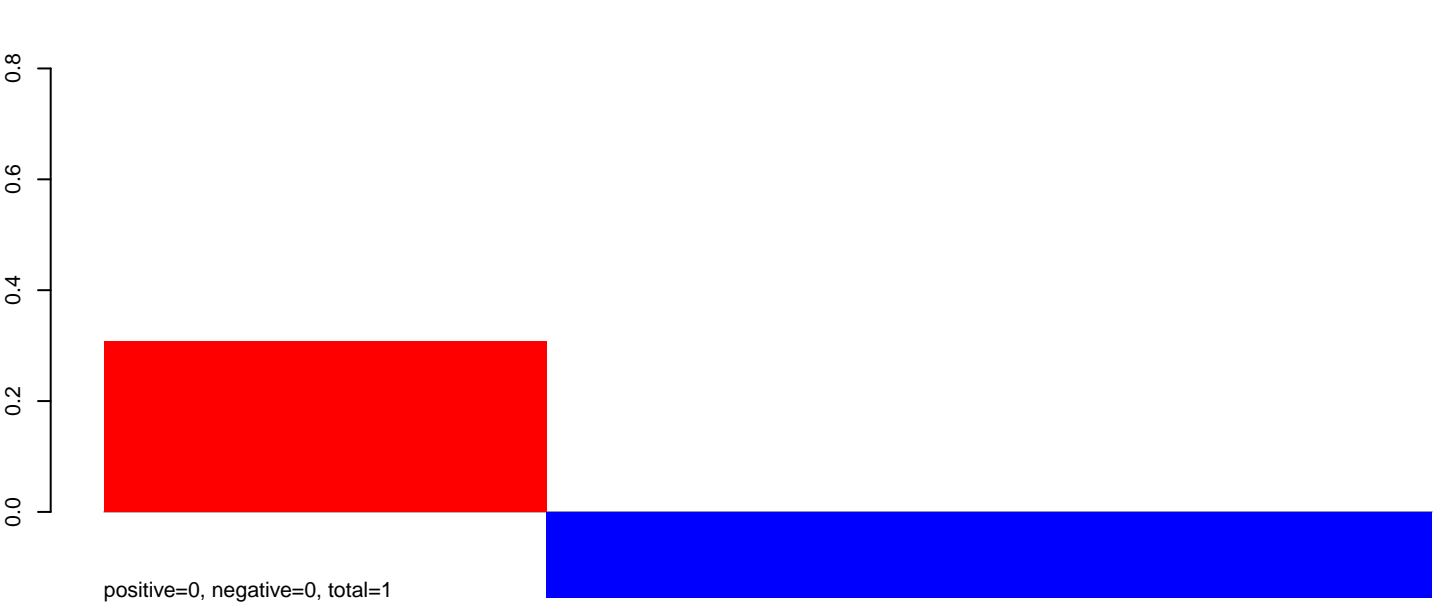
AeAlbo_C636_6dpi_SINV1.rep



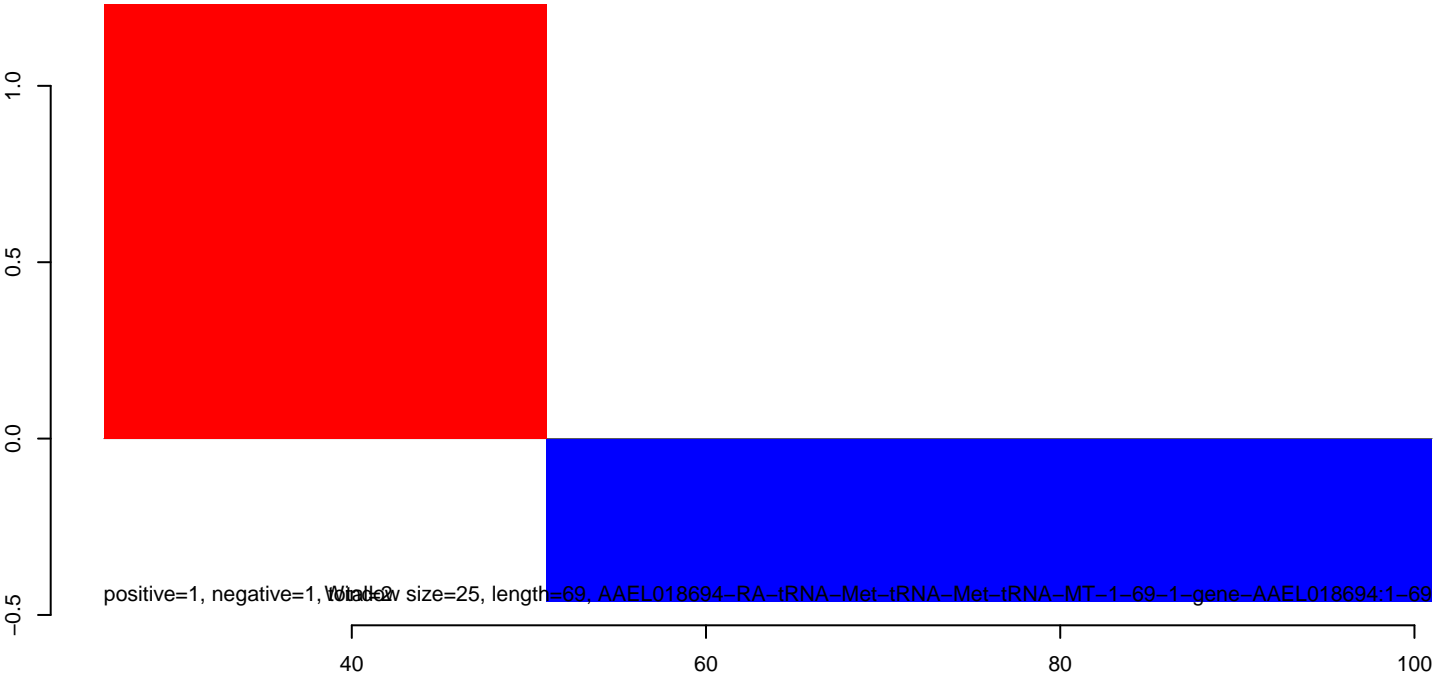
AeAlbo_C636_6dpi_SINV1.18_23.rep



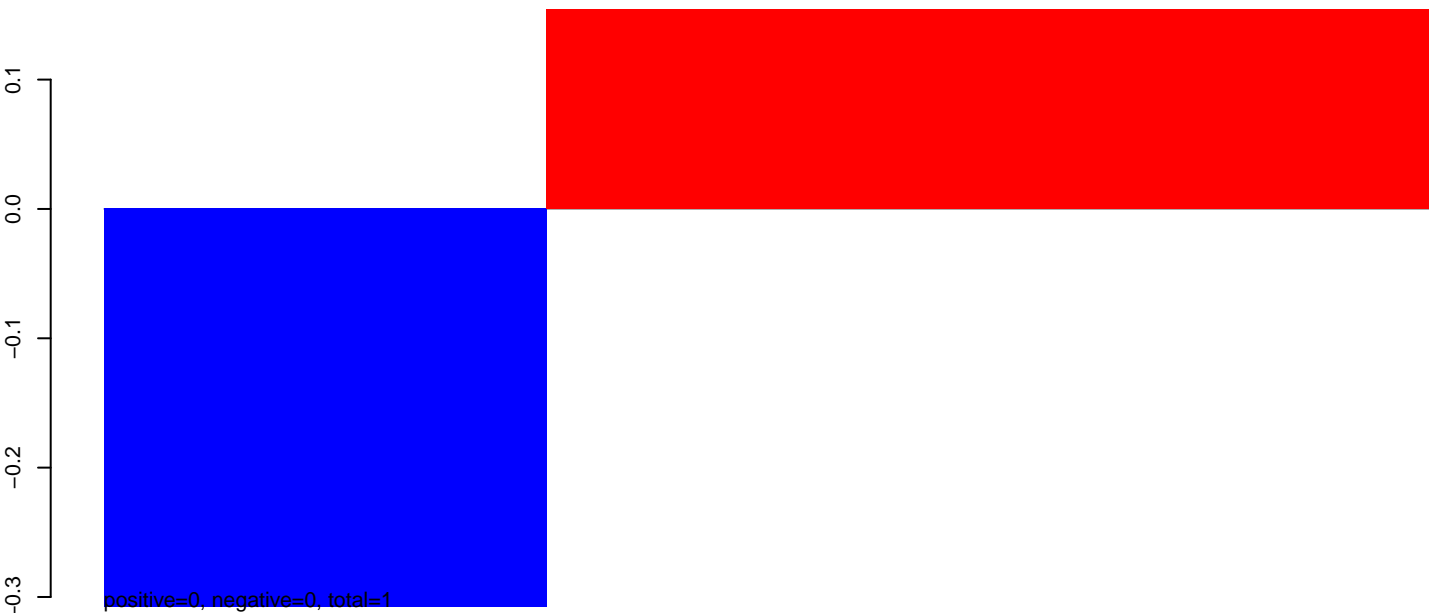
AeAlbo_C636_6dpi_SINV1.24_35.rep



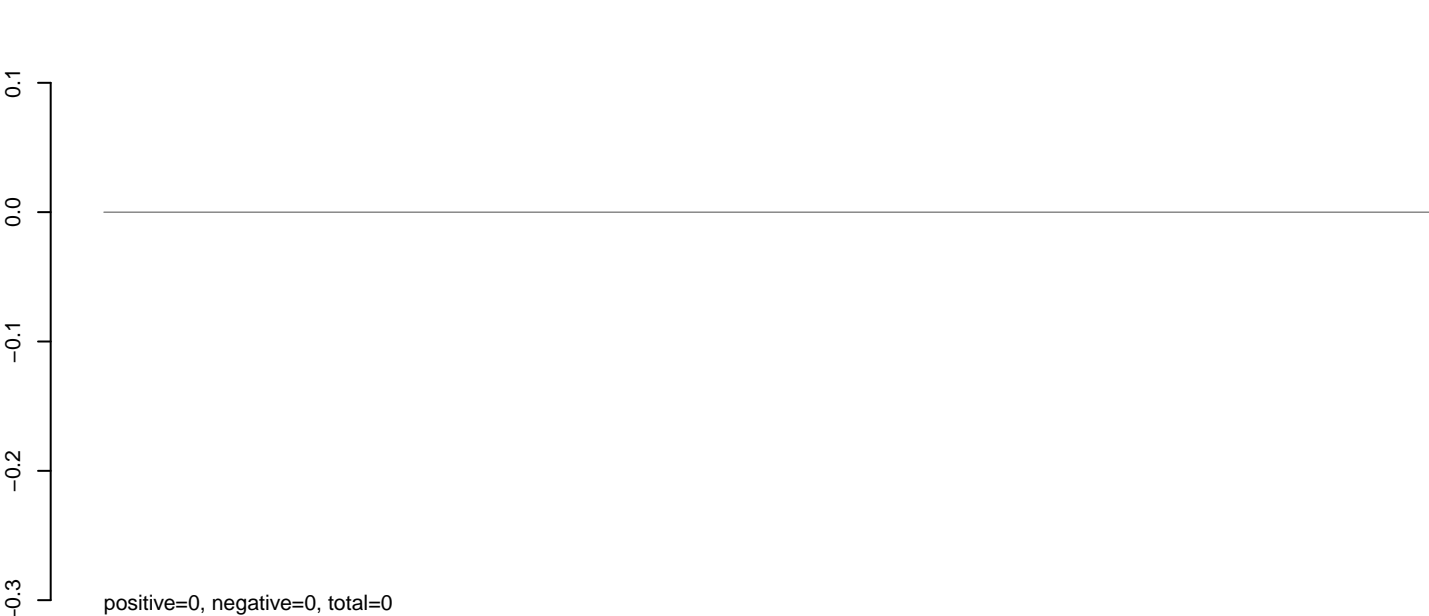
AeAlbo_C636_6dpi_SINV1.rep



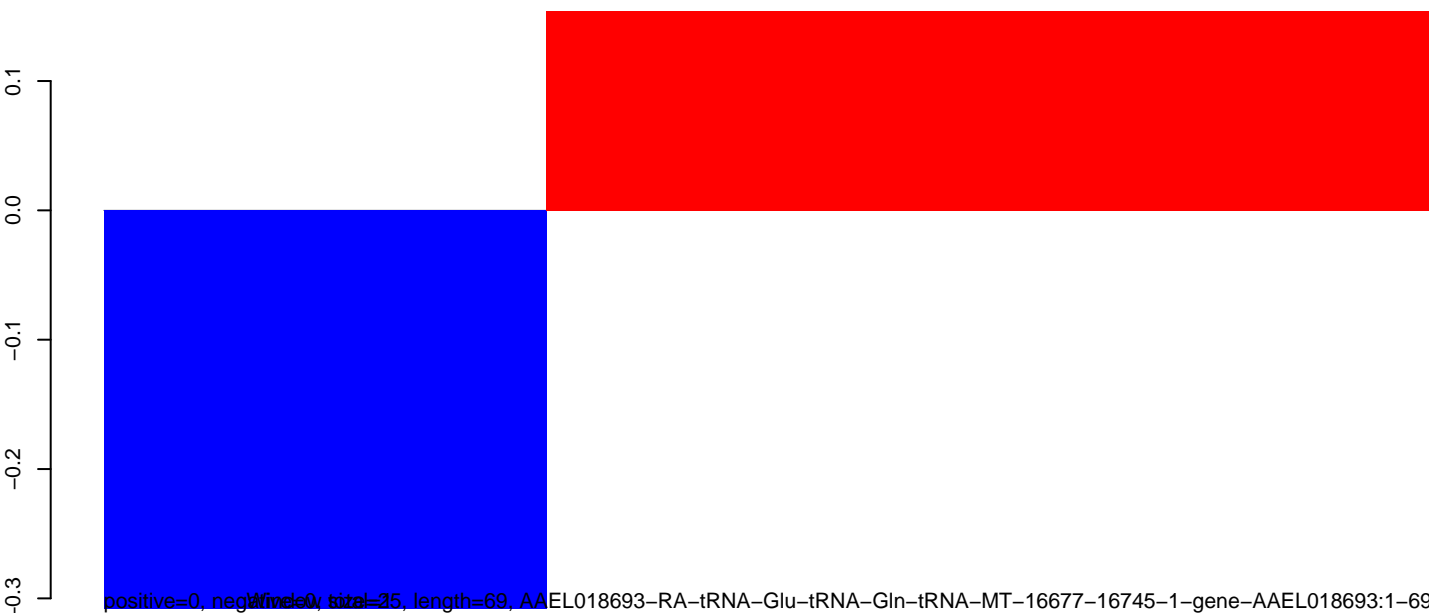
AeAlbo_C636_6dpi_SINV1.18_23.rep



AeAlbo_C636_6dpi_SINV1.24_35.rep

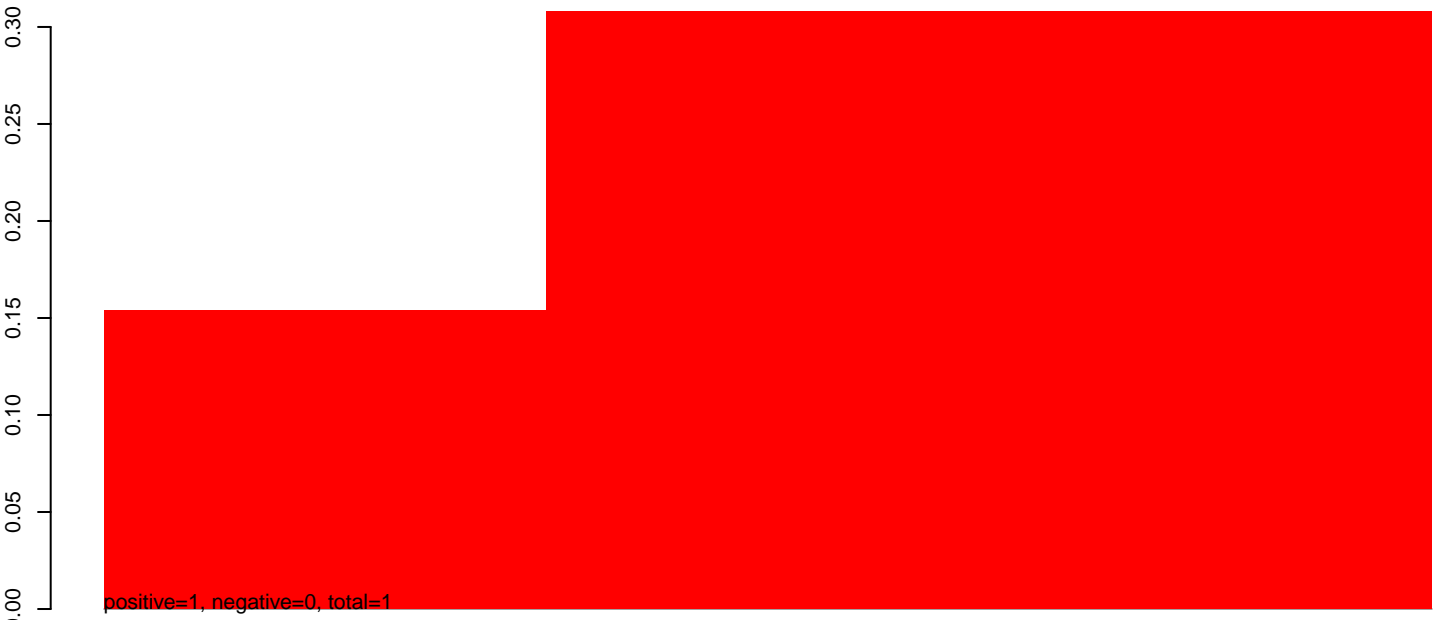


AeAlbo_C636_6dpi_SINV1.rep

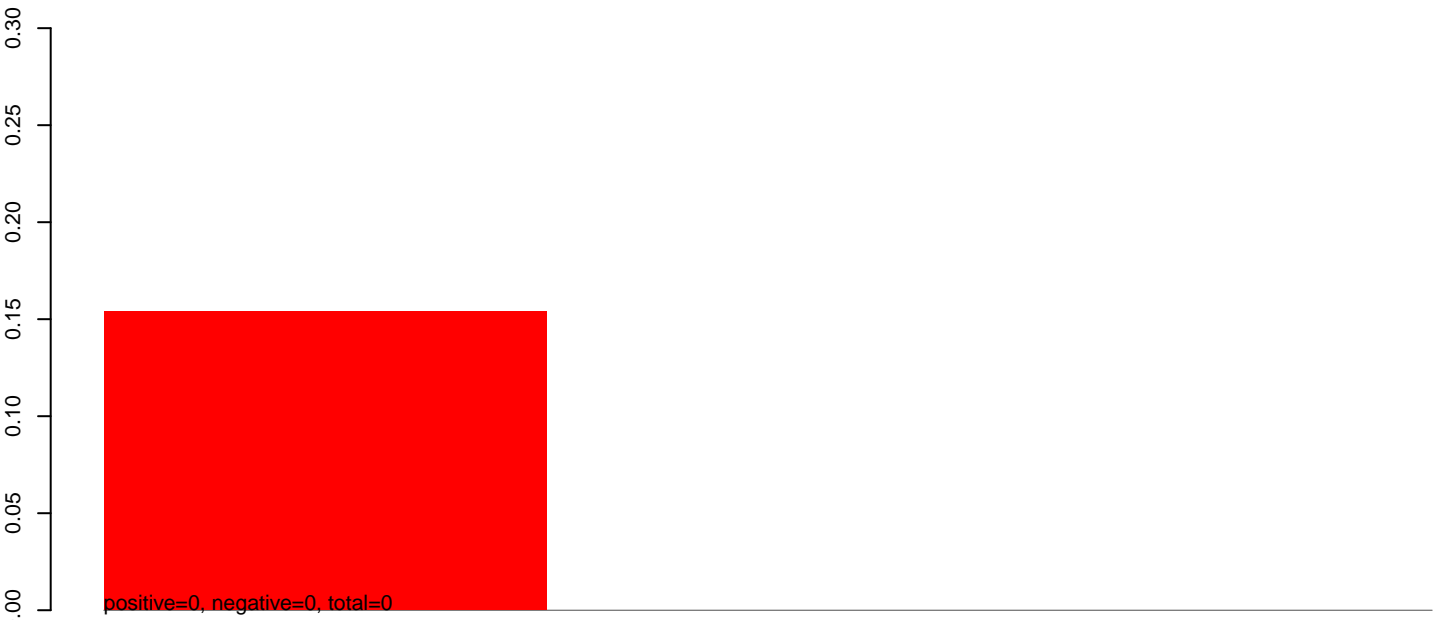


40 60 80 100

AeAlbo_C636_6dpi_SINV1.18_23.rep



AeAlbo_C636_6dpi_SINV1.24_35.rep

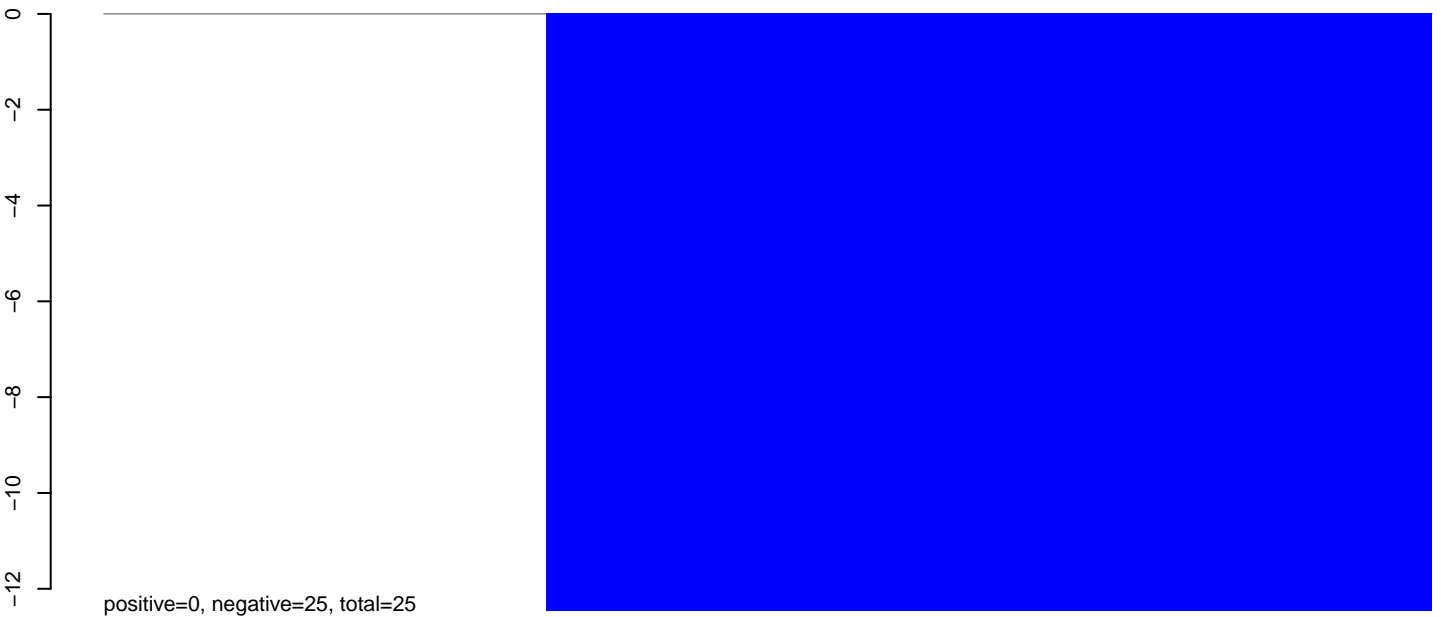


AeAlbo_C636_6dpi_SINV1.rep



40 60 80 100

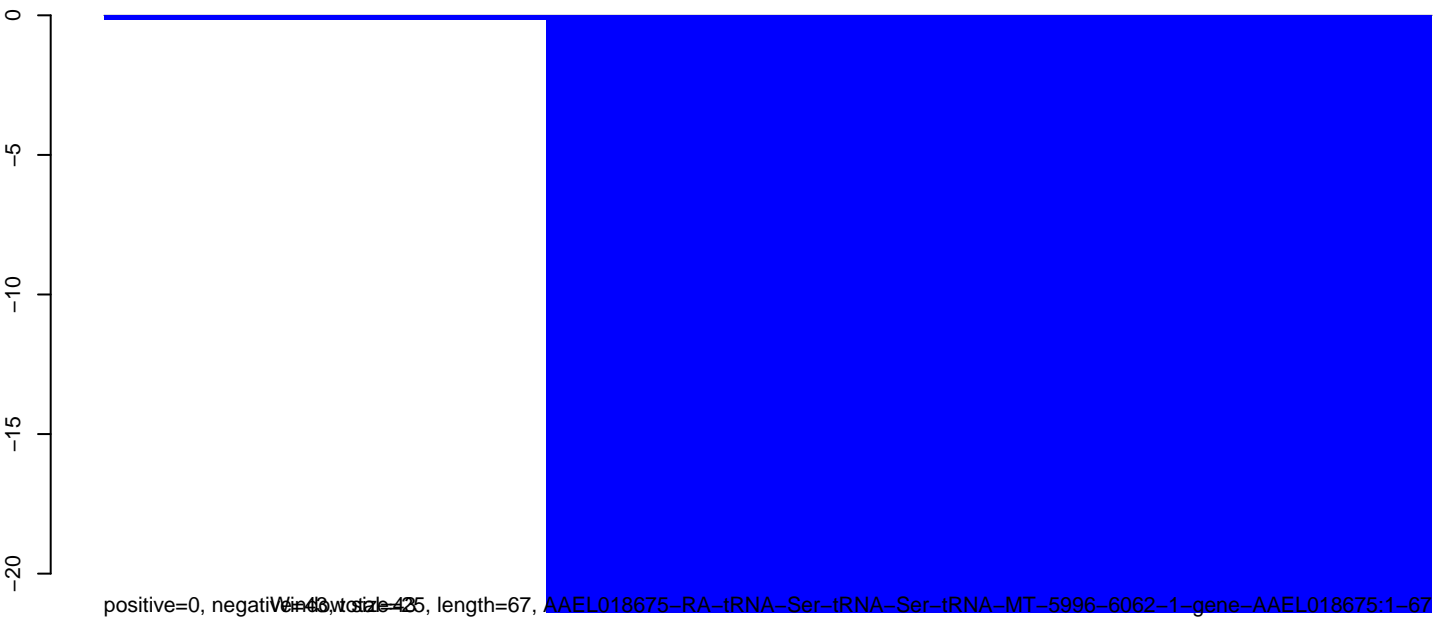
AeAlbo_C636_6dpi_SINV1.18_23.rep



AeAlbo_C636_6dpi_SINV1.24_35.rep



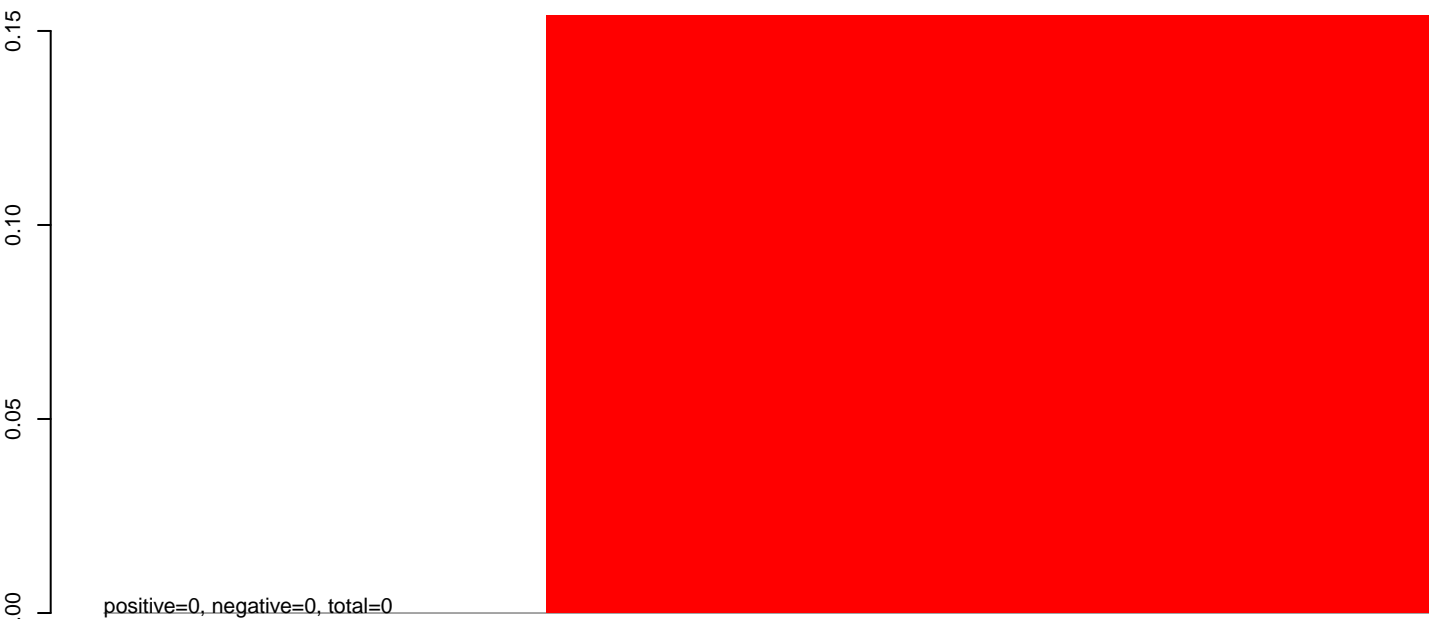
AeAlbo_C636_6dpi_SINV1.rep



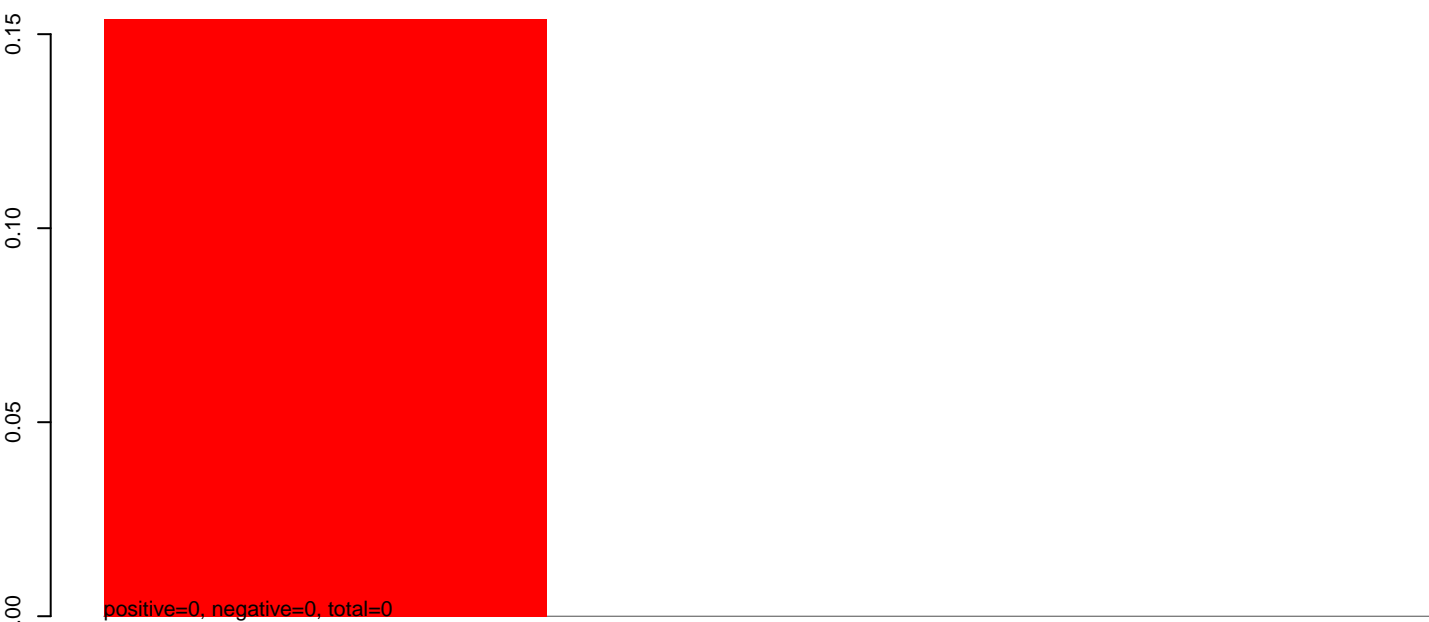
positive=0, negative=25, total=25, length=67, AAEL018675-RA-tRNA-Ser-tRNA-Ser-tRNA-MT-5996-6062-1-gene-AAEL018675:1-67

40 60 80 100

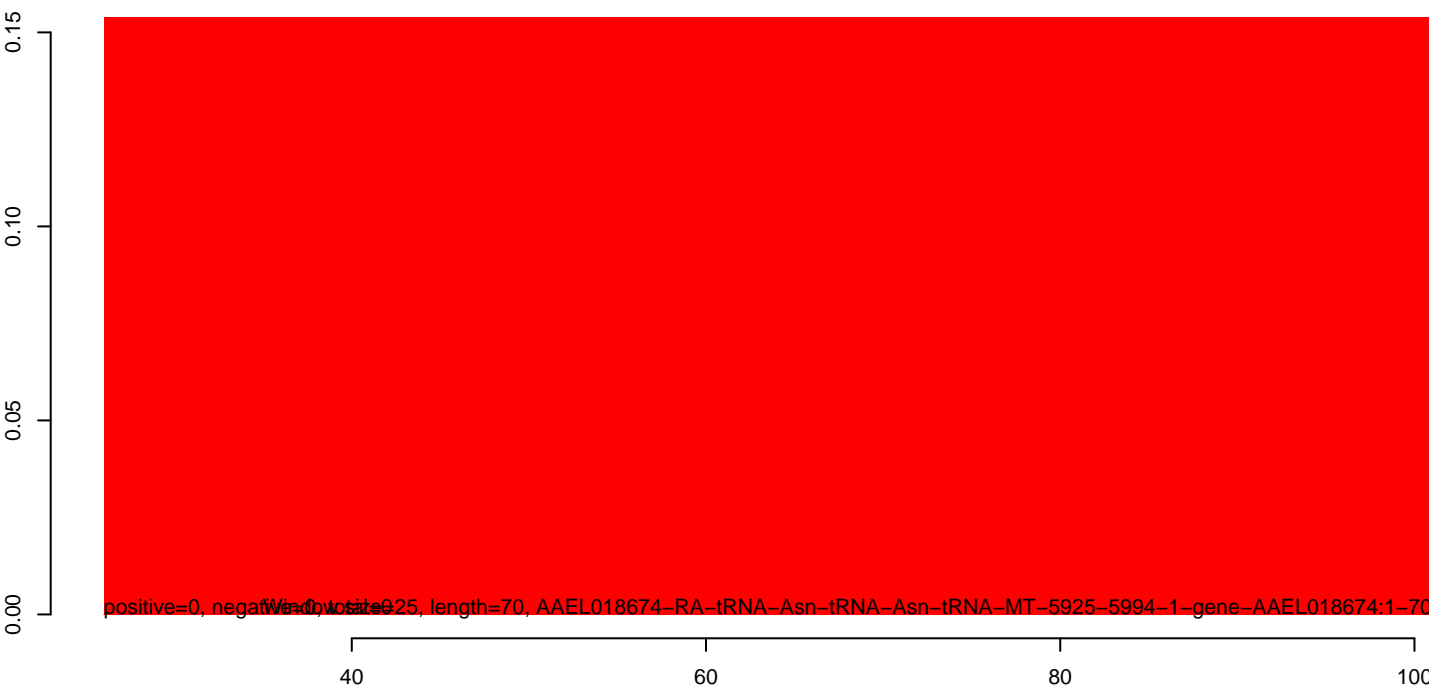
AeAlbo_C636_6dpi_SINV1.18_23.rep



AeAlbo_C636_6dpi_SINV1.24_35.rep



AeAlbo_C636_6dpi_SINV1.rep



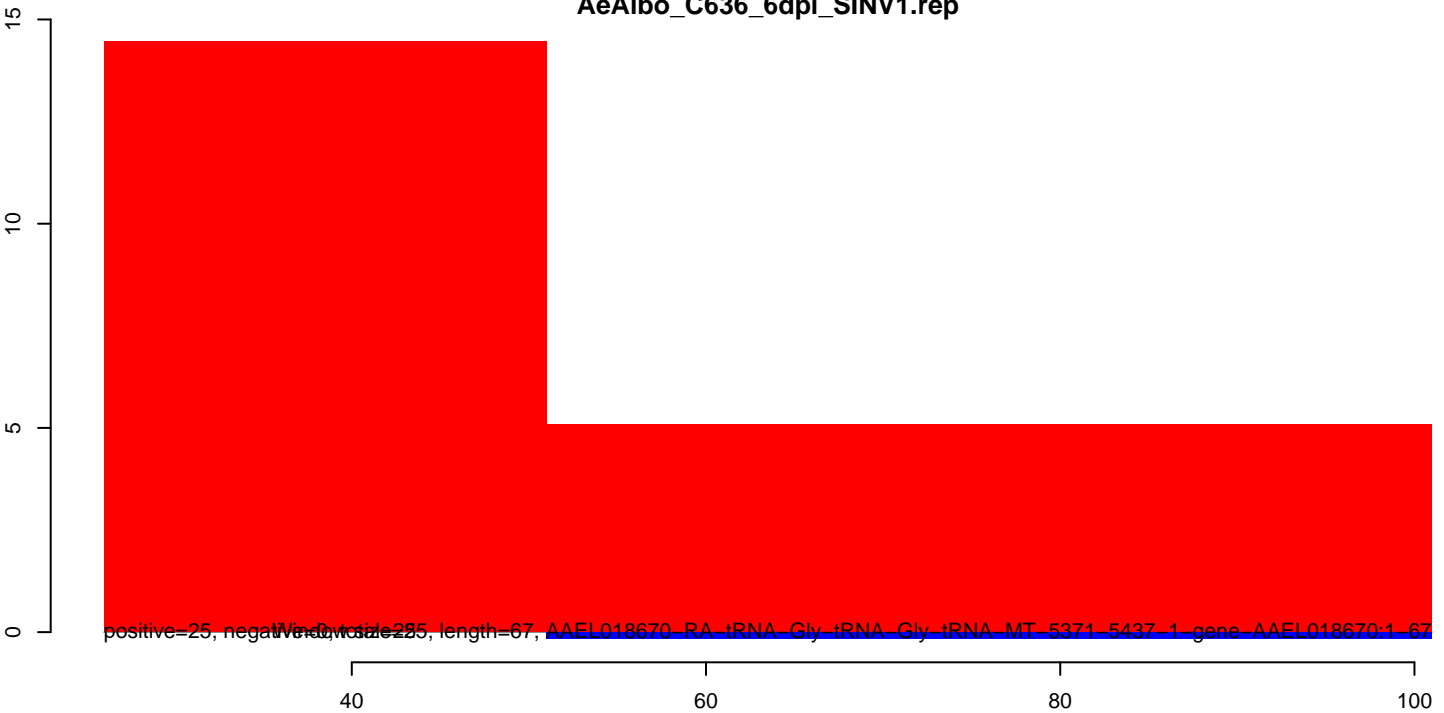
AeAlbo_C636_6dpi_SINV1.18_23.rep



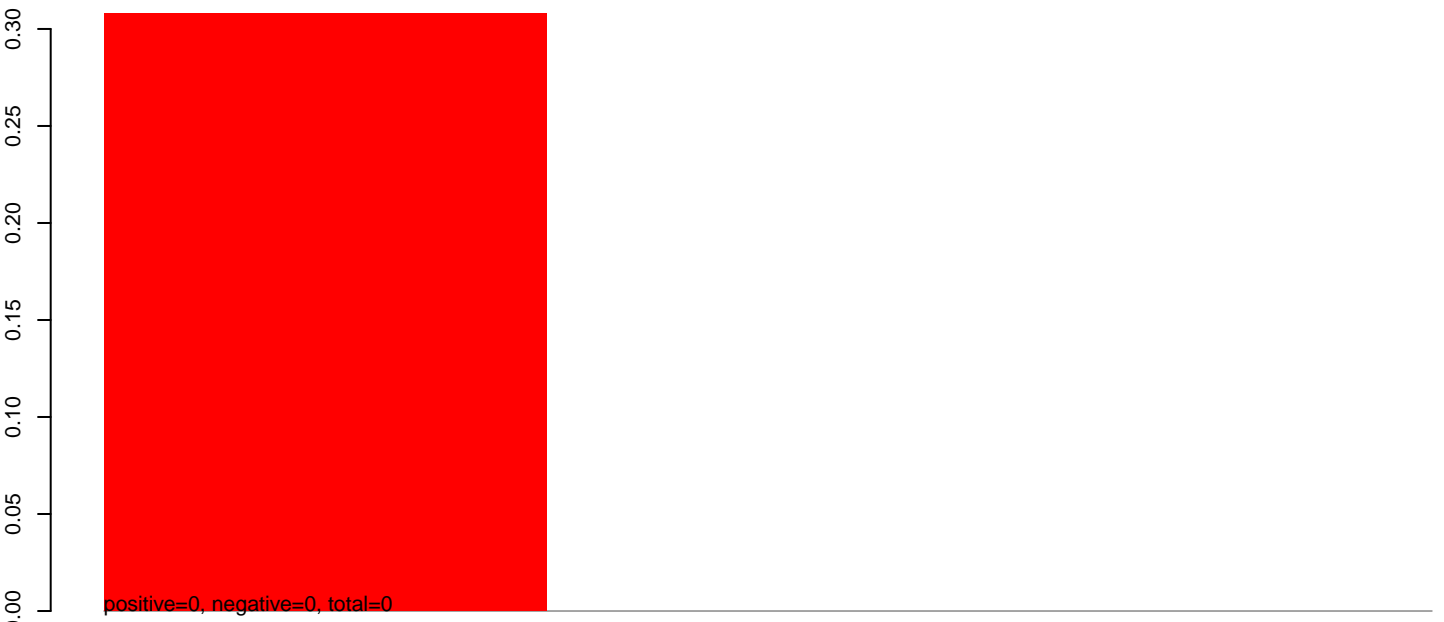
AeAlbo_C636_6dpi_SINV1.24_35.rep



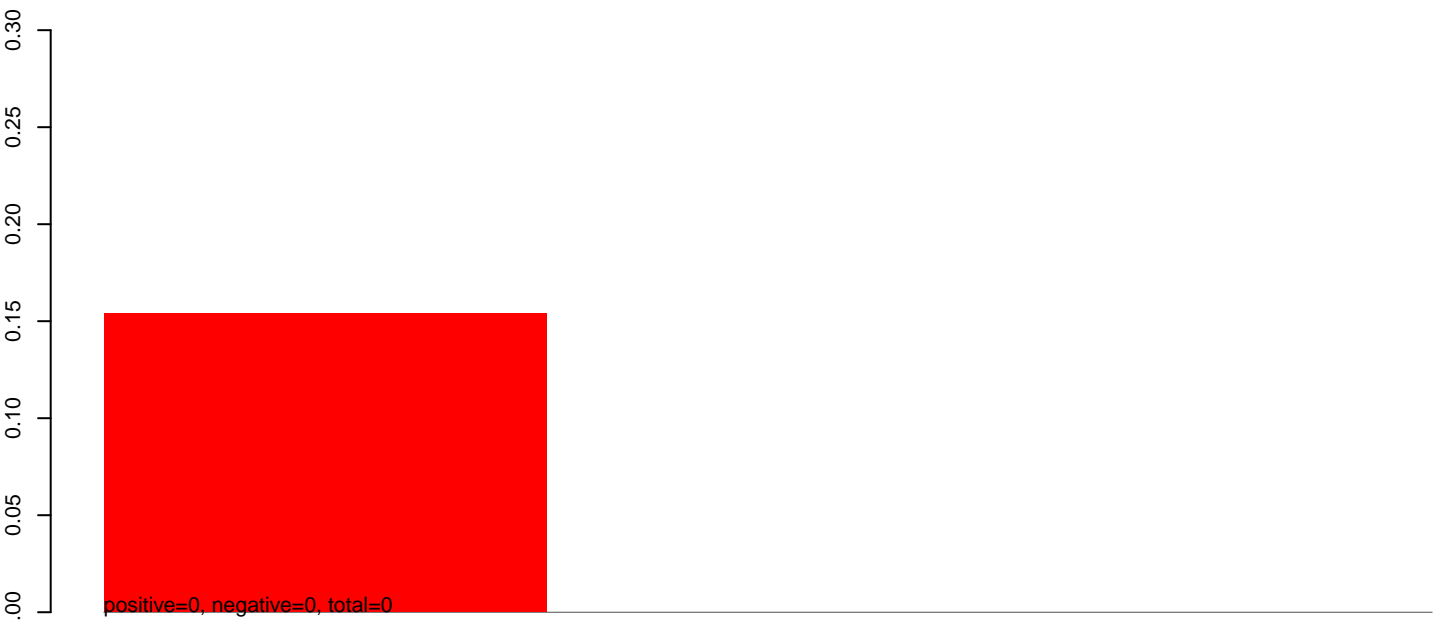
AeAlbo_C636_6dpi_SINV1.rep



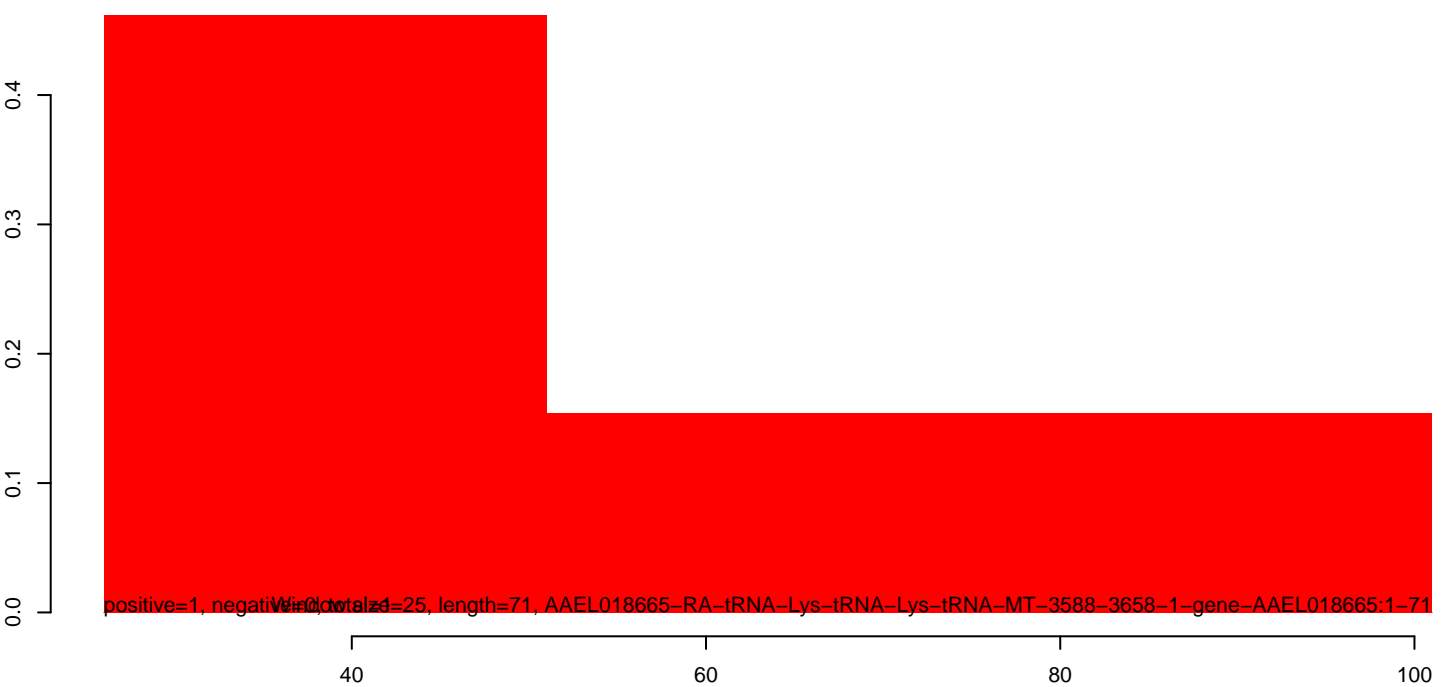
AeAlbo_C636_6dpi_SINV1.18_23.rep



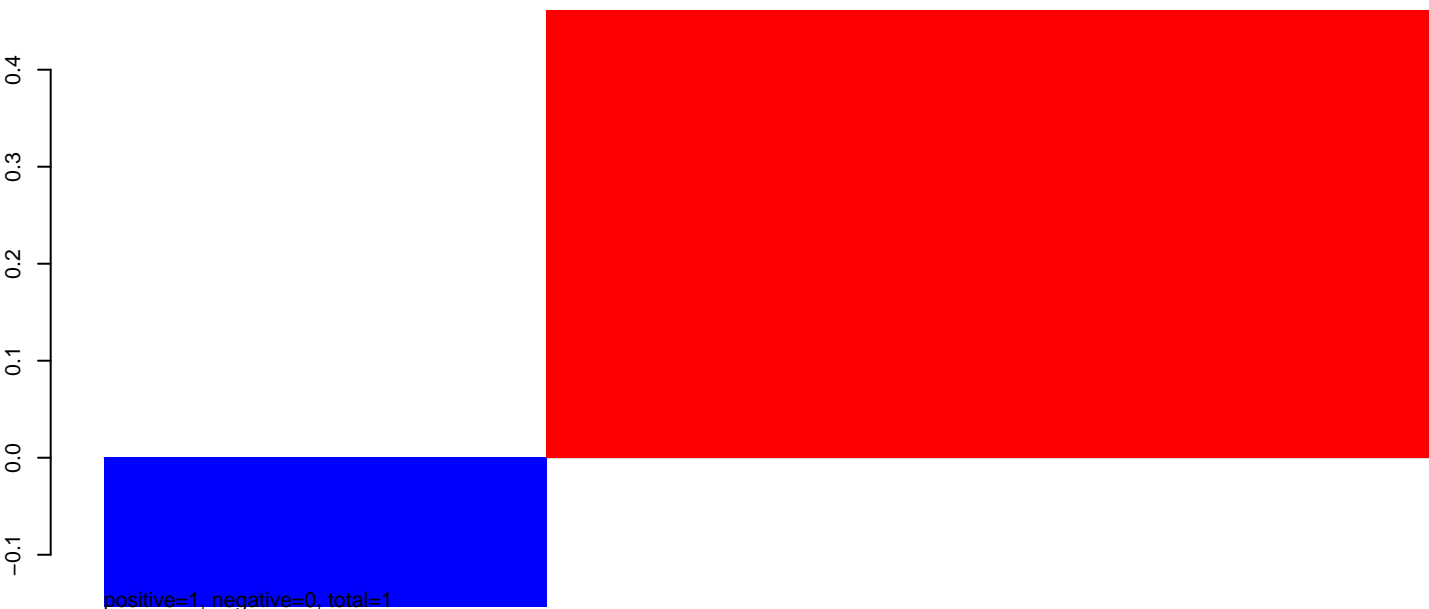
AeAlbo_C636_6dpi_SINV1.24_35.rep



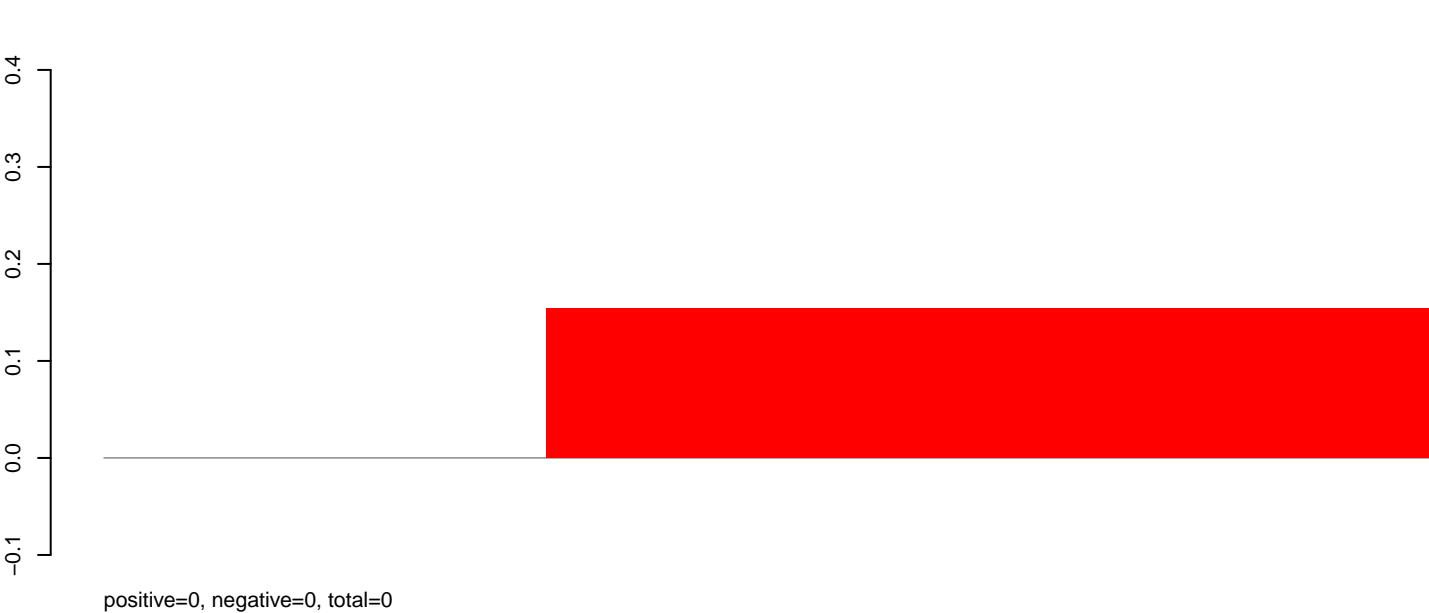
AeAlbo_C636_6dpi_SINV1.rep



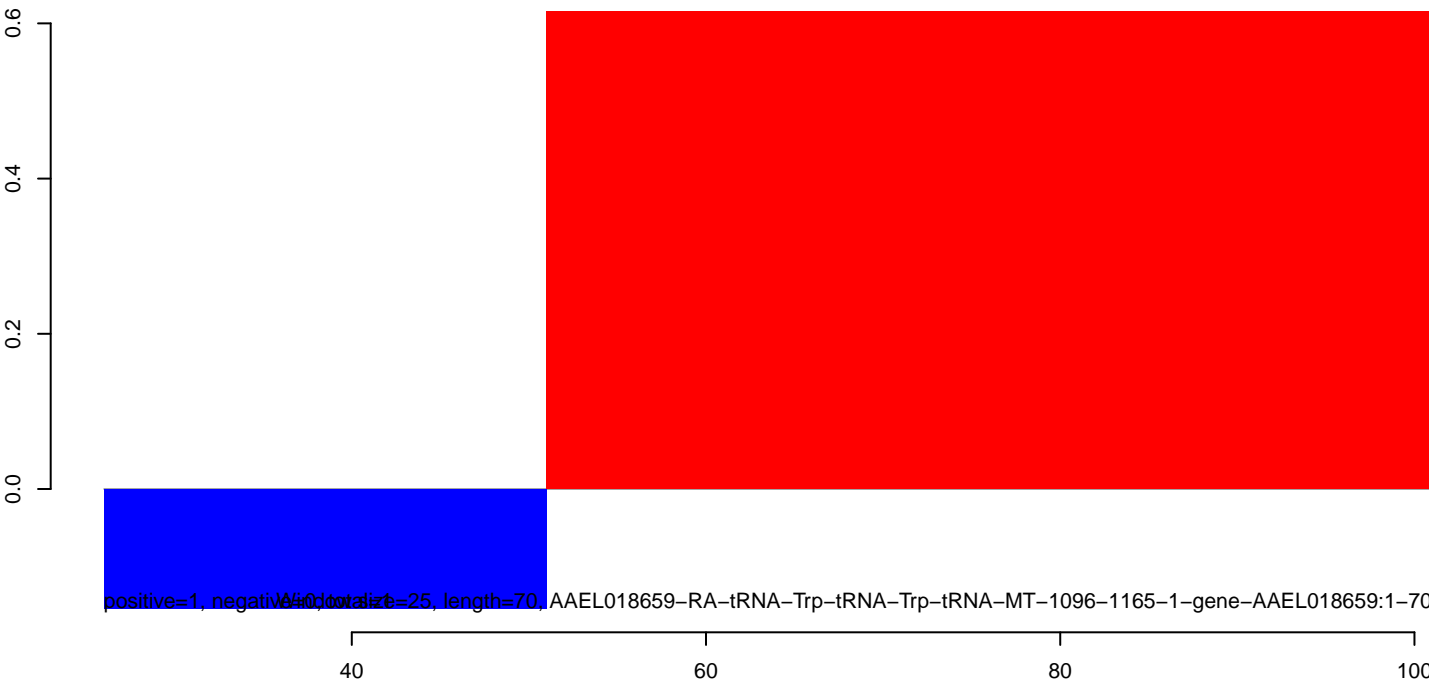
AeAlbo_C636_6dpi_SINV1.18_23.rep



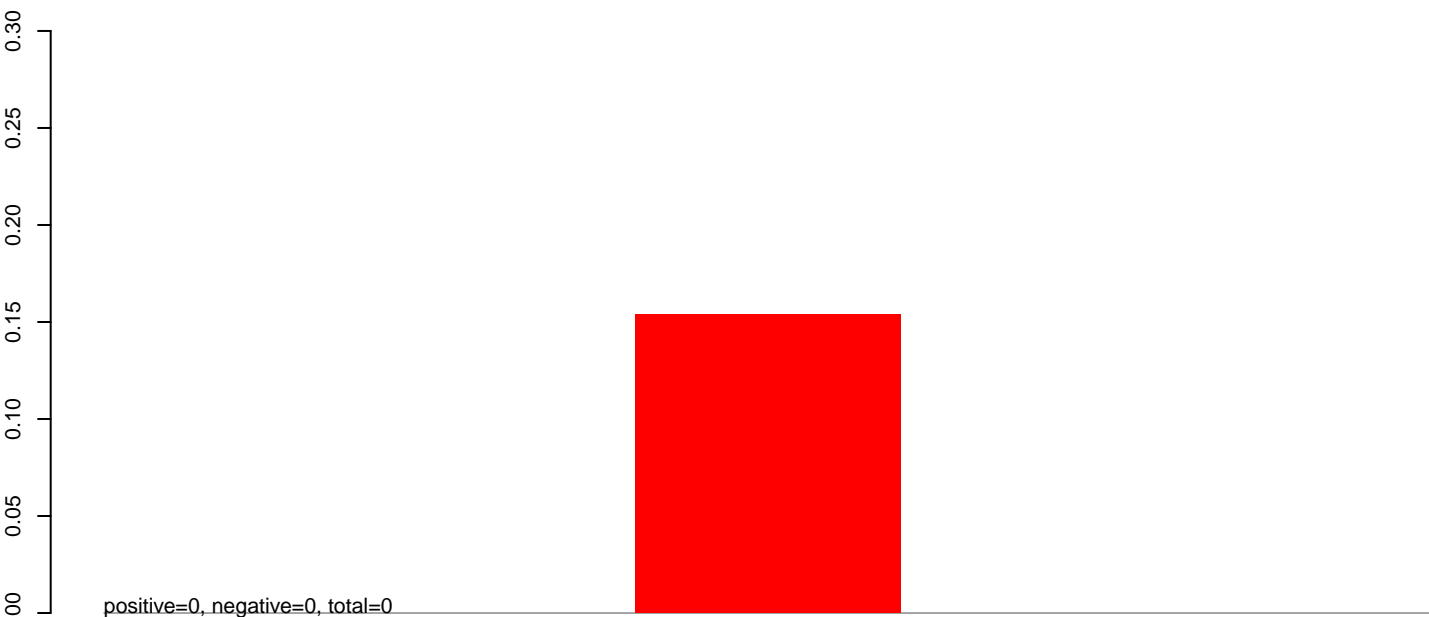
AeAlbo_C636_6dpi_SINV1.24_35.rep



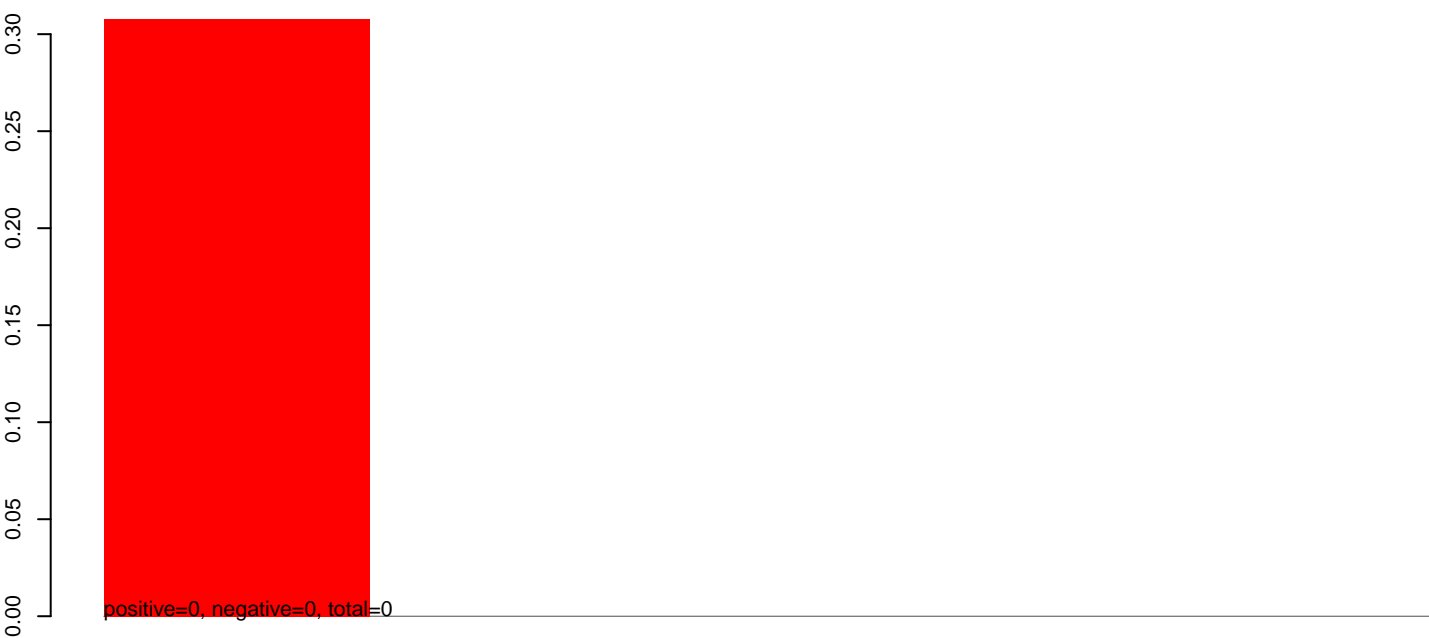
AeAlbo_C636_6dpi_SINV1.rep



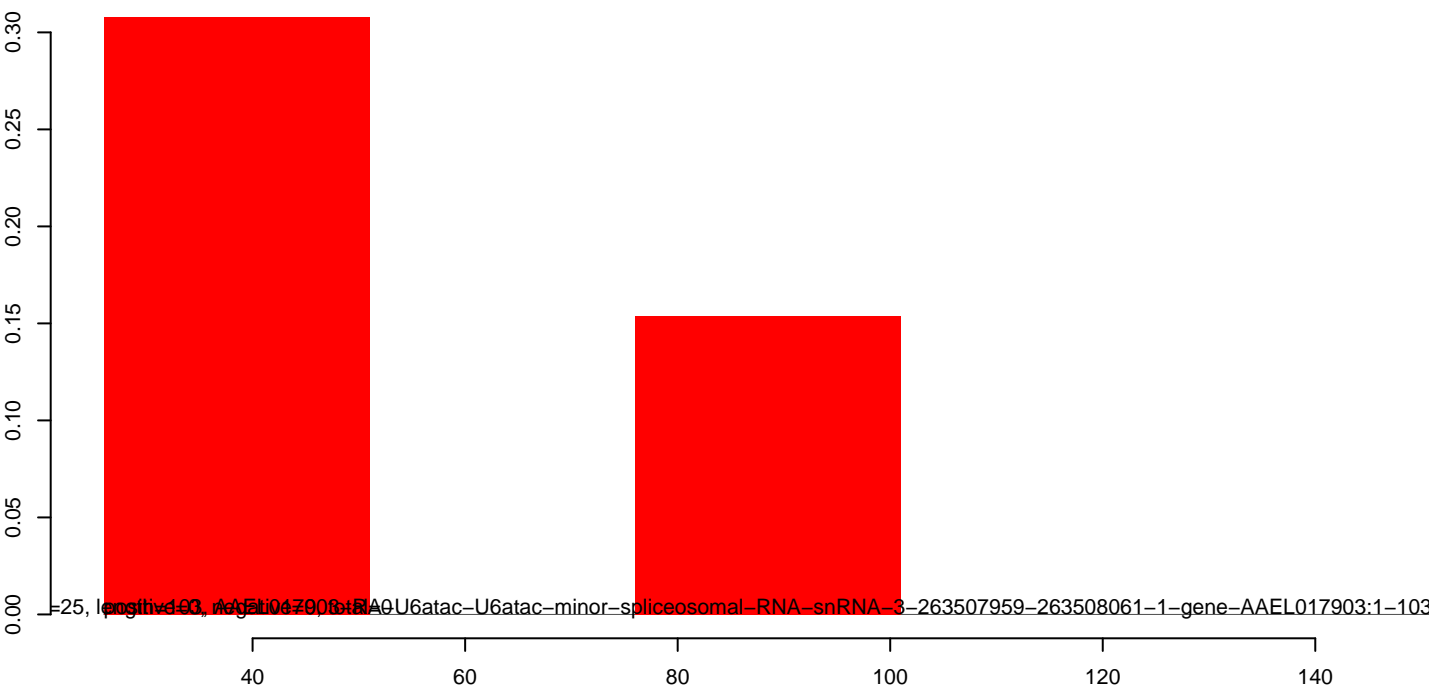
AeAlbo_C636_6dpi_SINV1.18_23.rep



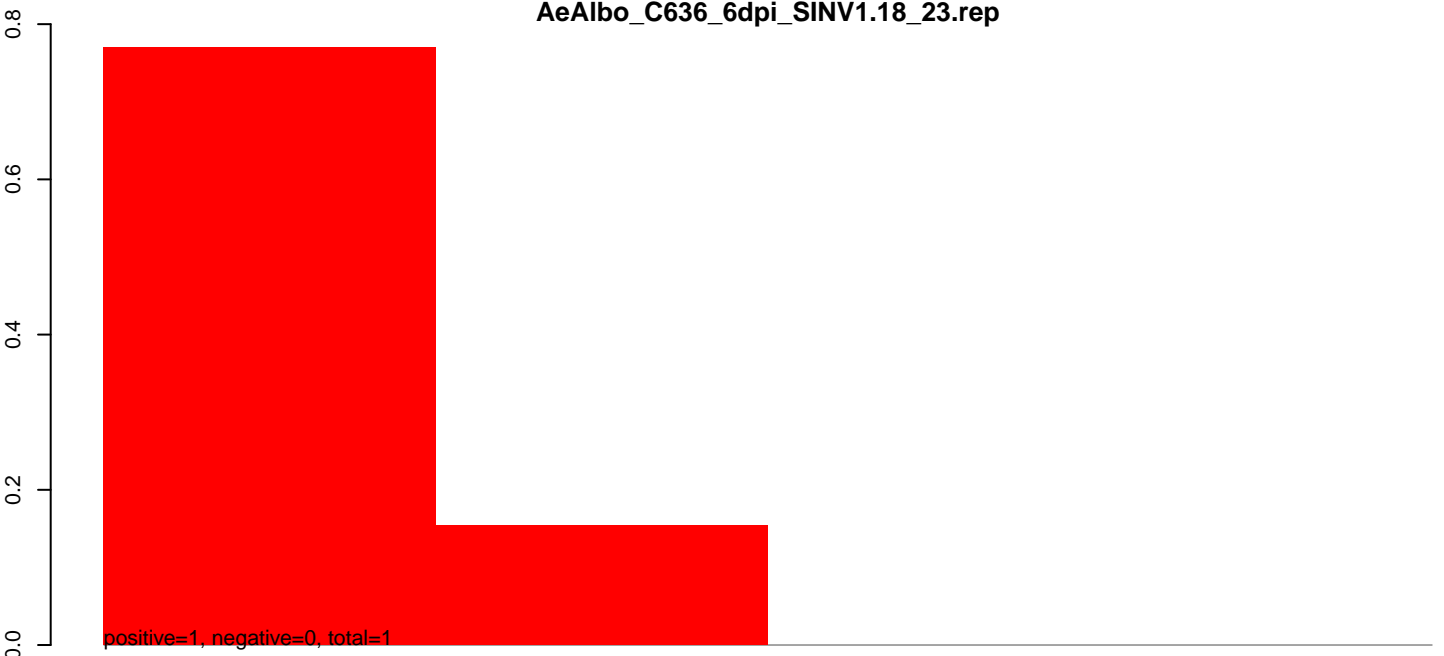
AeAlbo_C636_6dpi_SINV1.24_35.rep



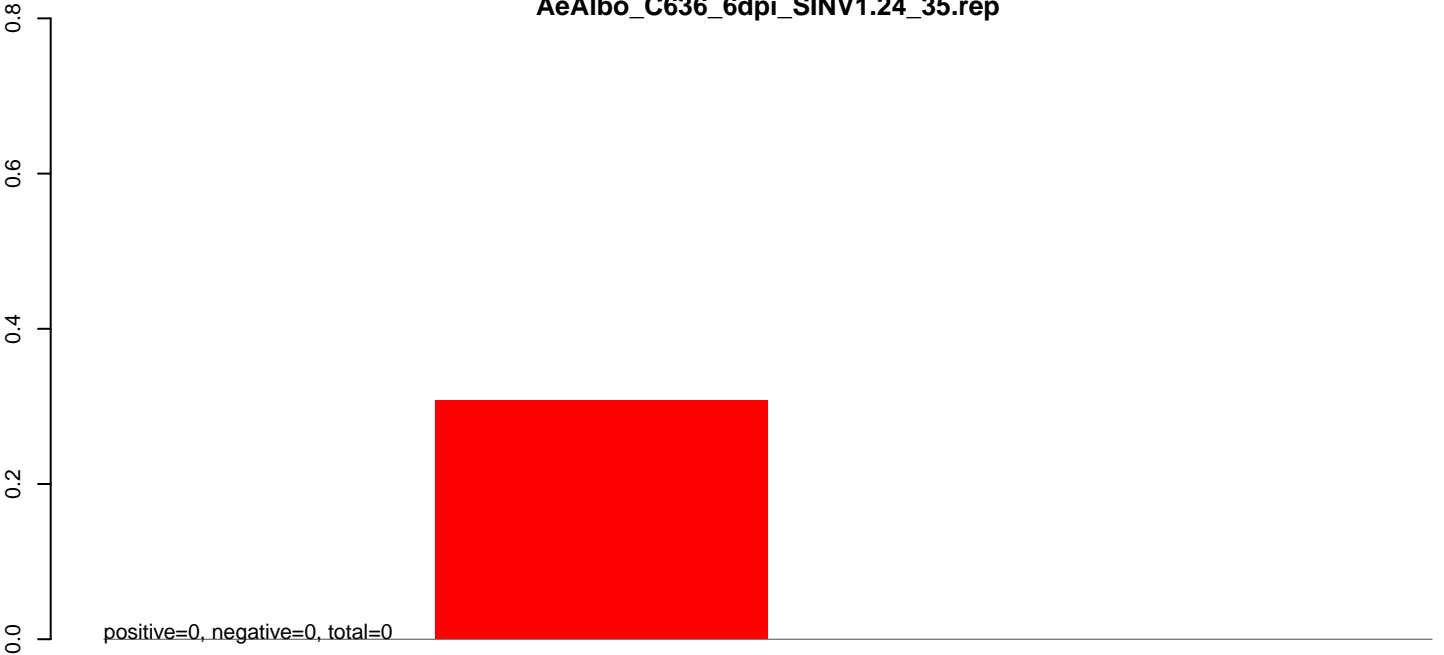
AeAlbo_C636_6dpi_SINV1.rep



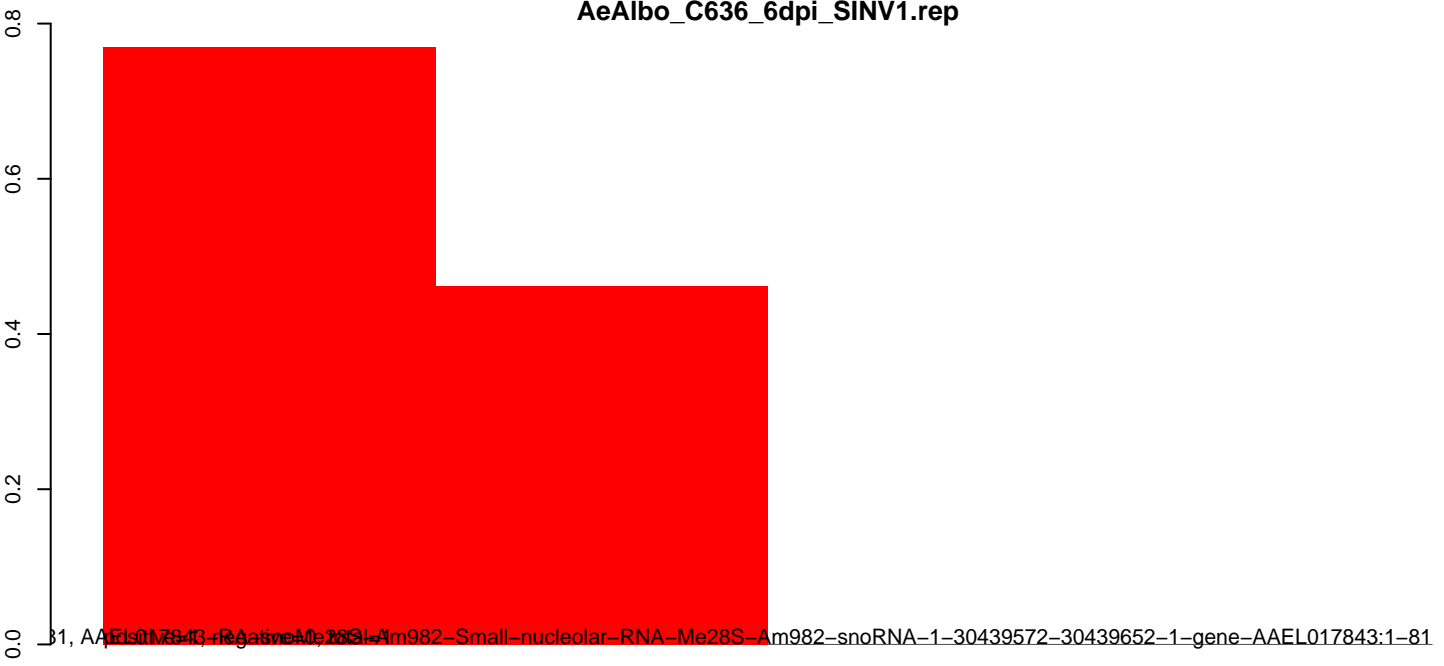
AeAlbo_C636_6dpi_SINV1.18_23.rep



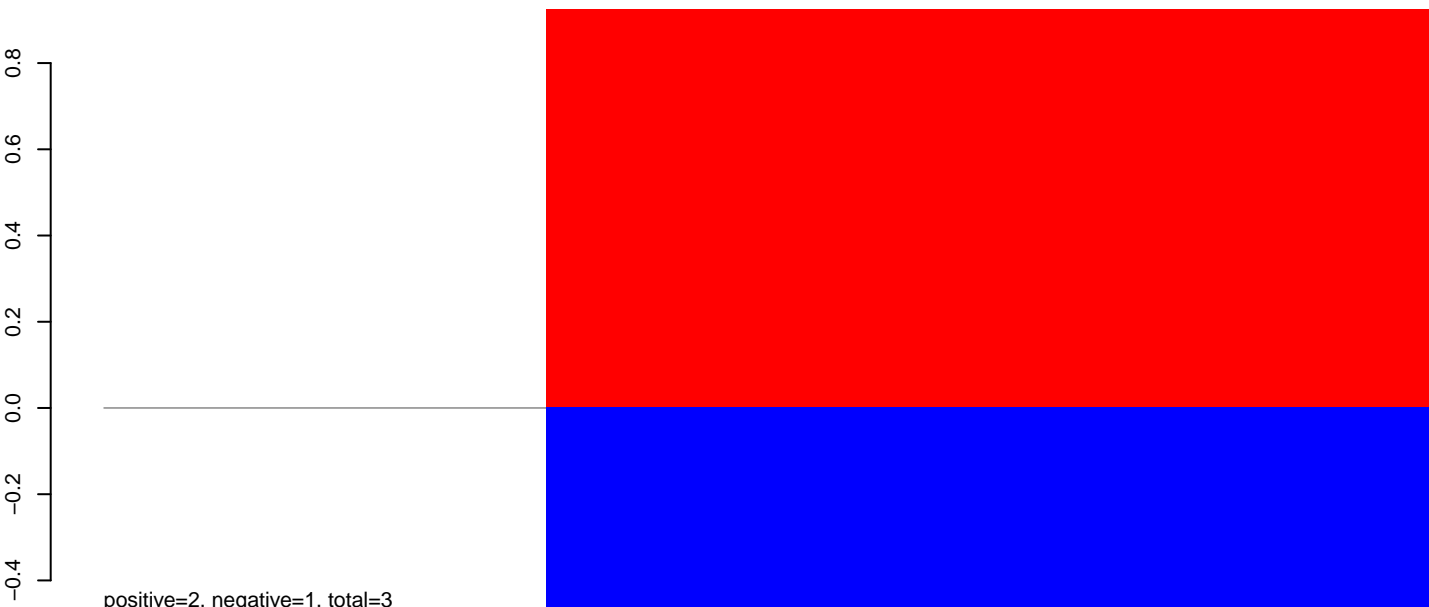
AeAlbo_C636_6dpi_SINV1.24_35.rep



AeAlbo_C636_6dpi_SINV1.rep

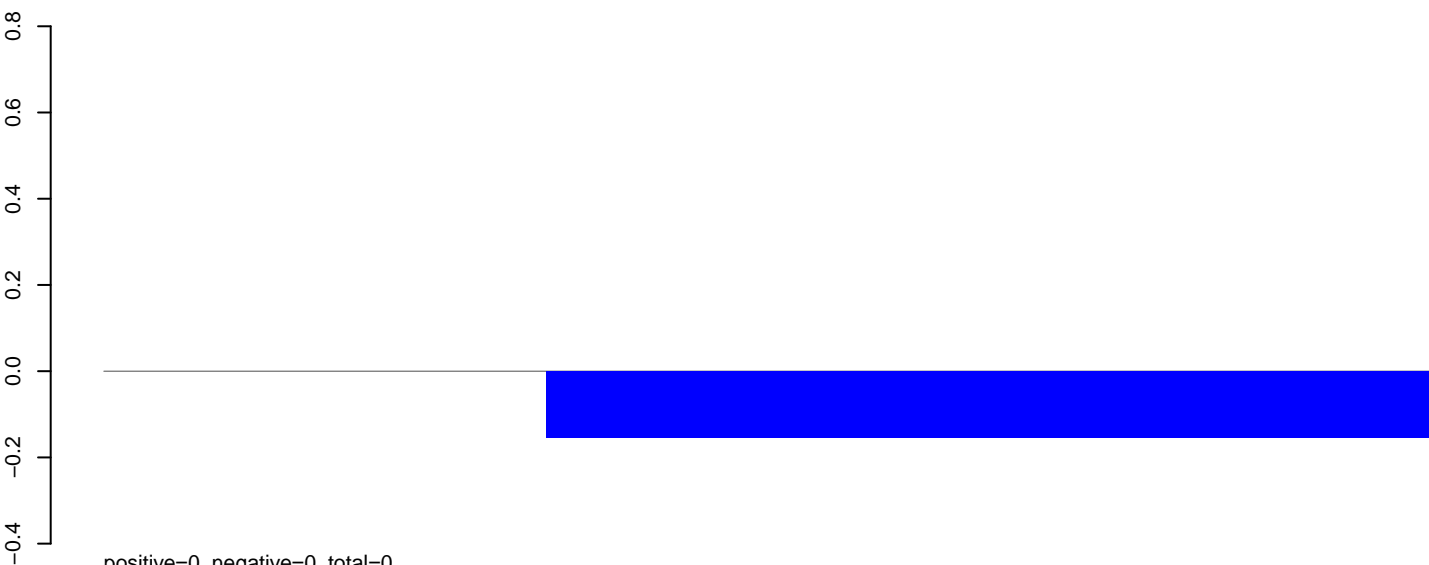


AeAlbo_C636_6dpi_SINV1.18_23.rep



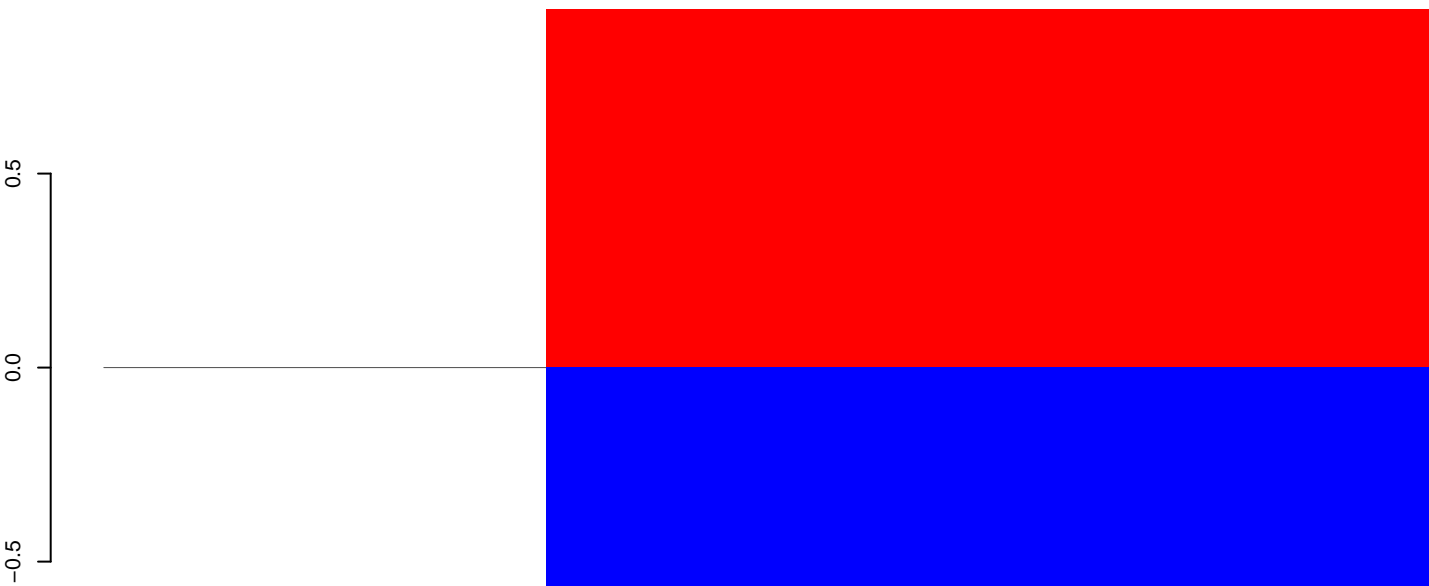
positive=2, negative=1, total=3

AeAlbo_C636_6dpi_SINV1.24_35.rep



positive=0, negative=0, total=0

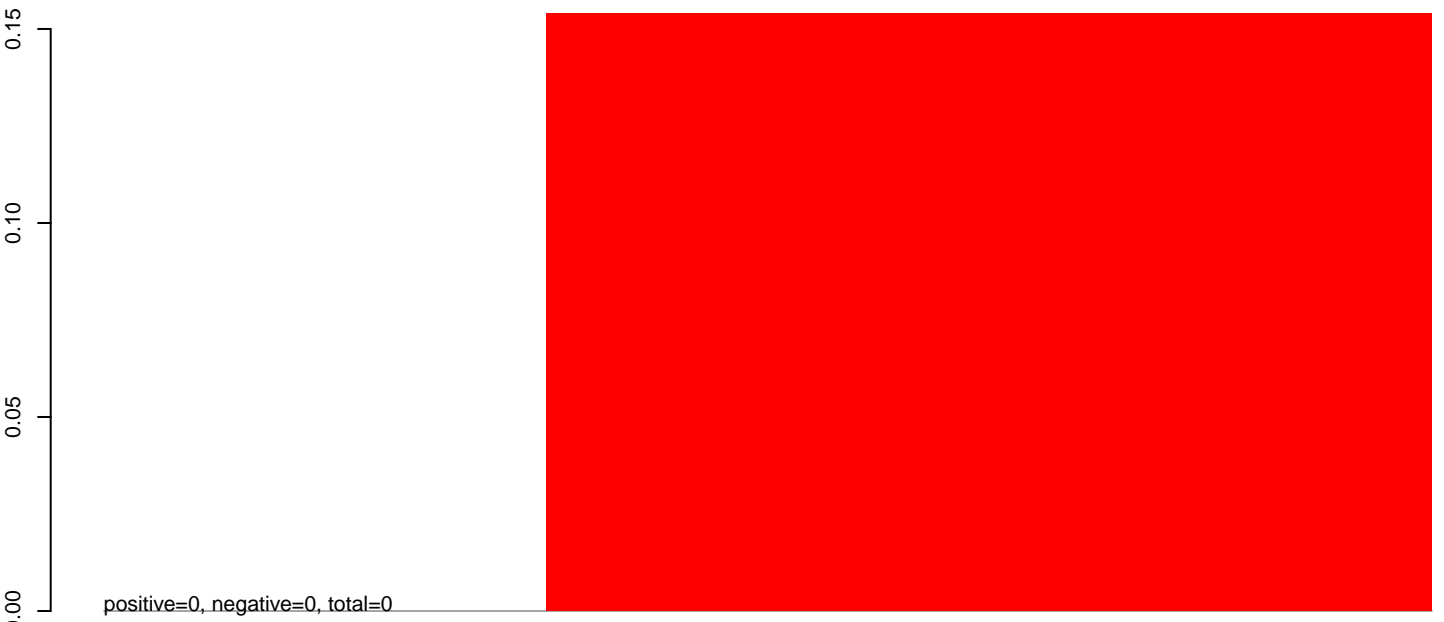
AeAlbo_C636_6dpi_SINV1.rep



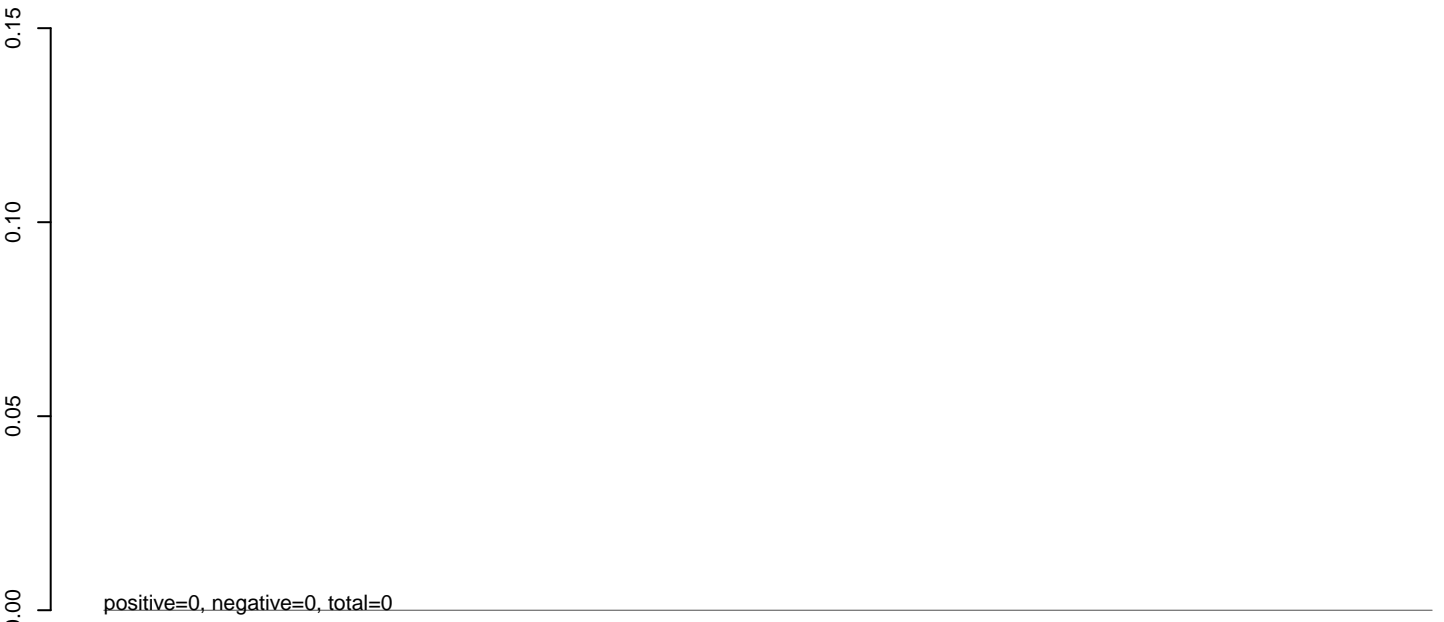
positive=2, negative=1, total=3 window size=25, length=71, ma41141-tRNA-MNAF02001503.1-1274217-1274287-1-gene-Trnat-ugu_4:1-71

40 60 80 100

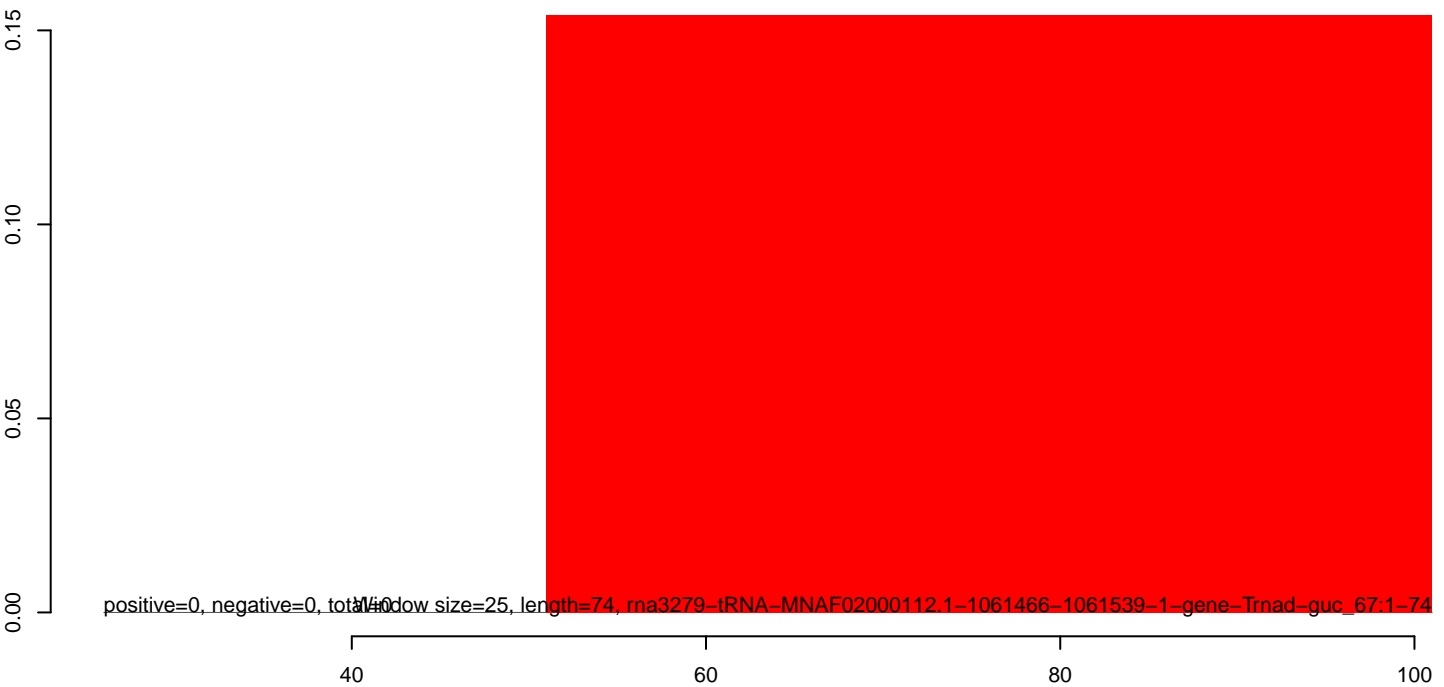
AeAlbo_C636_6dpi_SINV1.18_23.rep



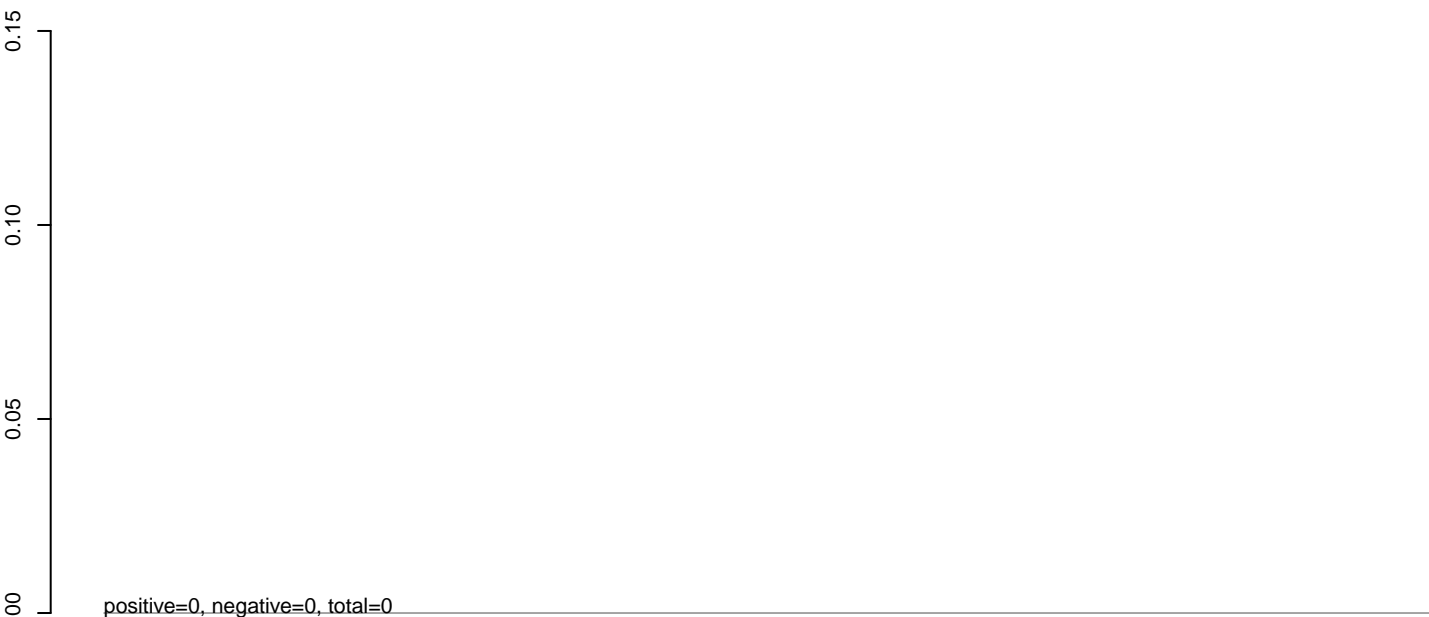
AeAlbo_C636_6dpi_SINV1.24_35.rep



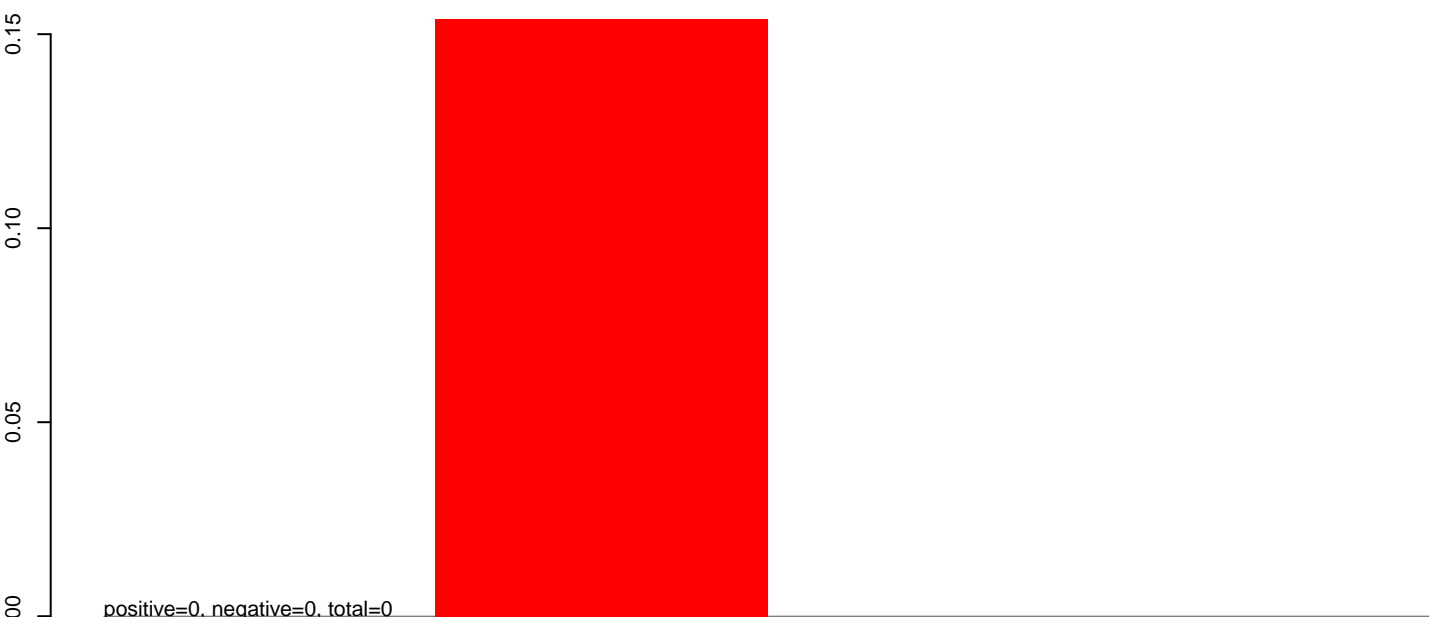
AeAlbo_C636_6dpi_SINV1.rep



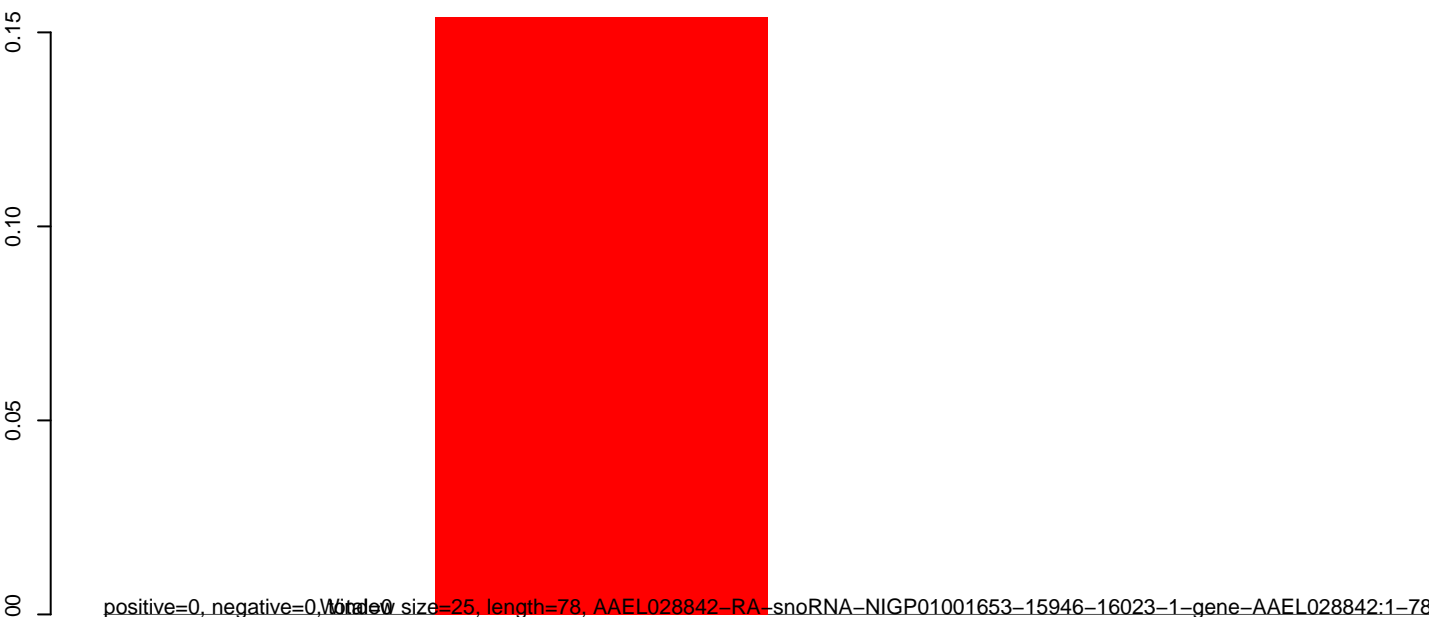
AeAlbo_C636_6dpi_SINV1.18_23.rep



AeAlbo_C636_6dpi_SINV1.24_35.rep



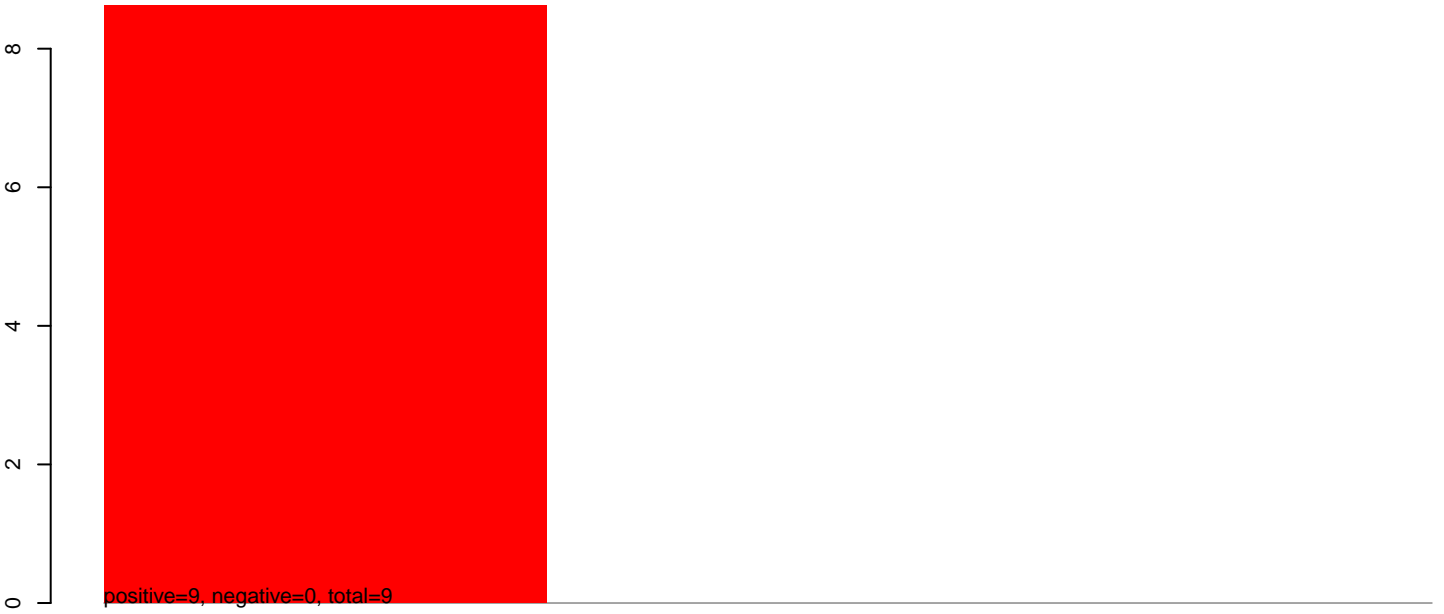
AeAlbo_C636_6dpi_SINV1.rep



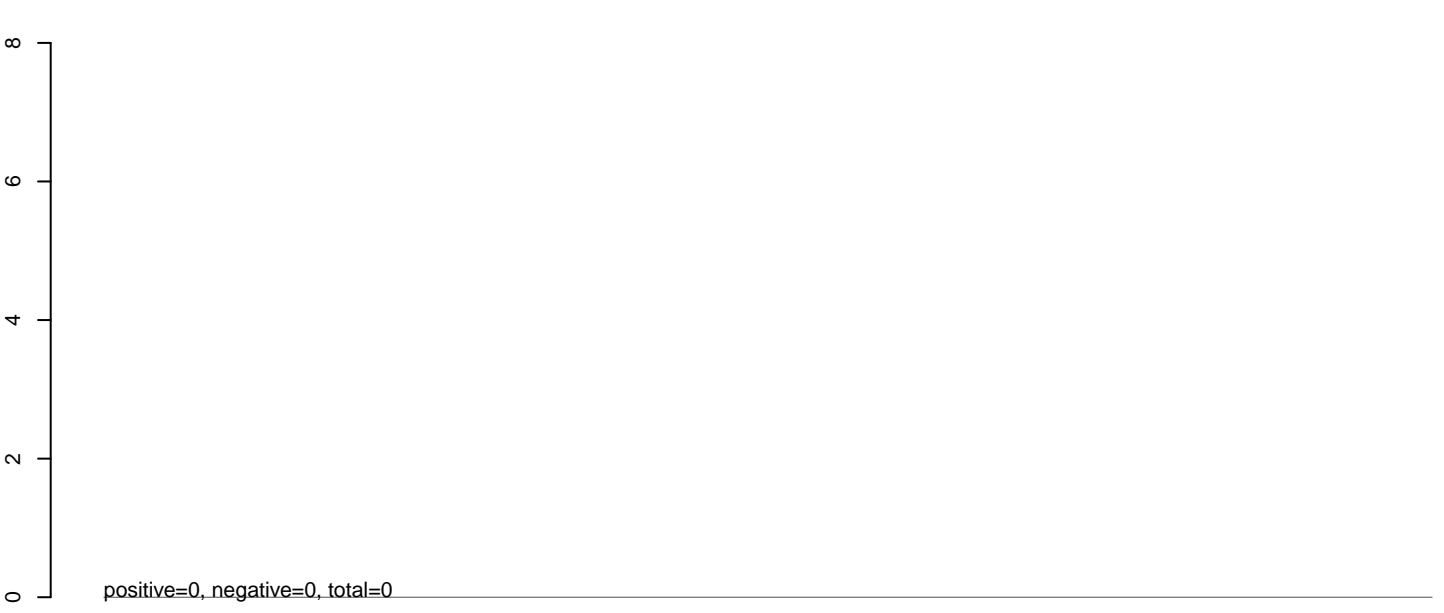
positive=0, negative=0, total=0, Window size=25, length=78, AAEL028842-RA-snoRNA-NIGP01001653-15946-16023-1-gene-AAEL028842:1-78

40 60 80 100 120

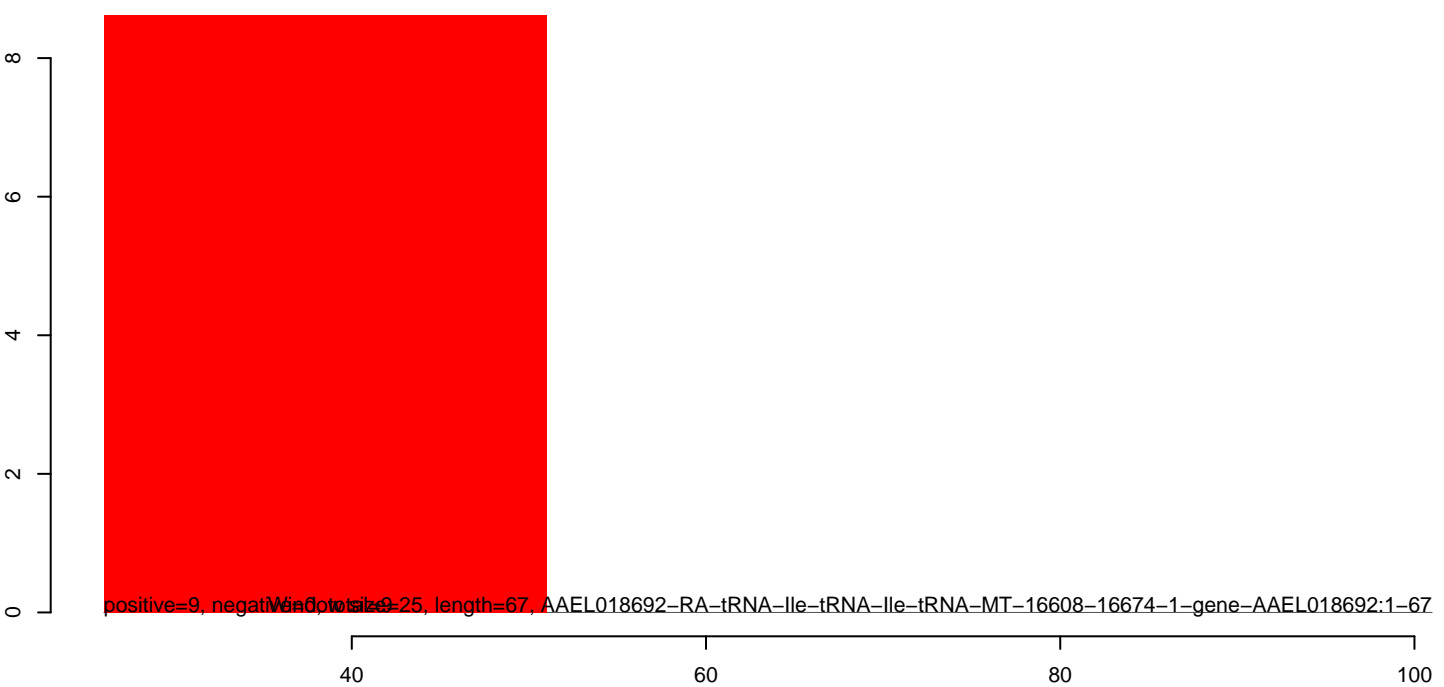
AeAlbo_C636_6dpi_SINV1.18_23.rep



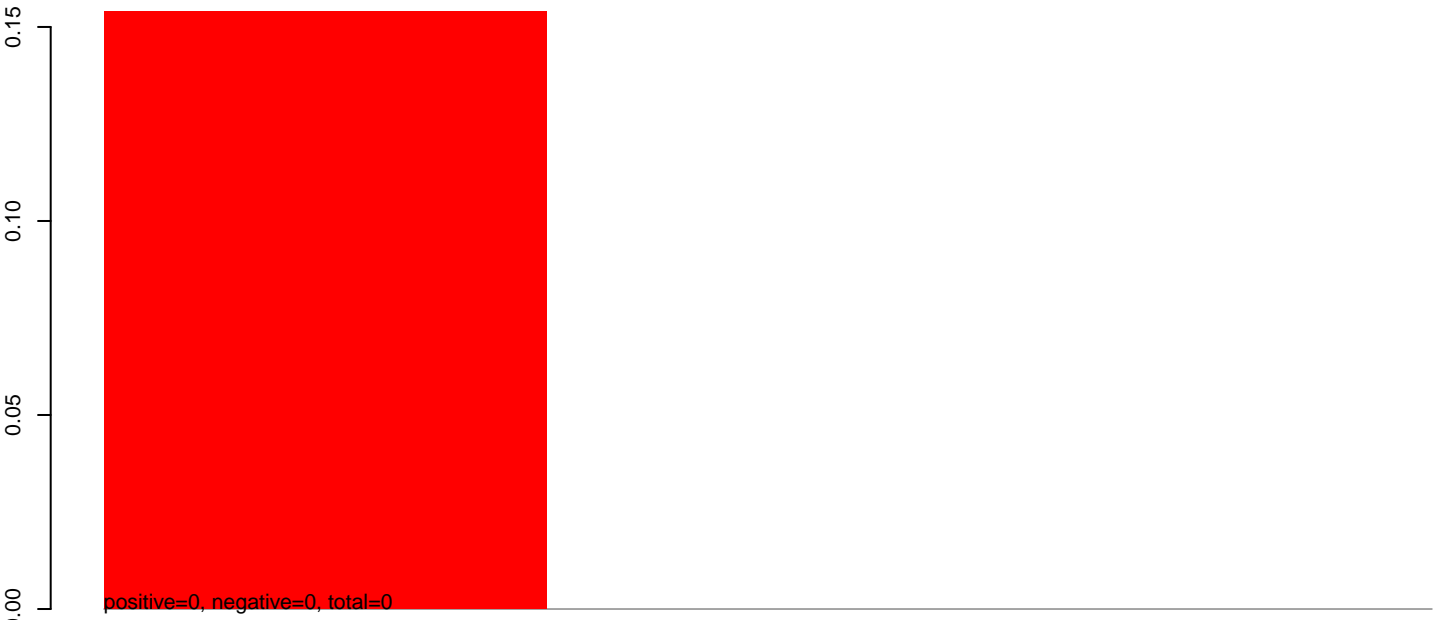
AeAlbo_C636_6dpi_SINV1.24_35.rep



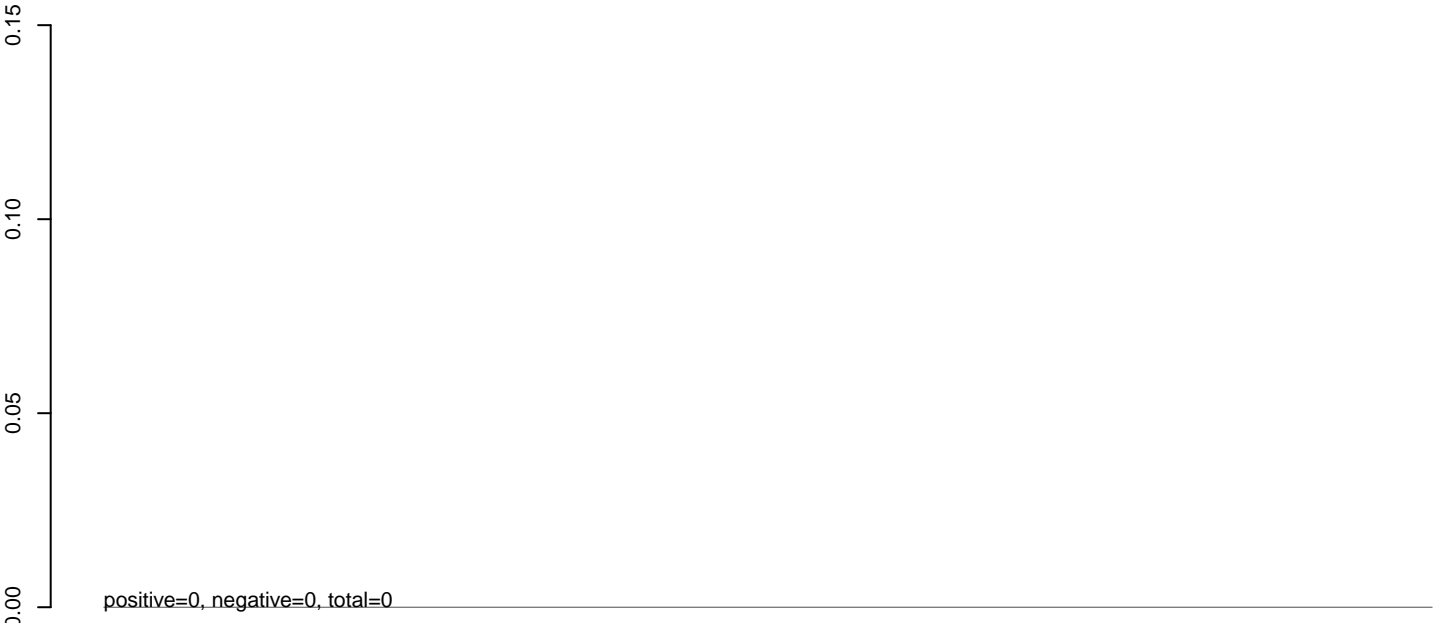
AeAlbo_C636_6dpi_SINV1.rep



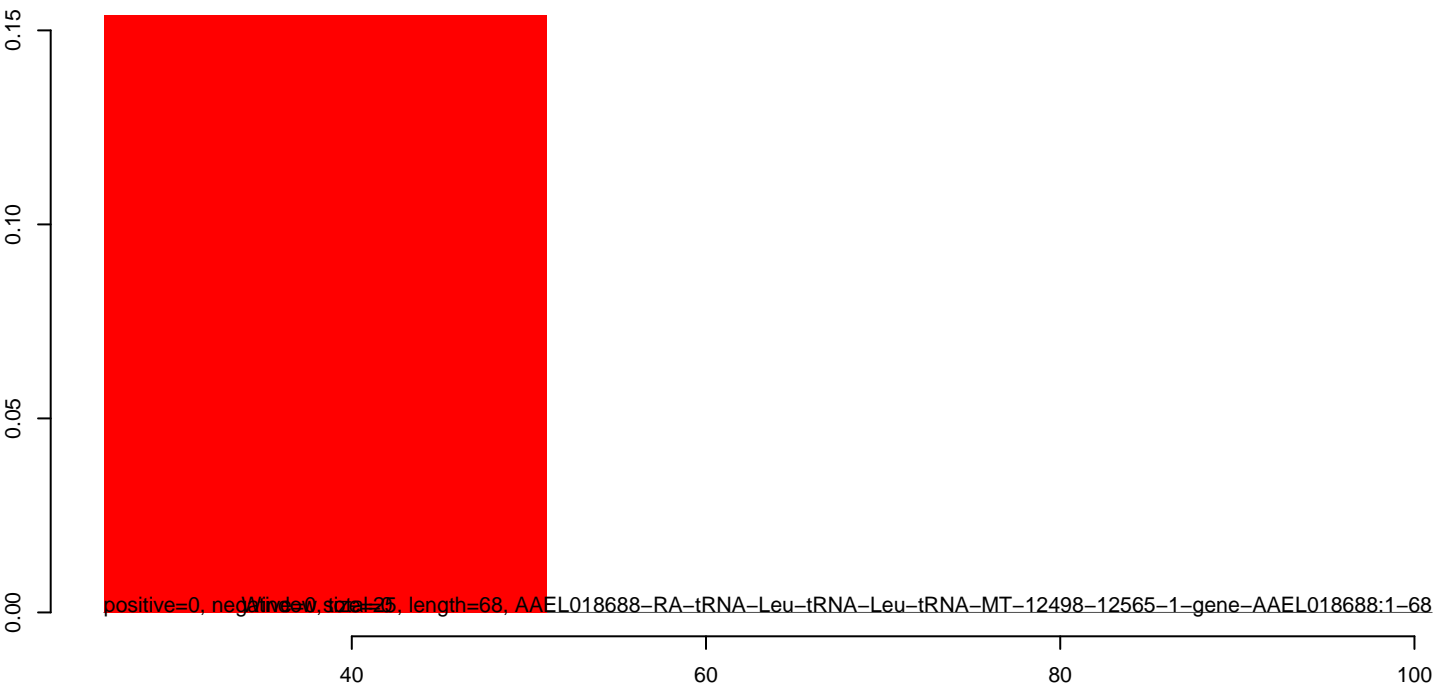
AeAlbo_C636_6dpi_SINV1.18_23.rep



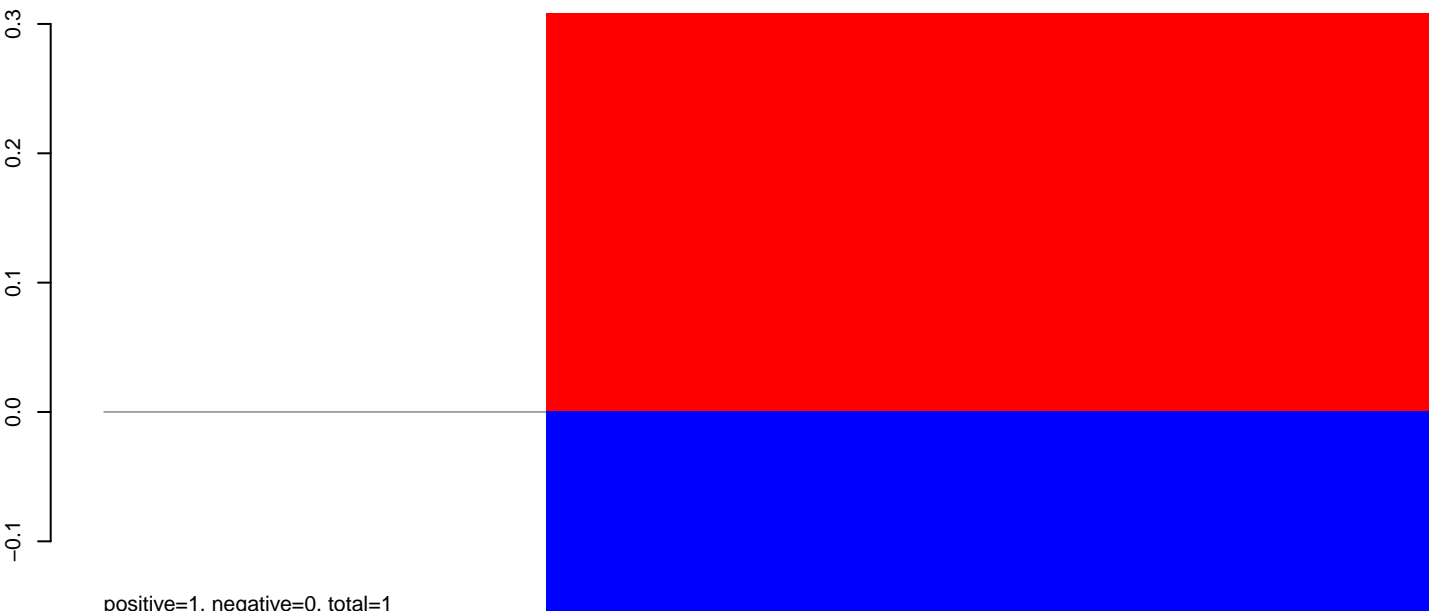
AeAlbo_C636_6dpi_SINV1.24_35.rep



AeAlbo_C636_6dpi_SINV1.rep



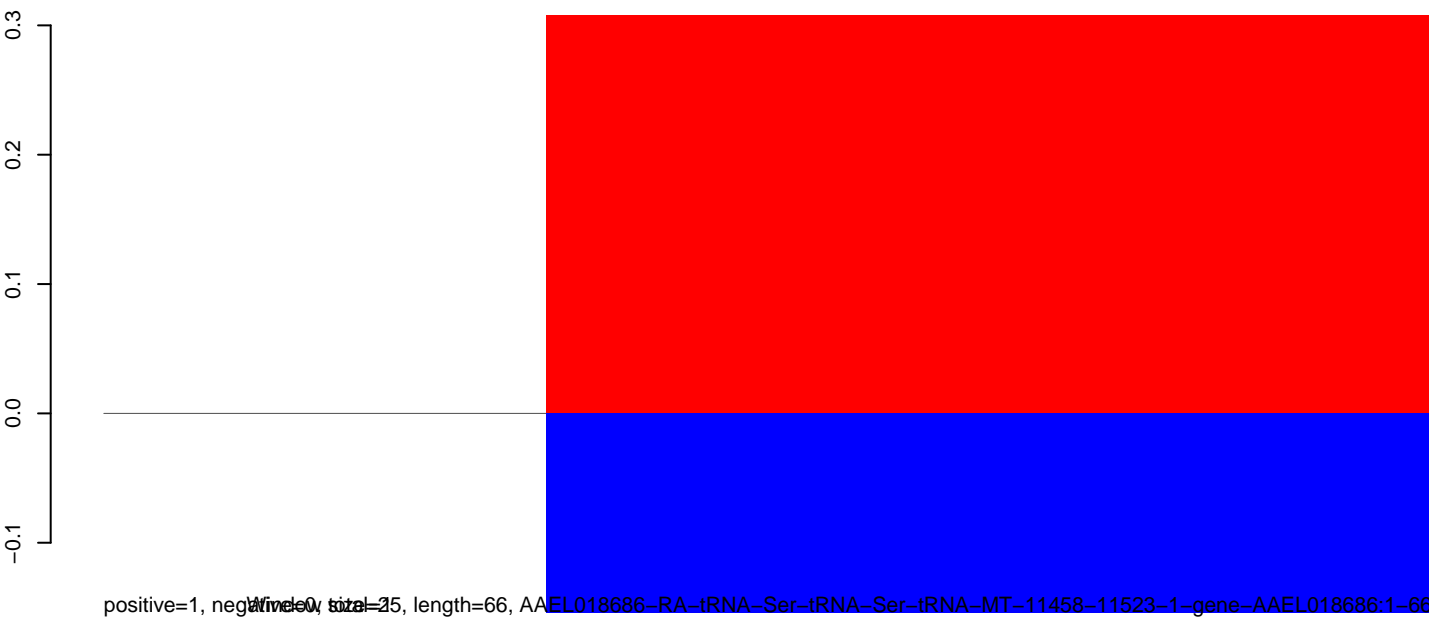
AeAlbo_C636_6dpi_SINV1.18_23.rep



AeAlbo_C636_6dpi_SINV1.24_35.rep



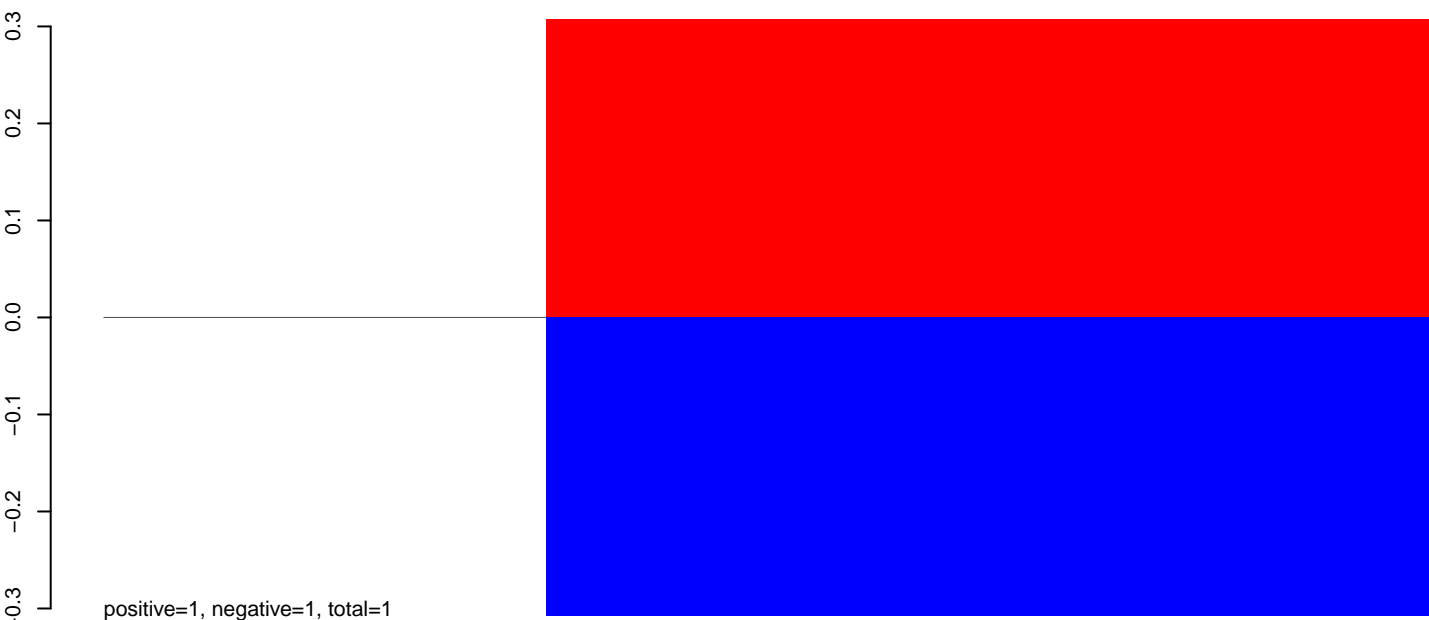
AeAlbo_C636_6dpi_SINV1.rep



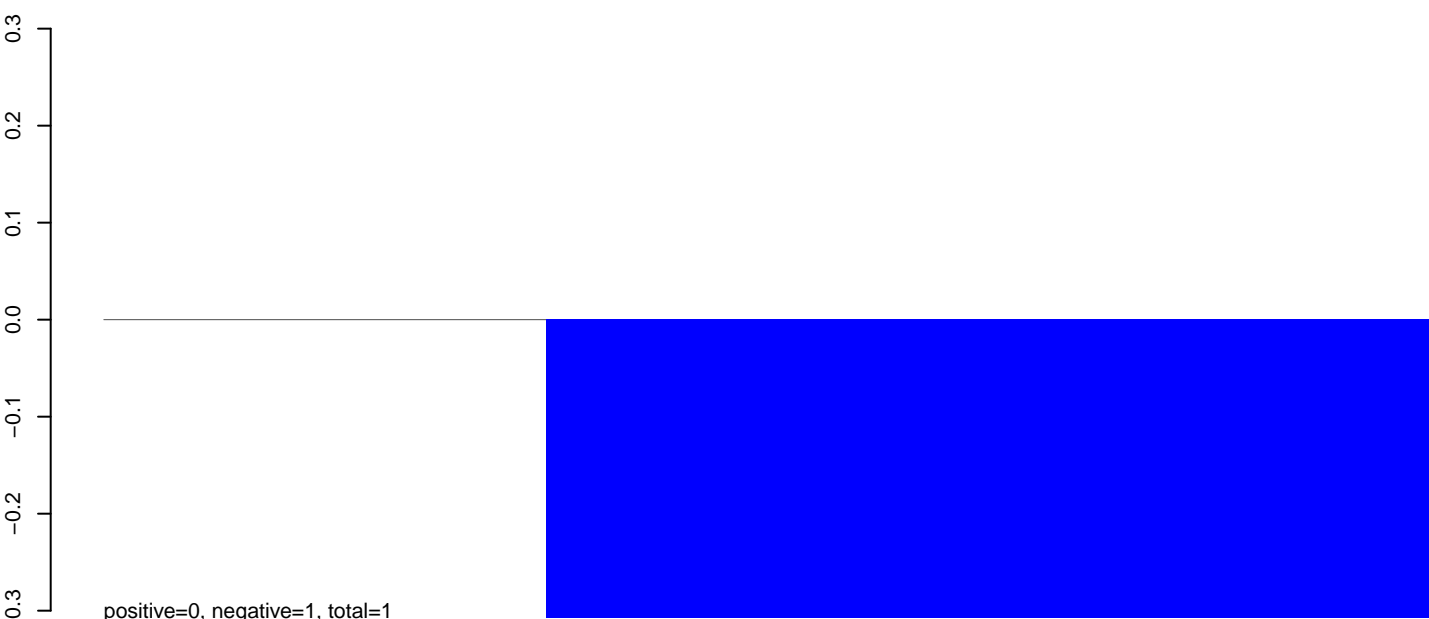
Window size=25, length=66, AAEL018686-RA-tRNA-Ser-tRNA-Ser-tRNA-MT-11458-11523-1-gene-AAEL018686-1-66

40 60 80 100

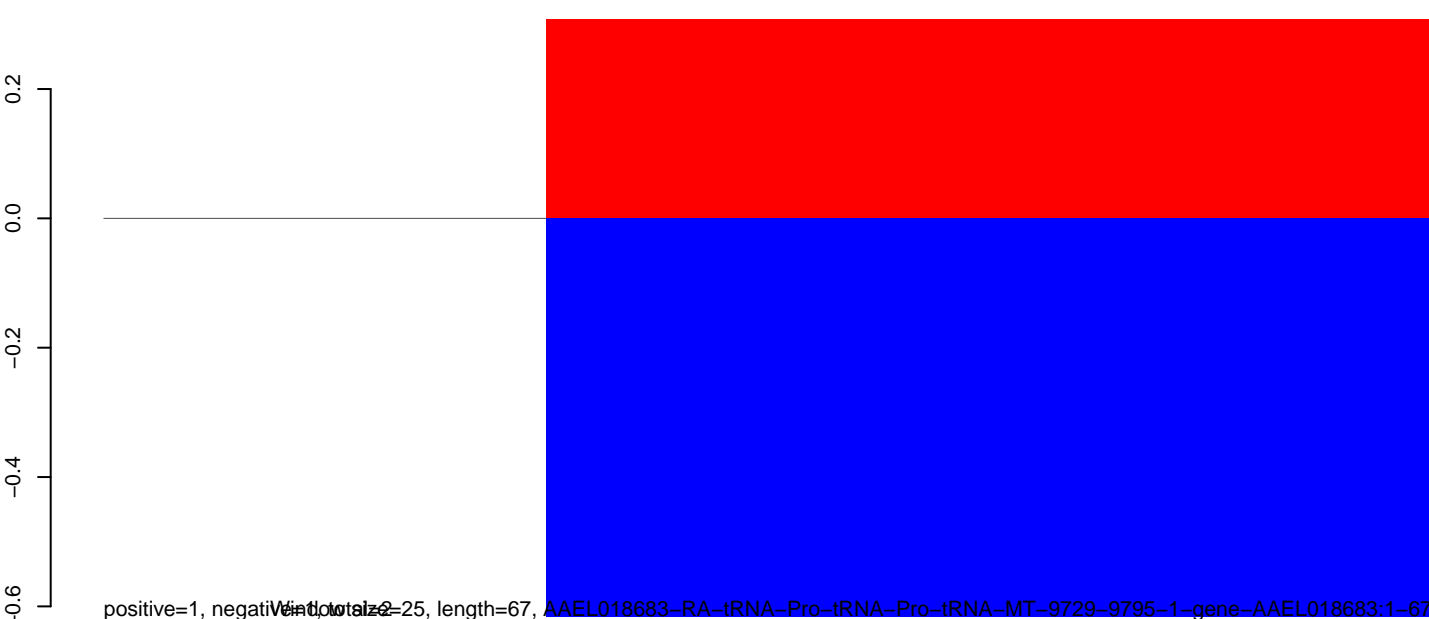
AeAlbo_C636_6dpi_SINV1.18_23.rep



AeAlbo_C636_6dpi_SINV1.24_35.rep



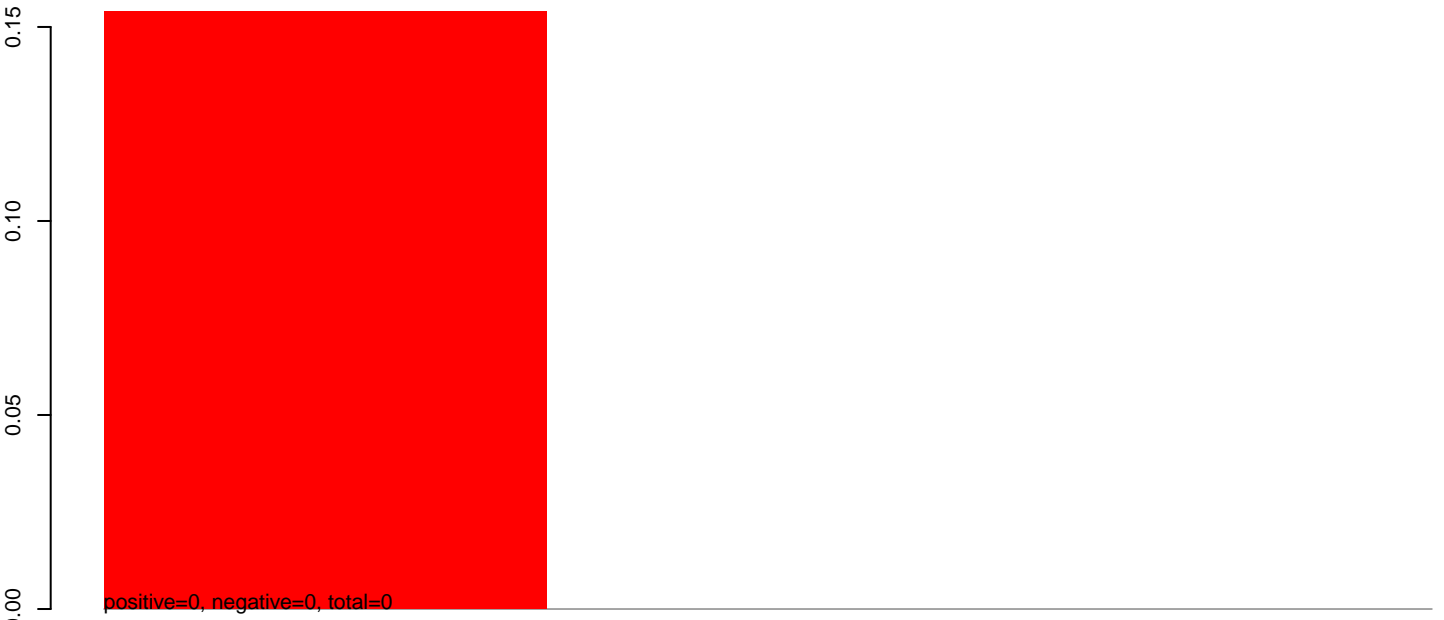
AeAlbo_C636_6dpi_SINV1.rep



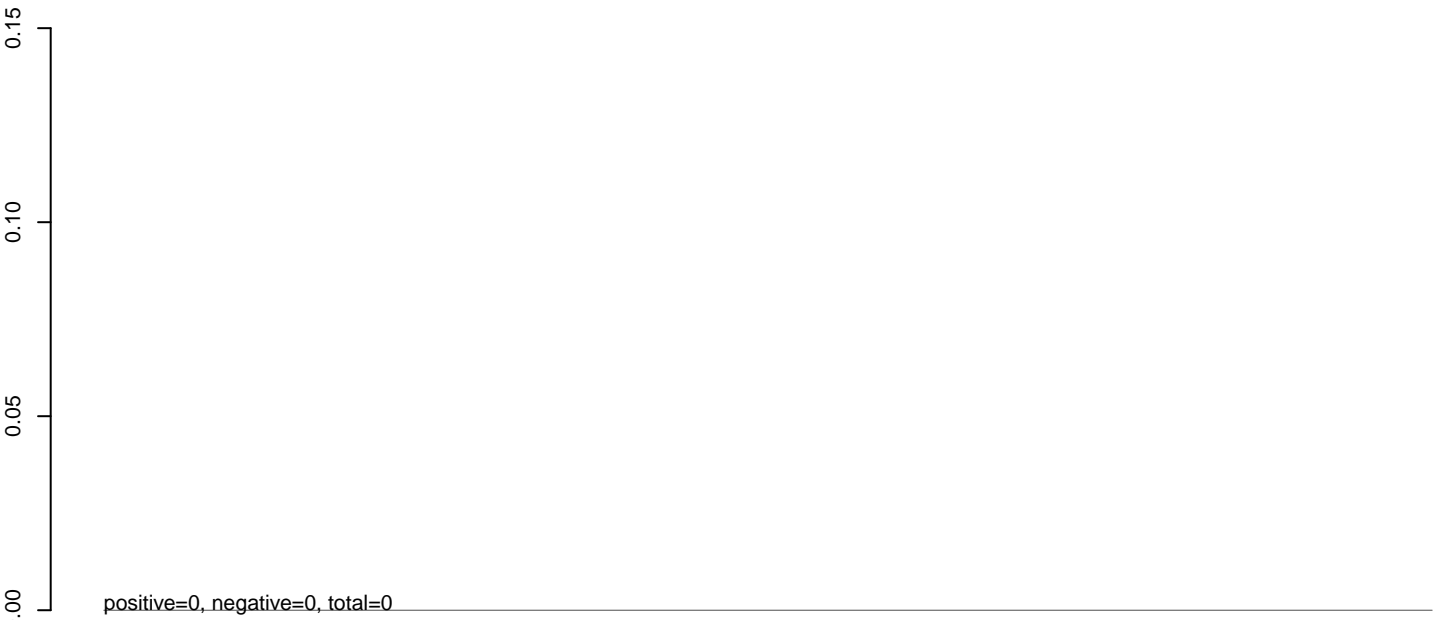
Window size=25, length=67, AAEL018683-RA-tRNA-Pro-tRNA-Pro-tRNA-MT-9729-9795-1-gene-AAEL018683:1-67

40 60 80 100

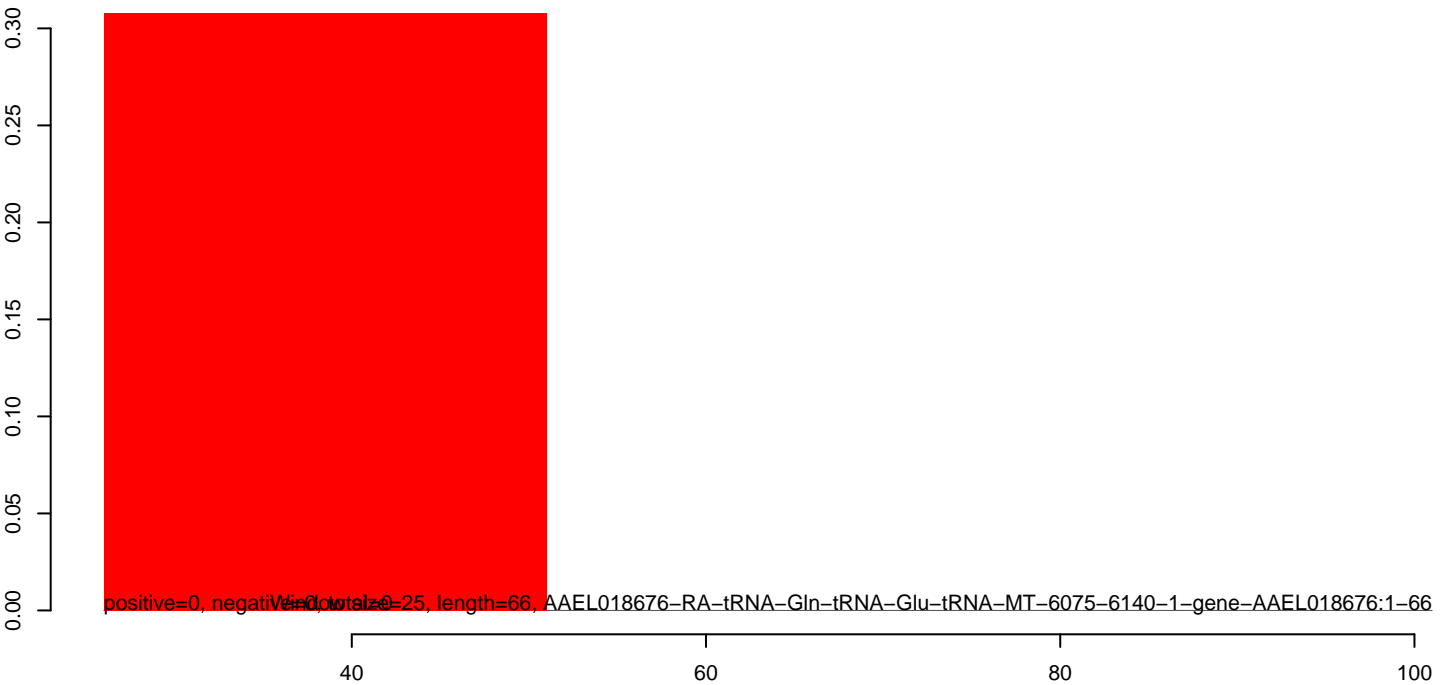
AeAlbo_C636_6dpi_SINV1.18_23.rep



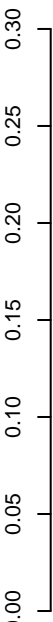
AeAlbo_C636_6dpi_SINV1.24_35.rep



AeAlbo_C636_6dpi_SINV1.rep

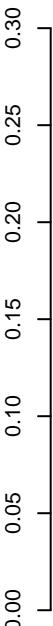


AeAlbo_C636_6dpi_SINV1.18_23.rep



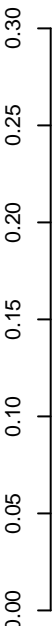
positive=0, negative=0, total=0

AeAlbo_C636_6dpi_SINV1.24_35.rep

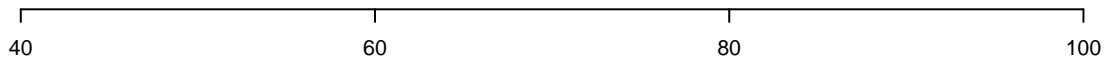


positive=0, negative=0, total=0

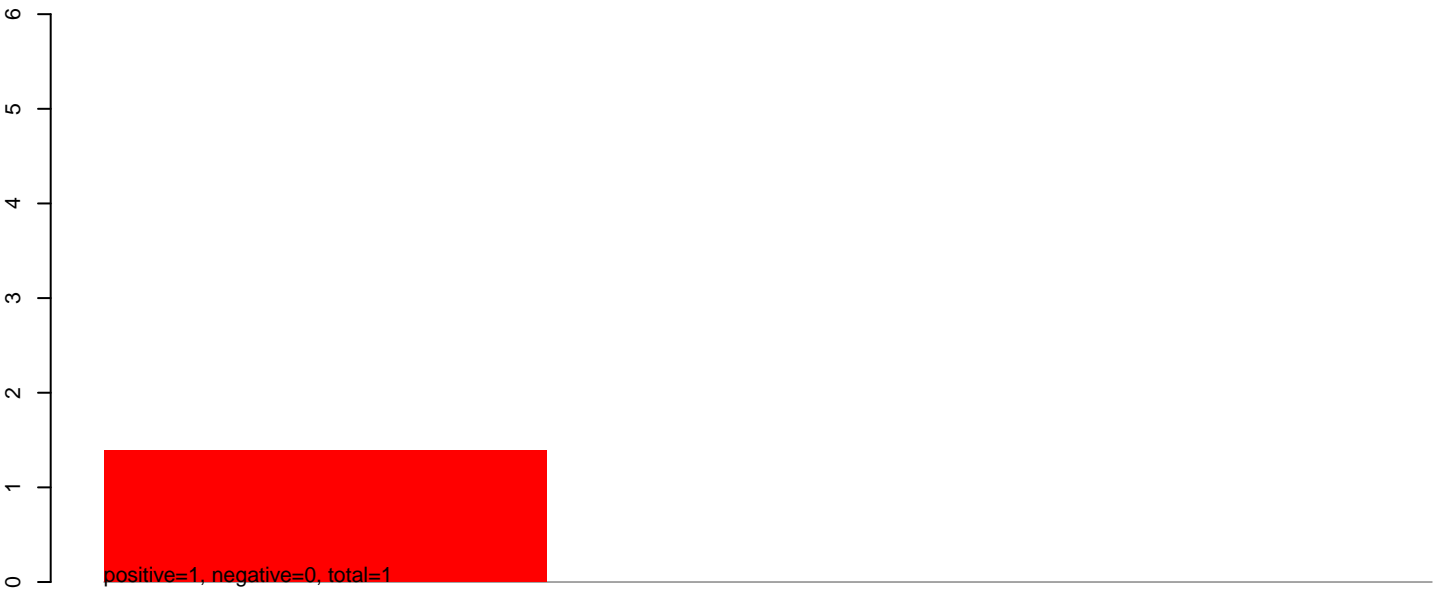
AeAlbo_C636_6dpi_SINV1.rep



positive=0, negative=0, total=25, length=69, AAEL018673-RA-tRNA-Ala-tRNA-Ala-tRNA-MT-5855-5923-1-gene-AAEL018673:1-69



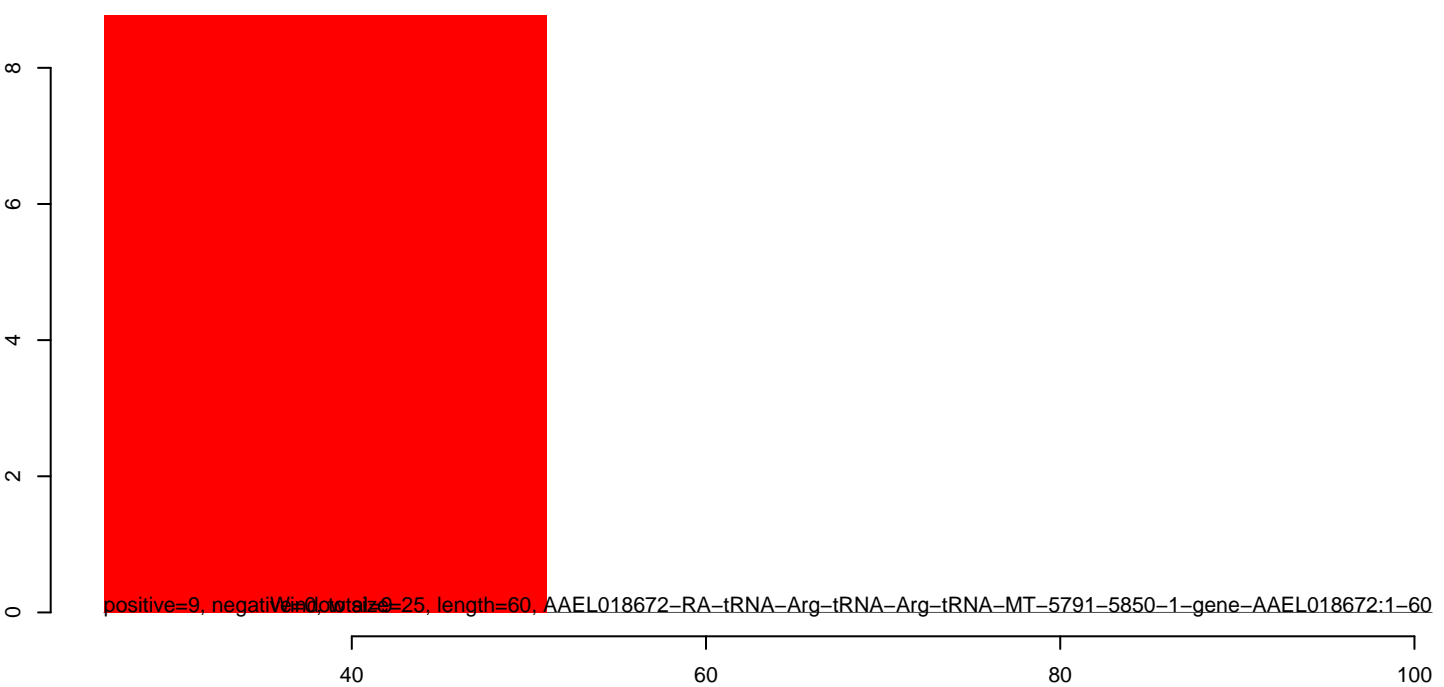
AeAlbo_C636_6dpi_SINV1.18_23.rep



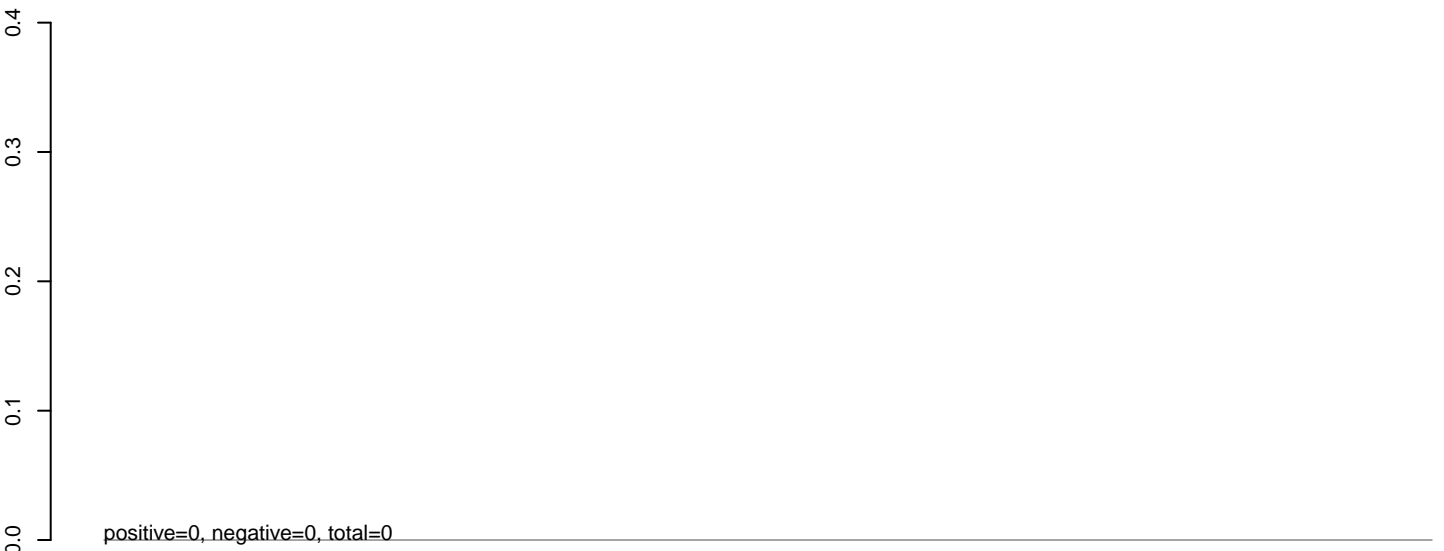
AeAlbo_C636_6dpi_SINV1.24_35.rep



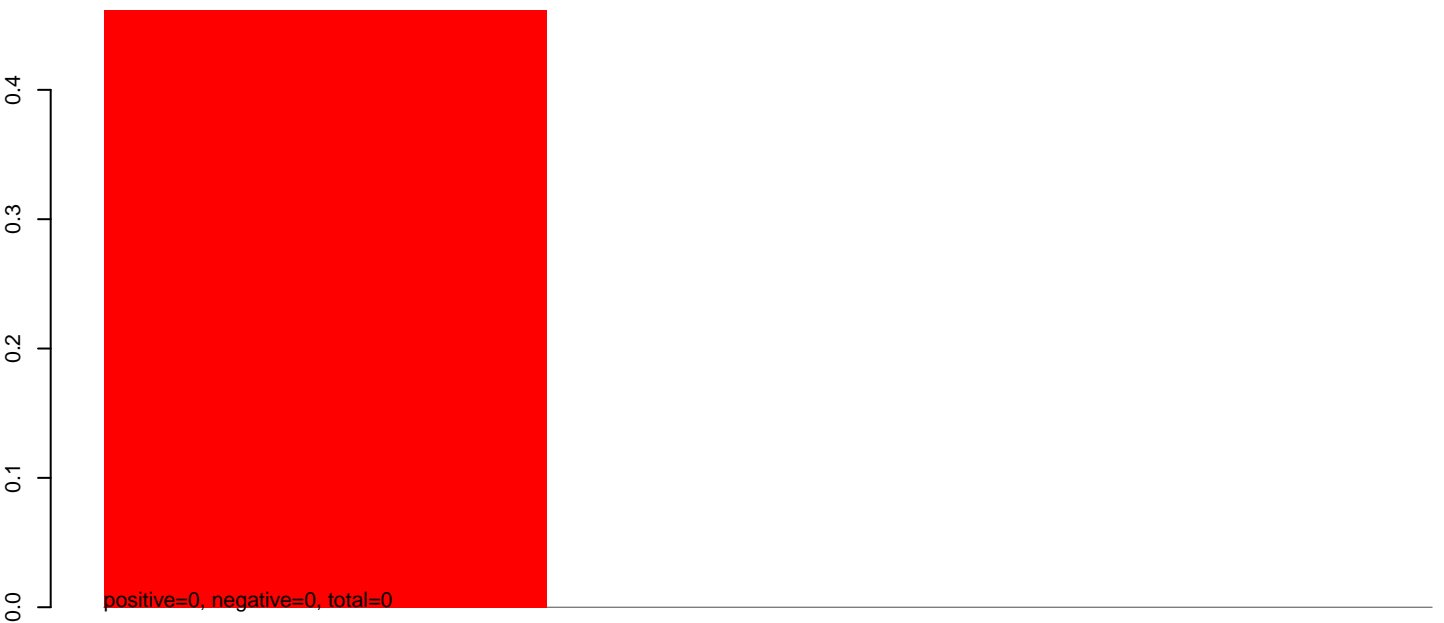
AeAlbo_C636_6dpi_SINV1.rep



AeAlbo_C636_6dpi_SINV1.18_23.rep



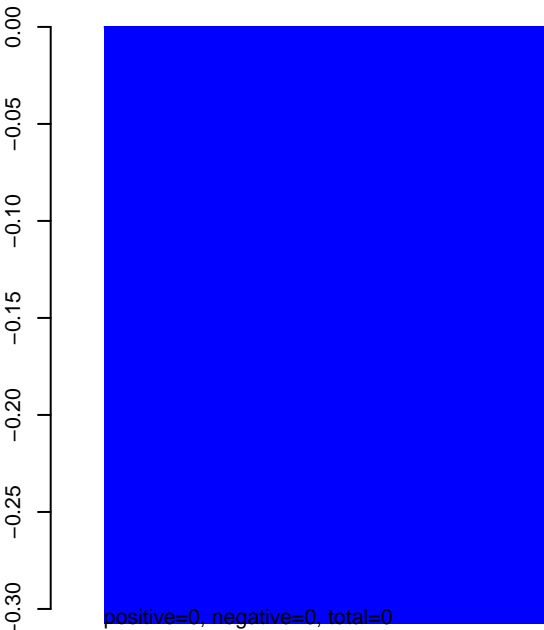
AeAlbo_C636_6dpi_SINV1.24_35.rep



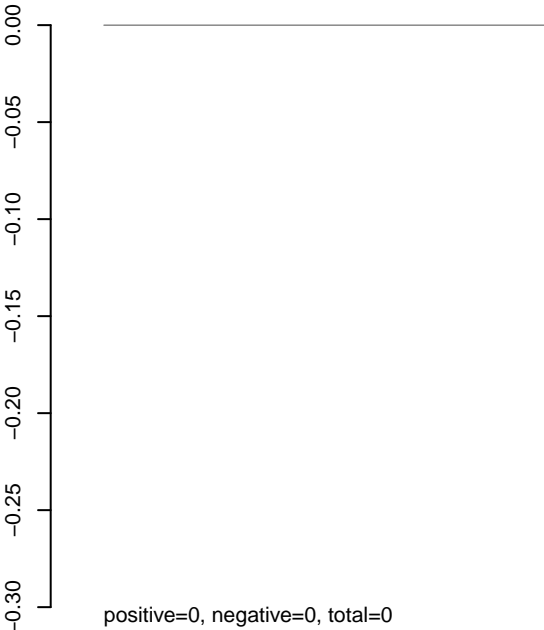
AeAlbo_C636_6dpi_SINV1.rep



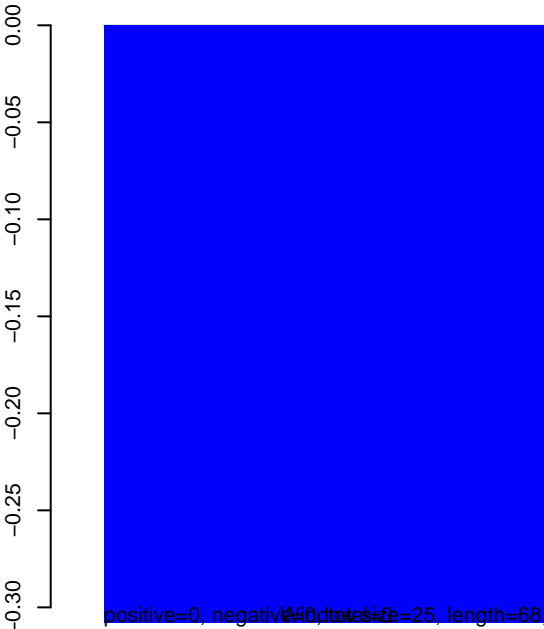
AeAlbo_C636_6dpi_SINV1.18_23.rep



AeAlbo_C636_6dpi_SINV1.24_35.rep



AeAlbo_C636_6dpi_SINV1.rep



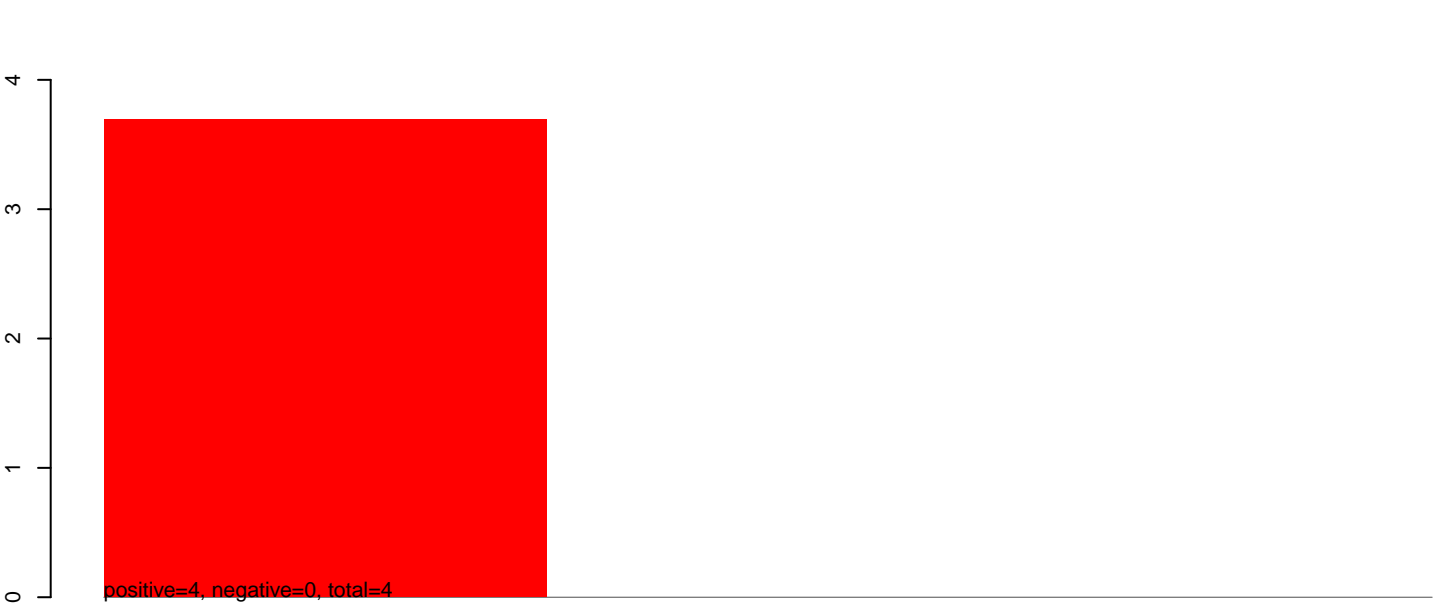
AAEL018661-RA-tRNA-Tyr-tRNA-Tyr-tRNA-MT-1232-1299-1-gene-AAEL018661:1-68

40 60 80 100

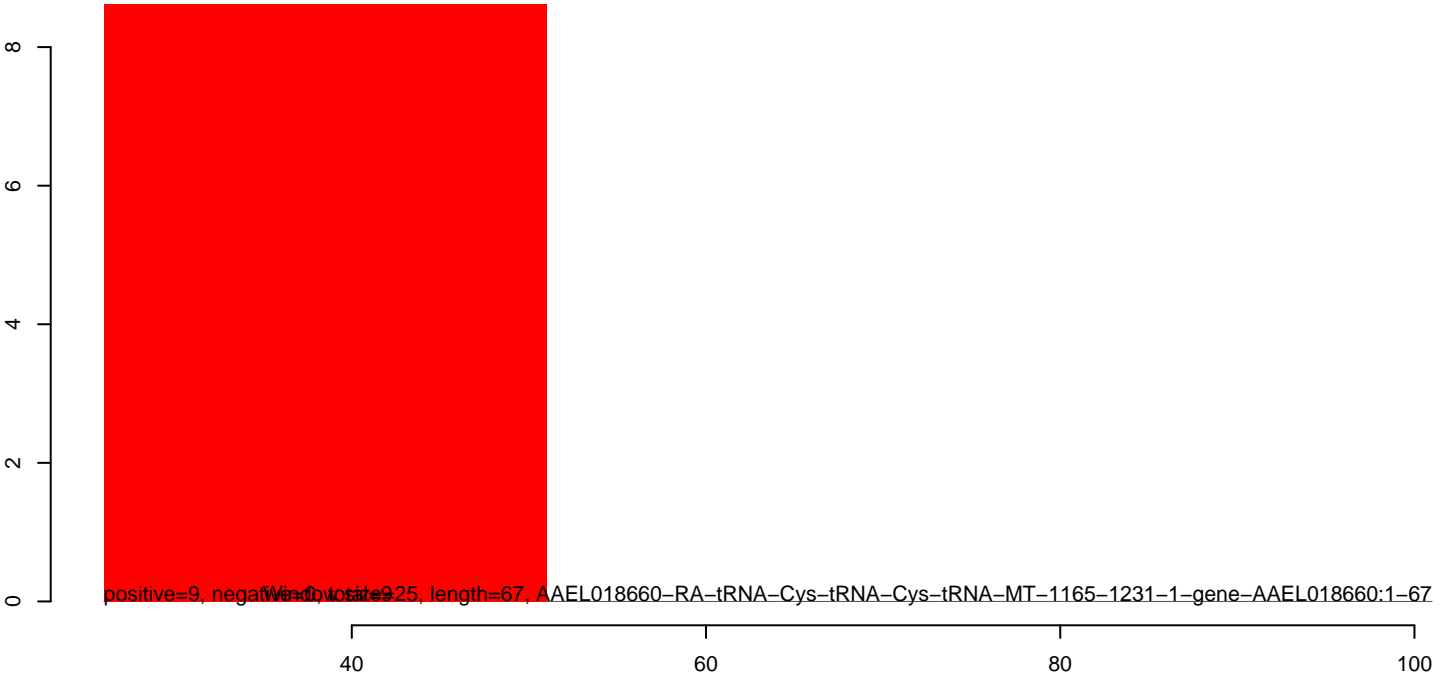
AeAlbo_C636_6dpi_SINV1.18_23.rep



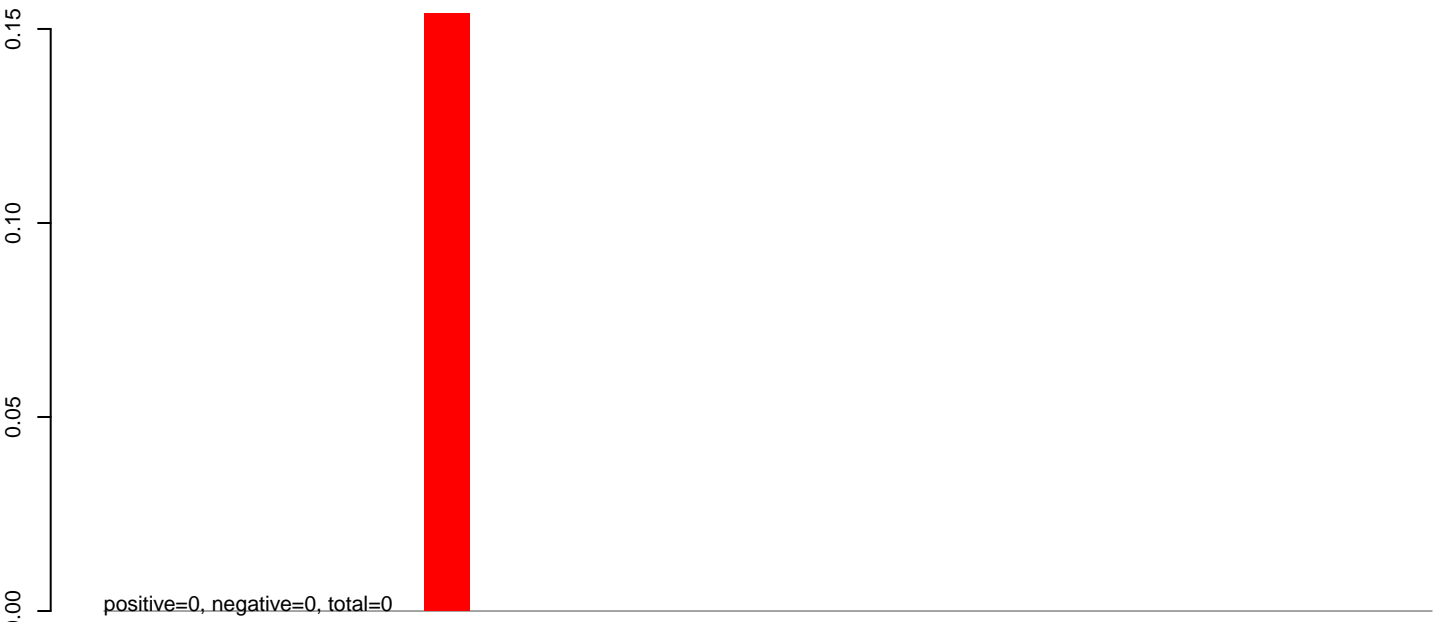
AeAlbo_C636_6dpi_SINV1.24_35.rep



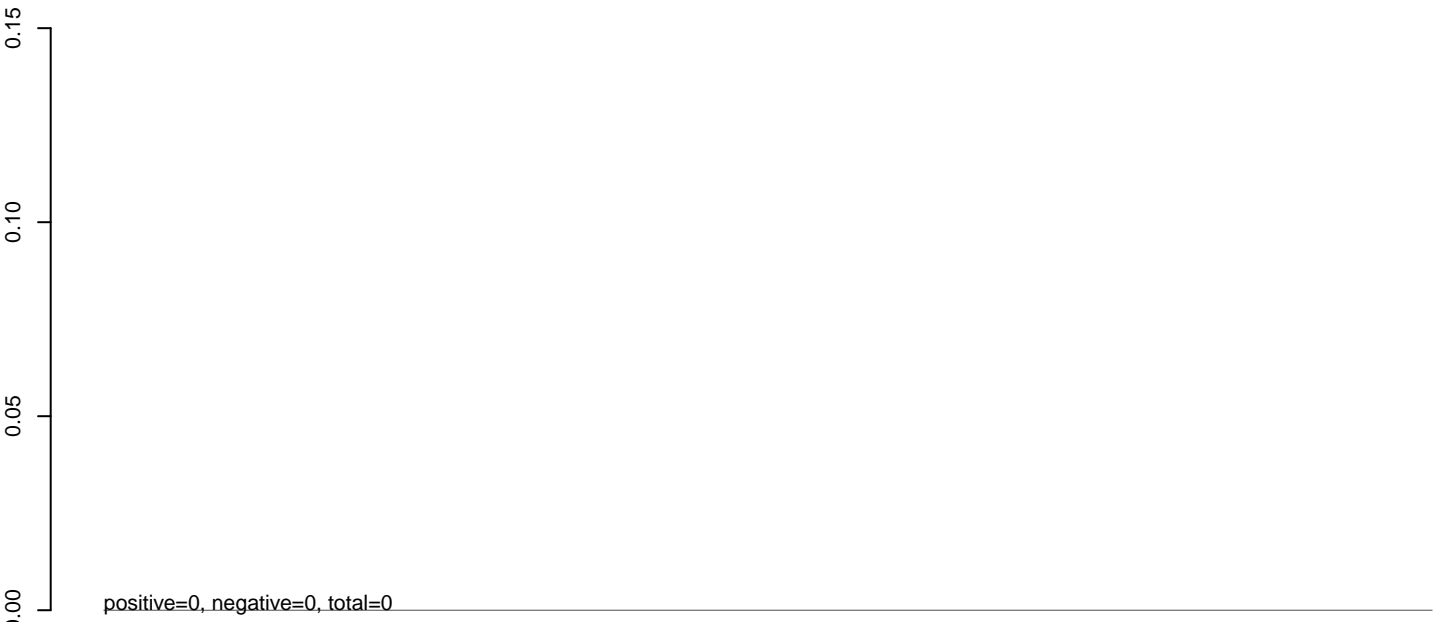
AeAlbo_C636_6dpi_SINV1.rep



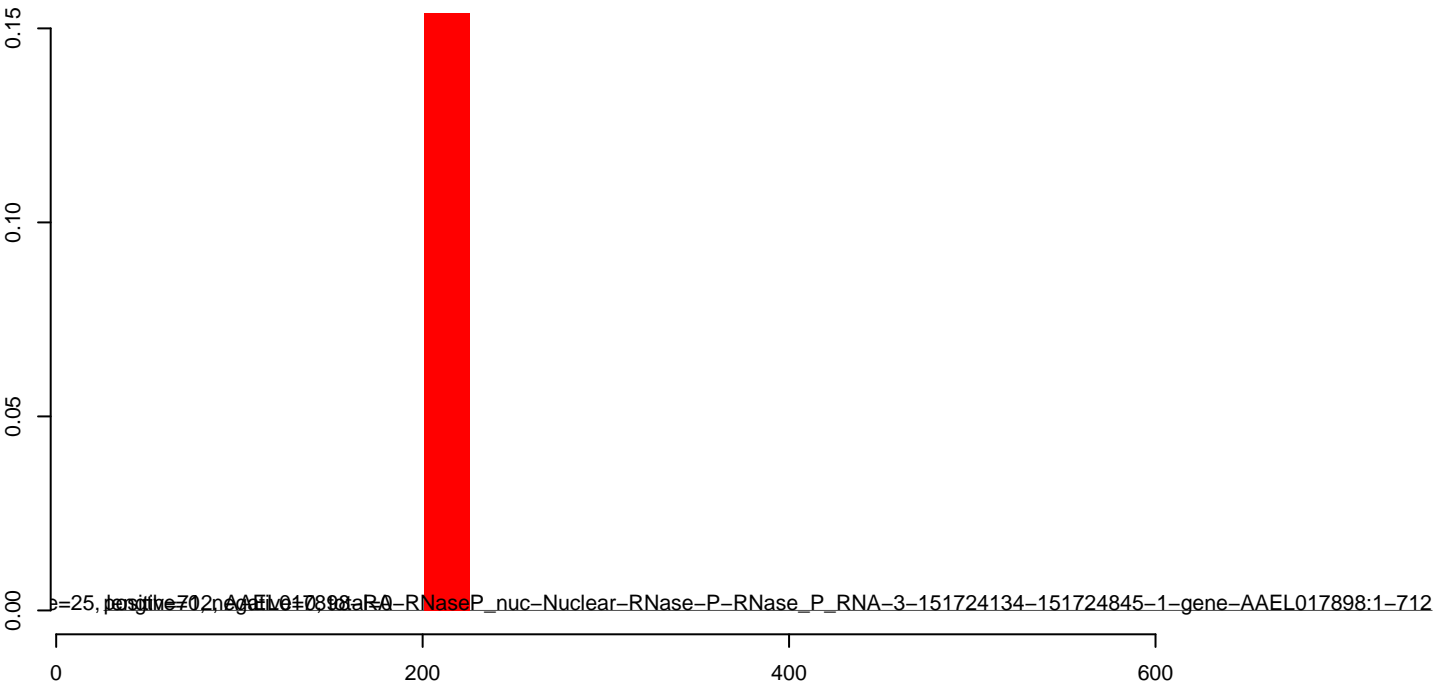
AeAlbo_C636_6dpi_SINV1.18_23.rep



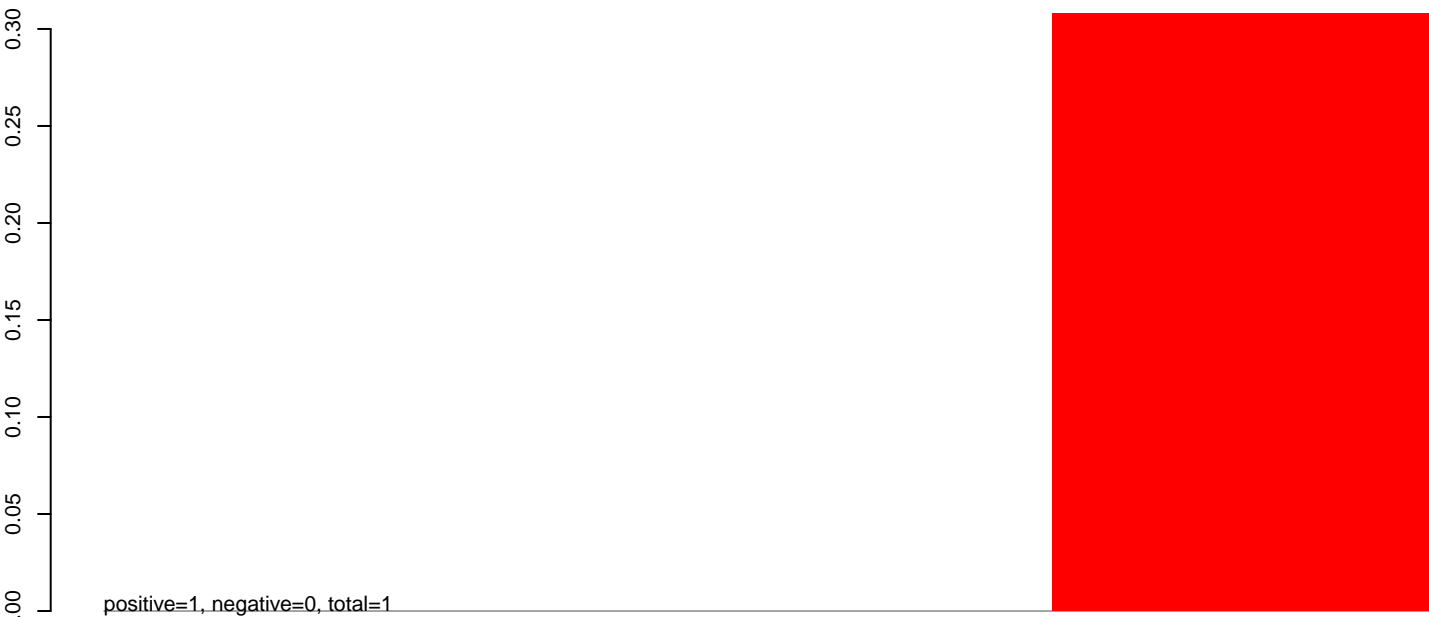
AeAlbo_C636_6dpi_SINV1.24_35.rep



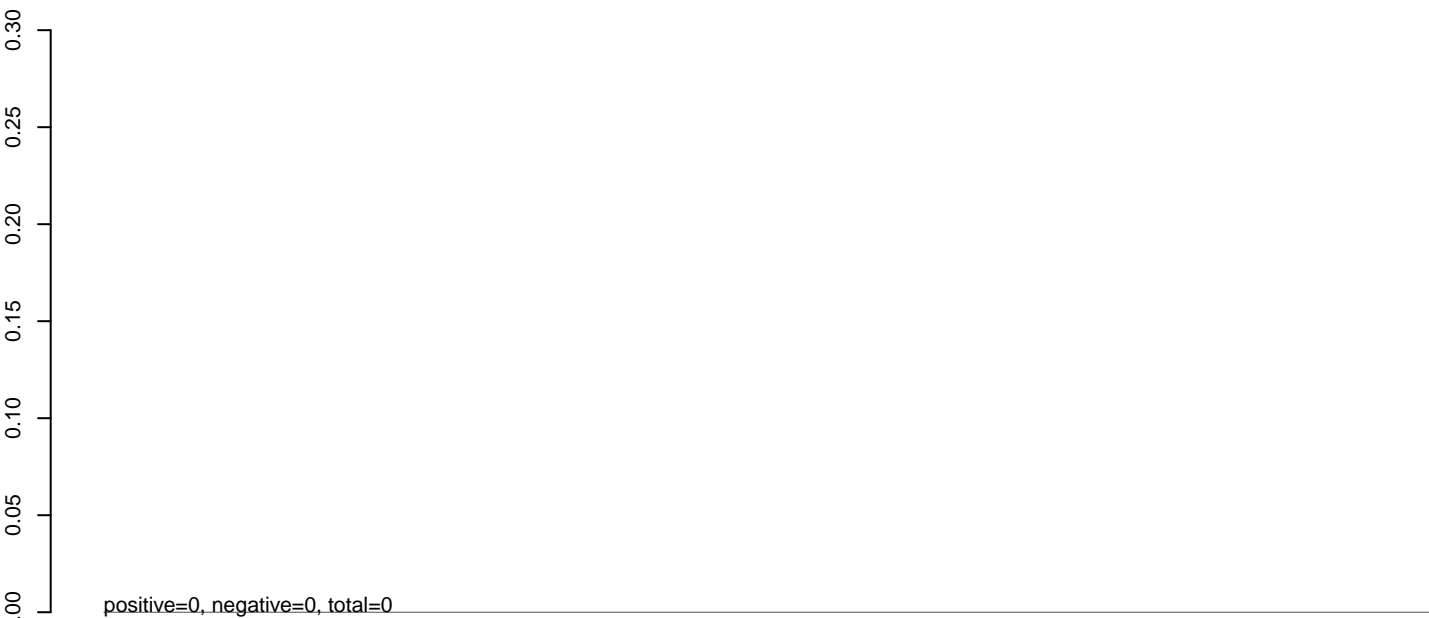
AeAlbo_C636_6dpi_SINV1.rep



AeAlbo_C636_6dpi_SINV1.18_23.rep



AeAlbo_C636_6dpi_SINV1.24_35.rep



AeAlbo_C636_6dpi_SINV1.rep



Window size=25, gene=AAEL017866-RA-U11-U11-spliceosomal-RNA-snRNA-3-224490376-224490526-1-gene-AAEL017866:1-151

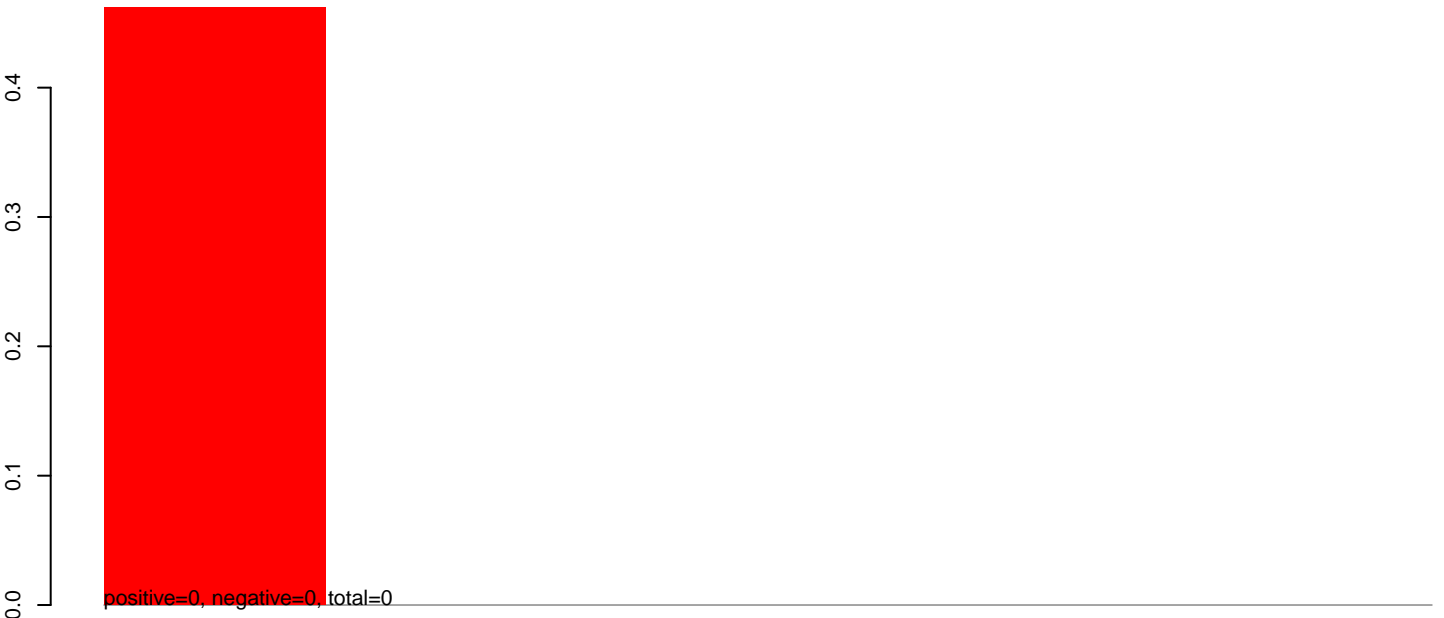
50

100

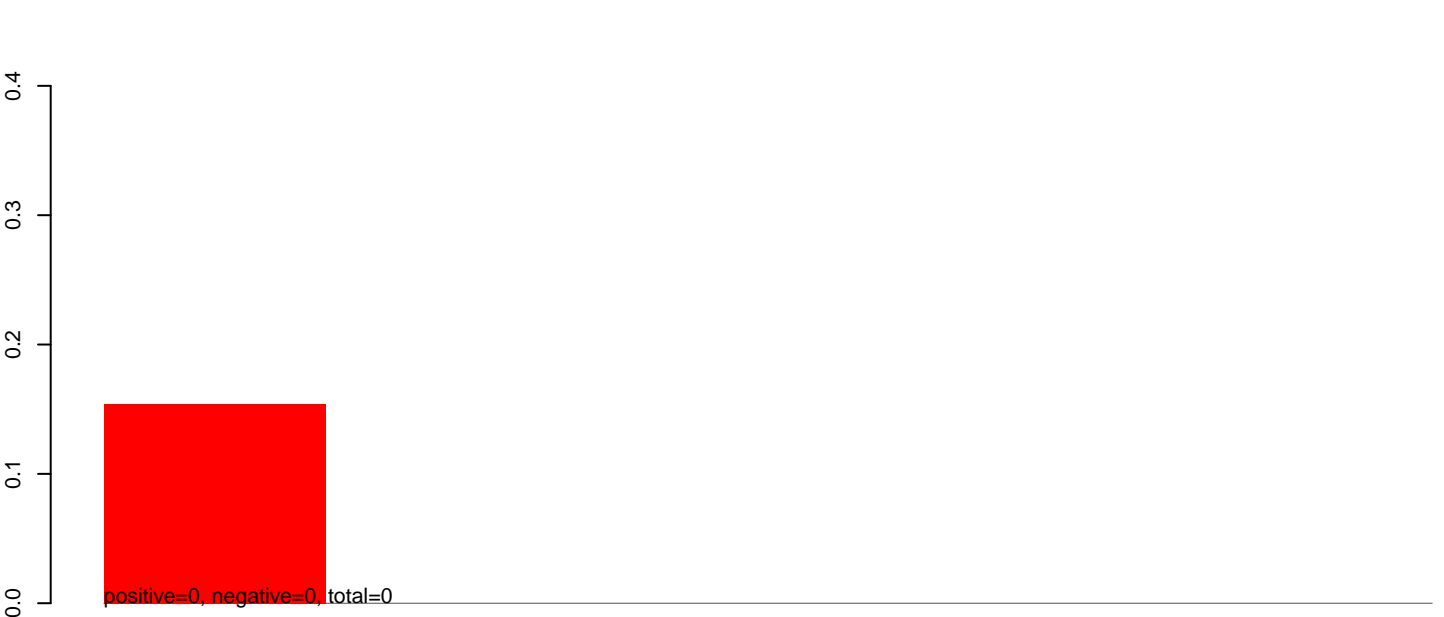
150

200

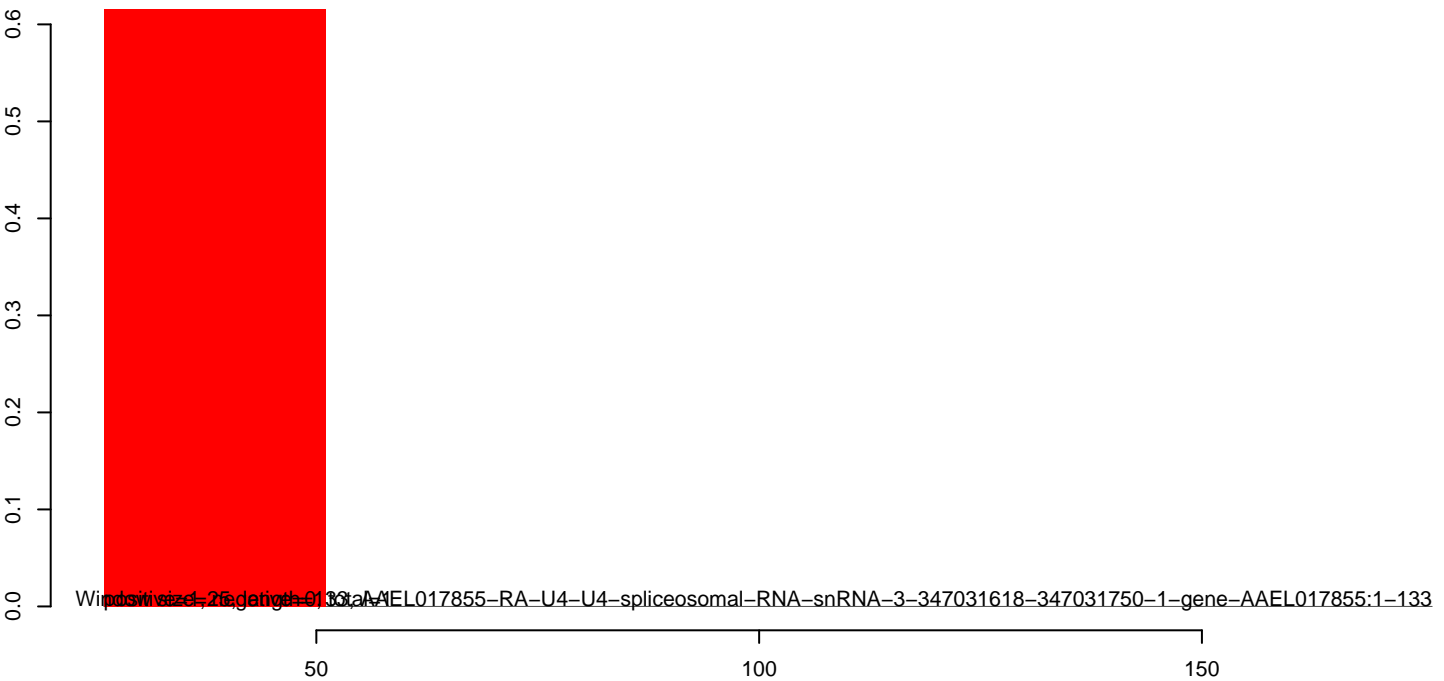
AeAlbo_C636_6dpi_SINV1.18_23.rep



AeAlbo_C636_6dpi_SINV1.24_35.rep



AeAlbo_C636_6dpi_SINV1.rep



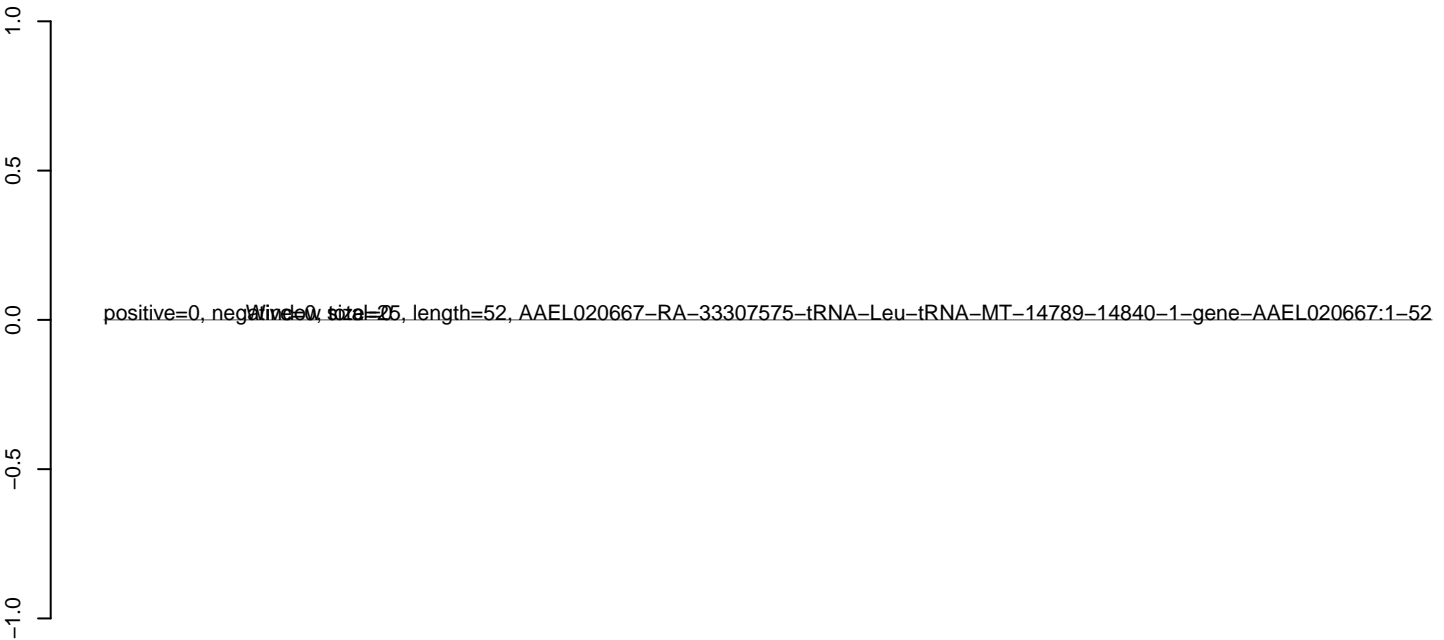
AeAlbo_C636_6dpi_SINV1.18_23.rep



AeAlbo_C636_6dpi_SINV1.24_35.rep



AeAlbo_C636_6dpi_SINV1.rep



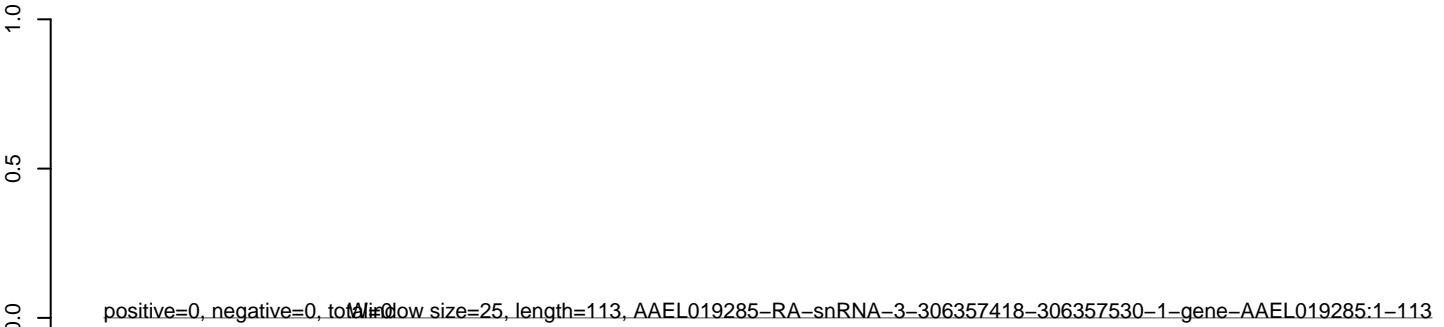
AeAlbo_C636_6dpi_SINV1.18_23.rep



AeAlbo_C636_6dpi_SINV1.24_35.rep



AeAlbo_C636_6dpi_SINV1.rep



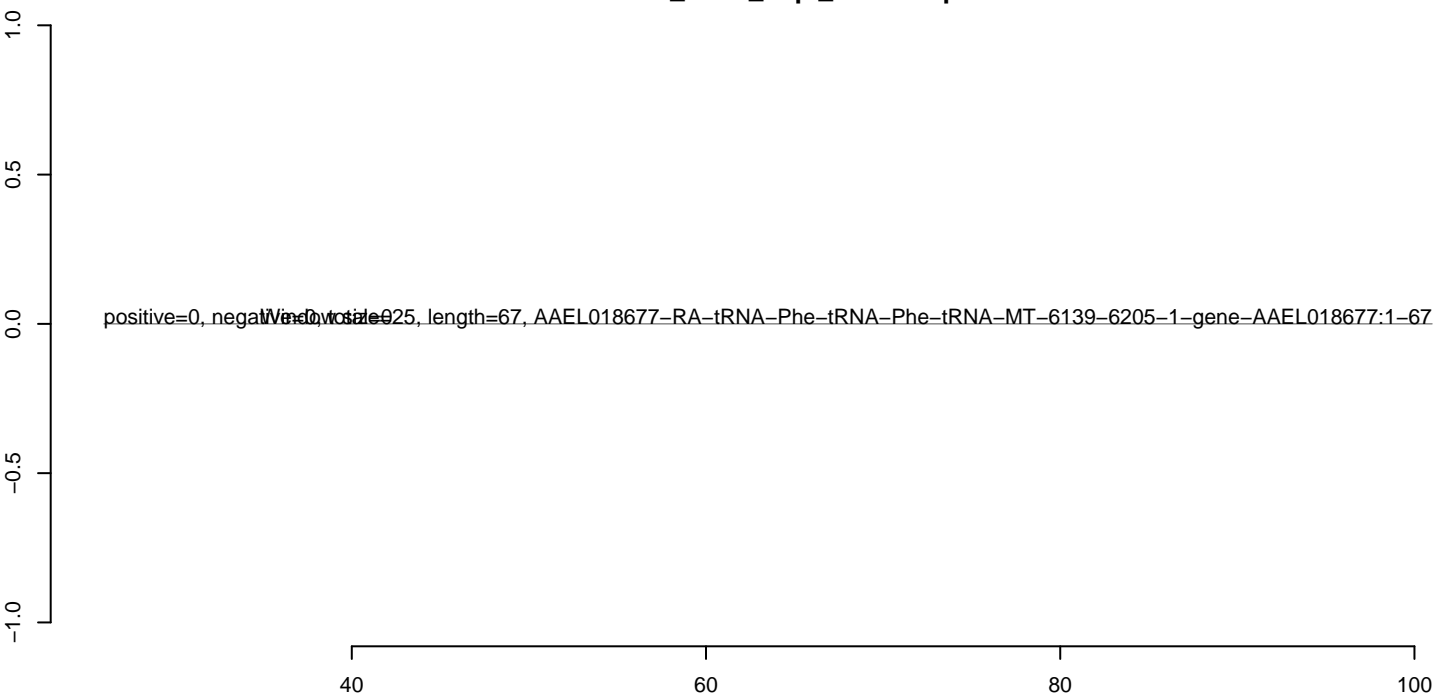
AeAlbo_C636_6dpi_SINV1.18_23.rep



AeAlbo_C636_6dpi_SINV1.24_35.rep



AeAlbo_C636_6dpi_SINV1.rep



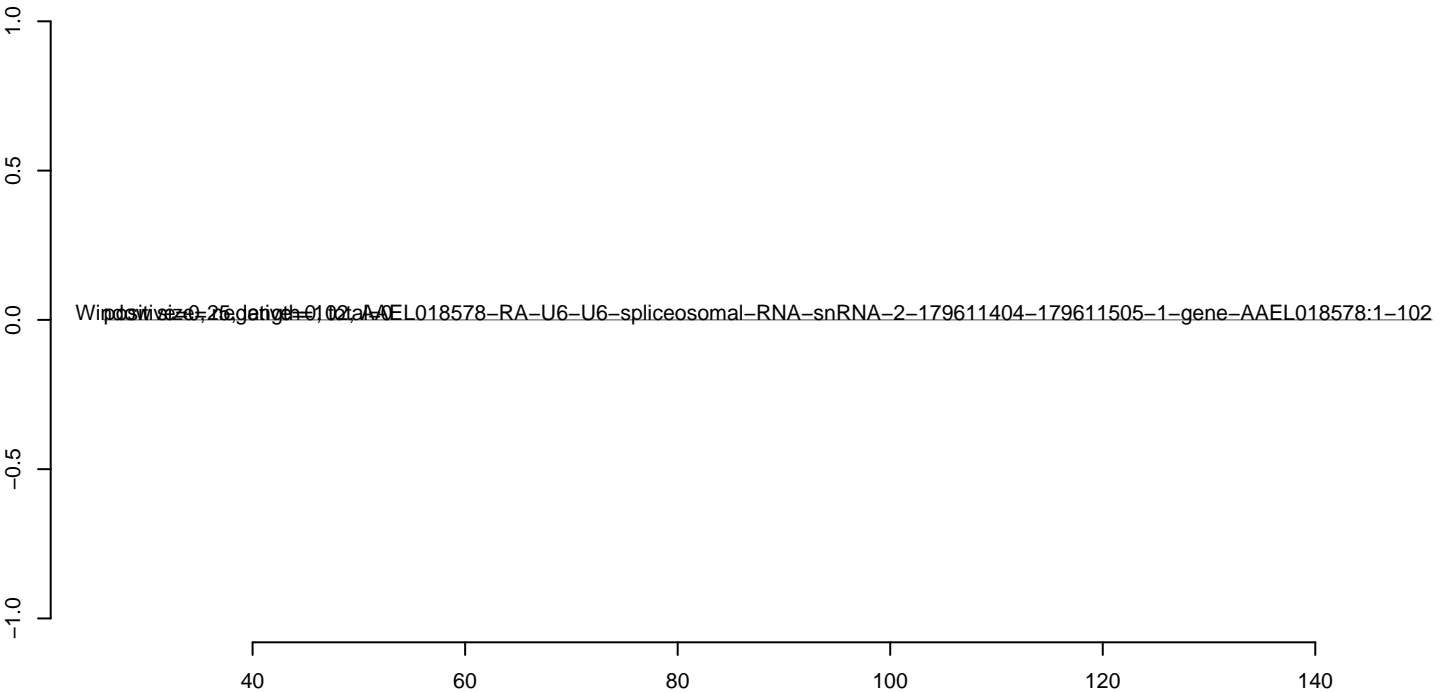
AeAlbo_C636_6dpi_SINV1.18_23.rep



AeAlbo_C636_6dpi_SINV1.24_35.rep



AeAlbo_C636_6dpi_SINV1.rep



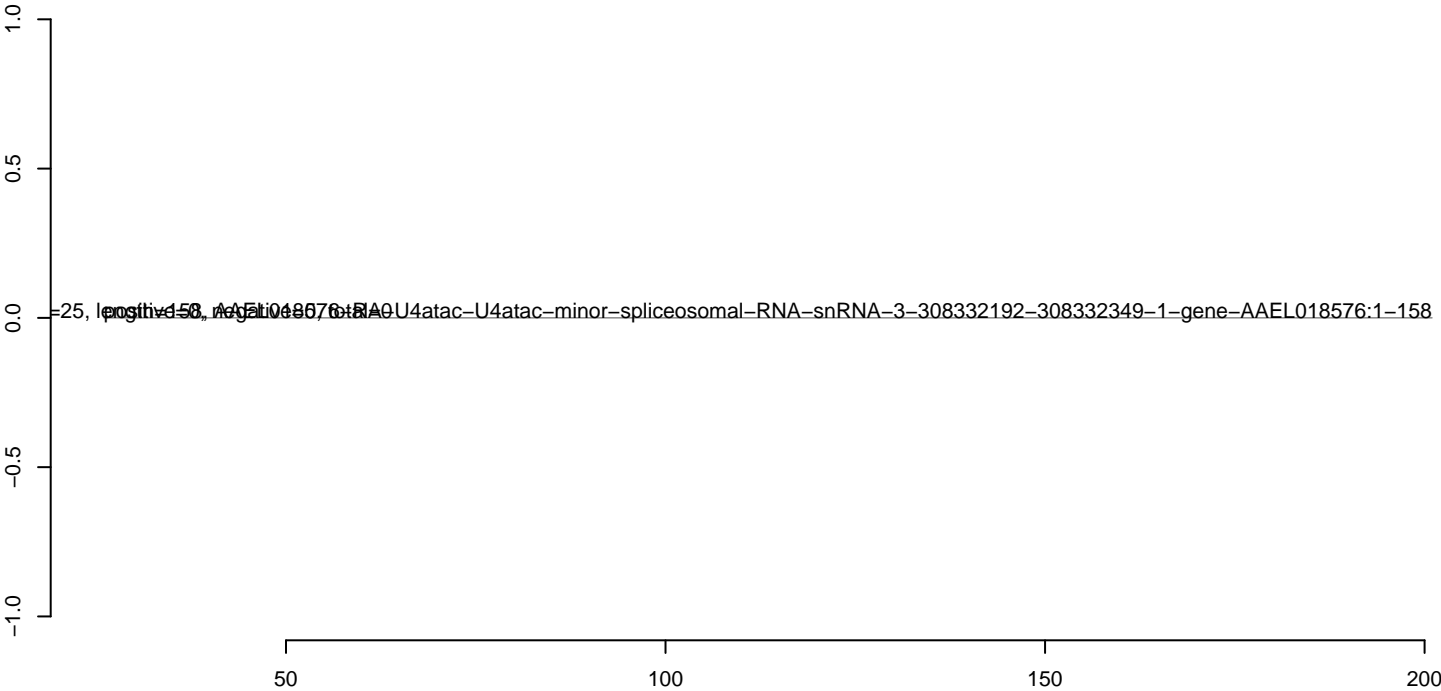
AeAlbo_C636_6dpi_SINV1.18_23.rep



AeAlbo_C636_6dpi_SINV1.24_35.rep



AeAlbo_C636_6dpi_SINV1.rep



AeAlbo_C636_6dpi_SINV1.18_23.rep



AeAlbo_C636_6dpi_SINV1.24_35.rep



AeAlbo_C636_6dpi_SINV1.rep

